

# THÈSE

présentée par

**Etera R. LIVINE**

(Juin 2003)

pour obtenir le grade de

Docteur de l'Université de la Méditerranée

Spécialité :

Physique des Particules, Physique Mathématique et Modélisation

**École Doctorale :** Physique et Science de la Matière

## **Boucles et Mousses de Spin en Gravité Quantique :** **une Approche Covariante à la Quantification Non-Perturbative** **de la Relativité Générale**

Soutenue le 24 Juin 2003, devant le Jury composé de

K. Gawedzki (Président du Jury)  
J. Barrett (Rapporteur)  
L. Freidel  
P. Roche (Rapporteur)  
C. Rovelli (Directeur de thèse)  
R. Williams

CENTRE DE PHYSIQUE THÉORIQUE  
CNRS-UPR 7061



# Remerciements

Je tiens à remercier toutes les personnes qui m'ont entouré durant ces trois années de thèse et plus généralement tous les membres du CPT pour m'avoir accueilli.

Tout d'abord, j'aimerais remercier Carlo Rovelli, mon directeur de thèse, pour ses conseils, ses encouragements et son constant intérêt pour mon travail, et Lee Smolin pour son encadrement durant ma première année de thèse et pour m'avoir fait découvrir le monde de la recherche.

J'ai eu le plaisir de collaborer avec Laurent Freidel, qui m'a beaucoup appris et aidé au cours de ma thèse. Je lui suis très reconnaissant pour sa patience, sa motivation et son enthousiasme. Je remercie également chaleureusement mon ami Daniele Oriti, pour nos nombreuses sessions de travail, qui m'ont beaucoup apporté, ponctuées d'aussi nombreuses parties de ping-pong, toujours aussi relaxantes.

Je tiens à remercier tout particulièrement Florian Girelli, qui a eu la patience de (re)lire toute ma thèse, pour ses conseils et les nombreuses discussions. Je dois beaucoup aux discussions que j'ai eu avec Karim Noui et Philippe Roche, et avec mes collaborateurs Sergeï Alexandrov, Robert Oeckl et David Louapre. Et je tiens à remercier mon co-bureau Raphaël Zentner pour la bonne ambiance de bureau "productive".

J'aimerais également remercier mes amis Simone, toujours prêt à faire une partie de Worms, Loïc et Séverine, pour leur hospitalité à Lyon, Mike, qui m'a si souvent hébergé à Cambridge, et Anahita, pour son continuel soutien.

Je tiens à remercier mes parents, Calixte et Jenny, pour m'avoir toujours soutenu et aidé, et mes (toujours petites) soeurs Daphné et Charlotte, toujours aussi drôles.

Finalement, je remercie de tout coeur Anne-Laure pour avoir été là, pour son soutien et son écoute, pour sa joie et son enthousiasme, qui m'ont permis de m'enfuir de ma thèse chaque fois que je me suis retrouvé submergé par mon travail, pour sa patience, qui lui a permis de me supporter...



# Résumé

## Boucles et Mousses de Spin en Gravité Quantique :

Une approche covariante à la quantification non-perturbative de la relativité générale

La *gravité à boucles* est une quantification canonique de la gravité 4d. Les états quantiques de géométrie 3d sont les *réseaux de spin*  $SU(2)$  et ont une interprétation naturelle en termes de variété triangulée. Une *mousse de spin* est une histoire de tels réseaux : c'est un formalisme d'intégrale de chemin et permet d'étudier la dynamique des modèles. Le *modèle de Barrett-Crane* est le modèle le plus prometteur. Il est issu des théories topologiques et de quantification géométrique, et utilise les représentations du groupe de Lorentz  $SL(2, C)$ .

Je développe les réseaux de spin pour groupes non-compacts tel le groupe de Lorentz. Ceci s'applique à la gravité quantique 3d et je dérive un spectre des longueurs, continu pour distance spatiale et discret pour intervalle temporel. En 4d, j'explore la géométrie quantique du modèle, décris le rôle de la causalité et dérive la théorie canonique correspondante utilisant des réseaux de spin  $SL(2, C)$  dont je discute l'interprétation en tant que géométrie 3d.

mots clés :

relativité générale, gravité quantique, gravité à boucles, quantification canonique, réseaux de spin, mousses de spin

## Loop Gravity and Spin Foam :

Covariant methods for the non-perturbative quantization of general relativity

*Loop gravity* is a canonical quantization of 4d gravity. Quantum states of 3d geometry are the  $SU(2)$  *spin networks* and have a natural interpretation as triangulated manifolds. *Spin Foams* are histories of spin networks : it is a path integral formulation, allowing to study the dynamics of the theory. The *Barrett-Crane model* is the most promising model. It originates in topological field theory, uses geometrical quantization and is based on representations of the Lorentz group  $SL(2, C)$ .

I develop spin networks for non-compact groups such as the Lorentz group. I apply these techniques to 3d quantum gravity and derive a length spectrum, which turns out to be continuous for spacelike distances and discrete for timelike intervals. In 4d, I explore the details of the quantum geometry of the model, analyse the issue of causality and derive the corresponding canonical theory based on  $SL(2, C)$  spin networks whose interpretation as 3d geometry I discuss.

key words :

general relativity, quantum gravity, loop gravity, canonical quantization, spin networks, spin foams



# Table des matières

|   |           |
|---|-----------|
| <b>Introduction</b>   | <b>11</b> |
| <b>I La <i>Loop Gravity</i> en bref : Quantifier la Gravité non-perturbativement</b>            | <b>15</b> |
| <b>1 L'action de Palatini et sa structure canonique</b>   | <b>19</b> |
| 1.1 Le formalisme réel de Barbero . . . . .   | 20        |
| 1.2 Le formalisme complexe d'Ashtekar . . . . .   | 22        |
| 1.3 Le paramètre d'Immirzi $\gamma$ . . . . .   | 24        |
| <b>2 Quantifier avec des Boucles</b>  | <b>25</b> |
| 2.1 Des réseaux de spins . . . . .  | 27        |
| 2.1.1 La Base des Réseaux de Spin . . . . .   | 27        |
| 2.1.2 Connexion Généralisée et Mesure d'Ashtekar-Lewandowski . . . . .                          | 28        |
| 2.2 Quantifier la relativité générale . . . . .   | 31        |
| 2.2.1 L'espace d'Hilbert de la <i>Loop Quantum Gravity</i> . . . . .                            | 31        |
| 2.2.2 La géométrie des réseaux de spin . . . . .  | 32        |
| 2.2.3 A propos de la théorie complexe . . . . .   | 35        |
| <b>II Construire des réseaux de spin</b>  | <b>39</b> |
| <b>3 Des graphes aux fleurs</b>   | <b>43</b> |
| <b>4 Mesure pour les fonctions cylindriques</b>   | <b>47</b> |
| 4.1 Cadre théorique . . . . .   | 47        |
| 4.1.1 Groupes de Lie et sous-algèbres de Cartan . . . . .                                       | 47        |
| 4.1.2 Un peu de Géométrie Algébrique . . . . .  | 48        |
| 4.2 Mesure sur les Fleurs . . . . .   | 51        |
| 4.2.1 Les fleurs à deux pétales . . . . .   | 51        |
| 4.2.2 Les fleurs en général . . . . .   | 55        |
| 4.3 Mesure pour un graphe quelconque . . . . .  | 55        |
| <b>5 Définir les réseaux de spins</b>   | <b>59</b> |
| 5.1 Diagonaliser les Laplaciens . . . . .   | 59        |
| 5.1.1 Opérateurs Laplacien/Casimir . . . . .  | 59        |
| 5.1.2 Réseaux de Spins comme vecteurs propres et la structure de $\mathcal{H}_\Gamma$ . . . . . | 60        |
| 5.2 L'espace d'Hilbert des réseaux de spins . . . . .   | 62        |
| 5.2.1 La différence compact $\leftrightarrow$ non-compact . . . . .                             | 62        |
| 5.2.2 Un espace de Fock : théorie de jauge sur $G$ . . . . .                                    | 63        |
| 5.2.3 Une Représentation de l'algèbre des holonomies ? . . . . .                                | 65        |

|            |   |            |
|------------|---|------------|
| <b>6</b>   | <b>Des exemples utiles</b>  | <b>67</b>  |
| 6.1        | La Boucle . . . . .   | 67         |
| 6.1.1      | Les Caractères de $SL(2, \mathbb{C})$ . . . . .                     | 67         |
| 6.1.2      | Les Caractères de $SU(2)$ . . . . .                                 | 68         |
| 6.1.3      | Les Caractères de $SL(2, \mathbb{R})$ . . . . .                     | 69         |
| 6.2        | Les fleurs à 2 pétales . . . . .                                    | 70         |
| 6.2.1      | Le cas $SL(2, \mathbb{C})$ . . . . .                                | 71         |
| 6.2.2      | Déduire $SU(2)$ de $SL(2, \mathbb{C})$ . . . . .                    | 72         |
| 6.2.3      | $SL(2, \mathbb{R})$ : les triangles de $AdS_3$ . . . . .            | 73         |
| <b>III</b> | <b>Invariance de Lorentz en Quantification Canonique</b>            | <b>75</b>  |
| <b>7</b>   | <b>La théorie 2 + 1</b>   | <b>79</b>  |
| 7.1        | Le formalisme de la <i>Loop Gravity</i> en 2 + 1 . . . . .          | 80         |
| 7.1.1      | Quantification et l'Opérateur Longueur . . . . .                    | 81         |
| 7.1.2      | Représentations de $SO(2, 1)$ et spectre des longueurs . . . . .    | 83         |
| 7.1.3      | Spectre de l'aire . . . . .   | 86         |
| 7.2        | Variables à la 't Hooft . . . . .                                   | 88         |
| <b>8</b>   | <b>Un nouveau formalisme canonique en 3 + 1 dimensions</b>          | <b>93</b>  |
| 8.1        | Analyse Canonique de la théorie 3 + 1 . . . . .                     | 93         |
| 8.2        | Outils : réseaux de spins projetés . . . . .                        | 98         |
| 8.2.1      | Fonctions Cylindriques et Réseaux de Spin Projetés . . . . .        | 98         |
| 8.2.2      | Raffiner les fonctions cylindriques . . . . .                       | 101        |
| 8.2.3      | Généralisation à un groupe quelconque . . . . .                     | 103        |
| 8.3        | Quantification : retrouver la <i>Loop Gravity</i> $SU(2)$ . . . . . | 104        |
| 8.4        | L'alternative : une <i>Loop Gravity</i> covariante . . . . .        | 106        |
| <b>IV</b>  | <b>L'Espace-Temps en Mousse de Spins</b>                            | <b>111</b> |
| <b>9</b>   | <b>Mousse de Spin en Basse Dimension</b>                            | <b>115</b> |
| 9.1        | Théorie BF en 2d . . . . .  | 115        |
| 9.1.1      | Théorie de champs génératrice . . . . .                             | 115        |
| 9.1.2      | Solutions "Classiques" : Instantons de la théorie . . . . .         | 118        |
| 9.2        | Géométrie du Modèle de Ponzano-Regge . . . . .                      | 119        |
| 9.2.1      | Définition du modèle . . . . .                                      | 119        |
| 9.2.2      | Ponzano-Regge comme un projecteur . . . . .                         | 121        |
| 9.2.3      | Théorie de champs génératrice . . . . .                             | 124        |
| 9.2.4      | Conclusion : extension à la théorie BF en dimension 4 . . . . .     | 125        |
| <b>10</b>  | <b>La géométrie quantique selon Barrett-Crane</b>                   | <b>127</b> |
| 10.1       | Rappels sur la quantification d'un 4-simplex . . . . .              | 127        |
| 10.2       | La gravité comme une théorie BF modifiée . . . . .                  | 130        |
| 10.2.1     | Contraindre la théorie BF . . . . .                                 | 130        |
| 10.2.2     | Les contraintes à la Barrett-Crane . . . . .                        | 132        |
| 10.2.3     | Les contraintes à la Reisenberger . . . . .                         | 134        |
| 10.3       | Le modèle de Barrett-Crane Lorentzien . . . . .                     | 135        |
| 10.3.1     | Définition du modèle : amplitude des mousse de spin . . . . .       | 135        |
| 10.3.2     | Significations Géométriques des variables . . . . .                 | 137        |
| 10.3.3     | Un formalisme discret du premier ordre . . . . .                    | 139        |
| 10.4       | Imposer la causalité pour retrouver un temps orienté . . . . .      | 140        |



|          |   |            |
|----------|---|------------|
| 10.4.1   | Les points stationnaires : des 4-simplex orientés . . . . . | 140        |
| 10.4.2   | Une amplitude de transition causale . . . . .               | 142        |
|          | <b>Conclusion</b>   | <b>149</b> |
| <b>A</b> | <b>Le groupe de Lorentz <math>SL(2, \mathbb{C})</math></b>  | <b>153</b> |
| <b>B</b> | <b>Quantification Géométrique d'un Bivecteur</b>            | <b>157</b> |
| B.1      | Bivecteur Quantique 3d . . . . .                            | 157        |
| B.2      | Bivecteur Quantique 4d . . . . .                            | 158        |



# Introduction

*Douter de tout ou tout croire,  
ce sont deux solutions également commodes,  
qui l'une et l'autre nous dispensent de réfléchir.*

**Poincaré, la Science et l'Hypothèse**

*Quiconque s'est jamais avisé de spéculer sur ces 4 questions :*

- *Qu'y a-t-il au-dessus ?*
- *Qu'y a-t-il en-dessous ?*
- *Qu'y avait-il avant le monde ?*
- *Qu'y aura-t-il après ?*

*Il aurait mieux valu pour lui qu'il ne fut jamais né.*

**Talmud de Babylone**

Depuis plusieurs années, nous avons deux théories physiques vérifiées expérimentalement : la mécanique quantique et la relativité générale. La mécanique quantique, à travers la théorie quantique des champs, est notre unique cadre pour décrire la physique au niveau microscopique, la physique des particules et de leurs interactions. Elle nous a forcé à revoir notre conception de la mesure et d'affiner les notions d'observateurs et de phénomènes observés, qui sont traités dans la théorie de manières singulièrement différentes. De l'autre côté, la relativité générale nous permet de faire de la physique à grande échelle. Elle décrit l'univers dynamique : l'espace-temps lui-même n'est plus un cadre fixe dans lequel la matière et l'énergie évoluent, mais un cadre qui évolue avec son contenu. Alors, la seule manière de décrire des événements est de manière relative.

Malheureusement, ces deux théories nous semblent physiquement incomplètes : la relativité générale à cause de ses singularités, la théorie quantique à cause de ses problèmes d'interprétations (l'observateur observé) et parce qu'elle suppose encore un espace-temps fixe et immuable. De plus, ces deux théories semblent mathématiquement incompatibles. Prendre en compte la constante de Planck  $\hbar$  et la constante de Newton  $G$  dans une même théorie relativiste n'est pas facile. Mais nous sommes convaincu qu'il devrait exister une théorie physique se réduisant à l'une ou l'autre dans des régimes particuliers et résolvant les problèmes des deux. On l'appelle la *gravité quantique*, une théorie décrivant l'interaction gravitationnelle à toute échelle d'énergie. Enfin, à presque toute échelle d'énergie... En effet, l'effet de gravité quantique de base, illustrant le problème d'un mariage forcé entre les deux théories, est que dès qu'on regarde quelque chose de trop près essayant d'atteindre une résolution inférieure à la longueur de Planck  $l_P \equiv \sqrt{\hbar G/c^3} \sim 1,6.10^{-35}m$ , l'objet se cache derrière un horizon gravitationnel. Cela définit une énergie limite  $E_P = \sqrt{\hbar c^5/G}$  à partir de laquelle les lois physiques que nous connaissons ne peuvent plus s'appliquer.

Il n'y a pas une unique manière de chercher la théorie de la gravité quantique mais plusieurs chemins que nous explorons depuis plus d'un demi-siècle. En l'absence de données expérimentales "utiles" (c'est-à-dire reconnues comme phénomènes de gravité quantique), notre principal guide est notre sens physique et notre sens de l'esthétisme, l'élégance d'une théorie : notre propre conception de la réalité et notre perception du monde physique. Ainsi travailler sur le sujet de la gravité quantique nécessite une certaine recherche philosophique pour comprendre son propre point de vue sur la structure du monde. Ensuite, cela implique également un travail mathématique pour développer et apprendre à utiliser les nouveaux outils mathématiques nécessaires pour appréhender les nouveaux concepts physiques.

Il en découle une multitude de tentatives de théories. La théorie la plus étudiée aujourd'hui est la théorie des cordes ou son extension en une possible *théorie M*, qui explore la possibilité de remplacer nos particules

ponctuelles par des objets étendus. Elle emprunte un chemin détourné et ambitieux tentant d'unifier toute notre vision de la physique en une seule théorie globale décrivant toutes les interactions.

Néanmoins, le plus simple pour commencer est d'essayer d'appliquer directement les principes de quantification que nous connaissons à la relativité générale. Si cela fonctionne alors et permet d'obtenir une théorie cohérente mathématiquement, c'est gagné et nous avons une théorie de gravité quantique vérifiable (ou plutôt falsifiable) expérimentalement. Sinon, cela nous permet d'explorer notre compréhension de ces théories physique et de leur principes sous-jacents, pour essayer de trouver lesquels peuvent survivre au niveau de la théorie unificatrice et lesquels nous devons abandonner : cette méthode, conservatrice, permet de tester notre vision du monde physique petit à petit.

La gravité quantique à boucles, ou *Loop Quantum Gravity*, est une telle tentative de quantifier directement la relativité générale. Elle se place dans un contexte canonique où on regarde une hypersurface -notre espace-évoluant dans le temps et créant ainsi notre espace-temps. Elle définit des états quantiques -les *réseaux de spin*- de l'hypersurface, où la géométrie elle-même est quantifiée et vient par quanta discrets d'aire et de volume. Ils s'interprètent comme une hypersurface discrétisée avec un nombre fini de points et l'état quantique décrit le réseau de relations entre ces points. Puis ce réseau va évoluer générant le temps. Cette théorie est le point de départ de ma thèse.

Ma motivation est de comprendre la dynamique des états quantiques dans le contexte de la *Loop Quantum Gravity*, c'est-à-dire la structure de l'espace-temps créé par ces réseaux de spin évoluant dans le temps. Ainsi l'objet central de mon travail est l'étude des *mousses de spin*, qui sont des histoires de réseaux de spin. Un modèle de mousse de spin est l'attribution d'une amplitude à chaque histoire. D'un point de vue canonique, cela revient à choisir une dynamique particulière. D'un point de vue covariant, cela revient à implémenter une intégrale de chemin pour la gravité. Le point élégant est qu'il est possible de définir ces mousses de spin d'une manière entièrement algébrique, définissant une géométrie quantique à partir d'algèbre et de combinatoire.

Le modèle de mousse de spin le plus étudié est le modèle de Barrett-Crane. Son côté combinatoire est que les histoires considérées sont duales à des décompositions simpliciales d'un espace-temps quadri-dimensionnel. Son côté algébrique est que toutes les données métriques et géométriques sont définies par la théorie des représentations du groupe de Lorentz  $SO(3,1)$ . Replacé dans ce contexte, le but de ma thèse est de comprendre les fondations de ce modèle. Tout d'abord comprendre comment il est peut être interprété dans un cadre canonique (des états de géométrie d'une hypersurface évoluant dans le temps) car, après tout, notre vision (expérimentale) de l'espace physique autour de nous est encore donnée par des tranches à temps constant évoluant avec nous dans le temps. Puis comprendre s'il fournit un modèle légitime de gravité quantique, c'est-à-dire à quel point il peut être considéré comme définissant une intégrale de chemin pour la relativité générale.

Dans une première partie, je décrirai la théorie de la gravité quantique à boucles, ou *Loop Quantum Gravity*, qui fournit une quantification non-perturbative de la relativité générale. Cela s'effectue en deux étapes. Tout d'abord, il s'agit de procéder à l'analyse canonique de la théorie classique pour comprendre ses symétries et son Hamiltonien définissant sa dynamique. Puis, on quantifie la théorie et je décrirai l'espace d'Hilbert des états quantiques de la théorie et définirai la base des réseaux de spin. Mon but est de donner une version covariante de cette théorie décrivant l'espace-temps quantique.

Tout d'abord, le formalisme de la *Loop Quantum Gravity* est fondé sur le groupe de symétrie  $SO(3)$  des rotations de l'espace tri-dimensionnel, alors que l'on s'attend à ce que le groupe de symétrie locale d'une théorie d'espace-temps soit le groupe de Lorentz, tout comme dans le modèle de Barrett-Crane. Travailler avec le groupe de Lorentz qui est non-compact se révèle plus dur que travailler avec la symétrie compacte  $SO(3)$ . Ainsi, dans une seconde partie, je m'intéresserai à comment utiliser un groupe de symétrie non-compact et écrire des observables (invariantes sous le groupe de symétrie), tel que les réseaux de spin, dans ce cadre.

Puis, dans une troisième partie, je développerai un formalisme canonique invariant sous le groupe de Lorentz  $SO(3,1)$  et non plus seulement sous le groupe  $SO(3)$ . Cela dans le but d'obtenir une théorie canonique fondée sur le groupe  $SO(3,1)$  pouvant fournir un cadre canonique au modèle de mousse de spin de Barrett-Crane (qui est invariant sous le groupe de Lorentz). Dans un premier temps, j'étudierai la quantification à boucles de la théorie de la gravité en  $2 + 1$  dimensions, invariante sous  $SO(2,1)$ . Il apparaît alors une géométrie quantique

où l'espace reste continu mais où le temps est quantifié. Après ce “toy-model”, je décrirai une quantification canonique de la relativité générale invariante sous le groupe de Lorentz. Dans ce cadre covariant, on pourra formuler la *Loop Quantum Gravity* d'une manière invariante sous  $SO(3,1)$ , mais également développer une théorie quantique qui a les mêmes états quantiques cinématiques que le modèle de Barrett-Crane, ce qui crée un pont entre formalisme canonique et formalisme covariant en mousse de spin.

Dans une quatrième et dernière partie, j'étudierai les modèles de mousse de spin eux-mêmes. Dans un premier temps, je décrirai les modèles en basse dimension (deux et trois dimensions). Ce qui permet d'une part de comprendre le contexte et la logique de ces modèles, ce que nous pouvons attendre d'eux, d'autre part de se familiariser avec la géométrie de l'espace-temps définie par les mousses de spin. Dans ce cadre, je m'efforcerai de décrire les structures non-perturbatives de la théorie. Dans un second temps, je m'attaquerai au modèle de Barrett-Crane lui-même. Je montrerai comment l'obtenir en tant que discrétisation et quantification (géométrique) de la relativité générale et comment le reformuler en tant qu'intégrale de chemin de la gravité. Ceci dans le but de convaincre qu'il constitue un modèle légitime de gravité quantique.



## Première partie

# La *Loop Gravity* en bref : Quantifier la Gravité non-perturbativement





La gravité quantique à boucles, ou *Loop Quantum Gravity*, est une quantification canonique de la relativité générale. C'est une quantification directe, par opposition à des approches telles que la théorie des cordes qui modifient la théorie de base ou encore d'autres approches à la gravité quantique qui construisent une gravité quantique plus ou moins indépendamment de la relativité générale classique puis espèrent la retrouver dans une limite semi-classique. C'est également une quantification non-perturbative, par opposition aux développements perturbatifs des intégrales de chemin à la Feynman. Le lecteur peut trouver un court historique de la recherche de la gravité quantique par Carlo Rovelli dans [1, 2] et également une description par Lee Smolin des approches poursuivies aujourd'hui dans [3].

La *Loop Gravity* s'inscrit dans la continuité du programme ADM (d'après Arnowit, Deser et Misner), qui tentait de quantifier canoniquement la relativité générale se fondant sur la variable métrique. Le formalisme canonique repose sur une décomposition  $3 + 1$  de l'espace-temps distinguant l'espace -une hypersurface de genre espace- et le temps : il s'agit de décrire l'évolution dans le temps de l'hypersurface canonique et de sa géométrie. Le programme, initié par Dirac et Bergman, avait pour but de construire une théorie quantique avec un espace d'Hilbert portant une représentation d'opérateurs correspondant à la métrique. Les équations de la théorie furent écrites par DeWitt et Wheeler. Malheureusement la théorie était mal définie. Ces problèmes de définition ne furent résolus que dans le cadre de la *Loop Gravity* par l'utilisation de variables alternatives à la métrique : la géométrie est alors décrit par les variables dites d'Ashtekar, une connexion et une triade. Dans ces variables, la théorie prend la forme d'une théorie de jauge, similaire aux théories de Yang-Mills, et la quantification canonique est bien définie. Aujourd'hui, le travail semble presque achevé du point de vue mathématique, bien qu'il reste encore beaucoup de travail pour en extraire le sens physique et des prédictions physiques réalistes précises.

Les résultats majeurs de la théorie sont la dérivation d'un spectre discret des opérateurs géométriques, comme l'aire et le volume [4], et une explication de l'entropie des trous noirs [5, 6]. Les états de géométrie de l'hypersurface canonique sont les réseaux de spins, ou communément appelés *spin networks*. Ces états forment un espace d'Hilbert bien définis et les opérateurs d'aire et de volume permettent de leur donner une interprétation géométrique d'une variété discrète (en morceaux), que l'on peut décrire comme une géométrie polymérique [7]. Ce sont des graphes (ensemble de points liés par les liens), dessinés sur l'hypersurface canonique, et habillés par des "spins" vivant sur les liens. Ces spins sont des nombres demi-entiers correspondant chacun à une représentation du groupe  $SU(2)$  des rotations en 3d. Ils contiennent l'information métrique et définissent l'aire d'une surface intersectant un lien donné. C'est ainsi que la géométrie semble être définie à l'échelle de Planck.

Le lecteur pourra trouver des revues et cours sur la *Loop Gravity*, plus ou moins mathématiquement détaillées dans [8, 9, 10, 11, 12]. En particulier, [11] donne une présentation complète de la *Loop Gravity* sans s'encombrer de trop de détails mathématiques. La *Loop Quantum Gravity* donne souvent l'impression d'une théorie unique et bien définie. Néanmoins, comme dans toute théorie de champs, on est face à des problèmes de régularisation. Mais plus important, il existe deux formulations distinctes, une réelle et une complexe, que je vais expliquer dans cette partie, et qui ont chacune leur force et leurs petits problèmes. Et je conclurai par résumer les questions posées par la *Loop Quantum Gravity*, dont la principale est la dynamique de la théorie, et les nouvelles approches qui tentent d'y répondre dont j'ai exploré les détails pendant ma thèse. Ces nouvelles approches tendent à définir une *Loop Gravity* covariante, dont les spectres des opérateurs géométriques, c'est-à-dire le résultat majeur de la théorie, seront modifiés. Ainsi, au niveau cinématique, on obtiendra un spectre des aires (spatiales) continu au lieu du spectre discret de la *Loop Quantum Gravity*. De plus, un opérateur volume n'aura plus vraiment de sens et, à la place, les états quantiques de géométrie 3d seront définis à travers la normale à l'hypersurface (c'est-à-dire le plongement de l'espace dans l'espace-temps).

Dans cette partie, je passe en revue le formalisme existant de la *Loop Quantum Gravity*. Je commencerai par décrire l'action exacte que nous nous proposons de quantifier. Puis j'expliquerai le formalisme réel de la *Loop Quantum Gravity*, dit de Barbero, en décrivant l'algèbre des contraintes à travers l'analyse de la structure canonique de l'action. Cette algèbre est au coeur de la théorie puisque la relativité générale est une théorie complètement contrainte et entièrement définie par les contraintes. La quantification nous mènera naturellement à l'introduction des réseaux de spins et à la construction de l'opérateur aire. Je montrerai que le spectre de cet opérateur est discret et dépend d'un paramètre, dit d'Immirzi, qui semble être une nouvelle constante qu'il s'agira a priori de déterminer expérimentalement (car il ne semble pas être nécessaire de le contraindre pour

assurer la cohérence de la théorie).

Je passerai alors à la théorie complexe, son algèbre des contraintes (qui sera la même que celle de la théorie réelle) et à ses particularités, comme une contrainte Hamiltonienne simplifiée et aux conditions de réalité à imposer pour retrouver une métrique/géométrie réelle à partir des variables complexes. Dans ce formalisme, le paramètre d'Immirzi n'intervient pas mais la quantification se retrouve compliquée par ces conditions de réalité.

Tout ce formalisme étant fondé sur la description d'une hypersurface (canonique), je terminerai sur des questions liés au temps, à la dynamique et à l'espace-temps, une autre curiosité étant le paramètre dit d'Immirzi dont la pertinence et la signification physique nous échappent encore. Ces interrogations justifient la recherche d'un formalisme covariant, un formalisme décrivant directement d'espace-temps, ce qui est le thème de ma thèse.

# Chapitre 1

## L'action de Palatini et sa structure canonique

L'action que nous nous proposons d'analyser et de quantifier est une action de Palatini généralisée. Les variables sont une 1-forme, ou connexion,  $\omega = \omega_{\mu}^{IJ} J_{IJ} dx^{\mu}$  à valeur dans l'algèbre de Lorentz  $so(3,1)$  et un champ de tétrades  $e^I = e_{\mu}^I dx^{\mu}$ , tous deux définis sur notre espace-temps donné par une variété  $\mathcal{M}$  pseudo-Riemannienne de dimension 4 et de signature  $(-+++)$ .  $I, J$  sont des indices internes, vivant dans l'espace de Minkowski tangent à l'espace-temps, et les  $J_{IJ}$  sont les générateurs de l'algèbre de Lorentz.  $\mu$  est un indice d'espace-temps. Cette action s'écrit :

$$S[\omega, e] = \frac{1}{2} \int_{\mathcal{M}} \epsilon_{IJKL} e^I \wedge e^J \wedge F^{KL}(\omega) - \frac{1}{\gamma} \int_{\mathcal{M}} e^I \wedge e^J \wedge F_{IJ}(\omega). \quad (1.1)$$

$F(\omega) = d\omega + \omega \wedge \omega$  est la courbure de la connexion  $\omega$ . Les indices  $I, J$  sont descendus à l'aide de la métrique plate  $\eta_{IJ}$  sur l'espace de Minkowski.

L'action dite de Palatini consiste seulement en le premier terme de l'action ci-dessus. Ses équations du mouvement reproduisent les équations d'Einstein décrivant la relativité générale quand la tétrade est non-dégénérée. La métrique (pseudo-Riemannienne) s'exprime alors  $g_{\alpha\beta} = e_{\alpha}^I e_{\beta}^J \eta_{IJ}$ , c'est-à-dire que la tétrade diagonalise la métrique. Le second terme est sans effet sur les équations du mouvement, c'est-à-dire qu'il est sans importance classiquement. La constante de couplage  $\gamma$  correspond au paramètre dit d'Immirzi dans le cadre de la *Loop Quantum Gravity*.

On aimerait quantifier canoniquement cette action. Il s'agit dans un premier temps de procéder à un découpage  $3+1$  de  $\mathcal{M}$  en identifiant une direction temps et une hypersurface dite canonique. Puis le but est de décrire l'évolution de cette hypersurface avec le temps. Pour cela, on écrit l'action en mettant en valeur les termes avec des dérivées temporelles. Ces termes définissent les variables conjuguées dans la théorie. Les termes restants définissent le Hamiltonien de la théorie et il consistera dans notre cas d'une somme de contraintes (avec leur multiplicateur de Lagrange respectif). Choissant l'hypersurface définie par les coordonnées  $\alpha = 1, 2, 3$  et le temps donné par la coordonnée  $\alpha = 0$ , il est facile de voir que les termes avec dérivée temporelle sont dus à la courbure et que la connexion  $\omega_a^{IJ}$  est conjuguée à  $\pi_{IJ}^a = \epsilon^{abc} \epsilon_{IJKL} e_b^K e_c^L$ . La difficulté rencontrée lors de l'analyse canonique et de sa quantification réside dans ce que les variables  $\pi_{IJ}^a$  ne sont pas indépendantes. En effet, elles satisfont des contraintes dites de seconde classe (dans le jargon du programme de Dirac[13]) :

$$\forall a, b, \epsilon^{IJKL} \pi_{IJ}^a \pi_{KL}^b = 0. \quad (1.2)$$

Ce sont ces contraintes qui nous compliquent la tâche.

Heureusement, il est possible de contourner ce problème en se plaçant dans une jauge particulière nommée "jauge temps" (*time gauge* en anglais). C'est ce qui permet d'obtenir une algèbre de contraintes (de première classe) relativement simple et dont l'interprétation physique est claire. Cela aboutira au formalisme réel de la *Loop Quantum Gravity*. La question est alors : a-t-on brisé irréversiblement une symétrie lors de la quantification ? D'un autre côté, le formalisme complexe permet d'éviter les complications du formalisme réel. L'algèbre

des contraintes reste simple et, de plus, l'expression de ces contraintes est même plus simple ! Malheureusement, les contraintes de seconde classe ressurgissent plus tard sous la forme de contraintes de réalité à imposer à la théorie pour obtenir une métrique réelle.

Malgré ces difficultés, au final, nous nous retrouvons avec une théorie de champs (relativement) simple, invariante sous difféomorphismes, dont les seuls degrés de liberté sont une connexion  $SU(2)$  et son champ conjugué. L'algèbre des contraintes est de première classe. Les degrés de liberté canoniques sont au nombre de deux par point de l'espace et, après linéarisation, on retrouve directement les lois de propagation d'un champ de masse nulle et de spin 2, ce qui correspond bien à la relativité générale.

## 1.1 Le formalisme réel de Barbero

Avant de procéder à l'analyse canonique, on commence par la décomposition 3+1 de l'espace-temps. Il s'agit de distinguer la direction temporelle des trois dimensions usuelles d'espace : on se donne une fonction temps  $t$  (à valeur dans  $\mathbb{R}$ ) sur notre espace-temps de topologie  $\Sigma \times \mathbb{R}$ . Les hypersurfaces que nous allons considérer comme l'espace seront les hypersurfaces à  $t$  constant. Dans ce cadre, nous pouvons décomposer la tétrade :

$$e_{0I} = N n_I + N^a e_{aI}, \quad (1.3)$$

où  $n_I$  est le vecteur normalisé gradient de la fonction  $t$  et par conséquent orthogonal aux hypersurfaces à temps constant. Plus précisément, nous avons  $n^I e_{aI} = 0$  et  $n^I n_I = -1$ .  $N$  et  $N^a$  sont dénommés respectivement le *lapse* et le *shift*.

Pour procéder à l'analyse canonique, nous suivons l'approche de Holst [14]. Tout d'abord, nous nous plaçons dans une jauge particulière appelée usuellement *time gauge* et nous choisissons :

$$n_I = (1, 0, 0, 0). \quad (1.4)$$

Cela revient à annuler les composantes temporelles (internes)  $e_{a0} = 0$  : les vecteurs  $e_{\mu i}$  ( $i = 1, 2, 3$ ) forment une base de l'espace tangent à une hypersurface (à temps constant) donnée et la tétrade se réduit d'une manière effective à une triade. Cette fixation de jauge n'impose bien sûr aucune restriction sur la métrique spatiale.

Il est alors possible de procéder à l'analyse canonique de l'action de Palatini généralisée (1.1). Dans ce cadre, nous introduisons la triade :

$$E^{ck} = \frac{1}{2} \epsilon^{abc} \epsilon^{ijk} e_{ai} e_{bj} \quad (1.5)$$

et des nouvelles variables de connexion :

$${}^{\pm} A_{ck} = \omega_{ck0} + \frac{1}{2\gamma} \epsilon_{kij} \omega_c^{ij}. \quad (1.6)$$

Avec ces nouvelles notations, les variables  $\omega_t^{IJ}$  et  ${}^+A$  sont des multiplicateurs de Lagrange imposant des contraintes (pour une expression explicite, voir [14]). Ces contraintes impliquent que

$${}^+ A_{ai} = {}^- A_{ai} - \frac{2}{\gamma} \Gamma_{ai}. \quad (1.7)$$

$\Gamma$  est une fonction de la triade  $E$ , c'est la connexion de Levi-Civita (spatiale)

$$\Gamma_{ai} = -\frac{1}{2} \epsilon_{ijk} e_b^j \nabla_a e^{bk}, \quad (1.8)$$

et vérifie  $\mathcal{D}_a(\Gamma)E_i^b = 0$  (où la dérivée covariante  $\mathcal{D}$  est donnée par  $\Gamma$ ). La relation (1.7) peut être traitée comme une contrainte de seconde classe et permet de se débarrasser de la variable  ${}^+A$ . Finalement, introduisant la connexion  $A_{ai} = \gamma^- A_{ai}$ , l'action se ré-écrit :

$$S = \int -\frac{1}{\gamma} \dot{A}_{ai} E^{ai} + \Lambda_i \nabla_a E^{ai} + N^a E^{bi} F_{abi} + NC, \quad (1.9)$$

où  $F$  est la courbure de la connexion  $A$  et le terme  $C$  est spécifié plus bas dans l'équation (1.12). Les variables conjuguées sont alors  $A_{ai}$  et  $E^{ai}$  et leur crochet de Poisson est :

$$\{A_{ai}(x), E^{bj}(y)\} = \gamma \delta_a^b \delta_i^j \delta^{(3)}(x, y). \quad (1.10)$$

La connexion peut être exprimée en tant que

$$A_{ai} = \Gamma_{ai}(E) + \gamma K_{ai} \quad (1.11)$$

où  $K_{ai} = e_i^\alpha \nabla_a e_{\alpha 0}$  est la courbure extrinsèque. C'est la *connexion d'Ashtekar-Barbero*.

La théorie est un système entièrement contraint. En tout, elle est constituée de 7 contraintes (de première classe) :

$$\begin{aligned} G_i &= \nabla_a E_i^a = \partial_a E_i^a + \epsilon_{ijk} A_a^j E^{ak} \\ V_a &= E^{bi} F_{abi} \\ C &= \epsilon^{ijk} E_i^a E_j^b \left( F_{abk}(A) - \left(1 + \frac{1}{\gamma^2}\right) R_{abk}(\Gamma) \right) \end{aligned} \quad (1.12)$$

où  $R$  est la courbure de la connexion  $\Gamma(E)$ . Ces contraintes sont imposées par les multiplicateurs de Lagrange  $N, N^a$  et

$$\Lambda_i = \frac{1}{\gamma} \left( \frac{1}{\gamma} \omega_{ti0} + \frac{1}{2} \epsilon_{ijk} A_t^{ij} \right).$$

$G_i$  génère des transformations de jauge  $SU(2)$  agissant sur la triade et la connexion. Par similitude avec la théorie de l'électromagnétisme, on l'appelle *Loi de Gauss*.  $V_a$  est une contrainte vectorielle qui génère les difféomorphismes spatiaux (difféomorphismes de  $\Sigma$ ).  $C$  est une contrainte scalaire, la contrainte Hamiltonienne, qui dicte/contraint l'évolution de la géométrie de notre hypersurface canonique. L'expression de cette dernière contrainte est assez compliquée à cause du terme  $R(\Gamma)$ , qui est non-polynomial en les variables  $E$  et  $A$ . Néanmoins, on peut remarquer qu'il disparaît pour le choix  $\gamma = \pm i$ ; mais nous nous occupons du formalisme réel  $\gamma \in \mathbb{R}$  dans la présente section, le cas  $\gamma = \pm i$  sera présenté dans la section suivante et la structure de la théorie sera "beaucoup" plus simple.

Plus précisément, le Hamiltonien de la théorie s'écrit

$$\begin{aligned} H = - \int_{\Sigma} d^3x \mathcal{H} &= - \int_{\Sigma} d^3x (\Lambda^i G_i + N^a V_a + NC) \\ &= - \int_{\Sigma} d^3x ((\Lambda_i - N^a A_a^i) G_i + N^a \Delta_a + NC) \\ &= - (G_{[\Lambda - N^a A_a]} + \Delta_{[\vec{N}]} + C_{[N]}) \end{aligned} \quad (1.13)$$

où  $\Delta_a = V_a + A_a^i G_i$ . Alors l'algèbre des contraintes se lit :

$$\begin{aligned} \{G_{\Lambda_1}, G_{\Lambda_2}\} &= -G_{[\Lambda_1, \Lambda_2]} \\ \{G_{\Lambda}, \Delta_{\vec{N}}\} &= G_{\mathcal{L}_{\vec{N}} \Lambda} \\ \{\Delta_{\vec{N}_1}, \Delta_{\vec{N}_2}\} &= -\Delta_{[\vec{N}_1, \vec{N}_2]} \\ \{G_{\Lambda}, C_N\} &= 0 \\ \{\Delta_{\vec{N}}, C_N\} &= -C_{\mathcal{L}_{\vec{N}} N} \\ \{C_{N_1}, C_{N_2}\} &= \Delta_{\vec{K}} - G_{K^a A_a} \end{aligned} \quad (1.14)$$

avec  $K^a(N_1, N_2) = E^{ia} E_i^b (N_1 \partial_b N_2 - N_2 \partial_b N_1)$ ,  $[\Lambda_1, \Lambda_2]^i = \epsilon_{jk}^i \Lambda_1^j \Lambda_2^k$  et  $[\vec{N}_1, \vec{N}_2]^a = N_1^b \partial_b N_2^a - N_2^b \partial_b N_1^a$ . Maintenant, la transformation générée par

$$J_{\xi} = \int_{\Sigma} d^3x \xi^0 \mathcal{H} - \xi^a \Delta_a \quad (1.15)$$

est un 4-difféomorphisme infinitésimal paramétré par le champs de vecteur  $\xi^\mu$  [15]. En particulier, quand  $\xi^a = 0$ ,  $J_{\xi}$  génère une reparamétrisation du temps  $t \rightarrow t - \xi^0$ , et quand  $\xi^0 = 0$ ,  $J_{\xi}$  induit un difféomorphisme spatial par  $\vec{\xi}$ . Nous remarquons que nous avons besoin d'un mélange des transformations de jauge  $G_i$  et des contraintes  $V_a, C$  pour générer les difféomorphismes.

Si on compte le nombre de variables en chaque point de l'espace, nous avons 9 paires de variables conjuguées soumises à 7 contraintes (de première classe), d'où les 2 degrés de liberté de la gravité (sans matière). De plus, on

peut démontrer que si nous nous plaçons dans le secteur invariant de jauge  $SU(2)$ , c'est-à-dire si nous résolvons la contrainte  $G_i = 0$ , alors l'espace de phase se réduit à celui de l'approche ADM (approche canonique métrique) [10, 11].

Après tout ce travail, nous pouvons nous demander où sont passées les contraintes de seconde classe (1.2) et si la fixation de jauge utilisée est bien légitime. Une réponse est fournie par Barros e Sa dans [16].

Tout d'abord, on peut considérer que les contraintes de seconde classe se traduisent par la contrainte (1.7) reliant  $+A$  et  $-A^{-1}$ . Ensuite, l'analyse de Barros repose sur la résolution explicite des contraintes de seconde classe (1.2) :

$$\begin{aligned}\pi^{a0i} &= E^{ai} \\ \pi^{aij} &= E^{a[i}\chi^{j]}\end{aligned}\tag{1.16}$$

où

$$\chi^i = -\frac{e^{ti}}{e^{tt}}$$

définit la direction temps (dans l'espace de Minkowski interne) en tant que  $(1, \chi^i)$ . La *time gauge* se traduit alors simplement par  $\chi^i = 0$ . Dans ce cadre, l'action définit deux couples de variables conjuguées : une connexion avec la triade, et le champ  $\chi$  avec un autre champ  $\zeta$  (en conservant les notations de [16]). Ces variables sont soumis à 10 contraintes de première classe. On retrouve les 7 contraintes  $G_i, V_a, C$ , dont l'expression en fonction de  $A, E, \chi, \zeta$  est substantiellement plus compliquée que dans l'analyse de Holst. Plus, 3 nouvelles contraintes  $G_i^{(boost)}$  qui génèrent grosso modo les boosts dans l'espace tangent/interne. Elles permettent de tourner le vecteur  $(1, \chi^i)$  jusqu'à  $(1, 0, 0, 0)$  et d'atteindre la fixation de jauge  $\chi^i = 0$ . Dans cette jauge, on oublie ces nouvelles contraintes, on est réduit au couple de variables  $(A, E)$  et on peut vérifier que l'expression des contraintes  $G_i, V_a, C$  se réduit bien en fin de compte à (1.12). Pour les détails des calculs, le lecteur peut se référer à [16].

Finalement, la question de la légitimité de la fixation de jauge devient "la symétrie de Lorentz classique est-elle brisée lors de la quantification de la théorie canonique décrite à l'aide de cette fixation de jauge?" Je m'efforcerai de répondre à cette question dans la partie III en procédant à une analyse canonique covariante et à sa quantification invariante de Lorentz décrite dans [17].

## 1.2 Le formalisme complexe d'Ashtekar

Le formalisme complexe self-dual d'Ashtekar correspond à un choix  $\gamma = \pm i$ . Ce choix particulier permet de simplifier (considérablement) la théorie. La structure canonique de la théorie est alors très semblable à celle de la théorie Euclidienne, c'est-à-dire que nous retrouvons les 7 contraintes  $G_i, V_a, C$  avec une expression simple pour  $C$  qui ne contient pas le terme non-polynomial  $R(\Gamma)$ . La différence principale est que le crochet de Poisson (1.10) se retrouve avec un facteur  $i$ . Le lecteur peut trouver une introduction simple du formalisme et des contraintes dans [12] et une présentation relativement complète dans [18], dont nous suivrons le raisonnement.

L'action de départ s'écrit

$$S[\omega, e] = \int_{\mathcal{M}} \epsilon_{IJKL} e^I \wedge e^J \wedge \left( \frac{1}{2} F^{KL}(\omega) - \frac{i}{4} \epsilon_{MN}^{KL} F^{MN}(\omega) \right).\tag{1.17}$$

Pour simplifier les notations, nous introduisons l'opérateur de Hodge (sur l'espace de Minkowski interne) :

$$\star T^{IJ} = \frac{1}{2} \epsilon_{KL}^{IJ} T^{KL}$$

où les indices sont descendus à l'aide de la métrique plate. Cet opérateur vérifie  $\star^2 = -1$ . Il permet de décomposer des tenseurs de rang 2 en partie self-duale et anti-self-duale :

$$T^{IJ} = \frac{1 - i\star}{2} T^{IJ} + \frac{1 + i\star}{2} T^{IJ} = +T^{IJ} + -T^{IJ}$$

---

<sup>1</sup>Cette intuition est due à la ressemblance que cette relation a avec les conditions de réalité du formalisme self-dual et des relations issues des contraintes de seconde classe dans le cadre covariant qui sera présenté en partie III.

avec  $(-i\star)^+T = {}^+T$  et  $(-i\star)^-T = -{}^-T$ .  ${}^+T$  et  ${}^-T$  sont respectivement la partie self-dual et anti-self-dual du tenseur  $T$ . Nous introduisons alors la connexion self-duale

$${}^4A_\mu^{IJ} = \frac{1}{2}(1 - i\star)\omega_\mu^{IJ} = \frac{1}{2}\omega_\mu^{IJ} - \frac{i}{4}\epsilon_{KL}^{IJ}\omega_\mu^{KL}. \quad (1.18)$$

Elle vérifie  $(-i\star){}^4A_\mu^{IJ} = {}^4A_\mu^{IJ}$ . Il est intéressant de remarquer que la courbure de cette connexion est la partie self-dual de la courbure de  $\omega$  :

$$F_{\mu\nu}^{IJ}({}^4A) = \frac{1}{2}(1 - i\star)F_{\mu\nu}^{IJ}(\omega) = \frac{1}{2}F_{\mu\nu}^{IJ}(\omega) - \frac{i}{4}\epsilon_{KL}^{IJ}F_{\mu\nu}^{KL}(\omega). \quad (1.19)$$

L'action (1.17) peut alors se ré-écrire

$$S(e, \omega) = \frac{1}{2} \int \epsilon_{IJKL} e^I \wedge e^J \wedge F^{KL}({}^4A(\omega)) = \frac{-i}{2} \int e^I \wedge e^J \wedge F_{IJ}({}^4A(\omega)) \quad (1.20)$$

et peut être considérée comme une action  $S(e, {}^4A)$  de la tétrade et d'une connexion  ${}^4A$  complexe et self-duale. En développant tous les indices, on trouve :

$$S(e, {}^4A) = -i \int d^4x \epsilon^{abcd} (e_{ai} e_{bj} F_{tc}^{ij}({}^4A) + e_{ti} e_{aj} F_{bc}^{ij}({}^4A)). \quad (1.21)$$

Nous pouvons alors procéder à l'analyse canonique. Nous commençons par effectuer le découpage 3 + 1 et la fixation de jauge  $n^\mu = e_0^\mu$  comme précédemment. Nous introduisons une connexion spatiale et une triade (de densité +1)<sup>2</sup> :

$$\begin{cases} A_a^i &= 2i{}^4A_a^{0i} = \epsilon_{jk}^i {}^4A_a^{jk} \\ E_i^a &= \frac{1}{2}\epsilon^{abc}\epsilon_{ijk} e_b^j e_c^k \end{cases} \quad (1.22)$$

Alors l'action de la relativité générale se lit :

$$S = \int dt \int_\Sigma d^3x (-iE_k^c A_c^k - A_t^i G_i - N^a V_a - (NE^{-1})C) \quad (1.23)$$

où  $E$  est le déterminant de la triade  $e_a^i$ . Le crochet de Poisson est alors

$$\{A_a^i(x), E_j^b(y)\} = i\delta_a^b \delta_j^i \delta^{(3)}(x, y), \quad (1.24)$$

et les contraintes imposées par les multiplicateurs de Lagrange  $A_t^i, N^a, N$  sont :

$$\begin{cases} G_i &= i\nabla_c E_i^c = i(\partial_c E_i^c + \epsilon_{ij}^k A_c^j E_i^c) \\ V_a &= iE_i^b F_{ba}^i(A) \\ C &= -\frac{1}{2}\epsilon_k^{ij} E_i^a E_j^b F_{ab}^k(A) \end{cases} \quad (1.25)$$

Le système est bien de première classe, les  $G_i$  génèrent les transformations de jauge  $SU(2)$ ;  $V_a$  et  $C$  les difféomorphismes de l'espace-temps  $\mathcal{M}$ . On remarque que la structure de la théorie est identique (à des détails près) au formalisme réel. Néanmoins l'expression de la contrainte Hamiltonienne est polynomial en  $A$  et  $E$ , ce qui la rend plus simple à gérer. A part cette différence, toute la structure de l'algèbre des contraintes est la même que dans le formalisme réel présenté dans la section précédente.

Le prix à payer est que nous avons des "contraintes" supplémentaires à prendre en compte. En effet, nous voulons que la métrique spatiale (de  $\Sigma$ ) reste réelle. Puisque  $q^{ab} = E_i^a E^{bi}$ <sup>3</sup>, cela revient à supposer que la triade reste réelle :

$$\text{Im } E_i^a = 0. \quad (1.26)$$

---

<sup>2</sup>C'est l'inverse de la triade  $e_a^i$  au déterminant  $E$  de  $e_a^i$  près.

De plus, pour que cette condition soit vérifiée lors de l'évolution dans le temps, il faut également imposer que  $\{E_i^a E^{bi}, H\}$  soit réel. Après calcul ([18], page 13), cela se traduit par

$$\operatorname{Re} \epsilon^{ijk} E_i^a \nabla_c [E_j^b E_k^c] = 0. \quad (1.27)$$

Ceci avec la contrainte de Gauss  $G_i$  implique que

$$\operatorname{Re} A_a^i = \frac{1}{2} \epsilon_{jk}^i \Gamma_a^{jk}(e), \quad (1.28)$$

où  $\Gamma(e)$  est la connexion de spin induite par la tétrade  $e$  comme dans la section précédente. Ceci correspond également à ce que la connexion  $A$  s'exprime en fonction de  $\Gamma(E)$  et de la courbure extrinsèque  $K$  :

$$A_{ai} = \Gamma_{ai}(E) + iK_{ai}. \quad (1.29)$$

Ces conditions de réalité ne compliquent pas la théorie classique. Elles interviendront par contre dans la théorie quantique pour contraindre le produit scalaire de la théorie comme nous le verrons dans le prochain chapitre.

De plus, nous pouvons remarquer que ces contraintes de réalité correspondent aux contraintes de seconde classe. En effet, dans un formalisme canonique sans *time gauge* [19, 17], la contrainte (1.27) s'obtient par le crochet de Poisson de la contrainte Hamiltonienne avec les contraintes (1.2) de seconde classe  $\pi \star \pi = 0$ . De plus, dans ce même contexte, on en dérive également une contrainte sur la connexion (de Lorentz) similaire à (1.28) [17].

### 1.3 Le paramètre d'Immirzi $\gamma$

La présentation que j'ai faite du formalisme de la *Loop Gravity* n'est pas la dérivation originelle de la théorie. Chronologiquement, le formalisme self-dual a été dérivé en premier par Ashtekar. Puis, le formalisme réel a été écrit par Barbero (d'où le nom de connexion d'Ashtekar-Barbero) à travers une transformation canonique. En effet, les variables de la *Loop Gravity* self-dual sont la connexion  $A$  self-duale et la triade réelle. En utilisant la relation  $A^{(ash)} = \Gamma(E) + iK$ , il est possible d'effectuer une transformation canonique de  $(E, A^{(ash)})$  vers les variables  $(E, K)$ . Le générateur de cette transformation est  $i \int \Gamma_a^i E_i^a$ . Puis, en utilisant une transformation générée par  $\int \Gamma_a^i E_i^a$  cette fois, il est possible d'obtenir les variables  $(E, A^{(bar)}) = \Gamma + \gamma K$  [20]. Cette astuce permet d'obtenir une théorie réelle, donc sans contraintes de réalité compliquant la quantification de la théorie, au prix de compliquer le Hamiltonien (la contrainte Hamiltonienne plus précisément).

Puis Holst proposa sa dérivation de la théorie réelle à partir de l'action de Palatini généralisée (1.1). Ce n'est que plus tard qu'Immirzi argumenta que ce paramètre, inoffensif dans la théorie classique, devient déterminant dans la théorie quantique : il modifie le spectre des opérateurs géométriques et induit l'existence d'une famille de quantification inéquivalente [21]. Il faudrait alors le fixer d'une manière ou d'une autre. Depuis, on s'interroge constamment sur l'origine théorique [22] et surtout son rôle physique. Peut-être qu'il n'existe qu'une seule théorie cohérente. Mais cela ne semble pas vraisemblable et il a été proposé que le paramètre d'Immirzi  $\gamma$  soit fixé en fonction de la relation entre l'aire et l'entropie d'un trou noir (voir par exemple [23, 24]).

D'un autre côté, il peut être jugé qu'un tel paramètre n'a pas de sens physique. Dans ce cas, la critique est dirigée contre le formalisme réel, élevant des doutes quant à l'interprétation des variables triade/connexion comme des variables d'espace-temps [25] et à la covariance de la théorie (plus précisément l'implémentation de l'invariance par le groupe Lorentz et des difféomorphismes d'espace-temps, par contraste avec les difféomorphismes d'espace dont l'action est bien définie en *Loop Quantum Gravity*) [17, 26, 27]. Dans ce cadre, il a été prouvé que l'intégrale de chemin ne devrait pas dépendre de  $\gamma$  [19] et qu'il est possible de construire une théorie totalement covariante [17, 26] où le paramètre d'Immirzi n'intervient pas dans le spectre des opérateurs géométriques. Cette formulation covariante sera explicitée dans la partie III.

---

<sup>3</sup>En fait,  $\tilde{q}^{ab} = E_i^a E^{bi}$  est une densité +2, et  $c$  est la métrique  $q$  à un facteur  $E^2$  près. En particulier  $\det[\tilde{q}^{ab}] = q^2$ .



# Chapitre 2

## Quantifier avec des Boucles

L'analyse canonique de l'action de Palatini (avec la fixation de jauge telle que la direction temps soit normale à l'hypersurface canonique) nous fournit un formalisme de géomérodynamique, fondé non sur la métrique mais sur une connexion  $SU(2)$  (et sa triade conjuguée). Ce formalisme est très similaire à une théorie de jauge de type de Yang-Mills et peut être vu (du point de vue mathématique) comme une généralisation de la théorie quantique du champ électromagnétique (QED) échangeant le groupe de jauge  $U(1)$  contre le groupe non-abélien  $SU(2)$  : la connexion  $A$  est l'analogie du potentiel électromagnétique et la triade  $E$  est l'analogie du champ électrique.

Après avoir procédé à l'analyse de la structure canonique, il s'agit maintenant de trouver des observables de la théorie, puis d'en construire une représentation sur laquelle pourront agir des opérateurs correspondant aux variables classiques connexion et triade. Une observable est une quantité qui commute avec toutes les contraintes, ici  $G_i$ ,  $V_a$  et  $H$ . Nous allons procéder par étape et commencer par l'invariance de jauge  $G_i$  avant de nous préoccuper de l'invariance sous difféomorphismes (spatiaux) et d'implémenter la contrainte Hamiltonienne.

Une observable naturelle dans les théories de jauge est la boucle de Wilson. Elle consiste en la trace de l'holonomie de la connexion (de jauge) autour d'une boucle ; soit dans notre cas, en notant  $e$  une boucle sur notre hypersurface  $\Sigma$  :

$$W_e(A) = \text{Tr } U_e(A) = \text{Tr } e^{\int_e A} = \text{Tr } e^{\int_0^1 dt A_a^i(e(t)) \tau_i \dot{e}^a(t)}, \quad (2.1)$$

où  $t \in [0, 1] \rightarrow e(t)$  est une paramétrisation de la boucle  $e$  et  $\tau_i$  sont les générateurs de  $SU(2)$  (les matrices de Pauli). Une transformation de jauge  $SU(2)$  est définie par une fonction  $g : x \in \Sigma \rightarrow g(x) \in SU(2)$ . Son action sur la connexion est  ${}^g A = g^{-1} A g + g^{-1} \partial g$  et l'holonomie le long d'une courbe  $\gamma$  se transforme en  ${}^g U_\gamma(A) = g(\gamma(0))^{-1} U_\gamma(A) g(\gamma(1))$ . Par conséquent, notant  $x_0 = e(0) = e(1)$  le point de départ de la boucle,  $U_e$  se transforme en  $g(x_0)^{-1} U_e g(x_0)$  et sa trace est invariante sous l'action du groupe de jauge. Il est possible de généraliser la boucle de Wilson à un graphe quelconque (au lieu d'une boucle). Cela nous fournit des *fonctions cylindriques* en la connexion  $A$ , qui ne dépendent de la connexion qu'à travers un nombre fini de variables. Plus précisément, soit un graphe orienté et fermé  $\Gamma$  avec  $E$  liens et  $V$  vertex. Nous construisons les  $E$  holonomies de la connexion  $A$  le long des liens de  $\Gamma$  puis nous considérons des fonctions sur  $SU(2)^E$  :

$$\varphi_{\Gamma(A), \phi} = \phi(U_{e_1}, \dots, U_{e_E}) \in \mathbb{C}. \quad (2.2)$$

L'action d'une transformation de jauge agit sur chaque holonomie  $U_e$  par une rotation à la source  $s(e)$  du lien  $e$  et à sa cible  $c(e)$  :

$$U_e \rightarrow g_{s(e)}^{-1} U_e g_{c(e)}, \quad (2.3)$$

donc agit sur la fonctionnelle  $\varphi_{\Gamma, \phi}$  au niveau des vertex du graphe  $\Gamma$  à travers  $V$  éléments  $g_1, \dots, g_V$  de  $SU(2)$ . Par conséquent, demander que  $\varphi_{\Gamma, \phi}$  soit invariante sous transformation de jauge revient à imposer que la fonction  $\phi$  définie sur  $SU(2)^E$  soit invariante sous l'action de  $SU(2)^V$  :

$$\forall g_v \in SU(2), \phi(U_{e_1}, \dots, U_{e_E}) = \phi(g_{s(e_1)}^{-1} U_{e_1} g_{c(e_1)}, \dots, g_{s(e_E)}^{-1} U_{e_E} g_{c(e_E)}). \quad (2.4)$$

Les fonctions cylindriques que nous avons construites sont invariantes sous l'action de  $SU(2)$  i.e sous l'action de la loi de Gauss  $G_i$ . Par contre, elles ne sont pas invariantes sous l'action de  $V_a$  et de  $C$ . Puisque  $V_a$  induit

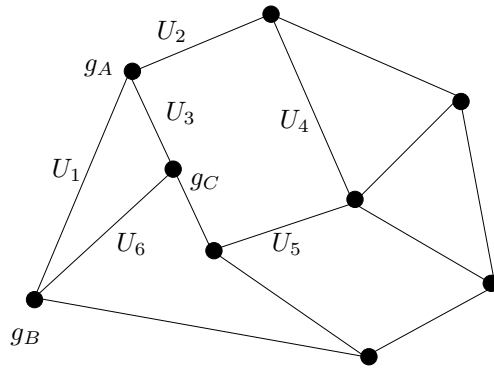


FIG. 2.1 – Support du graphe d'une fonction cylindrique dépendant des holonomies le long des liens 1, 2, ... et invariants de jauge aux vertex  $A, B, \dots$

les difféomorphismes sur  $\Sigma$ , il est intuitif que son action sur une fonctionnelle  $\varphi_{\Gamma, \phi}$  à support sur un graphe  $\Gamma$  va être de déplacer le graphe  $\Gamma$ . Par contre, l'action de  $H$  va être plus subtile à implémenter.

Il est également possible de construire des "observables" <sup>1</sup>invariantes sous  $SU(2)$  à partir de la triade. La triade se transforme de manière homogène sous le groupe de jauge  $E(x) \rightarrow g(x)^{-1}E(x)g(x)$ . Se choisissant une surface  $\mathcal{S} \subset \Sigma$  et une fonction  $f : \mathcal{S} \rightarrow su(2)$ , on peut définir un flux de la densité  $E_i^a$  à travers la surface orientée  $\mathcal{S}$  par

$$E(\mathcal{S}, f) = \frac{1}{2} \int_{\mathcal{S}} E_i f^i = \frac{1}{2} \int_{\mathcal{S}} E_i^a f^i \epsilon_{a a_1 a_2} dx^{a_1} \wedge dx^{a_2} \quad (2.5)$$

où  $x^1, x^2, x^3$  est un système de coordonnées sur  $\Sigma$ . Le champ  $E$  étant conjugué à la connexion, ces flux  $E(\mathcal{S}, f)$  agiront comme des dérivations sur les fonctionnelles  $\varphi_{\Gamma}(A)$  de la connexion. L'algèbre formée par les  $E(\mathcal{S}, f)$  et les  $\varphi_{\Gamma}$  peut être considérée comme l'algèbre fondamentale en *Loop Gravity* (voir par exemple [28]).

Néanmoins, je ne regarderai pas en détails cette algèbre-là et je concentrerai mon attention sur d'autres "observables" fonctions de la triade, qui permettent de construire l'opérateur d'aire d'une surface. Choisissons une surface  $\mathcal{S}$  de coordonnées  $\sigma^1$  et  $\sigma^2$  et commençons par construire la quantité

$$E_i(\mathcal{S}) = \int_{\mathcal{S}} d\sigma^1 d\sigma^2 \epsilon_{abc} \frac{\partial x^a(\vec{\sigma})}{\partial \sigma^1} \frac{\partial x^b(\vec{\sigma})}{\partial \sigma^2} E_i^c(x(\vec{\sigma})). \quad (2.6)$$

Alors la quantité  $\sqrt{E_i(\mathcal{S})E_i(\mathcal{S})}$  est invariante sous  $SU(2)$ . Justement, cela permet de construire l'aire d'une surface  $\mathcal{S}$  en prenant la limite d'une fine partition de  $\mathcal{S}$  en petites surface  $\mathcal{S}_k^{(n)}$  [29] :

$$\mathcal{A}(\mathcal{S}) = \lim_{n \rightarrow \infty} \sum_k \sqrt{E_i(\mathcal{S}_k^{(n)})E_i(\mathcal{S}_k^{(n)})}. \quad (2.7)$$

En effet, par définition de l'intégrale de Riemann, le terme de droite se lit

$$\int_{\mathcal{S}} d\sigma^1 d\sigma^2 \sqrt{\epsilon_{abc} \frac{\partial x^a(\vec{\sigma})}{\partial \sigma^1} \frac{\partial x^b(\vec{\sigma})}{\partial \sigma^2} E_i^c(x(\vec{\sigma})) \epsilon_{def} \frac{\partial x^d(\vec{\sigma})}{\partial \sigma^1} \frac{\partial x^e(\vec{\sigma})}{\partial \sigma^2} E_i^f(x(\vec{\sigma}))}.$$

En choisissant  $x^3 = 0$  sur la surface  $\mathcal{S}$  et donc  $\sigma^1 = x^1, \sigma^2 = x^2$ , cela se réduit à

$$\int_{\mathcal{S}} d\sigma^1 d\sigma^2 \sqrt{E^{3i}(x)E^{3i}(x)} = \int_{\mathcal{S}} d\sigma^1 d\sigma^2 \sqrt{\det(g)g^{33}} = \int_{\mathcal{S}} d\sigma^1 d\sigma^2 \sqrt{\det^2(g)},$$

<sup>1</sup>Le mot "observables" est ici un abus de langage puisque les fonctionnelles considérées ne sont pas invariantes sous toutes les contraintes : ce ne sont que des observables partielles.

où nous avons utilisé le fait que  $E_i^a$  est la densité inverse de la triade  $e_a^i$  (comme vu dans le chapitre précédent) et par conséquent  $E_i^a E_i^b = \det(g) g^{ab}$  avec  $g^{ab}$  l'inverse de la métrique.

Maintenant, je vais procéder à la quantification canonique de l'action de Palatini formulée dans les variables de connexion  $SU(2)$  et de triade. La *Loop Quantum Gravity* est fondée sur le choix des fonctions cylindriques de la connexion  $A$  comme *fonctions d'onde*. L'espace des fonctions cylindriques  $L^2$  est alors l'espace de Hilbert des états quantiques de la géométrie de l'hypersurface canonique. Je montrerai comment construire la base des réseaux de spin de cet espace  $L^2$ , puis j'expliquerai comment implémenter un opérateur d'aire, diagonal sur les réseaux de spins, et un opérateur de volume. Cela définira la *Loop Quantum Gravity*, une quantification non-perturbative de la relativité générale censée nous décrire l'espace-temps à l'échelle de Planck.

## 2.1 Des réseaux de spins

Dans cette section, je vais expliquer comment les fonctions cylindriques nous fournissent un espace d'Hilbert pour la théorie quantique, qui sera l'espace des états quantiques de notre hypersurface canonique. Je commencerai par regarder l'espace des fonctions cylindriques à support sur un graphe  $\Gamma$  donné. Je définirai l'espace d'Hilbert des fonctions  $L^2$  et je présenterai sa base donnée par les réseaux de spins. Puis, dans une seconde étape, je sommerai sur tous les graphes et considérerai l'ensemble de toutes les fonctions cylindriques. Cet espace pourra être vu comme l'espace des fonctions  $L^2$  sur un espace de connexions généralisées à l'aide de la mesure d'Ashtekar-Lewandowski. Cet espace aura comme base l'ensemble de tous les réseaux de spins (à support sur n'importe quel graphe). Il fournit une représentation (des fonctionnelles cylindriques) de la connexion  $A$  (l'opérateur multiplication) et des quantités géométriques fonction de la triade (comme les flux, l'aire et le volume) en tant qu'opérateurs hermitiens.

### 2.1.1 La Base des Réseaux de Spin

Plaçons nous donc sur un graphe fixé  $\Gamma$  plongé dans  $\Sigma$  et considérons l'ensemble des fonctions cylindriques à support sur  $\Gamma$ . Nous aimerions construire un espace d'Hilbert à partir de ces fonctionnelles, plus précisément un espace  $L^2$ . Pour cela, il nous faut choisir une mesure. Une mesure naturelle est la mesure de Haar  $d\mu_\Gamma = \prod_e dg_e$  sur  $SU(2)^E$ . Ainsi la mesure d'une fonctionnelle  $\varphi_{\Gamma, \phi} = \phi(U_{e_1}, \dots, U_{e_E})$  sera :

$$\mu_\Gamma(\varphi_{\Gamma, \phi}) = \int \prod_{i=1}^E dg_i \phi(g_1, \dots, g_E). \quad (2.8)$$

Cette mesure ne faisant pas mention explicite du graphe  $\Gamma$ , elle permettra une implémentation simple de l'action des difféomorphismes comme nous le verrons plus loin. Egalement, cette mesure sera l'unique mesure pour laquelle les opérateurs construits à partir de la triade seront hermitiens.

Ayant choisi la mesure, on peut donc construire l'espace d'Hilbert  $\mathcal{H}_\Gamma = L^2(d\mu_\Gamma)$  sur laquelle le produit scalaire s'écrit :

$$\langle \varphi_\phi | \varphi_\psi \rangle = \langle \phi | \psi \rangle = \int \prod_{i=1}^E dg_i \bar{\phi}(g_1, \dots, g_E) \psi(g_1, \dots, g_E). \quad (2.9)$$

A partir de là, il serait intéressant d'exhiber une base de cet espace d'Hilbert pour avoir une idée de sa structure. C'est l'espace des fonctions  $L^2$  sur  $SU(2)^E$  qui sont invariantes sous l'action de  $SU(2)^V$ . On pourra donc commencer par regarder l'espace  $L^2(SU(2)^E)$ , puis imposer l'invariance sous  $SU(2)^V$ . Cette approche est valide car  $SU(2)$  est compact : si le groupe de jauge était de volume infini (comme le groupe de Lorentz), alors l'espace  $L^2(G^E)$  ne contiendrait aucune fonction invariante sous l'action de  $G^V$ .

$L^2(SU(2)^E)$  s'obtient en utilisant la formule de décomposition de Peter-Weyl. C'est une sorte de transformée de Fourier qui exprime une fonction  $f \in L^2(SU(2))$  comme une somme sur les représentations de  $SU(2)$  :

$$\forall g \in SU(2), f(g) = \sum_{j,m,n} f_{mn}^j D_{mn}^{(j)}(g), \quad (2.10)$$

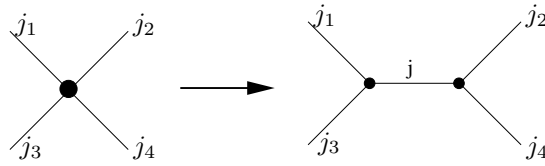


FIG. 2.2 – Décomposition d’un entrelaceur 4-valent en vertex trivalents : on “déplie” le vertex 4-valent en un lien “virtuel”.

où  $j \in \mathbb{N}/2$  labelle les représentations irréductibles (de dimension finie) de  $SU(2)$ . Appelons  $V^j$  l’espace associé à la représentation de spin  $j$ .  $m, n$  labellent une base de  $V^j$  (la base usuelle  $|m\rangle$ ) et varient sur  $-j, -j+1, \dots, j-1, j$ .  $D^{(j)}(g)$  est la matrice représentant l’élément de groupe  $g$  dans la représentation de spin  $j$ . Les  $f_{mn}^j$  sont l’équivalents des composantes de Fourier de la fonction  $f$ .

A l’aide de cette formule, on peut décomposer une fonction  $f(g_1, \dots, g_E) \in L^2(SU(2)^E)$  sur les représentations de  $SU(2)$ . On va associer à chaque lien  $e$  du graphe une représentation  $j_e$  et des vecteurs  $m_e, n_e$ . Ces deux vecteurs sont en fait associés aux deux vertex source  $v = s(e)$  et cible  $v = c(e)$  du lien  $e$ . Puis une base de  $L^2(SU(2)^E)$  est fournie par les vecteurs :

$$f^{\{j_e, m_e, n_e\}}(g_1, \dots, g_E) = \prod_e D_{m_e n_e}^{(j_e)}(g_e) = \prod_e \langle j_e m_e | g_e | j_e n_e \rangle. \quad (2.11)$$

Il s’agit maintenant d’identifier le secteur invariant de jauge i.e satisfaisant la relation (2.4). Pour cela, on veut imposer une invariance sous  $SU(2)$  à chaque vertex. Cela est réalisé en choisissant pour chaque vertex  $v$  un tenseur  $\prod_{e \text{ in}} V^{j_e} \rightarrow \prod_{e \text{ out}} V^{j_e}$ , ou d’une manière équivalente  $\prod_{e \text{ in}} V^{j_e} \otimes \prod_{e \text{ out}} \overline{V}^{j_e} \rightarrow \mathbb{C}$ , invariant sous  $SU(2)$ . Les liens  $e \text{ in}$  sont les liens incidents sur  $v$  et les liens  $e \text{ out}$  sont les liens partant de  $v$ . De tels objets sont appelés entrelaceurs. Si nous avons un vertex trivalent, l’entrelaceur entre 3 représentations de  $SU(2)$  est unique à une normalisation près : il est donné par les coefficients de Clebsh-Gordan. Une fois donnés des entrelaceurs  $I_v$  pour tous les vertex  $v$ , on peut construire une fonction invariante de jauge en contractant les éléments de matrices  $D^{(j_e)}(g_e)$  au niveau des vertex à l’aide des  $I_v$  :

$$\begin{aligned} f^{j_e, I_v}(g_1, \dots, g_E) &= \prod_e D^{(j_e)}(g_e) \otimes \prod_v (I_v)^{j_e \text{ in}, j_e \text{ out}} \\ &= \prod_e \langle j_e m_e | g_e | j_e n_e \rangle \prod_v \langle j_e \text{ in } n_e | (I_v)^{j_e \text{ in}, j_e \text{ out}} | j_e \text{ out } m_e \rangle. \end{aligned} \quad (2.12)$$

Finalement, comme nous voulons une base de l’espace  $L^2$  des fonctions invariantes, il ne reste plus qu’à choisir une base d’entrelaceurs pour chaque vertex. Pour trouver une base d’entrelaceurs pour un vertex  $n$ -valent, il suffit de déplier le vertex en un graphe (avec  $n$  pattes extérieures) ne contenant que des vertex (virtuels) trivalents : les entrelaceurs des vertex trivalents sont donnés par les Clebsh-Gordan et on labelle les liens virtuels avec des spins internes aux vertex (voir fig.2.2 pour l’exemple de l’entrelaceur 4-valent). On obtient alors une base de  $\mathcal{H}_\Gamma$  par fonctions labellées par des spins  $j_e$  sur chaque lien et des entrelaceurs  $I_v$  à chaque vertex : c’est la base des réseaux de spin ou *spin networks* (voir fig.2.3).

## 2.1.2 Connexion Généralisée et Mesure d’Ashtekar-Lewandowski

Il s’agit maintenant de considérer l’ensemble des fonctions cylindriques, c’est-à-dire en quelque sorte de sommer sur l’ensemble des graphes  $\Gamma$ , pour obtenir un espace d’Hilbert représentant tous les états quantiques de l’hypersurface (canonique). Dans ce cadre, l’approche d’Ashtekar et Lewandowski est d’utiliser des techniques de limites projectives pour définir un espace de connexion généralisée sur lequel on peut introduire une mesure, la mesure dite d’Ashtekar-Lewandowski [30]. L’espace  $L^2$  en résultant sera une somme, ou limite projective, des espaces d’Hilbert  $\mathcal{H}_\Gamma$ . Le lecteur pourra trouver une revue détaillée de ce formalisme dans [10].

Tout d’abord on définit l’espace des connexions discrètes invariantes de jauge à support sur le graphe  $\Gamma$  (plongé dans l’hypersurface  $\Sigma$ ) :

$$\begin{aligned} A_\Gamma &= SU(2)^E / SU(2)^V \\ &= \left\{ [(g_{e_1}, \dots, g_{e_E})]_{SU(2)^V} \right\} = \left\{ \{ (k_{s(e_i)}^{-1} g_{e_i} k_{t(e_i)}, i = 1 \dots E), k_v \in SU(2) \} \right\}. \end{aligned} \quad (2.13)$$

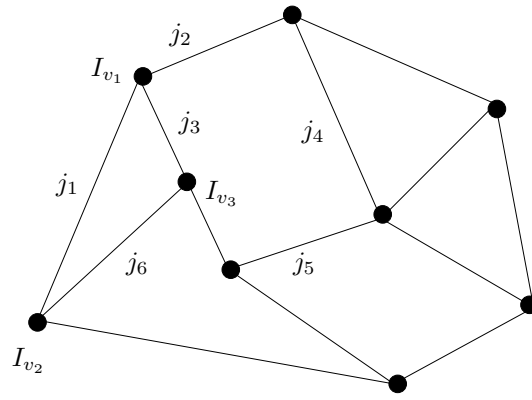


FIG. 2.3 – Réseau de spin labellé par les représentations  $j_1, j_2, \dots$  sur les liens et par les entrelacements  $I_v$  aux vertex.

On introduit un ordre partiel  $\prec$  sur l'ensemble des graphes :  $\Gamma_1 \prec \Gamma_2$  ssi  $\Gamma_1$  peut être obtenu à partir de  $\Gamma_2$  en enlevant des liens et des vertex bivalents. On peut alors définir des projections  $p_{\Gamma_2\Gamma_1} : A_{\Gamma_2} \rightarrow A_{\Gamma_1}$  pour  $\Gamma_1 \prec \Gamma_2$  en enlevant les liens et vertex bivalents supplémentaires :

$$\begin{cases} \text{enlever le lien } e_i & (g_1, \dots, g_i, \dots, g_E) \rightarrow (g_1, \dots, g_{i-1}, g_{i+1}, \dots, g_E) \\ \text{vertex bivalent entre } e_1 \text{ et } e_2 & (g_1, g_2, \dots, g_E) \rightarrow (g_1 g_2^\epsilon, \dots, g_E) \end{cases} \quad (2.14)$$

où  $\epsilon = \pm 1$  dépend de l'orientation relative de  $e_1$  et  $e_2$ . Illustrons ces projections par l'exemple de la réduction du graphe  $\Theta$  à une simple boucle :

$$\begin{array}{ccc} \begin{array}{c} 1 \\ \text{---} \\ 2 \\ \text{---} \\ 3 \end{array} & \longrightarrow & \begin{array}{c} 1 \\ \text{---} \\ 3 \end{array} \\ (g_1, g_2, g_3) \sim (h^{-1}g_1k, h^{-1}g_2k, h^{-1}g_3k) & \longrightarrow & (g_1, g_3) \sim (h^{-1}g_1k, h^{-1}g_3k) \end{array} \quad (2.15)$$

$$\begin{array}{ccc} \begin{array}{c} 1 \\ \text{---} \\ 3 \end{array} & \longrightarrow & \begin{array}{c} 1 \\ \text{---} \end{array} \\ (g_1, g_3) \sim (h^{-1}g_1k, h^{-1}g_3k) & \longrightarrow & G_1 = g_1 g_3^{-1} \sim h^{-1}G_1 h \end{array}$$

On définit ensuite la limite projective  $\bar{\mathbf{A}}$  comme l'ensemble des familles d'éléments de  $A_\Gamma$  cohérentes avec les projections :

$$\mathbf{A} = \{(a_\Gamma)_{\Gamma_{\text{graphe}}} \in \times_\Gamma A_\Gamma / \forall \Gamma_{1,2}, \Gamma_1 \prec \Gamma_2 \Rightarrow p_{\Gamma_2\Gamma_1} a_{\Gamma_2} = a_{\Gamma_1}\}. \quad (2.16)$$

Dans le cas du groupe compact  $SU(2)$ , les espaces  $A_\Gamma$  sont topologiques, compacts et Hausdorff, et les projections sont continues, par conséquent  $\mathbf{A}$ , muni de la topologie de Tychonov (topologie produit) est compact et Hausdorff. On construit donc les fonctions continues sur  $\mathbf{A}$ . On commence par définir les espaces

$$C^0(A_\Gamma) = \{f \in \mathcal{F}(A_\Gamma, \mathbf{C}), f \text{ continues}\}. \quad (2.17)$$

Les projections  $p$  induisent des injections entre les espaces de fonctions  $C^0(A_{\Gamma_1})$  et  $C^0(A_{\Gamma_2})$  dès que  $\Gamma_1 \prec \Gamma_2$  :

$$i_{\Gamma_1\Gamma_2} : C^0(A_{\Gamma_1}) \rightarrow C^0(A_{\Gamma_2}) \quad (2.18)$$

$$\phi(\{g_e\}_{e \in \Gamma_1}) \rightarrow \tilde{\phi}(\{g_e\}_{e \in \Gamma_2}) = \phi(p_{\Gamma_2\Gamma_1}\{g_e\}_{e \in \Gamma_2}). \quad (2.19)$$

On définit alors la relation d'équivalence suivante :

$$\begin{aligned} f_{\Gamma_1} \in C^0(A_{\Gamma_1}) \sim f_{\Gamma_2} \in C^0(A_{\Gamma_2}) & \Leftrightarrow \exists \Gamma_3 \succ \Gamma_1, \Gamma_2, i_{\Gamma_1\Gamma_3} f_{\Gamma_1} = i_{\Gamma_2\Gamma_3} f_{\Gamma_2} \\ & \Leftrightarrow \forall \Gamma_3 \succ \Gamma_1, \Gamma_2, i_{\Gamma_1\Gamma_3} f_{\Gamma_1} = i_{\Gamma_2\Gamma_3} f_{\Gamma_2} \end{aligned} \quad (2.20)$$

Ceci nous permet de définir l'espace des *fonctions cylindriques* :

$$Cyl(\mathbf{A}) = \bigcup_{\Gamma} C^0(A_{\Gamma}) / \sim. \quad (2.21)$$

Nous avons divisé par la relation d'équivalence pour enlever les redondances dues à l'existence des injections. Sur  $Cyl(\mathbf{A})$ , on définit la norme

$$\|[f_{\Gamma}]_{\sim}\| = \sup_{x_{\Gamma} \in A_{\Gamma}} |f_{\Gamma}(x_{\Gamma})|. \quad (2.22)$$

Alors l'espace complété est une  $C^*$  algèbre abélienne, à laquelle nous pouvons appliquer le théorème de Gelfand-Naimark. Ainsi, c'est l'algèbre des fonctions continues sur un certain espace compact et Hausdorff dénommé le spectre de Gelfand de la  $C^*$  algèbre. Dans [30], Ashtekar et Lewandowski ont démontré que son spectre de Gelfand est tout simplement  $\mathbf{A}$  i.e que nous avons l'isomorphisme suivant :

$$Cyl(\mathbf{A}) \approx C^0(\mathbf{A}). \quad (2.23)$$

$Cyl(\mathbf{A})$  est notre espace de *connexion généralisée*. Nous allons construire une mesure sur cet espace. Pour cela, si on choisit des mesures  $d\mu^{(\Gamma)}$  sur les espaces des connexions discrètes  $A_{\Gamma}$  de telle sorte qu'elles soient compatibles avec les injections :

$$\forall \Gamma_1 \prec \Gamma_2, i_{\Gamma_1 \Gamma_2} d\mu^{(\Gamma_2)} = d\mu^{(\Gamma_1)}. \quad (2.24)$$

Il est alors possible de définir une mesure  $\overline{d\mu}$  sur  $\mathbf{A}$  en considérant la limite projective. Dans notre cas, les mesures  $d\mu^{(\Gamma)}$  sont les mesure de Haar et elles satisfont trivialement la condition de compatibilité. Leur limite projective est la mesure d'Ashtekar-Lewandowski et l'espace d'Hilbert final est donc :

$$\mathcal{H}_{cyl} = L^2(\overline{A}, \overline{d\mu}).$$

Un manière alternative et élégante de construire cet espace d'Hilbert est d'utiliser la construction GNS (d'après Gelfand-Naimark-Segal) [31, 32].

On considère l'algèbre  $\mathcal{A}$  de toutes les fonctions cylindriques  $f_{\Gamma}$  (à support sur tous les graphes  $\Gamma$ ) munie de la multiplication entre fonctions. On définit la norme sup sur cet espace comme précédemment

$$\|f_{\Gamma}\| = \sup_{A_{\Gamma}} |f_{\Gamma}|. \quad (2.25)$$

Puis, on complète  $\mathcal{A}$  en une  $C^*$  algèbre  $\overline{\mathcal{A}}$ . Sur  $\overline{\mathcal{A}}$ , on définit un *état*  $\omega$  - une forme linéaire positive normalisée - qui est ici simplement l'intégration :

$$\omega(f_{\Gamma}) = \int_{A_{\Gamma}} d\mu^{(\Gamma)} f_{\Gamma} = \int_{SU(2)^E} dg_1 \dots dg_E f_{\Gamma}(g_1, \dots, g_E). \quad (2.26)$$

$\omega$  induit un produit scalaire dégénéré  $\langle f_{\Gamma_1} | f_{\Gamma_2} \rangle = \omega(f_{\Gamma_1}^* f_{\Gamma_2})$  en se souvenant que le produit de deux fonctions cylindriques est une fonction cylindrique à support sur un graphe plus grand contenant à la fois  $\Gamma_1$  et  $\Gamma_2$ . On définit l'idéal de Gelfand :

$$\mathcal{I} = \{a \in \overline{\mathcal{A}} | \omega(a^* a) = 0\}. \quad (2.27)$$

On obtient alors un vrai produit scalaire Hermitien (défini positif) sur l'espace  $\mathcal{H}_{\text{gns}} = \overline{\mathcal{A}}/\mathcal{I}$ . Puis on obtient un espace d'Hilbert en complétant cet espace en  $\overline{\mathcal{H}_{\text{gns}}}$ . Il est facile de se convaincre que la relation d'équivalence  $\sim$  est la même que celle définie par  $\mathcal{I}$  et donc que les deux méthodes mènent au même résultat :  $\overline{\mathcal{H}_{\text{gns}}} = \mathcal{H}_{cyl}$ .

Faisons cette construction explicitement. La base des réseaux de spin nous fournit une décomposition de  $\mathcal{H}_{\Gamma}$  avec laquelle il est aisé d'implémenter la relation d'équivalence  $\sim$ . Si un lien  $e$  de  $\Gamma$  est labellé par la représentation triviale  $j = 0$ , alors la fonctionnelle réseau de spin correspondante ne dépend en fait pas de l'élément de groupe  $g_e$  vivant sur ce lien : elle sera égale au réseau de spin défini sur  $\Gamma' = \Gamma \setminus \{e\}$  avec les mêmes labels et entrelaceurs. Par conséquent, nous pouvons décomposer  $\mathcal{H}_{\Gamma}$  en la somme des espaces d'Hilbert

$\tilde{\mathcal{H}}_{\Gamma'}$ ,  $\Gamma' \subset \Gamma$ , des réseaux de spin à support sur  $\Gamma'$  **ne contenant aucune représentation triviale**  $j = 0$ . De plus, si nous considérons un graphe arbitraire  $\Gamma_1$  (qui n'est pas une simple boucle avec un unique vertex) et un graphe  $\Gamma_2$  obtenu en enlevant un vertex bivalent de  $\Gamma_1$ , les espaces  $\tilde{\mathcal{H}}_{\Gamma_1}$  et  $\tilde{\mathcal{H}}_{\Gamma_2}$  sont isomorphes par la restriction de l'injection  $i_{\Gamma_2\Gamma_1}$  à  $\tilde{\mathcal{H}}_{\Gamma_2}$ . Cela veut dire que nous décomposons l'espace  $\mathcal{H}_\Gamma$  en tant que somme directe des espaces  $\mathcal{H}_{\Gamma'}$  avec  $\Gamma' \subset \Gamma$  ne contenant pas de vertex bivalents (plus les boucles simples avec un unique vertex). Pour résumer, on définit l'ensemble  $\mathcal{G}$  de tous les graphes et l'ensemble  $\tilde{\mathcal{G}}$  des graphes ne contenant pas le vertex bivalent. On a alors :

$$\mathcal{H}_\Gamma = \bigoplus_{\Gamma' \in \tilde{\mathcal{G}}, \Gamma' \subset \Gamma} (i_{\Gamma'\Gamma}) \tilde{\mathcal{H}}_{\Gamma'}. \quad (2.28)$$

A l'aide de ceci, on obtient que  $\mathcal{H}_{\text{gns}} = \bigoplus_{\Gamma \in \tilde{\mathcal{G}}} \tilde{\mathcal{H}}_\Gamma$ , qui implémente en pratique la somme non-directe  $+\bigoplus_{\Gamma \in \tilde{\mathcal{G}}} \mathcal{H}_\Gamma \equiv \bigoplus_{\Gamma \in \mathcal{G}} \mathcal{H}_\Gamma / \sim$ .

Nous avons donc construit notre espace d'Hilbert des fonctions d'onde invariantes sous l'action du groupe de jauge  $SU(2)$ . Il reste à implémenter l'action des difféomorphismes spatiaux et de la contrainte Hamiltonienne. Reste également à fournir un sens physique, une interprétation géométrique aux états construits. Cela sera obtenu à travers l'implémentation des opérateurs aires et volumes agissant sur la base des réseaux de spin, comme explicité dans la prochaine section.

## 2.2 Quantifier la relativité générale

Je vais décrire la quantification de la théorie réelle, en décrivant principalement le cadre cinématique de la théorie. La quantification de la formulation complexe self-duale est identique à l'exception de l'implémentation des conditions de réalité, que je discuterai à part.

### 2.2.1 L'espace d'Hilbert de la *Loop Quantum Gravity*

Nous avons construit un espace d'Hilbert d'états invariants de jauge  $SU(2)$ , c'est-à-dire qu'ils résolvent la contrainte  $G_i = 0$ . On note cet espace  $\mathcal{H}_{inv}$ . Maintenant, nous voudrions nous occuper des contraintes  $V_a$  et  $C$ . Tout d'abord, nous avons vu que les difféomorphismes spatiaux sont générés par les contraintes  $\Delta_a$  qui sont des combinaisons des  $G_i$  et  $V_a$ . Par conséquent, sur un espace invariant de jauge, les difféomorphismes spatiaux sont induits par  $V_a$ , c'est-à-dire que pour résoudre  $V_a = 0$ , il faut se placer sur un espace d'états invariants sous difféomorphismes. En d'autres termes, il s'agit de quotienter  $\mathcal{H}_{inv}$  par l'action des difféomorphismes.

Quelle est donc l'action des difféomorphismes (spatiaux) sur les fonctionnelles de réseaux de spins ? Elle est simple, elle déplace le graphe support de la fonctionnelle cylindrique. Plus précisément, considérons un difféomorphisme  $\phi$  sur  $\Sigma$ . Puisque son action sur une holonomie se lit  $\phi \cdot U_e(A) \rightarrow U_e(\phi^{-1}A) = U_{\phi \cdot e}(A)$  son action sur une fonctionnelle cylindrique  $\varphi_{\Gamma,f}(A)$  est :

$$\phi \cdot \varphi_{\Gamma,f}(A) \rightarrow \varphi_{\Gamma,f}(\phi^{-1}A) = \varphi_{\phi \cdot \Gamma,f}(A). \quad (2.29)$$

On considère donc l'espace des classes d'équivalence des fonctions cylindriques sous l'action des difféomorphismes. La mesure (2.8) et le produit scalaire (2.9) passe sans problème au quotient. La différence est que précédemment deux fonctions cylindriques à support sur des graphes distincts étaient orthogonaux par définition et que maintenant ils sont comparables si les deux graphes sont équivalents sous difféomorphismes. Ainsi on construit l'espace d'Hilbert  $\mathcal{H}_{diff}$ . Une base de cet espace est donnée formellement par les réseaux de spin labellés par les spins et par les classes d'équivalence de graphes (sous difféomorphismes)<sup>2</sup>. Ces classes d'équivalence dépendent explicitement de la topologie de  $\Sigma$  et rendent compte de la manière dont les graphes s'enroulent autour de  $\Sigma$ . Notons que, dès qu'on autorise des vertex de valence supérieure ou égale à 5, la base de  $\mathcal{H}_{diff}$  est labellée par un paramètre continu et  $\mathcal{H}_{diff}$  devient non-séparable. Le lecteur pourra trouver des détails techniques dans [9, 10, 11, 33].

<sup>2</sup>Ce ne sont pas les réseaux de spins abstraits ou *abstract spin networks* (comme on utilise dans les modèles de mousse de spin par exemple) qui sont définis entièrement par leur structure combinatoire car les classes d'équivalence sous difféomorphismes dépendent encore de la topologie de l'hypersurface  $\Sigma$ .

Maintenant, pour complètement définir la théorie, il faudrait implémenter l'action de la contrainte  $C$  (induisant les difféomorphismes dans la direction temps). Puis on projeterait sur l'espace des états invariants par cette action (ou les classes d'équivalence sous cette action si elles ont un sens physique), ce qui nous donnerait l'espace  $\mathcal{H}_{phys}$  des états physiques satisfaisant toutes les contraintes classiques. Malheureusement, il n'y a pas encore de consensus sur l'action de  $C$  sur les  $\mathcal{H}_{diff}$  (ou  $\mathcal{H}_{inv}$ ). Néanmoins, tout le monde s'accorde plus ou moins sur le fait qu'elle agit sur les vertex des réseaux de spin, modifiant les spins mais aussi le graphe support en créant de nouveaux vertex. Et il existe plusieurs propositions d'actions possibles [34, 35, 36, 37] se distinguant par les modifications exactes induites sur le graphe support (action dite ultra-locale agissant uniquement au niveau des vertex comme dans [34] ou action visant des corrélations à longues distances comme dans [36]) et les amplitudes (dépendantes des spins) associées à ces modifications. Le but étant de produire une bonne limite semi-classique avec des corrélations à longue distance (similaire à la propagation des ondes gravitationnelles). Des simulations numériques dans des modèles de dynamique simplifiée ont été effectuées mais rien de définitif n'a encore été prouvé. Ainsi un flou règne encore sur la dynamique des réseaux de spin. D'où l'introduction des modèles de mousse de spin, qui sont des modèles d'espace-temps pouvant être représentés comme des histoires de réseaux de spin, pour remédier à ce problème et définir une "bonne" dynamique pouvant induire une "bonne" limite semi-classique.

Malgré ce problème au niveau de la dynamique, une caractéristique attrayante de la *Loop Quantum Gravity* est l'interprétation géométrique des états de réseaux de spin de  $\mathcal{H}_{diff}$ . Elle est obtenue à travers les opérateurs géométriques d'aire et de volume représentés sur  $\mathcal{H}_{inv}$ .

## 2.2.2 La géométrie des réseaux de spin

Tout d'abord, en utilisant l'expression de l'aire d'une surface (2.7) en fonction de la triade, il est possible d'en donner une représentation opérationnelle sur l'espace  $\mathcal{H}_{inv}$ . Ceci est obtenu en remplaçant la quantité classique  $E_i^a$  par la dérivée par rapport à la connexion vu le crochet de Poisson (1.10) :

$$\{A_a^i(x), E_j^b(y)\} = \gamma \delta_a^b \delta_j^i \delta^{(3)}(x, y) \quad \Rightarrow \quad E_i^a(x) \rightarrow \hat{E}_i^a(x) = -i\gamma \frac{\partial}{\partial A_a^i(x)}. \quad (2.30)$$

Par conséquent, pour étudier l'action sur les fonctions cylindriques d'un opérateur formé à partir de  $\hat{E}_i^a$ , nous avons besoin de l'expression de la dérivée d'une holonomie [39] :

$$\frac{\partial}{\partial A_a^i(x)} U_e(A) = \frac{\partial}{\partial A_a^i(x)} e^{\int_0^1 ds \dot{e}^b(s) A_b^j \tau_j} = \int ds \dot{e}^a(s) \delta^{(3)}(e(s), x) U_{e_1(s)}(A) \tau_i U_{e_2(s)}(A) \quad (2.31)$$

où la courbe  $e$  est coupée à la coordonnée en  $e_1(s)$  et  $e_2(s)$ . En d'autres termes, l'action de  $\hat{E}_i^a(x)$  revient à insérer le générateur  $\tau_i$  de  $SU(2)$  au milieu de l'holonomie.

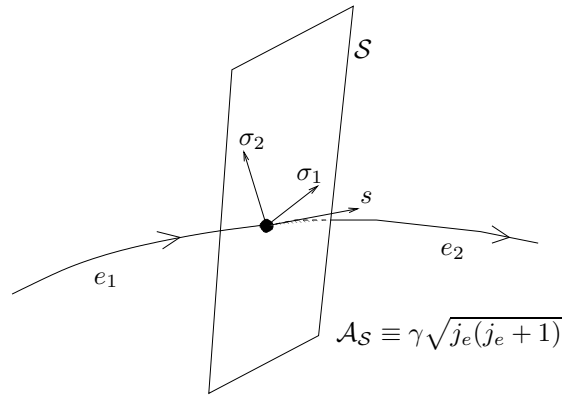
Maintenant, suivant la logique de [29], on en déduit l'action de l'opérateur  $\hat{E}_i(\mathcal{S})$  sur un réseau de spin. Pour simplifier les expressions, nous supposons la surface  $\mathcal{S}$  n'intersecte le graphe support  $\Gamma$  du réseau de spin qu'une seule fois, en un point qui n'est pas un vertex. On note  $e$  le lien intersecté et  $j$  la représentation l'indexant. Il s'agit alors de dériver (la matrice de représentation de) l'holonomie  $R^j[U_e]$ . Plus précisément :

$$\begin{aligned} \hat{E}_i(\mathcal{S}).R^j(U_e) &= -i\gamma \int_{\mathcal{S}} d\sigma^1 d\sigma^2 \int_e ds \epsilon_{abc} \frac{\partial x^a(\vec{\sigma})}{\partial \sigma^1} \frac{\partial x^b(\vec{\sigma})}{\partial \sigma^2} \frac{\partial e^a(s)}{\partial s} \delta^{(3)}(e(s), x) \\ &\quad \times R^j[U_{e_1(s)}(A)] R^j[\tau_i] R^j[U_{e_2(s)}(A)]. \end{aligned} \quad (2.32)$$

Maintenant, en utilisant la régularisation évidente  $\lim_{y \rightarrow x} (\hat{E}_i(\mathcal{S})(x) \hat{E}_i(\mathcal{S})(y))$ , on peut regarder l'action de l'opérateur  $\hat{E}_i(\mathcal{S}) \hat{E}_i(\mathcal{S})$  :

$$\begin{aligned} \hat{E}_i(\mathcal{S}) \hat{E}_i(\mathcal{S}).R^j(U_e) &= -i\gamma^2 \int_{\mathcal{S}} d\sigma^1 d\sigma^2 \int_e ds \epsilon_{abc} \frac{\partial x^a(\vec{\sigma})}{\partial \sigma^1} \frac{\partial x^b(\vec{\sigma})}{\partial \sigma^2} \frac{\partial e^a(s)}{\partial s} \delta^{(3)}(e(s), x) \\ &\quad \times R^j[U_{e_1(s)}(A)] R^j[\tau_i] R^j[\tau_i] R^j[U_{e_2(s)}(A)]. \end{aligned} \quad (2.33)$$



FIG. 2.4 – Aire d'une surface  $\mathcal{S}$  intersectant le lien  $e$ .

$R^j[\tau_i]R^j[\tau_i]$  est le Casimir de  $SU(2)$  dans la représentation  $j$  et c'est juste le nombre  $j(j+1)$ .

Alors  $R^j[U_{e_1(s)}(A)]R^j[\tau_i\tau_i]R^j[U_{e_2(s)}(A)] = R^j(U_e)$  ne dépend plus de  $s$  et sort de l'intégrale. Il apparaît alors que

$$\epsilon_{abc} \frac{\partial x^a(\vec{\sigma})}{\partial \sigma^1} \frac{\partial x^b(\vec{\sigma})}{\partial \sigma^2} \frac{\partial e^a(s)}{\partial s}$$

est le Jacobien du changement de coordonnées  $\sigma_1, \sigma_2, s$  à  $x_1, x_2, x_3$ . Donc l'intégrale restante compte simplement le nombre (orienté) d'intersections entre  $\mathcal{S}$  et le lien  $e$ , que nous avons choisi d'être 1. Par conséquent l'action de  $\hat{E}_i(\mathcal{S})\hat{E}_i(\mathcal{S})$  est diagonale sur l'holonomie  $R^j(U_e)$  :

$$\hat{E}_i(\mathcal{S})\hat{E}_i(\mathcal{S}).R^j(U_e) = \gamma^2 j(j+1)R^j(U_e). \quad (2.34)$$

Nous généralisons tout de suite cette relation à la fonctionnelle réseau de spin :

$$\hat{E}_i(\mathcal{S})\hat{E}_i(\mathcal{S}).\phi_\Gamma^{(j_1, \dots, j_e, \dots, j_E)}(U_1, \dots, U_e, \dots, U_E) = \gamma^2 j_e(j_e + 1)\phi_\Gamma^{(j_1, \dots, j_e, \dots, j_E)}. \quad (2.35)$$

On peut alors définir l'opérateur  $\sqrt{\hat{E}_i(\mathcal{S})\hat{E}_i(\mathcal{S})}$  dont l'action sera également diagonale avec comme valeur propre  $\sqrt{j_e(j_e + 1)}$ .

Maintenant, on utilise la formule (2.7) de l'aire d'une surface  $\mathcal{S}$  pour élever  $\mathcal{A}_\mathcal{S}$  au rang d'opérateur  $\hat{\mathcal{A}}_\mathcal{S}$ . Calculant l'action de l'opérateur aire  $\hat{\mathcal{A}}$  sur une fonctionnelle de réseau de spin à support sur un graphe  $\Gamma$ , on peut choisir une partition telle que la surface  $\mathcal{S}$  soit découpée en petits morceaux  $\mathcal{S}_k$  qui n'intersectent le graphe  $\Gamma$  qu'en un seul point chacun. Pour le moment, nous ne considérons que le cas où le Jacobien  $(\sigma_1, \sigma_2, s) \rightarrow (x_1, x_2, x_3)$  est non nul à toutes les intersections. Alors  $\hat{\mathcal{A}}_\mathcal{S}$  est diagonal sur les  $\phi_\Gamma$  et :

$$\hat{\mathcal{A}}_\mathcal{S}.\phi_\Gamma^{(j_1, \dots, j_E)} = \gamma \sum_{e|e \cap \mathcal{S} \neq \emptyset} \sqrt{j_e(j_e + 1)} \phi_\Gamma^{(j_1, \dots, j_E)}. \quad (2.36)$$

Dans le cas d'une surface  $\mathcal{S}$  intersectant le graphe  $\Gamma$  en un vertex, la valeur propre n'est plus  $\sqrt{j_e(j_e + 1)}$  et il faut distinguer les liens transversaux *up* (le Jacobien est non nul et positif), les liens transversaux *down* (le Jacobien est négatif) et les liens tangents (le Jacobien est nul donc l'opérateur  $E_i E_i$  construit ci-dessus est nul). On regroupe tous les spins des liens *up* en un lien (virtuel) de spin  $j^u$ , de même avec les liens *down* qui sont regroupés en  $j^d$  et les liens tangents en  $j^t$ . Alors  $\hat{\mathcal{A}}_\mathcal{S}$  est toujours diagonale et la valeur propre est [29] :

$$\hat{\mathcal{A}}_\mathcal{S}.\phi_\Gamma = \gamma \frac{1}{2} \sqrt{2j^u(j^u + 1) + 2j^d(j^d + 1) - j^t(j^t + 1)} \phi_\Gamma. \quad (2.37)$$

Les fonctionnelles réseaux de spin sont donc la base diagonalisant les opérateurs d'aire (des surfaces de  $\Sigma$ ). Cela fournit une interprétation géométrique aux états réseaux de spin en inversant le raisonnement. En effet,

un réseau de spin donné définit un état quantique de la géométrie de l'hypersurface  $\Sigma$ . Cette géométrie est reconstruite par le fait que l'aire d'une surface intersectant le graphe support est donnée en fonction des spins de l'état. Toute autre surface n'existe pas !

Notons que le spectre de l'aire contient un facteur  $\gamma$ . Par conséquent, ce paramètre inoffensif au niveau classique intervient d'une manière cruciale au niveau quantique modifiant le spectre des opérateurs. Par conséquent, nous obtenons toute une famille de quantification **inéquivalente**<sup>3</sup> labellée par le paramètre d'Immirzi  $\gamma$ .

Il existe une autre ambiguïté lors de la quantification des opérateurs triades et aires, liée à la régularisation du produit d'opérateur triade  $\hat{E}_a^i(x)\hat{E}_a^i(x)$  au même point dans l'expression (2.35). Il est possible d'utiliser une autre régularisation, se fondant sur une quantification symétrique des opérateurs  $\hat{E}$ . Alors l'action de  $\hat{E}_a^i(x)\hat{E}_a^i(x)$  ne va pas se traduire par un facteur Casimir de  $SU(2)$   $C = j(j+1)$ , mais par un facteur  $C + 1/4$  [40]. Prenant la racine de cette nouvelle expression pour obtenir les valeurs propres de l'opérateur aire, on trouve que  $\sqrt{j(j+1)}$  est remplacé par l'expression plus simple :

$$\mathcal{A}_S = \gamma\sqrt{j(j+1)} \quad \rightarrow \quad \mathcal{A}_S = \gamma\left(j + \frac{1}{2}\right) \quad (2.38)$$

Ceci est cohérent avec la vision d'un spectre de l'aire également espacé et avec certains résultats obtenus dans le contexte des modèles de mousse de spin (intégrale de chemin de la *Loop Gravity*) [41].

Il est possible de pousser cette interprétation géométrique plus loin en associant un volume à chaque vertex du graphe. Ceci est obtenu par la construction d'un opérateur volume  $\hat{\mathcal{V}}$ . Pour cela, on considère la formule classique du volume d'une région  $\mathcal{R}$  :

$$\hat{\mathcal{V}}_{\mathcal{R}} = \int_{\mathcal{R}} d^3x \sqrt{\det^{(3)}g} = \int_{\mathcal{R}} d^3x \sqrt{\frac{1}{3!} |\epsilon_{abc}\epsilon_{ijk} E^{ai} E^{bj} E^{ck}|} \quad (2.39)$$

puis on utilise la correspondance (2.30) remplaçant  $E$  par l'opérateur dérivation au niveau quantique. Cela fournit un opérateur bien défini [34]. Il n'agit qu'au niveau des vertex du graphe : on associe un volume à chaque vertex du graphe, dépendant des représentations vivant sur les liens partant de ce vertex, et le volume d'une région  $\mathcal{R}$  est la somme des contributions des vertex contenus dans cette région. Le volume associé à un vertex bivalent ou trivalent est nul. Le volume associé à un vertex  $n$ -valent avec  $n \geq 4$  est non trivial et dépend de l'entrelaceur vivant au vertex en question. Cela est intuitif car créant des surfaces duales aux liens adjacents au vertex (dont les aires sont données par les spins vivant sur ces liens), les cas bivalent et trivalent sont dégénérés. Le premier cas non-trivial est le vertex 4-valent auquel on peut associer un tétraèdre dual. Dans ce cas, le volume du tétraèdre n'est pas entièrement déterminé par les aires de ces 4 faces. Il faut des données en plus, qui sont ici fournies par l'entrelaceur. Malheureusement, dans la base canonique des entrelaceurs 4-valents (donnée par la décomposition du 4-valent vertex en deux vertex trivalents reliés par un lien virtuel interne dont le spin labellise la base), cet opérateur volume n'est pas diagonal. De plus, on ne connaît pas le spectre complet de cet opérateur. Les premières valeurs propres sont données dans [42]. Le lecteur intéressé peut aussi d'autres résultats analytiques et numériques dans [43].

Au final, nous avons plus ou moins décrit la géométrie d'un état quantique de l'hypersurface associé à un réseau de spin. En passant au dual, cela donne l'image d'un espace par bloc. Chaque vertex et son entrelaceur définissent un morceau de 3-volume. Chaque lien et son spin associé définissent la surface entre les deux 3-volumes associés à ces points source et cible. Ils décrivent la relation entre deux vertex. Puis ce réseau de relations va évoluer dans le temps et se modifier. Cette évolution est donnée par la contrainte Hamiltonienne.

Pour terminer, un petit mot sur le paramètre d'Immirzi  $\gamma$  et l'ambiguïté dans la quantification qui en résulte. Ce paramètre peut être vu comme soit découlant d'un terme dans l'action initial ne modifiant en rien les équations du mouvement, soit issu d'une transformation canonique. Dans les deux cas, il n'intervient pas classiquement. Néanmoins, il apparaît en facteur du crochet de Poisson de la théorie et intervient donc au niveau de la théorie quantique, modifiant le spectre de l'aire et du volume par un facteur d'échelle  $\gamma$  au niveau

<sup>3</sup>En fait, elles ne sont pas équivalentes dans le contexte cinématique où on ignore la contrainte Hamiltonienne. Par contre, si on prend en compte la contrainte Hamiltonienne  $C$  (ce que l'on ne sait pas faire explicitement), les opérateurs aires/volumes ne représentent pas des observables et on ne peut pas conclure a priori quant à l'équivalence ou la non-équivalence de ces quantifications.

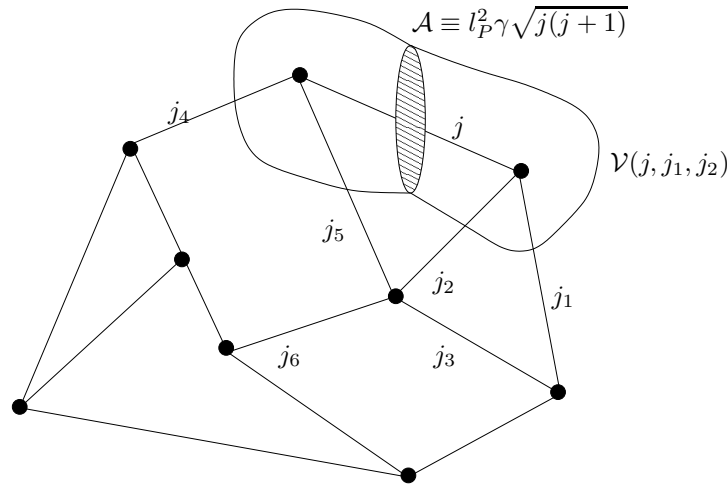


FIG. 2.5 – Interprétation géométrique d’un réseau de spin : les vertex représentent des morceaux d’espace et les liens décrivent leurs surfaces frontières, le volume et l’aire étant donnés par les spins portés par les liens.

cinématique. Il définit donc toute une famille de quantification unitairement inéquivalente. Mais cela ne se limite pas au cadre cinématique puisqu’il intervient également dans la dynamique de la théorie (dans la contrainte Hamiltonienne). Reste par conséquent à comprendre sa signification physique. . .

### 2.2.3 A propos de la théorie complexe

La procédure de quantification de la formulation complexe est exactement identique à celle de la formulation réelle. De nouveau, on peut considérer les fonctionnelles cylindriques invariantes de jauge de la connexion (cette fois-ci complexe et self-duale), les flux et l’aire. Les fonctionnelles cylindriques définissent les fonctions d’onde de la théorie quantique et une base de l’espace d’Hilbert est fournie par les réseaux de spin. Puis la contrainte Hamiltonienne définit la dynamique de ces réseaux de spin. Comparée à la théorie réelle, son expression est plus simple. Lors de la quantification, elle va être plus simple à implémenter [34] bien qu’un certain flou subsiste quant à déterminer la “bonne” implémentation.

La complication réside alors dans le fait que les variables que nous considérons sont *a priori* complexes. Et que demander que la métrique reste réelle impose les conditions de réalité, (1.27) et (1.28), discutées dans la section 1.2. Lors de la quantification, une quantité classiquement réelle est contrainte à devenir un opérateur auto-adjoint. Par conséquent, on aimerait que

$$(\hat{E}_i^a)^\dagger = \hat{E}_i^a, \quad (2.40)$$

$$(\hat{A}_a^i)^\dagger + \hat{A}_a^i = 2\Gamma_a^i(\hat{E}). \quad (2.41)$$

La première condition impose directement que la métrique soit réelle. La seconde correspond à (1.27) et (1.28), et donc revient à imposer que la réalité de la métrique est conservée lors de l’évolution dans le temps.

Ces relations d’hermité contraignent la mesure et le produit scalaire de la théorie comme d’habitude en mécanique quantique. Dans la représentation donnée par les fonctionnelles cylindriques de la connexion, la condition (2.40) sur  $\hat{E}$  correspond à l’hermité de la dérivée par rapport à la connexion. La condition (2.41) sur  $\hat{A}$  est plus compliquée à prendre en compte. Pour l’implémenter, on peut se restreindre aux fonctionnelles holomorphes et il est possible de construire explicitement le produit scalaire de la théorie. Reste que sa structure n’est pas intuitive i.e. on ne connaît pas explicitement le produit scalaire de deux fonctionnelles réseaux de spin. Par contre, il est facile de voir à quoi cela correspond dans une représentation où on utiliserait des fonctionnelles de la triade (au lieu de la connexion). La condition (2.41) serait alors une contrainte sur les opérateurs dérivées  $\hat{A} \sim \partial/\partial E$ .

On peut remarquer que dans ce formalisme complexe, bien qu'ayant fixé la jauge la tétrade, nous avons conservé une connexion  $A$  de jauge  $SU(2)^{\mathbb{C}} \sim SL(2, \mathbb{C})$  et donc il semble que la théorie est un formalisme covariant invariant sous Lorentz. Cependant, bien que les contraintes  $G_i$  impose invariance sous le groupe complexifié  $SU(2)^{\mathbb{C}}$ , cette symétrie est brisée par les conditions de réalité (2.40) et (2.41) et réduit au groupe réel et compact  $SU(2)$ . Cela reflète la fixation de jauge initiale. En fait, l'approche complexe revient à complexifier la théorie, qui est alors plus simple à manier, puis de prendre une section réelle de la théorie quantique complexe pour obtenir la "vraie" théorie quantique réelle. La section réelle est déterminée par le choix de jauge (dans le cadre usuel, la *time gauge*), et serait changée/tournée si on choisissait une autre fixation de jauge.

Le lecteur peut trouver une discussion détaillée de la quantification de la formulation complexe dans [44], et une présentation simple et claire du produit scalaire et une manière de l'exploiter pour avancer dans l'étude de la *Loop Quantum Gravity* self-duale dans [45].

# Conclusion : et la Dynamique ?

La *Loop Quantum Gravity* procède explicitement à la quantification canonique de la relativité dans des variables connexion  $SU(2)$  et triade conjuguée. C'est une quantification mathématiquement bien définie et non-perturbative de la gravité, qui prédit à quoi ressemblerait l'espace(-temps) à l'échelle de Planck. Les états quantiques de l'espace (l'hypersurface canonique) sont donnés par les réseaux de spin, qui définissent une sorte de géométrie discrète. Il est possible d'implémenter des opérateurs aire et volume et leur spectres est discret, confirmant notre intuition que l'espace vient par quanta à l'échelle de Planck !

Néanmoins, la dynamique de la théorie n'est pas explicitement connue bien qu'il en existe plusieurs propositions. De plus, peu de solutions exactes de toutes les contraintes sont connues. A part les boucles sans intersection (les graphes triviaux), la seule solution connue explicitement est l'état de Kodama [44] dans la cas d'une constante cosmologique  $\Lambda > 0$  (que nous n'avons pas discuté ici) et il semble possible de développer une théorie des perturbations autour de cet état quantique [45, 12].

Le problème de la dynamique est lié au problème plus profond de comprendre ce qu'est le **temps** en gravité quantique. Sur ce point, la *Loop Quantum Gravity*, en tant que formalisme canonique reposant sur un découpage  $3+1$  de l'espace-temps, ne nous éclaire pas beaucoup. Pour y remédier, il a été introduit la notion de **mousses de spin** ou *spin foams* [46, 47] qui correspondent à des histoires de réseaux de spin : ce sont des modèles d'espace-temps. Plus précisément, un modèle particulier correspond à assigner une amplitude à chaque histoire possible. A l'aide de ces modèles, nous espérons comprendre un peu mieux la notion de temps et la dynamique des réseaux de spin. Je consacrerai la partie IV de cette thèse à décrire ces objets, qui forment le sujet principal de ma thèse. Je me suis particulièrement attaché à comprendre la géométrie quantique qu'ils définissent et comment les utiliser en gravité quantique non-perturbative.

Les mousses de spin sont des structures d'espace-temps et le groupe de symétrie usuellement utilisé dans leur construction est le groupe de Lorentz. De là naissent plusieurs difficultés. Premièrement, il faut adapter le cadre des réseaux de spin au cas d'un groupe non-compact, ce qui ne semble pas évident à première vue. Pendant ma thèse, en collaboration avec Laurent Freidel, je me suis attaché à développer une telle théorie [49], que je décrirai dans la partie suivante. Mais également, ces mousses de spin, bien qu'issues du formalisme canonique de la *Loop Quantum Gravity*, en semblent finalement assez éloigné. En effet, la *Loop Gravity* repose sur la *time gauge*. Cette fixation de jauge fixe la direction temps orthogonalement à l'hypersurface et réduit la tétrade à une triade : elle réduit la symétrie de Lorentz à une symétrie effective  $SU(2)$  en gelant le plongement de l'hypersurface dans l'espace-temps. Ceci est à l'opposé des mousses de spin, dont la structure covariante repose sur la symétrie de Lorentz et qui décrit une hypersurface à travers son plongement dans l'espace-temps. Relié les mousses de spin au formalisme canonique est par conséquent une tâche non-triviale. J'ai donc exploré au courant de ma thèse des formalismes canoniques, en 3d et 4d, ne reposant pas sur une fixation de jauge (et donc conservant le groupe de Lorentz comme groupe de jauge), pour tenter de développer un formalisme canonique correspondant aux mousses de spin et de comprendre leur lien avec la *Loop Quantum Gravity* [17, 48].

D'autres points sensibles en *Loop Quantum Gravity* concernent le paramètre d'Immiri et la construction d'une limite semi-classique de la théorie. En ce qui concerne  $\gamma$ , il s'agit de comprendre son sens physique. Ceci est encore une question ouverte. Dans le cadre d'un formalisme canonique covariant et des mousses de spin, j'argumenterai (dans les parties III et IV) qu'il n'intervient pas et donc qu'il ne semble pas avoir de sens physique. En ce qui concerne la limite semi-classique, je ne me suis pas attaqué à la question durant ma thèse. Il s'agit de vérifier que l'on retrouve bien la relativité générale (et la mécanique quantique) dans une limite de basse énergie et de prévoir des effets physiques mesurables de gravité quantique. La question de retrouver la

relativité générale est ardue et encore ouverte.

Liée au problème de la limite semi-classique, la question de la renormalisation de la *Loop Quantum Gravity* est tout aussi fondamentale. En effet, nous décrivons l'espace(-temps) à l'échelle de Planck. Et pour obtenir des prédictions physiques (vérifiables), il nous faut une procédure (*coarse graining*) pour passer de cette échelle de Planck à des échelles plus raisonnables et ainsi tirer de la théorie des valeurs d'observables pertinentes.

Deuxième partie

**Construire des réseaux de spin**





Les réseaux de spin, construits à partir du groupe  $SU(2)$ , sont fondamentaux dans la construction de la *Loop Quantum Gravity* comme expliqué dans la partie précédente. Ils consistent en des graphes dont les liens sont labellés par des représentations de  $SU(2)$  (et dont les noeuds sont labellés par des tenseurs invariants sous  $SU(2)$ ). Ils forment une base des observables de la *Loop Gravity*. Plus généralement, ce sont des observables des théories de jauge, généralisation naturelle des boucles de Wilson. Le cas des groupes compacts est suffisant pour l'étude des théories de Yang-Mills, mais l'extension aux groupes non-compacts est nécessaire quand on s'intéresse aux théories de la gravité pour lesquelles le groupe symétrie locale est le groupe de Lorentz, qui est non-compact. La *Loop Quantum Gravity* a motivé l'étude du cas compact (à travers des généralisations du cas  $SU(2)$ ), dont la théorie est maintenant solide du point de vue mathématique. Le but de cette partie est d'introduire les notions nécessaires à la définition rigoureuse des réseaux de spin pour des groupes non-compacts et d'explorer dans quelle mesure ils forment une base des observables (invariantes de jauge). Au final, la définition sera compatible avec les définitions déjà connues dans le cas compact et nous obtiendront des graphes avec leurs liens labellés par des représentations unitaires (donc de dimension infinie dans le cas des groupes non-compacts) du groupe considéré. Le matériel présenté dans cette partie est issu d'une collaboration avec Laurent Freidel et a été présenté dans [49]. Les résultats obtenus pourront être appliqués à la quantification canonique en  $2 + 1$  dimensions, au formalisme covariant en  $3 + 1$  dimensions, aux modèles de mousse de spins (*spin foams*) Lorentziens, et sans doute à d'autres théories. En particulier, ils interviendront dans la partie suivante de cette thèse dans le cadre de la *Loop Quantum Gravity* en  $2 + 1$  dimensions et de la quantification canonique proposée de la gravité en  $3 + 1$  dimensions.

Rappelons tout d'abord le cadre du travail. On se place sur une variété  $\Sigma$  et un  $G$ -fibré principal au-dessus de  $\Sigma$ , où  $G$  est un groupe semi-simple. On note  $\mathcal{A}$  l'espace des  $G$ -connexions et  $\mathcal{G}$  le groupe de jauge dont l'action sur  $A$  est définie par  $A^k = k^{-1}Ak + k^{-1}dk$ . Les théories auxquelles nous nous intéressons sont du type Yang-Mills dans le sens que les variables conjuguées dans l'espace des phases sont une  $G$ -connexion  $A$  et un champ de vecteur densité  $E$  à valeur dans  $ad(P)$ . L'espace des phases correspondant est le fibré cotangent  $T^*(\mathcal{A})$  à l'espace des connexions. Il s'agit ensuite d'imposer l'invariance de jauge (et éventuellement l'invariance sous difféomorphismes) sur cette espace. Les opérateurs sont représentés comme agissant sur des fonctions d'onde ne dépendant que de la connexion et l'espace d'Hilbert correspondant est formellement  $L^2(\mathcal{A}/\mathcal{G})$ , reste à définir une bonne mesure invariante de jauge sur  $\mathcal{A}/\mathcal{G}$ . Dans cette partie, on s'intéresse à la structure de cet espace.

En fait, nous allons nous concentrer sur des fonctionnelles invariantes de jauge particulières, les fonctionnelles cylindriques, et nous tâcherons de munir l'espace de ces fonctionnelles d'une structure d'espace d'Hilbert. Ces fonctionnelles cylindriques ne dépendent de la connexion qu'à travers un nombre fini de variables. En effet, comme dans le cas  $SU(2)$  de la *Loop Quantum Gravity*, elles sont définies sur des graphes. Plus précisément, soit un graphe  $\Gamma$  orienté et  $\mathcal{C}^\infty$ , composé de  $V$  vertex et de  $E$  liens orientés, on peut définir l'application associant à une connexion l'ensemble de ses holonomies le long des liens :

$$\begin{aligned} \Gamma : \mathcal{A} &\rightarrow G^E \\ A &\rightarrow (g_{e_1}, \dots, g_{e_E}). \end{aligned} \quad (2.42)$$

L'espace des fonctions cylindriques associé à  $\Gamma$  est le pullback de  $\mathcal{C}^\infty(G^E)$  défini par :

$$\Gamma^* \phi(A) = \phi(g_e(A)). \quad (2.43)$$

L'action du groupe de jauge sur  $\mathcal{A}$  se traduit par une action de  $G$  aux vertex du graphe  $\Gamma$ . En effet, notant  $s(e)$  et  $c(e)$  les points source et cible du lien  $e$ , l'action est donnée par :

$$g_e(A^k) = k_{s(e)}^{-1} g_e(A) k_{c(e)}. \quad (2.44)$$

L'espace des *connexions discrètes* (définies sur le graphe) est noté  $A_\Gamma = G^E/G^V$  et les fonctionnelles cylindriques sont des fonctions sur cet espace. Le but est de construire une mesure  $d\mu_\Gamma$  sur  $A_\Gamma$ , qui nous fournirait l'espace d'Hilbert  $\mathcal{H}_\Gamma = L^2(\Gamma, d\mu_\Gamma)$ . Cet espace d'Hilbert se doit de porter une représentation de l'algèbre des opérateurs de la théorie (de Yang-Mills) étudiée restreinte aux graphes  $\Gamma$ . Cet algèbre est obtenue par quantification de la structure cotangente  $T^*(G^E/G^V)$ . Elle est générée par les multiplications par des fonctions invariantes de jauge sur  $G^E$  et les opérateurs de dérivation (invariants de jauge également). Ce que l'on attend de la mesure  $d\mu_\Gamma$  est qu'elle fournisse une quantification des quantités classiques réelles en des opérateurs Hermitiens.

Dans le cas compact, cette mesure est unique à un facteur près. C'est, comme utilisée dans la partie précédente, le produit des mesures de Haar sur chaque élément de groupe (correspondant à un lien) :

$$d\mu_\Gamma = \prod_{e \in E_\Gamma} dg_e. \quad (2.45)$$

Cette mesure peut alors être étendue d'une manière cohérente à l'espace de toutes les fonctionnelles cylindriques (somme sur les graphes) et définit une mesure -la mesure d'Ashtekar-Lewandowski, définie dans la section précédente- sur l'espace des connexions généralisées modulo l'invariance de jauge.

Dans le cas non-compact, il ne suffit plus de prendre la mesure de Haar. En effet, puisque le groupe a un volume infini, il faut diviser par ce volume, c'est-à-dire fixer de jauge l'action du groupe. C'est ce qui est présenté dans cette partie.

La construction de la mesure va se faire en deux étapes. Tout d'abord, nous montrerons que  $A_\Gamma \sim G^{h_\Gamma} / Ad(G)$  où  $Ad(G)$  dénote l'action adjointe diagonale du groupe.  $h_\Gamma$  est le genre (déterminé par le nombre d'anses) de la surface 2d obtenue en gonflant/épaississant le graphe  $\Gamma$ . Ce sera l'objet du chapitre 3. Puis, nous poursuivrons la fixation de jauge en exhibant un isomorphisme entre  $G^{h_\Gamma} / Ad(G)$  et  $G^{h_\Gamma-1}$ . On pourra définir la mesure comme le pullback de la mesure de Haar sur  $G^{h_\Gamma-1}$ . On vérifiera que cette mesure est bien indépendante du choix de fixation de jauge. Cette procédure sera exposée dans le chapitre 4. Enfin, nous pourrons définir les réseaux de spin comme une base de l'espace  $L^2$  construit à l'aide de la mesure. Plus particulièrement, ce seront les vecteurs propres d'opérateurs de dérivations invariants de jauge (opérateurs Laplaciens) dans le chapitre 5. Finalement, le chapitre 6 sera consacré à l'application des résultats aux groupes  $SL(2, \mathbb{C})$  et  $SL(2, \mathbb{R})$  -en vue de l'application à la gravité en 2 + 1 dimensions et en 3 + 1 dimensions -et également  $SU(2)$ - pour vérifier que l'on retrouve bien les résultats connus sur les réseaux de spin pour groupes compacts.

# Chapitre 3

## Des graphes aux fleurs

Considérons l'espace  $A_\Gamma = G^E/G^V$  des connexions discrètes invariantes de jauge sur le graphe  $\Gamma$ . Si  $\Gamma$  n'est pas connexe, on le décompose en parties connexes  $\Gamma = \cup_i \Gamma_i$  et alors  $A_\Gamma$  est le produit  $\times_i A_{\Gamma_i}$ . Il est donc naturel de se restreindre à l'étude des graphes  $\Gamma$  connexes.

Le graphe  $\Gamma$  est composé de  $E$  liens orientés et de  $V$  vertex. Chaque lien  $e$  part d'un vertex source  $s(e)$  et se termine à un vertex cible  $c(e)$ . Une fonction sur  $A_\Gamma$  est une fonction sur  $G^E$  invariante de jauge à chaque vertex du graphe. Plus précisément, pour tous éléments  $k_v \in G$ , un pour chaque vertex  $v$ , la fonction  $\phi$  doit satisfaire :

$$\phi(g_{e_i}) = \phi(k_{s(e_i)}^{-1} g_{e_i} k_{c(e_i)}), \quad i = 1 \dots E. \quad (3.1)$$

Le but est de définir une mesure pour intégrer une telle fonction. Il s'agit dans un premier temps d'identifier les "vrais" degrés de liberté de  $\phi$ . Pour cela, nous allons fixer l'invariance de jauge (3.1).

Le moyen le plus simple pour réduire l'invariance de jauge est d'éliminer le maximum de variables  $g_e$  en les fixant par exemple à l'Identité  $1 \in G$ . Plus précisément, choisissons un *arbre maximal*  $T$  sur notre graphe  $\Gamma$ .  $T$  est un sous-graphe passant par tous les vertex de  $\Gamma$  sans jamais faire de boucle. En particulier, un tel arbre  $T$  est composé de  $V - 1$  liens. La propriété fondamentale de  $T$  est qu'étant donnés deux vertex arbitraires de  $\Gamma$ , il existe un chemin unique dans  $T$  allant d'un vertex à l'autre. Ainsi, étant donnés deux vertex  $A$  et  $B$ , on peut définir le produit orienté  $h_{AB}^T$  (l'holonomie) des éléments du groupe le long du chemin entre  $A$  et  $B$  dans  $T$ . Maintenant, en utilisant l'invariance de jauge (3.1), il est possible de fixer tous les éléments du groupe vivant sur les liens de  $T$  à 1. Pour cela, fixons-nous un vertex  $A$  comme point de référence pour notre procédure de fixation de jauge. Puis on utilise la formule (3.1) avec

$$k_v = h_{vA}^T.$$

Pour un lien  $e$  quelconque, la transformation s'écrit

$$G_e^{(T)} = h_{As(e)}^T g_e h_{c(e)A}^T. \quad (3.2)$$

$G_e^{(T)}$  est l'holonomie le long de la boucle partant de  $A$  passant par  $e$  et revenant à  $A$ . Regardons ce qu'il advient d'un lien  $e \in T$ . Il existe un unique chemin le reliant à  $A$ , sinon il y aurait une boucle dans  $T$ . On distingue deux cas. Soit le chemin connecte  $A$  à  $s(e)$ , soit il connecte  $A$  à  $c(e)$ . Quitte à inverser les orientations, on suppose par exemple que le chemin relie  $A$  à  $c(e)$ . Alors  $h_{s(e)A}^T = g_e h_{c(e)A}^T$  et  $h_{As(e)}^T = (h_{s(e)A}^T)^{-1}$ , de telle sorte que (3.2) se lisent  $G_e^{(T)} = 1$ . Par conséquent le choix  $k_v = h_{vA}^T$  permet de fixer les éléments du groupe  $g_e$  pour  $e \in T$  à 1. Cela définit une fonction  $\phi_T$  dépendant de  $h_\Gamma = E - V + 1$  éléments du groupe, correspondant aux liens qui ne sont pas dans  $T$  :

$$\phi_T(\{G_e^{(T)}, e \notin T\}) = \phi(g_e = G_e^{(T)} \text{ si } e \notin T \text{ ou } = 1 \text{ sinon}). \quad (3.3)$$

Cette fonction a une invariance de jauge résiduelle très simple :

$$\forall k \in G, \phi_T(G_{f_i}^{(T)}) = \phi_T(k^{-1} G_{f_i}^{(T)} k), \quad i = 1 \dots h_\Gamma. \quad (3.4)$$

En résumé, la fixation de jauge fournit un isomorphisme

$$T : G^{h_T} / Ad(G) \rightarrow A_T \quad (3.5)$$

et  $\phi_T$  est le pullback de  $\phi$  par cet isomorphisme.

L'invariance de jauge résiduelle correspond à celle d'un graphe qui n'a qu'un unique vertex. On appelle un tel graphe une *fleur*. En fait, nous avons contracté l'arbre  $T$  en le point  $A$ , qui est le vertex unique à l'arrivée. A priori, la construction et donc la fonction  $\phi_T$  semble dépendre du choix du point  $A$ . Dans les faits, toute la construction est indépendante du choix de  $A$ . Pour montrer cela, prenons un autre vertex  $B$  et notons  $h = h_{AB}^T$  le produit orienté des éléments du groupe le long du chemin reliant  $A$  à  $B$ . Fixant de jauge utilisant  $B$  comme point de référence, on crée les variables

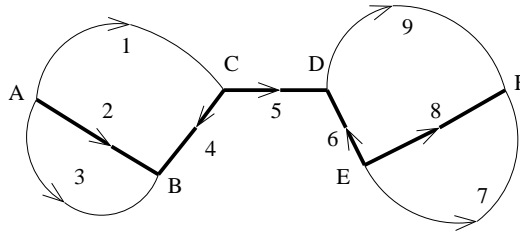
$$\tilde{G}_e^{(T)} = h_{Bs(e)}^T g_e h_{t(e)B}^T = h^{-1} h_{As(e)}^T g_e h_{t(e)A}^T h = h^{-1} G_e^{(T)} h. \quad (3.6)$$

Cela définit une nouvelle fonction  $\tilde{\phi}_T$  basée sur ces nouvelles variables, mais elle sera égale à  $\phi_T$  grâce à l'invariance de jauge (résiduelle) (3.4) avec  $k = h$ .

Un point important pour la suite est la manière dont la fonction  $\phi^T$  change lorsqu'on modifie l'arbre maximal  $T$ . Choisissons pour cela un autre arbre maximal  $U$ . On peut suivre la même procédure de fixation de jauge pour  $U$  en utilisant le même point de référence  $A$ . On obtient alors des variables  $G_e^{(U)}$  pour chaque lien  $e \notin U$  et on définit une fonction  $\phi_U$  sur la fleur. Pour relier  $\phi_T$  et  $\phi_U$ , nous voudrions décomposer les variables  $G_e^{(U)}$  en fonction des variables  $G_e^{(T)}$ . Plus généralement, considérons une boucle orientée  $\mathcal{L}$  partant du point  $A$  et y revenant et définissons le produit orienté  $H$  des éléments du groupe le long de  $\mathcal{L}$  (l'holonomie ou transport parallèle autour de  $\mathcal{L}$ ). Il est possible d'exprimer  $H$  en fonction des  $G_e^{(T)}$ . Une telle boucle doit contenir un lien n'appartenant pas à  $T$ , sinon  $T$  contiendrait une boucle. Il est alors facile de se rendre compte que  $H$  est le produit orienté -suivant l'orientation de  $\mathcal{L}$ - des variables  $G_e^{(T)}$  pour  $e$  sur  $\mathcal{L}$  mais pas dans  $T$ . Maintenant, pour un lien  $e \notin U$ , l'élément du groupe  $G_e^{(U)}$  est l'holonomie le long de la boucle  $\mathcal{L}^{(U)}[e]$  suivant l'arbre  $U$  et allant de  $A$  à  $s(e)$  puis revenant de  $c(e)$  à  $A$ . Cela permet donc d'exprimer les variables  $G_e^{(U)}$  en tant que produit orienté de  $G_f^{(T)}$ . Au niveau des fonctions  $\phi_T$  et  $\phi_U$ , la relation se lit :

$$\phi_T(G_e^{(T)}) = \phi_U(G_e^{(U)}) = \prod_{f \in \mathcal{L}^{(U)}[e] \setminus T} G_f^{(T)} \quad (3.7)$$

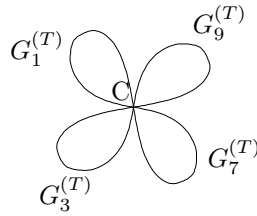
Pour illustrer la procédure, il est plus facile de visualiser les relations sur des exemples. Considérons par exemple le graphe :



où l'arbre  $T$  choisi pour la procédure de fixation de jauge est en gras. Une fonction invariante de jauge  $\phi$  à support sur ce graphe satisfait la relation suivante pour tout choix de  $k_v \in G$  :

$$\phi(g_1, \dots, g_9) = \phi(k_A^{-1} g_1 k_C, k_A^{-1} g_2 k_B, k_A^{-1} g_3 k_B, k_C^{-1} g_4 k_B, k_C^{-1} g_5 k_D, k_E^{-1} g_7 k_F, k_E^{-1} g_8 k_F, k_D^{-1} g_9 k_F). \quad (3.8)$$

On suit la procédure de fixation de jauge en utilisant le vertex  $C$  comme point de référence. Cela réduit le graphe à une fleur à quatre pétales :



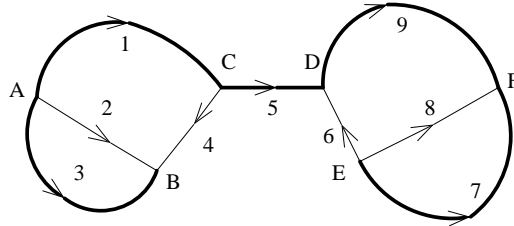
et crée les variables  $G^{(T)}$  :

$$\begin{aligned} G_1^{(T)} &= g_4 g_2^{-1} g_1, & G_3^{(T)} &= g_4 g_2^{-1} g_3 g_4^{-1}, \\ G_7^{(T)} &= g_5 g_6^{-1} g_7 g_8^{-1} g_6 g_5^{-1}, & G_9^{(T)} &= g_5 g_9 g_8^{-1} g_6 g_5^{-1}. \end{aligned} \quad (3.9)$$

On définit ainsi la fonction fixée de jauge

$$\phi_T(G_1^{(T)}, G_3^{(T)}, G_7^{(T)}, G_9^{(T)}) = \phi(G_1^{(T)}, 1, G_3^{(T)}, 1, 1, 1, G_7^{(T)}, 1, G_9^{(T)}). \quad (3.10)$$

On peut faire la même chose avec un autre arbre  $U$  :



Effectuant toujours la procédure de fixation de jauge avec  $C$  comme point de référence, on réduit le graphe à la fleur à quatre pétales et on définit les variables  $G^{(U)}$  :

$$\begin{aligned} G_2^{(U)} &= g_1^{-1} g_2 g_3^{-1} g_1, & G_4^{(U)} &= g_4 g_3^{-1} g_1, \\ G_6^{(U)} &= g_5 g_9 g_7^{-1} g_6 g_5^{-1}, & G_8^{(U)} &= g_5 g_9 g_7^{-1} g_8 g_9^{-1} g_5^{-1}. \end{aligned} \quad (3.11)$$

La fonction  $\phi_U$  est défini par

$$\phi_U(G_2^{(U)}, G_4^{(U)}, G_6^{(U)}, G_8^{(U)}) = \phi(1, G_2^{(U)}, 1, G_4^{(U)}, 1, G_6^{(U)}, 1, G_8^{(U)}, 1). \quad (3.12)$$

Alors la décomposition des boucles  $G^{(U)}$  en fonction des variables  $G^{(T)}$  s'écrit :

$$\begin{aligned} G_2^{(U)} &= (G_1^{(T)})^{-1} (G_3^{(T)})^{-1} G_1^{(T)}, & G_4^{(U)} &= (G_3^{(T)})^{-1} G_1^{(T)}, \\ G_8^{(U)} &= G_9^{(T)} (G_7^{(T)})^{-1} (G_9^{(T)})^{-1}, & G_6^{(U)} &= G_9^{(T)} (G_7^{(T)})^{-1}. \end{aligned} \quad (3.13)$$

On peut vérifier ces relations en passant par les variables initiales  $g$ . Puis finalement, le changement de variables pour passer de  $\phi_T$  à  $\phi_U$  se lit :

$$\begin{aligned} \phi_T(G_1^{(T)}, G_3^{(T)}, G_7^{(T)}, G_9^{(T)}) &= \\ \phi_U((G_1^{(T)})^{-1} (G_3^{(T)})^{-1} G_1^{(T)}, (G_3^{(T)})^{-1} G_1^{(T)}, G_9^{(T)} (G_7^{(T)})^{-1}, G_9^{(T)} (G_7^{(T)})^{-1} (G_9^{(T)})^{-1}) & \end{aligned} \quad (3.14)$$

Pour le moment, nous avons réduit le problème de construire une mesure sur  $A_\Gamma$  au problème de construire une mesure sur les fleurs  $A_h = G^h / Ad(G)$ , où  $Ad(G)$  dénote l'action adjointe diagonale de  $G$  :

$$g \cdot (g_1, \dots, g_h) \rightarrow (g g_1 g^{-1}, \dots, g g_h g^{-1}). \quad (3.15)$$

La mesure que nous recherchons doit être symétrique et invariante sous multiplication à gauche et à droite (comme une mesure de Haar) :

$$d\mu(g_{\sigma_1}, \dots, g_{\sigma_h}) = d\mu(g_1, \dots, g_h), \quad (3.16)$$

$$d\mu(kg_1h, \dots, g_h) = d\mu(g_1, \dots, g_h), \quad (3.17)$$

où  $\sigma$  est une permutation quelconque. De plus, la mesure  $d\mu$  devra également satisfaire des conditions de réalité. Plus précisément, supposons que  $P(X_1, \dots, X_h)$  est un élément réel ( $P^\dagger = P$ ) et  $Ad(G)$ -invariant de  $U(\mathcal{G}^h)$  - $U(\mathcal{G})$  étant l'algèbre enveloppante universelle de  $G$ .  $P$  peut être représenté en tant qu'opérateur différentiel sur  $A_h$  en utilisant la correspondance entre un élément  $X$  de l'algèbre de Lie et un opérateur dérivée invariant à gauche :

$$\partial_X^i \phi(g_1, \cdot, g_i, \dots, g_h) \equiv \phi(g_1, \cdot, g_i X, \dots, g_h). \quad (3.18)$$

L'opérateur différentiel  $P$  doit être Hermitien par rapport au produit scalaire induit par la mesure  $d\mu$  que nous voulons construire.

Dans le cas d'un groupe compact, il y a une unique mesure satisfaisant ces conditions.  $d\mu$  est le produit des mesures de Haar (normalisées), c'est-à-dire la mesure de Haar (normalisée) sur  $G^h$ . Dans ce cas, la propriété de symétrie est triviale et les conditions de réalité sont implémentées grâce à l'invariance à gauche et à droite de la mesure de Haar. Plus précisément, dans le cas  $h = 2$ , l'intégrale d'une fonction  $\phi$  invariante de jauge sur  $G^{\otimes 2}/Ad(G)$  se factorise

$$\int_{G^{\otimes 2}} dg_1 dg_2 \phi(g_1, g_2) = vol(G) \int_{A_2} d\mu(g_1, g_2) \phi(g_1, g_2), \quad (3.19)$$

et, puisque le volume du groupe compact est fini, il est possible de normaliser la mesure de Haar de telle sorte que  $vol(G) = 1$ .

Dans le cas d'un groupe non-compact, cela n'est plus possible puisqu'il s'agirait de diviser par le volume infini du groupe. La construction de la mesure  $d\mu$  est donc plus délicate et je vais consacrer le chapitre suivant à expliciter sa définition.

# Chapitre 4

## Mesure pour les fonctions cylindriques

Ce chapitre est consacré à la construction d'une mesure sur les espaces quotients  $A_\Gamma$ . Dans un premier temps, j'expliquerai comment la géométrie algébrique permet de décrire les espaces quotients. En effet, tout le problème est de construire le "bon" quotient, qui aura des bonnes propriétés de régularité, permettant par la suite d'induire une mesure (de Haar) sur cet espace. La géométrie algébrique nous fournit une solution formelle. Ensuite, je décrirai comment construire explicitement un "bon" quotient et la mesure sur cet espace. Dans un premier temps, je me concentrerai sur les espaces  $A_h$  correspondant aux fleurs. Puis je généraliserai la construction aux espaces quelconques  $A_\Gamma$  en utilisant la procédure de fixation de jauge décrite dans le chapitre précédent. Enfin, je montrerai que la mesure construite sur  $A_\Gamma$  est bien indépendante de l'arbre maximal choisi pour effectuer la réduction à la fleur, et que, par conséquent, nous avons bien une unique mesure bien définie.

### 4.1 Cadre théorique

#### 4.1.1 Groupes de Lie et sous-algèbres de Cartan

Les constructions décrites ici sont valides pour des groupes linéaires, connexes et semi-simples, c'est-à-dire des sous-groupes de matrices qui sont connexes, invariants par transconjugaison  ${}^t(\overline{\phantom{x}})$  et de centre fini. Cela contient tous les groupes compacts, mais aussi des groupes non-compacts, parmi lesquels on distingue les groupes complexes ( $SL(N, \mathbb{C})$ ,  $SO(N, \mathbb{C})$  et  $Sp(N, \mathbb{C})$ ) des groupes réels non-compacts (comme  $SL(2, \mathbb{R})$ ,  $SO(N, 1)$ ,  $SL(N, \mathbb{R})$ , ...).

Dans un premier temps, introduisons les notations nécessaires pour la suite et rappelons certains éléments de théorie des groupes. Soit un groupe de Lie  $G$  et son algèbre de Lie  $\mathcal{G}$ . Une sous-algèbre de Cartan(-Lie)  $\mathcal{H}$  est une sous-algèbre abélienne maximale de  $\mathcal{G}$  stable sous transconjugaison. Un sous-groupe de Cartan  $H$  est le centralisateur d'une algèbre de Cartan  $\mathcal{H}$  i.e. le sous-groupe des éléments de  $G$  commutant avec l'ensemble des éléments de  $\mathcal{H}$ . Pour chaque sous-groupe de Cartan, on définit le groupe de Weyl  $W(H) = N(H)/H$ , où  $N(H)$  est le normalisateur de  $H$ , qui prend en compte l'action résiduelle sur  $H$  de la conjugaison par  $G$ . Dans le cas des groupes compacts, il y a une unique sous-algèbre de Cartan (à conjugaison près) et, de plus, chaque élément du groupe  $G$  est conjugué à un élément de  $H$ . Dans le cas des groupes non-compacts, cela n'est plus vrai. Tout d'abord, en général, il existe un nombre fini de sous-algèbres de Cartan non-conjuguées. Elles ont toutes le même rang (ex. 2 pour  $SL(2, \mathbb{R})$ , 1 pour  $SO(2N + 1, 1)$ ,  $N$  pour  $SL(N, \mathbb{R})$ ). Remarquons néanmoins que les groupes complexes (ex.  $SL(N, \mathbb{C})$ ) ont tous un unique sous-groupe de Cartan. De plus les éléments de  $G$  ne sont pas tous conjugués à un sous-groupe de Cartan. Les éléments qui le sont, sont appelés *réguliers* et l'ensemble de ces éléments est noté  $G_1$ .  $G_1$  consiste en les éléments  $x \in G$  tels que  $Ad(x)$  est diagonalisable. C'est un ensemble ouvert dans  $G$  et son complémentaire a une mesure de Haar nulle. De plus, l'action de  $Ad(G)$  sur  $G_1$  est régulière et  $G_1/Ad(G)$  est l'union disjointe  $\sqcup_i H_i/W(H_i)$  des sous-groupes de Cartan modulo leur groupe de Weyl.

Ayant choisi une sous-algèbre de Cartan  $\mathcal{H}$ , la décomposition de Cartan de  $\mathcal{G}$  s'écrit  $\mathcal{G} = \mathcal{H} \oplus \mathcal{B}(\mathcal{H})$ , où  $\mathcal{B}(\mathcal{H})$  est la sous-algèbre de Borel associée à  $\mathcal{H}$ .  $\mathcal{B}(\mathcal{H})$  se décompose en sous-espaces propres de  $ad(\mathcal{H}) : \mathcal{B} = \bigoplus_{\alpha \in \Delta(\mathcal{H})} \mathcal{B}_\alpha$

où  $\Delta(H)$  est l'espace des racines  $\Delta \subset \mathcal{H}^*$ . Les générateurs de  $\mathcal{H}$  sont soit (de type) compact  $H^* = -H$  ou (de type) non-compact  $H^* = H$ .

Ayant choisi un sous-groupe de Cartan  $H$ , on définit la mesure sur  $G/H$  par

$$\int_G f(g)dg = \int_{G/H} \left[ \int_H f(s(x)h)dh \right] dx, \quad (4.1)$$

où  $dg, dh$  sont les mesures de Haar invariantes sur  $G$  et  $H$ , et  $f$  est une fonction à support compact sur  $G$ . Remarquons que nous avons choisi une section  $s : G/H \rightarrow G$  mais que la formule de factorisation reste valable quelquesoit la section choisie.

$G_1$  se décompose en l'union des classes d'équivalence sous conjugaison  $G_1 = \sqcup_i G_i^H$ , où  $G_i^H = \{ghg^{-1}, h \in H_i, g \in G\}$ . Chaque classe de conjugaison recouvre  $w(H_i) = \#W(H_i)$  fois la composante connexe correspondante de  $G_1$ . D'où la formule d'intégration de Weyl, qui exprime l'intégrale sur  $G$  comme l'intégrale sur les classes de conjugaison :

$$\int_G f(g)dg = \sum_i \frac{1}{w(H_i)} \int_{H_i} \left[ \int_{G/H_i} f(xhx^{-1})dx \right] |\Delta_i(h)|^2 dh, \quad (4.2)$$

avec

$$\Delta_i(e^H) = \prod_{\alpha \in \Delta^+(H_i)} \sinh \frac{\alpha(H)}{2}, \quad (4.3)$$

pour  $H \in \mathcal{H}_i^{\mathbb{C}}$ ,  $e^H \in H_i$ . Contrairement au cas des groupes compacts, tous les éléments du groupe ne s'écrivent pas en tant qu'exponentielle  $e^X$  avec  $X \in \mathcal{G}$  (en fait, il faut un produit d'exponentielles). Néanmoins, on peut écrire n'importe quel élément en tant que  $e^X$  avec  $X$  dans l'algèbre de Lie complexifiée  $\mathcal{G}^{\mathbb{C}}$ .

### 4.1.2 Un peu de Géométrie Algébrique

$A_h$  est défini en tant qu'espace quotient sous l'action du groupe  $G$ . En général, l'espace des orbites résultant n'est jamais une "gentille" variété Hausdorff. Plusieurs types de singularité peuvent alors intervenir. Regardons par exemple le cas de  $A_2 = G \times G/Ad(G)$ . Si  $(g_1, g_2)$  sont des éléments génériques (ne commutant pas) de  $G$ , le groupe d'isotropie de ces points est le centre de  $G$  et donc un sous-groupe fini. Par contre, si  $g_1$  et  $g_2$  commutent, leur groupe d'isotropie est non-trivial, et c'est l'intersection des centralisateurs de  $g_1$  et  $g_2$ . Si  $g_1$  est régulier, son centralisateur est un sous-groupe de Cartan et la dimension du groupe d'isotropie est en général au moins le rang du groupe  $G$ . Ces points particuliers peuvent agir comme des attracteurs pour l'action de  $Ad(G)$  sur  $G \times G$ . Considérons l'exemple de  $G = SL(2, \mathbb{R})$  et le point  $(g_1, g_2) = (1, e^{\sigma_3})$  où  $\sigma_3 = \text{diag}(+1, -1)$ . Le groupe d'isotropie de ce couple d'éléments de  $G$  est le groupe abélien  $\{e^{t\sigma_3}, t \in \mathbb{R}\}$ . Ce point n'est pas Hausdorff et est un attracteur pour les orbites voisines. Regardons cela de plus près et considérons  $g_u = (e^{u\sigma_+}, e^{\sigma_3})$  avec  $\sigma_+ = \begin{pmatrix} 0 & 1 \\ 0 & 0 \end{pmatrix}$ . Alors  $\lim_{t \rightarrow \infty} e^{-t\sigma_3} g_u e^{t\sigma_3} = (1, e^{\sigma_3})$  et l'orbite  $Ad(G).(e^{u\sigma_+}, e^{\sigma_3})$  n'est pas fermée puisqu'elle contient le point  $(1, e^{\sigma_3})$ . Ainsi, deux orbites différentes associées à  $u > 0$  et  $u' < 0$  n'ont pas de voisinages disjoints, ce qui signifie que l'espace quotient n'est pas Hausdorff. Une manière de remédier à ce problème est d'enlever dès le début l'ensemble des couples d'éléments commutants, pour que toutes les orbites soient fermées. Mais cela n'est toujours pas suffisant. Ainsi, dans notre exemple, notons  $(x, y) \in \mathbb{R}^2$  le couple  $(e^{\sigma_3} e^{x\sigma_+}, e^{\sigma_3} e^{y\sigma_-})$ . L'action de  $e^{t\sigma_3}$  se traduit par  $(x, y) \rightarrow (e^t x, e^{-t} y)$ . Exclure les éléments commutants se traduit par la condition  $(x, y) \neq (0, 0)$ . Sur ce nouvel espace, les orbites sont toutes fermées, cependant il est facile de voir que tout voisinage de l'orbite de  $(x, 0)$  intersectera un voisinage de l'orbite de  $(0, y)$ . Et donc, l'espace quotient n'est toujours pas Hausdorff. La solution est d'exclure également les points  $(x, 0)$  et  $(0, y)$ . On obtient alors un bon quotient !

Cet exemple illustre la problématique générale de la définition d'un espace quotient. En fait, comme  $G$  est un groupe algébrique (groupe de matrices) et que par conséquent l'action de  $Ad(G)$  est aussi algébrique, ce problème a reçu beaucoup d'attention en mathématiques dans le cas où le groupe est complexe sous le nom de "théorie des invariants" [50, 51] (*invariant theory*).



Tout d'abord, il faut rappeler quelques notions de géométrie algébrique pour pouvoir donner ensuite la définition d'un espace quotient régulier ou géométrique. Une variété algébrique affine  $X$  sur  $\mathbb{C}$  est définie comme étant l'ensemble des racines d'une collection de polynômes sur  $\mathbb{C}^N$  :  $X = \bigcap_i V(P_i)$  où  $V(P) = \{x \in \mathbb{C}^N \mid P(x) = 0\}$ . Elle est dite irréductible si elle ne peut pas être considérée comme l'union de deux sous-variétés algébriques. La topologie utile dans ce contexte est la topologie de Zariski dont les fermés sont les sous-variétés algébriques de  $X$ , générées par les  $X(P) = X \cap V(P)$ . Les ouverts de cette topologie sont les unions finies des ensembles  $X_P = \{x \in X, P(x) \neq 0\}$  ouverts pour la topologie usuelle. Il est important de noter que les ouverts dans la topologie de Zariski sont bien plus gros que dans la topologie usuelle. Ainsi, pour une variété irréductible, n'importe quel ouvert non vide de  $X$  est dense dans  $X$  et, plus généralement, n'importe quelle intersection d'ouverts non-vides sera encore dense. On définit l'algèbre des *fonctions régulières*, notée  $\mathbb{C}[X]$ , comme l'algèbre des polynômes sur  $\mathbb{C}^N$  restreints à  $X$ . C'est l'ensemble  $\mathbb{C}[X] = \mathbb{C}[\mathbb{C}^N]/I(X)$  où  $I(X)$  est l'idéal des polynômes s'annulant sur  $X$ . La condition d'irréductibilité de  $X$  se traduit par la condition que  $\mathbb{C}[X]$  soit intègre.

Un théorème d'Hilbert stipule qu'une sous-algèbre quelconque  $A$  de  $\mathbb{C}[\mathbb{C}^N]$  (ou d'une algèbre commutative) admettant un nombre fini de générateurs et ne contenant d'élément nilpotent est l'algèbre des fonctions régulières d'une certaine variété affine  $X$ . Une telle algèbre est appelée affine.  $X$  est le spectre de  $A$  et est défini comme l'ensemble des homomorphismes de  $A$  dans  $\mathbb{C}$ . Ce théorème permet de traduire des concepts géométriques dans un contexte algébrique.

Enfin, ayant défini  $\mathbb{C}[X]$ , on peut introduire le corps des fractions rationnelles  $\mathbb{C}(X)$ . Egalement, on dit qu'une application entre deux variétés affines  $\phi : X \rightarrow Y$  est un morphisme ssi  $\phi^*$  envoie les fonctions régulières de  $Y$  sur les fonctions régulières de  $X$ .

Nous sommes maintenant prêts à préciser la notion de "bon" quotient. Grosso modo, ce sera un espace pour lequel les orbites seront séparées par les fonctions rationnelles invariantes. Soit  $G$  un groupe algébrique agissant sur une variété affine irréductible  $X$ . Un quotient géométrique de  $X$  par l'action de  $G$  est une variété affine  $Y$  munie d'un morphisme surjectif  $\pi : X \rightarrow Y$  tel que :

- (a)  $\pi$  induit un isomorphisme entre  $\mathbb{C}(Y)$  and  $\mathbb{C}(X)^G$ .
- (b) Les fibres de  $\pi$  sont les orbites de  $X$  sous l'action de  $G$ .

La condition (b) nous dit que  $Y$  est un espace quotient puisque c'est un espace d'orbites. La condition (a) nous dit que l'espace quotient est une variété algébrique dont les points sont séparés par les fonctions rationnelles. A travers les exemples du début de cette section, nous avons vu qu'en général, il n'existe pas de tel bon quotient. C'est un théorème fondamental de **Rosenlicht** [50] qui sauve la situation : quelque soit la variété  $X$  et l'action algébrique de  $G$  sur  $X$ , il existe toujours un ouvert dense  $X_0$  stable sous  $G$  tel que  $X_0/G$  est un bon quotient ! Pour démontrer ce théorème, on commence par restreindre  $Y$  de telle sorte que (a) soit vraie. Puis l'hypothèse (a) implique que l'orbite de  $x$  est dense dans  $\pi^{-1}(x)$ . Mais alors la propriété (b) n'est pas vraie en général. On se restreint ensuite à un sous-ensemble  $X_0$  de  $X$  ne contenant que des orbites de dimension maximale. Cela implique (b). Alors le quotient géométrique  $X_0/G$  existe en tant que variété algébrique.

Dans le cas, d'un groupe  $G$  réductif, il existe un théorème fondamental par Hilbert et Nagata, qui assure que si  $X$  est irréductible et  $G$  réductif, alors  $\mathbb{C}[X]^G$  est généré par un nombre fini d'éléments. Comme  $\mathbb{C}[X]^G$  ne contient aucun élément nilpotent, c'est donc une algèbre affine i.e. c'est l'algèbre des fonctions régulières sur son spectre, que nous notons  $X//G \equiv \text{spec}(\mathbb{C}[X]^G)$ . Il est muni d'un morphisme surjectif  $\pi : X \rightarrow X//G$  et appelé *quotient de  $X$  par  $G$* . Ce quotient est universel dans le sens que tout morphisme  $G$ -invariant  $p : X \rightarrow Y$  peut être factorisé sur  $X//G$ , c'est-à-dire qu'il existe un morphisme  $q : X//G \rightarrow Y$  tel que  $p = q \circ \pi$ . Il est alors possible de montrer que chaque fibre de  $\pi$  contient une *unique* orbite fermée. Géométriquement, cela veut dire que  $X//G$  est l'espace des orbites fermées de  $X$  sous  $G$ . Cela est quelque peu dommage parce que cela implique  $X//G$  peut donner une description très imprécise de l'espace des orbites. En effet,  $X//G$  n'est généralement pas un quotient géométrique. Par exemple, pour  $X = \mathbb{C}^2$  et  $G = \mathbb{C}^*$  agissant par multiplication  $(x, y) \rightarrow (tx, ty)$ , les seuls polynômes invariants sont les polynômes constants, de telle sorte que  $X//G$  est réduit à un simple point, l'unique orbite fermée, celle de  $(0, 0)$ . Heureusement, la propriété suivante est vraie quand  $G$  est un groupe linéaire, connexe et *semi-simple*. Dans ce cas, l'algèbre des fractions de  $\mathbb{C}[X]^G$  (i.e.  $\mathbb{C}(X//G)$ ) est égale à  $\mathbb{C}(X)^G$ . Cela affirme que  $X//G$  est l'espace des orbites fermées et denses i.e. toute fibre  $\pi : X \rightarrow X//G$  contient une orbite dense et fermée. Cela implique que, dans le cas que nous considérons, il est possible de définir un espace quotient géométrique comme le dual algébrique de l'espace des polynômes invariants.

Revenant à notre problème,  $G$  est un groupe linéaire, connexe et semi-simple agissant sur  $X = G^n$  par conjugaison. Exploitant la théorie exposée ci-dessus, nous savons que, quand  $G$  est complexe, l'espace quotient universel  $G^n//AdG$  consistant en les orbites denses séparées par les polynômes invariants est bien défini. De plus, par le théorème de Rosenlich, il est toujours possible d'exclure de  $G^n$  un ensemble fermé (négligeable) pour que l'espace d'orbites soit un bon quotient géométrique. Néanmoins, bien qu'élégante et générique, ces méthodes ne s'appliquent pas directement dans le cas réel (sur  $\mathbb{R}$ ) et de plus ne sont pas constructives.

Il est donc nécessaire de mieux comprendre (d'une manière explicite) quel est l'ensemble fermé que nous devons exclure de  $G^n$  pour obtenir un espace quotient géométrique (qui sera une variété algébrique bien définie). De plus, nous sommes intéressés par les propriétés vis-à-vis de la mesure du quotient et nous aimerions démontrer que la différence entre le quotient géométrique et l'espace quotient  $G^n//AdG$  est de mesure nulle.

Tout d'abord, le théorème de Rosenlich nous affirme qu'il est toujours possible de construire un quotient géométrique retirant un ensemble fermé (pour la topologie de Zariski) de  $G^n$ .

Le cas  $G/Ad(G)$  est bien connu. La solution consiste à enlever de  $G$  les points auxquels l'action de  $Ad(g)$  n'est pas régulière. L'ensemble des points réguliers, noté  $G_1$ , est l'ensemble des points  $g \in G$  pour lesquels  $Ad(g)$  est diagonalisable et tel que 1 soit une valeur propre de multiplicité égale au rang du groupe. L'espace quotient  $G_1/Ad(G)$  est alors égal à l'union des éléments réguliers des sous-groupes de Cartan modulo leur groupe de Weyl i.e.  $\sqcup_i H_i/W(H_i)$ .

Dans le cas  $G \times G$ , la stratégie est identique, et il s'agit d'exclure les points irréguliers, puis on considèrera l'action de  $Ad(G)$  sur une sous-espace de  $G \times G$ . Dans le cas d'un groupe de rang 1, un tel sous-ensemble est donné explicitement par

$$G_2 \equiv \{(g_1, g_2) \in G \times G; g_1 \in G_1 \text{ ou } g_2 \in G_1, \text{ et } \det[g_1, g_2] \neq 0\}, \quad (4.4)$$

où  $[g_1, g_2] = g_1 g_2 - g_2 g_1$  est le commutant dans l'algèbre. On a alors la proposition suivante :

**Proposition 1.**  *$G_2$  est un sous-ensemble dense de  $G \times G$ , son complémentaire est de mesure de Haar nulle et  $G_2/Ad(G)$  est un quotient géométrique quand  $G$  est de rang 1. Par conséquent,  $A_2 = G_2/Ad(G)$  est une variété Hausdorff de dimension  $\dim G$ , séparant les fonctions rationnelles et c'est la variété de base d'un fibré homogène de fibre  $G$  et dont l'espace total est  $G_2 \approx A_2 \times G$ .*

Cette proposition sera montré explicitement sur les exemples de  $SL(2, \mathbb{C})$ ,  $SL(2, \mathbb{R})$  et  $SU(2)$  dans le chapitre 6 où nous construirons le spectre dual à l'espace des polynômes invariants et montrerons qu'il est isomorphe à  $G_2/Ad(G)$ . Le point central est que la condition  $\det[g_1, g_2] \neq 0$  peut être implémentée sous la forme d'inégalités algébriques.

Notons que tenant compte de la définition (4.4), le centralisateur de n'importe quel élément de  $G_2$  est trivial. En effet, supposons que  $g$  commute avec  $(g_1, g_2)$ , alors, supposant que  $g_1$  est régulier,  $g$  peut être diagonalisé dans la même base que  $g_1$  (l'hypothèse de régularité est essentielle ici).  $g$  ne peut pas être régulier, car dans ce cas, car comme  $g$  commute avec  $g_2$ , cela impliquerait que  $g_2$  est diagonal dans cette même base et donc commute aussi avec  $g_1$ , ce qui est contraire aux hypothèses. Par conséquent, la définition de  $g$  impose que  $g$  est diagonal et non-régulier. Si le rang du groupe est 1, cela revient à dire que  $g$  est l'identité. Dans le cas de  $SL(N, \mathbb{C})$ , il est facile de vérifier que la condition de déterminant non-nul est suffisante pour conclure que  $g$  est dans le centre de  $G$ . Il est important de comprendre qu'il ne suffit pas d'exclure les points avec un centralisateur non-trivial : pour obtenir un bon quotient, il faut enlever plus de points, et cela est dicté par le fait que l'espace quotient est le spectre de l'algèbre des fonctionnelles invariantes.

Dans le cas d'un groupe de rang plus élevé, on peut définir  $G_2$  par

$$G_2 \equiv \{(g_1, g_2) \in G \times G; g_1 \in G_1 \text{ ou } g_2 \in G_1, \text{ et } C(g_1, g_2) = Z_G\}, \quad (4.5)$$

où  $C(g_1, g_2)$  dénote le centralisateur de  $g_1$  et  $g_2$ , et  $Z_G$  le centre du groupe. Nous avons vu que, dans le cas de  $SL(N, \mathbb{C})$ , cela peut être implémenté par une condition algébrique. On peut s'attendre à ce que cela soit de même pour tout groupe, mais nous ne démontrerons pas une telle proposition. Nous verrons dans la prochaine section que  $G_2$  admet un bon quotient  $A_2$  par  $Ad(G)$ . Néanmoins, contrairement à la définition (4.4) (valide pour tous les groupes de rang 1, et également  $SL(N, \mathbb{C})$ ), la définition (4.5) n'est pas équivalente à une définition de  $G_2$  en tant que dual algébrique.

## 4.2 Mesure sur les Fleurs

Pour construire la mesure sur les fleurs, je vais commencer par décrire le cas à deux pétales  $A_2 = G_2/Ad(G)$ , puis je généraliserai à un nombre de pétales quelconque.

### 4.2.1 Les fleurs à deux pétales

#### Cas d'un unique sous-groupe de Cartan

Je commence par le cas où le groupe  $G$  contient un unique sous-groupe de Cartan (à conjugaison près). C'est par exemple le cas des groupes complexes  $SL(N, \mathbb{C})$ . Ce cas sera par la suite facilement généralisé au cas où on aurait plusieurs sous-groupes de Cartan non conjugués.

Considérons l'application suivante de  $G_1$  dans  $A_2$ . Etant donné,  $g \in G_1$ , il est possible de la conjuguer au sous-groupe de Cartan  $H \subset G$  i.e. il existe  $h \in H, x \in G/H$  tel que  $g = xhx^{-1}$ . On choisit alors une section  $s : G/H \rightarrow G$  et on définit l'application :

$$j_s : \begin{array}{ccc} G_1 & \rightarrow & A_2 \\ g = xhx^{-1} & \rightarrow & Ad(G).(h, s(x)) \end{array} \quad (4.6)$$

où  $Ad(G).(h, s(x))$  est l'orbite de  $(h, s(x))$  sous l'action par conjugaison  $Ad(G)$ . Ceci effectue une fixation de jauge i.e.  $j_s$  est surjective. En effet, soit  $(g_1, g_2) \in A_2$ . Il est possible de conjuguer  $g_1$  au sous-groupe de Cartan  $H$  i.e. il existe  $h \in H, y \in G/H$  tel que  $g_1 = yhy^{-1}$ . Alors  $Ad(G).(g_1, g_2) = Ad(G).(h, y^{-1}g_2y)$ . Ceci fixe la jauge seulement partiellement puisque  $H$  peut encore agir sur  $y$  par  $y \rightarrow yk$ , ce qui veut dire que nous pouvons encore conjuguer  $\tilde{g}_2 = y^{-1}g_2y$  par un élément de sous-groupe de Cartan. Néanmoins, puisque nous sommes dans  $A_2$ , le centralisateur de  $g_1$  et  $g_2$  est trivial, ce qui implique que le centralisateur de  $h \in H$  et  $\tilde{g}_2$  est trivial. Puisque le centralisateur de  $h \in H \cap G_1$  est  $H$ , cela signifie que l'action par conjugaison de  $H$  sur  $\tilde{g}_2$  n'a pas d'autres points fixes que les éléments du centre de  $G$ . Supposons, pour la suite, que le centre de  $G$  est trivial. Alors, quitte à exclure un ensemble de mesure nulle de  $G$ , il existe des sections  $s : G/H \rightarrow G$  telles que nous pouvons utiliser la symétrie résiduelle de l'action par conjugaison par  $H$  pour imposer que  $\tilde{g}_2$  soit dans l'image de  $s$ .

Par exemple, dans le cas  $SL(N, \mathbb{C})$ , nous pouvons exclure les points  $\prod_{i=1}^{N-1} a_{ii+1} = 0$  où l'on note  $a_{ij}$  les éléments de matrices, alors on peut choisir la section définie par  $a_{ii+1} = 1$  pour tout  $i = 1, \dots, N-1$ . En effet, c'est une bonne fixation de jauge à la fois pour l'action par multiplication à gauche (ou à droite) par  $H$  et pour l'action par conjugaison  $Ad(H)$ . Dans le cadre plus général d'un groupe semi-simple, on décompose un élément  $g$  du groupe en ces composantes sur le Cartan et sur les racines

$$g = e^{\sum_{\alpha > 0} u_\alpha E^\alpha} h e^{\sum_{\alpha < 0} u_\alpha E^\alpha},$$

où l'on somme sur les racines  $\alpha$  positives et négatives avec  $h$  un élément du sous-groupe de Cartan et les  $u_\alpha$  les générateurs de l'algèbre de Lie. Alors une bonne fixation de jauge sera par exemple  $u_\alpha = 1$  pour toutes les racines simples.

Au final, la fixation de jauge revient à imposer que  $(g_1, g_2) \rightarrow (h, s(x)) \in H \times G/H$ , car nous venons de démontrer que tout élément de  $G_2$  peut être écrit sous cette forme. De plus, la condition que le centralisateur de  $(g_1, g_2)$  soit trivial est implémenté si nous demandons que  $g = s(x)hs(x)^{-1} \notin H$ . En effet,  $s(x)hs(x)^{-1} \in H$  impliquerait que soit  $s(x) \in H$ , soit que  $s(x)$  est une transformation de Weyl. La première possibilité est impossible car  $s(x)$  et  $h$  ne commute pas. Ainsi  $j_s$  définit une application de  $G_1 \setminus H$  sur  $A_2$ . La seconde possibilité est liée à un problème d'ambiguïté de Gribov, qui rend la définition de  $j_s$  ambiguë.

Cette ambiguïté est due au fait qu'un élément arbitraire du groupe peut être conjugué à différents éléments du sous-groupe de Cartan, tous reliés par l'action du groupe de Weyl  $W(H)$ , qui est justement l'action par conjugaison résiduelle sur le sous-groupe de Cartan  $H$ . Il y a deux manières de s'affranchir de ce problème. Tout d'abord, nous pouvons exiger un bon comportement de la section  $s$  sous l'action du groupe de Weyl :

$$\forall x \in G/H, \forall w \in W(H), s(xw) = w^{-1}s(x)w. \quad (4.7)$$

Cela rend  $j_s$  bien définie et c'est l'hypothèse que nous utiliserons dans la suite. Ou bien, nous pouvons imposer que  $h$  soit dans une chambre de Weyl fixée. Dans ce cas, il suffit d'enlever tous les facteurs  $1/w(H)$  des preuves suivantes.

En utilisant cet isomorphisme, nous pouvons tirer en arrière les fonctions sur  $A_2$  (ou de manière équivalente les fonctions invariantes sur  $G_2$ ) à des fonctions définies sur  $G_1$  par  $j_s^* F(xhx^{-1}) = F(h, s(x))$ .

**Définition 1.** Soit une mesure  $\mu$  sur  $A_2$  définie par

$$\int_{A_2} F(g_1, g_2) d\mu(g_1, g_2) \equiv \int_G j_s^* F(g) dg. \quad (4.8)$$

**Proposition 2.** Soit une fonction  $F$   $L^1$  sur  $G_2$  pour la mesure de Haar. Nous demandons également que sa version invariante de jauge soit bien définie :

$${}^G F(g_1, g_2) = \int_G F(gg_1g^{-1}, gg_2g^{-1}) dg \quad (4.9)$$

Alors, nous avons :

$$\int_{G \times G} F(g_1, g_2) dg_1 dg_2 = \int_{A_2} {}^G F(g_1, g_2) d\mu(g_1, g_2), \quad (4.10)$$

Je vais démontrer ce résultat explicitement dans le cas de  $SL(n, \mathbb{C})$ . La démonstration devrait pouvoir s'adapter à tous les groupes semi-simples. Commençons donc par introduire un lemme :

**Lemme 1.** Pour  $g = SL(n, \mathbb{C})$ , le sous-groupe de Cartan est constitué des matrices diagonales  $h = (\lambda_i)_{i=1..n}$  avec  $\prod_i \lambda_i = 1$ . A condition que  $\prod_i^{n-1} a_{i,i+1} \neq 0$ , la condition  $\forall i = 1..n-1, a_{i,i+1} = 1$  constitue une bonne fixation de jauge à la fois pour l'action de  $H$  par multiplication à droite sur  $G$  et pour l'action adjointe  $Ad(H)$ . Elle définit une section  $s : G/H \rightarrow G$ . On a alors une extension de la formule de factorisation (4.1) qui s'écrit :

$$\int_G f(g) dg = n \times \int_H \left[ \int_{G/H} f(h^{-1}s(x)h) dx \right] dh, \quad (4.11)$$

où  $n$  est donc qu'un facteur multiplicatif.

Pour démontrer ce résultat, il s'agit d'analyser les propriétés de la section choisie  $s$  sous multiplication à gauche par un élément du Cartan. Un calcul simple prouve que pour  $x \in G/H$  et  $h = (\lambda_i) \in H$  :

$$s(h^{-1}x) = h^{-1}s(x)k_{(h)}$$

avec  $k_{(h)} = (\lambda_n, \lambda_1, \dots, \lambda_{n-1}) \in H$  est une permutation circulaire des éléments de matrice de  $h$ . Notons le fait important que l'élément  $k$  ne dépend que de  $h$  et pas de  $x$ . Alors, en utilisant l'invariance de la mesure  $dx$  sur  $G/H$  par multiplication à gauche, on obtient :

$$\int_H \left[ \int_{G/H} f(h^{-1}s(x)h) dx \right] dh = \int_H \left[ \int_{G/H} f(s(x)k_{(h)}^{-1}h) dx \right] dh.$$

Il s'agit maintenant de calculer le Jacobien du changement de variables  $k_{(h)}^{-1}h \rightarrow h$ . Compte tenu que la mesure  $dh$  est simplement  $\prod_{i=1}^{n-1} d\alpha_i$  pour  $h = (e^{\alpha_i})_i$ , on trouve

$$\int_H \left[ \int_{G/H} f(h^{-1}s(x)h) dx \right] dh = \frac{1}{n} \int_H \left[ \int_{G/H} f(s(x)h) dx \right] dh,$$

ce qui permet de conclure.

Démontrons maintenant la proposition (2). Pour cela, considérons une fonction  $F(g_1, g_2)$   $L^1$  sur  $G \times G$ . Alors :

$$\int_{G \times G} F(g_1, g_2) dg_1 dg_2 = \frac{1}{w(H)} \int_{G/H \times H \times G} F(xhx^{-1}, g_2) |\Delta(h)|^2 dx dh dg_2$$

$$= \frac{1}{w(H)} \int_{G/H \times H \times G} F(xhx^{-1}, xg_2x^{-1}) |\Delta(h)|^2 dx dh dg_2 \quad (4.12)$$

où nous avons utilisé la formule d'intégration de Weyl (4.2) pour la première égalité, puis l'invariance de la mesure de Haar par multiplication à gauche et à droite pour la seconde. Utilisant l'identité (4.11) sur l'intégration sur  $G_2$ , notre intégrale peut être développée :

$$\begin{aligned} & n \times \frac{1}{w(H)} \int_{G/H \times H \times H \times H \times G} F(xhx^{-1}, xkyk^{-1}x^{-1}) |\Delta(h)|^2 dx dh dk dy \\ &= n \times \frac{1}{w(H)} \int_{H \times H \setminus G} \left[ \int_{G/H \times H} F(xhx^{-1}, xky(xk)^{-1}) dx dk \right] |\Delta(h)|^2 dh dy \\ &= n \times \frac{1}{w(H)} \int_{H \times H \setminus G} \left[ \int_{G/H \times H} F(xkh(xk)^{-1}, xky(xk)^{-1}) dx dk \right] |\Delta(h)|^2 dh dy \quad , \quad (4.13) \end{aligned}$$

où nous avons utilisé le fait que  $H$  est abélien pour la dernière égalité. Puis, en utilisant la définition de la mesure sur  $G/H$  (4.1), nous avons finalement :

$$\int_{G \times G} F(g_1, g_2) dg_1 dg_2 = n \times \frac{1}{w(H)} \int_{H \times H \setminus G} {}^G F(h, y) |\Delta(h)|^2 dh dy \quad (4.14)$$

où  ${}^G F$  est la version invariante de jauge de  $F$  :

$${}^G F(g_1, g_2) = \int_G F(gg_1g^{-1}, gg_2g^{-1}) dg. \quad (4.15)$$

Quitte à absorber le facteur multiplicatif  $n$  dans la définition de la mesure  $d\mu(g_1, g_2)$ , ceci conclut la démonstration de la proposition (2).

**Théorème 1.**  $\mu$  est indépendante du choix de la section  $s$ , symétrique, invariante sous multiplication à droite et à gauche et invariante sous passage à l'inverse :

$$d\mu(g_1, g_2) = d\mu(g_2, g_1) \quad (4.16)$$

$$d\mu(kg_1h, g_2) = d\mu(g_1, g_2) \quad (4.17)$$

$$d\mu(g_1, g_2) = d\mu(g_1^{-1}, g_2) \quad (4.18)$$

Démontrons le théorème ci-dessus pour  $d\mu(kg_1, g_2)$  (multiplication à gauche) Il sera aisé de démontrer les autres propriétés de la même façon. Le plus simple est d'utiliser la procédure de fixation de jauge à la Faddeev-Popov puis de se servir de la proposition 2. Considérons une fonction invariante  $F$  sur  $G_2$ . Maintenant choisissons une fonction  $\varphi$  sur  $G_2$  tel que  ${}^G \varphi = 1$  et définissons la fonction fixée de jauge  $\tilde{F} = F\varphi$ . Dans la procédure de Faddeev-Popov usuelle, nous choisirions une fonction  $\varphi$  proportionnelle à une distribution  $\delta$ , mais cela n'est pas nécessaire dans notre cas. La proposition 2 donne :

$$\int_{A_2} F(g_1, g_2) d\mu(g_1, g_2) = \int_{G \times G} \tilde{F}(g_1, g_2) dg_1 dg_2, \quad (4.19)$$

En utilisant la liberté du choix de la fonction  $\varphi$  dans la proposition 2 et le fait que si  $\varphi(g_1, g_2)$  est une fixation de jauge alors  $\varphi_k(g_1, g_2) = \varphi(k^{-1}g_1, g_2)$  l'est aussi, on obtient

$$\begin{aligned} \int_{A_2} F(g_1, g_2) d\mu(kg_1, g_2) &= \int_{G \times G} F(k^{-1}g_1, g_2) \varphi(k^{-1}g_1, g_2) dg_1 dg_2 \\ &= \int_{G \times G} F(g_1, g_2) \varphi(g_1, g_2) dg_1 dg_2 \\ &= \int_{A_2} F(g_1, g_2) d\mu(g_1, g_2). \end{aligned} \quad (4.20)$$

Ce qui conclut que la mesure  $d\mu$  définie sur  $A_2$  est bien invariante à gauche.

### Pour un nombre quelconque de sous-groupes de Cartan

Dans le cas de plusieurs sous-groupes de Cartan, notons-les  $H_1, H_2, \dots, H_n$ .  $G_1$  se décompose en composantes connexes  $G^{(i)} = Ad(G).H_i$ , chacune étant conjuguée à un sous-groupe de Cartan  $H_i$ . Pour chacune de ces composantes, on choisit une section  $s_i : G/H_i \rightarrow G$  et on définit l'application :

$$\begin{aligned} j_i : G^{(i)} \subset G_1 &\rightarrow A_2 \\ g = yhy^{-1} &\rightarrow Ad(G).(h, s_i(y)) \end{aligned} \quad (4.21)$$

Avec cette application, nous pouvons définir une mesure  $d\mu_i$  sur  $A_2$  comme dans le cas précédent (1) par

$$\int_{A_2} F(g_1, g_2) d\mu_i(g_1, g_2) \equiv \int_{G_i} j_i^* F(g) dg. \quad (4.22)$$

**Proposition 3.** *Soit une fonction  $F$   $L^1$  sur  $G_2$ . Nous avons alors*

$$\int_{G \times G} F(g_1, g_2) dg_1 dg_2 = \int_{A_2} {}^G F(g_1, g_2) d\mu(g_1, g_2), \quad (4.23)$$

avec

$$d\mu(g_1, g_2) = \sum_i \frac{1}{w(H_i)} d\mu_i(g_1, g_2) \quad (4.24)$$

et où  ${}^G F$  est la version de  $F$  invariante de jauge :

$${}^G F(g_1, g_2) = \int_G F(gg_1g^{-1}, gg_2g^{-1}) dg. \quad (4.25)$$

Soit une fonction  $F(g_1, g_2)$   $L^1$  sur  $G \times G$ . Alors

$$\int_{G \times G} F(g_1, g_2) dg_1 dg_2 \quad (4.26)$$

$$= \sum_i \frac{1}{w(H_i)} \int_{(G/H_i) \times H_i \times G} F(xhx^{-1}, g_2) |\Delta(h)|^2 dx dh dg_2 \quad (4.27)$$

$$= \sum_i \frac{1}{w(H_i)} \int_{(G/H_i) \times H_i \times G} F(xhx^{-1}, xg_2x^{-1}) |\Delta(h)|^2 dx dh dg_2, \quad (4.28)$$

où nous avons utilisé la formule d'intégration de Weyl (4.2) pour la première égalité, puis l'invariance de la mesure de Haar par multiplication à gauche et à droite pour la seconde. Utilisant l'identité (4.11) sur l'intégration sur  $G_2$ , notre intégrale peut être développée en

$$\sum_i \frac{1}{w(H_i)} \int_{G/H_i \times H_i \times H_i \times H_i \setminus G} F(xhx^{-1}, xkyk^{-1}x^{-1}) |\Delta(h)|^2 dx dh dk dy \quad (4.29)$$

$$= \sum_i \frac{1}{w(H_i)} \int_{H_i \times H_i \setminus G} \left[ \int_{G/H_i \times H_i} F(xhx^{-1}, xky(xk)^{-1}) dx dk \right] |\Delta(h)|^2 dh dy. \quad (4.30)$$

Utilisant la définition (4.1) de la mesure sur  $G/H_i$  et le fait que  $H_i$  est abélien, on aboutit à

$$\begin{aligned} \int_{G \times G} F(g_1, g_2) dg_1 dg_2 &= \sum_i \frac{1}{w(H_i)} \int_{H_i \times H_i \setminus G} {}^G F(h, y) |\Delta(h)|^2 dh dy \\ &= \sum_i \frac{1}{w(H_i)} \int_{G^{(i)}} dg j_i^* ({}^G F)(g) \\ &= \sum_i \frac{1}{w(H_i)} \int_{A_2} d\mu_i(g_1, g_2) {}^G F(g_1, g_2) \end{aligned} \quad (4.31)$$

Puis, il est direct d'utiliser cette proposition pour généraliser le théorème 1 au cas de plusieurs sous-groupes de Cartan en suivant la même preuve que précédemment.

### 4.2.2 Les fleurs en général

On veut maintenant généraliser le cas de  $A_2$  au cas  $A_h$ . D'après le théorème de Rosenlich décrit dans la sous-section 4.1.2, il est toujours possible de choisir un ensemble dense  $G_h \subset G^h$  tel que le quotient géométrique  $A_h = G_h/Ad(G)$  est bien défini comme dans la proposition 1. Suivant la logique de la construction dans le cas à deux pétales, on définit  $G_h$ , dans le cas d'un groupe de rang 1, comme :

**Définition 2.**

$$G_h \equiv \{(g_1, \dots, g_h) \in G^h \mid \exists(i, j) \in [1, \dots, h], (g_i, g_j) \in G_2\} \quad (4.32)$$

Notons que  $G_h$  est tel que le centralisateur de n'importe quel élément de  $G_h$  est l'identité.

**Définition 3.** Fixons deux pétales  $i, j$  sur la fleur à  $n$  pétales. Alors, nous pouvons définir une mesure sur  $A_h$  :

$$\mu^{(ij)} [f(g_1, g_2, \dots, g_n)] = \int_{G_2^{(ij)}} d\mu(g_i, g_j) \int \prod_{k \neq i, j} dg_k f(g_1, g_2, \dots, g_n) \quad (4.33)$$

où nous avons pris la mesure fixée de jauge  $d\mu(g_i, g_j)$  pour les deux pétales fixées et la mesure de Haar sur les autres liens.

Cette mesure est bien définie puisque  $\int \prod_{k \neq i, j} dg_k f(g_1, g_2, \dots, g_n)$  est une fonction invariante sur  $G_2^{(ij)}$  (et par conséquent une fonction sur  $A_2$ , que nous pouvons intégrer en utilisant  $d\mu(g_i, g_j)$ ).

**Proposition 4.** Soit une fonction  $F \in L^1$  sur  $G^n$ . Alors nous avons

$$\int_{G^n} F(g_1, \dots, g_n) dg_1 \dots dg_n = \int_{A_n} {}^G F(g_1, \dots, g_n) d\mu(g_1, \dots, g_n), \quad (4.34)$$

où  ${}^G F$  est la version invariante de jauge de  $F$  :

$${}^G F(g_1, \dots, g_n) = \int_G F(gg_1g^{-1}, \dots, gg_ng^{-1}) dg \quad (4.35)$$

Cette proposition est facilement démontrée en utilisant la proposition 2 et l'invariance de la mesure de Haar sous multiplication à gauche et à droite. Elle implique le théorème suivant :

**Théorème 2.** Les mesures  $d\mu^{(ij)}$  ne dépendent pas du choix des liens  $i, j$  et définissant donc une unique mesure  $d\mu(g_1, g_2, \dots, g_n)$  sur  $A_h$ . De plus, cette mesure est symétrique sous permutations arbitraires de  $g_1, \dots, g_n$ , sous multiplication à gauche et à droite et sous passage à l'inverse :

$$\begin{aligned} d\mu(g_{\sigma_1}, \dots, g_{\sigma_n}) &= d\mu(g_1, \dots, g_n), \\ d\mu(kg_1h, \dots, g_n) &= d\mu(g_1, \dots, g_n), \\ d\mu(g_1^{-1}, \dots, g_n) &= d\mu(g_1, \dots, g_n) \end{aligned} \quad (4.36)$$

## 4.3 Mesure pour un graphe quelconque

Pour construire la mesure sur un graphe arbitraire  $\Gamma$ , on choisit un arbre maximal  $T$ , on effectue la procédure de fixation de jauge décrite dans le chapitre 3 pour réduire le graphe  $\Gamma$  à une simple fleur, puis on définit une mesure  $d\mu_T$  tel que pour toute fonction  $\phi$  invariante de jauge sur  $\Gamma$ , on ait :

$$\int d\mu_T(g_1, \dots, g_E) \phi(g_1, \dots, g_E) = \int \widetilde{d\mu}(g_1, \dots, g_F) \phi_T(g_1, \dots, g_F) \quad (4.37)$$

où  $\widetilde{d\mu}$  est la mesure sur la fleur à  $h_\Gamma = E - V + 1$  pétales.

Cette définition dépend *a priori* du choix de l'arbre  $T$ . Je vais montrer que ce n'est en fait pas le cas. Choisissons pour cela, deux arbres  $T$  et  $U$ . Les fonctions fixées de jauge  $\phi_T$  et  $\phi_U$  sont reliées par le changement de variables (3.7) :

$$\phi_T(G_e^{(T)}) = \phi_U(G_e^{(U)}) = \prod_{f \in \mathcal{L}[e] \setminus T} \overrightarrow{G_f^{(T)}}$$

et il s'agit de démontrer maintenant que :

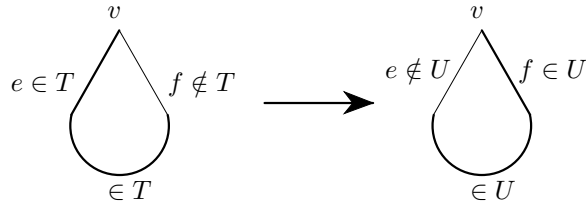
$$\int \widetilde{d\mu}(G_1^{(T)}, \dots, G_F^{(T)}) \phi_T(G_1^{(T)}, \dots, G_F^{(T)}) = \int \widetilde{d\mu}(G_1^{(U)}, \dots, G_F^{(U)}) \phi_U(G_1^{(U)}, \dots, G_F^{(U)}) \quad (4.38)$$

ou d'une manière équivalente :

$$\int \widetilde{d\mu}(G_1^{(U)}, \dots, G_F^{(U)}) \phi_U(G_1^{(U)}, \dots, G_F^{(U)}) = \int \widetilde{d\mu}(G_1^{(T)}, \dots, G_F^{(T)}) \phi_U(G_e^{(U)}) = \overrightarrow{\prod_{f \in \mathcal{L}[e] \setminus T} G_f^{(T)}}. \quad (4.39)$$

Nous allons prouver cette égalité en effectuant des changements de variables élémentaires, qui correspondent en fait à des changements élémentaires d'arbres maximaux. Nous allons dans un premier temps définir ces changements élémentaires entre arbres et montrer qu'il est possible de passer de n'importe quel arbre à un autre par une suite de tels mouvements. Puis je montrerai que la mesure est invariante sous de tels changements de variables.

**Définition 4.** Soit un graphe  $\Gamma$  et un arbre maximal  $T$ . Considérons un vertex  $v$  tel qu'au moins un lien attaché à  $v$  ne soit pas dans l'arbre  $T$ . Appelons  $f \notin T$  un tel lien. Il existe un unique chemin dans  $T$  liant l'autre vertex de  $f$  au point  $v$ . Ce chemin définit un autre lien  $e \in T$  attaché à  $v$ . Alors un changement élémentaire d'arbre consiste à échanger les liens  $e$  et  $f$  et à considérer l'arbre  $U = T \cup f \setminus e$ .



L'intérêt d'une telle définition repose en la proposition suivante :

**Proposition 5.** Ayant choisi deux arbres maximaux  $T$  et  $U$  sur un graphe  $\Gamma$ , il existe une suite de changements élémentaires permettant de passer de  $T$  à  $U$ .

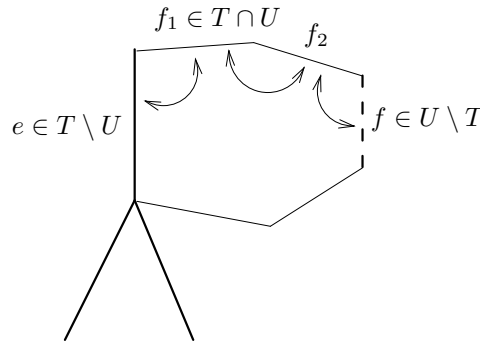
Puis, le changement de variables de  $G^{(U)}$  à  $G^{(T)}$  est très simple pour un changement élémentaire et consiste en une simple inversion ou multiplication à gauche, ce qui simplifie énormément l'étude des changements d'arbres.

Montrons tout d'abord la proposition précédente. Ayant choisi  $\Gamma$  et deux arbres maximaux  $T$  et  $U$ , on distingue 4 types de liens : les liens appartenant à la fois à  $T$  et  $U$ , les liens dans  $V = T \setminus U$ , les liens dans  $W = U \setminus T$  et les liens dans aucun des deux. Il s'agit d'effectuer des changements élémentaires pour réduire les ensembles  $V$  et  $W$  à l'ensemble vide. Concentrons-nous sur  $V$ . Tout d'abord, il peut ne pas être connexe. On peut alors travailler sur chacune des parties connexes. Choisissons-en une et notons-la  $V_1$ .  $V_1$  est un arbre (puisque c'est un sous-graphe de  $T$ ). En particulier,  $V_1$  n'est pas fermé et contient des liens ouverts (sans bouts) i.e. des liens liés à  $V_1$  par un seul vertex. Nous allons les enlever de  $V_1$  en effectuant des changements élémentaires, puis en répétant l'opération, on pourra vider complètement  $V_1$ . Et finalement, en faisant de même avec toutes les composantes connexes, on pourra absorber entièrement l'ensemble  $T \setminus U$ .

Choisissons donc un lien  $e$  ouvert de  $V_1$ . Il a deux vertex :  $v$  à l'extérieur de  $V_1$  et  $w$  à l'intérieur de  $V_1$ . Il existe un unique chemin  $\mathcal{P}$  dans  $U$  reliant ces deux vertex. Ce chemin ne passe pas par  $e \notin U$ . Dans  $\mathcal{P}$ , il existe au moins un lien dans  $U$  et non dans  $T$  sinon il y aurait une boucle dans l'arbre  $T$ .

Supposons qu'un tel lien  $f \in U \setminus T$  soit directement rattaché au lien  $e$  (par le vertex  $v$ ). Alors, nous pouvons effectuer un changement élémentaire  $e \leftrightarrow f$  et passer à un arbre (maximal)  $\tilde{U} = U \cup e \setminus f$  plus près de l'arbre  $T$  que de l'arbre initial  $U$ .





Revenons maintenant au cas général. Nous avons une suite de liens  $f_1, \dots, f_n \in T \cap U$  partant du vertex  $v$  suivant le chemin  $\mathcal{P}$  et aboutissant à un lien  $f \in U \setminus T$ . Alors on effectue la suite de changements élémentaires sur l'arbre  $U$  échangeant les liens  $e \leftrightarrow f_1, \dots, f_{n-1} \leftrightarrow f_n$ , et ainsi créant la suite d'arbres maximaux  $U_1, \dots, U_n$ . Partant de  $v$ , tous les liens  $e, f_1, \dots, f_{n-1}$  sont à la fois dans  $T$  et dans  $U_n$ ,  $f_n$  est dans  $T \setminus U_n$ ,  $f$  est dans  $U_n \setminus T$ , et tous les autres liens revenant vers  $w$  sont dans  $U_n$ . Nous sommes donc de retour dans le cas simple précédent et nous pouvons procéder à un ultime changement  $f_n \leftrightarrow f$  sur l'arbre maximal  $U_n$  créant ainsi l'arbre (maximal)  $\tilde{U}$  tel que l'entière boucle  $\mathcal{P}$  de  $v$  à  $v$  est à la fois dans  $T$  et  $\tilde{U}$  excepté le lien  $f$  qui n'est dans aucun. En pratique, nous sommes partis d'une boucle avec tous les liens dans  $U$  sauf un qui est dans  $T$  (c'est le lien initial  $e$ ), et en effectuant des changements élémentaires, nous l'avons bougé le long du chemin jusqu'à ce qu'il rencontre un lien qui n'est pas dans  $T$  et qu'ils "s'annulent" ensemble.

Ceci conclut l'absorption du lien  $e$  : l'ensemble  $T \setminus \tilde{U}$  contient un lien de moins que  $T \setminus U$ . Maintenant, nous pouvons répéter la même procédure en partant du nouvel arbre  $\tilde{U}$ .

À présent, il est possible de démontrer le résultat suivant :

**Théorème 3.** *Le Jacobien du changement de variables (4.39) est 1, de telle sorte que la mesure  $d\mu_T$  ne dépend pas du choix de l'arbre  $T$ .*

Ce théorème assure l'existence d'une **mesure**  $\mathbf{d}\mu^{(\Gamma)} = \mathbf{d}\mu_T$  indépendante du choix de  $T$  et par conséquent également indépendante des arbitraires de toute la procédure de fixation de jauge. Elle permet d'intégrer les fonctions invariantes de jauge et de définir l'espace des fonctions invariantes  $L^2$  sur  $\Gamma$ . Comme nous le verrons dans le prochain chapitre, c'est l'espace  $\mathcal{H}_\Gamma$  des réseaux de spin défini sur le graphe  $\Gamma$ .

La proposition 5 implique qu'il suffit de démontrer le théorème 3 pour des changements élémentaires. Considérons donc un changement élémentaire sur l'arbre  $T$  autour du vertex  $v$  et définissant le nouvel arbre  $U = T \cup f \setminus e$ . Pour chaque lien  $a \notin U$  sur la fleur réduite définie par  $U$ , on définit la variable  $G_a^{(U)}$ . Il s'agit de les exprimer en fonction des variables  $G_b^{(T)}$ . Dans le cas  $a \notin U$  et  $a \notin T$ ,  $G_a^{(U)}$  et  $G_a^{(T)}$  sont égaux à une multiplication près à droite ou à gauche par  $G_f^{(T)}$  ou son inverse. Le seul autre cas est celui de  $a = e$ ; alors  $G_e^{(U)} = (G_f^{(T)})^{\pm 1}$ . Alors, utilisant les invariances de la mesure (théorème 2), on peut conclure que le changement de variables ci-dessus a un Jacobien trivial.



# Chapitre 5

## Définir les réseaux de spins

Maintenant que nous avons muni les espaces invariants  $A_\Gamma$  d'une mesure (de Haar), nous pouvons définir l'espace des fonctions invariantes  $L^2$  sur un graphe  $\Gamma$ . Dans le cas  $G = SU(2)$ , une base de cet espace est fournie par les réseaux de spin  $SU(2)$ . Dans ce chapitre, il s'agit de généraliser ce résultat au cas d'un groupe de Lie  $G$  quelconque, pour pouvoir en particulier l'appliquer au cas des groupes de Lorentz dans le cadre d'une approche à la *Loop Gravity* invariante par Lorentz. Les réseaux de spin généralisés seront définis comme les vecteurs propres d'un ensemble d'opérateurs Laplaciens commutants et Hermitiens. On s'attachera ensuite à discuter la généralisation potentielle du formalisme d'Ashtekar-Lewandowski au cas d'un groupe non-compact, en vue de définir un espace d'états quantiques de la connexion/géométrie en sommant sur tous les graphes  $\Gamma$  possibles. Je soulignerai les différences entre le cas d'un groupe compact et d'un groupe non-compact et j'expliquerai des possibles constructions alternatives.

### 5.1 Diagonaliser les Laplaciens

Dans cette section, je vais définir les opérateurs différentiels Laplaciens sur un graphe  $\Gamma$ . Puis je montrerai que ce sont des opérateurs hermitiens pour le produit scalaire défini par la mesure  $d\mu_\Gamma$ , résultat se généralisant à tout opérateur différentiel invariant de jauge. Alors, les réseaux de spin seront définis en tant que vecteurs propres généralisés des opérateurs Laplaciens. Ce qui permettra de mieux comprendre la structure de l'espace d'Hilbert  $\mathcal{H}_\Gamma$  des fonctions invariantes  $L^2$  sur  $\Gamma$ .

#### 5.1.1 Opérateurs Laplacien/Casimir

Soit un graphe  $\Gamma$ . Une fonction (invariante de jauge) définie sur  $\Gamma$  dépend de  $E$  éléments du groupe  $g_1, \dots, g_E$ . Dénotons par  $X$  un élément de l'algèbre de Lie et par  $\partial_X^{R_e}$  (resp.  $\partial_X^{L_e}$ ) la dérivation correspondante invariante à droite (resp. gauche) agissant sur le  $j$ -ième élément du groupe associé au lien  $e$  :

$$\partial_X^{R_1} f(g_1, \dots, g_N) = f(Xg_1, \dots, g_N), \quad (5.1)$$

$$\partial_X^{L_1} f(g_1, \dots, g_N) = f(g_1(-X), \dots, g_N). \quad (5.2)$$

L'action du groupe de jauge agit sur ces opérateurs différentiels par conjugaison au niveau des vertex :

$$\partial_X^{R_e} \rightarrow \partial_{k_{s(e)} X k_{s(e)}^{-1}}^{R_e}.$$

Nous nous intéressons aux opérateurs différentiels invariants de jauge. L'algèbre de ces opérateurs est générée par les opérateurs Laplaciens  $\Delta_e^{(i)}$  où  $e$  décrit les liens du graphe  $\Gamma$ ,  $i$  est un entier entre 1 et  $r$  le rang du groupe. Pour chaque lien  $e$ , il y a une correspondance un-à-un entre l'ensemble des Laplaciens et l'ensemble des opérateurs Casimir sur l'algèbre de Lie. Par conséquent, l'ensemble de ces Laplaciens forme bien une base complète d'opérateurs commutants. En effet, ils commutent bien entre eux puisque, pour un lien  $e$  donné, deux Casimirs commutent et que les opérateurs différentiels associés à deux liens différents commutent également.

Le but est de définir les réseaux de spin comme la base des vecteurs propres de cet ensemble complet d'opérateurs différentiels invariants de jauge. Pour arriver là, il faut montrer que ces opérateurs sont Hermitiens pour la mesure  $d\mu^{(\Gamma)}$  construite dans le chapitre précédent. Je vais donner la preuve dans le cas des opérateurs Laplaciens  $\Delta_e = \sum_i \partial_{X_i}^{R_e} \partial_{X_i}^{R_e}$  (noté plus simplement  $\Delta_e = \partial^{R_e} \cdot \partial^{R_e}$ ) où  $X_i$  dénote une base orthonormale de l'algèbre de Lie. Le cas général est similaire, mais nécessite des notations plus lourdes.

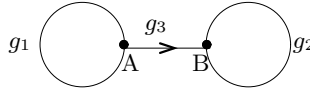
La mesure  $d\mu^{(\Gamma)}$  étant définie sur la fleur réduite correspondant à  $\Gamma$ , il faut suivre la procédure de fixation de jauge définissant les variables "réduites"  $G_1, \dots, G_F$  sur la fleur et exprimer les opérateurs  $\Delta_e$  en fonction des dérivées  $\tilde{\partial}_i^{L,R}$  par rapport à ces nouvelles variables.

Pour commencer, regardons l'exemple suivant : le cas d'une fleur à deux pétales issue soit du graphe  $\Theta$  soit du graphe à lunettes. Fixons de jauge le graphe  $\Theta$  :



Fixant de jauge à partir du point  $A$ , nous avons  $G_1 = g_1 g_3^{-1}$  et  $G_2 = g_2 g_3^{-1}$ . Il est facile de vérifier que  $\partial_1^R = \tilde{\partial}_1^R$ ,  $\partial_2^R = \tilde{\partial}_2^R$  et  $\partial_3^R = \tilde{\partial}^{L_1} + \tilde{\partial}^{L_2}$ ; et par conséquent que  $\Delta_1 = \tilde{L}_1$ ,  $\Delta_2 = \tilde{L}_2$  et  $\Delta_3 = \tilde{\Delta}_1 + \tilde{\Delta}_2 + 2\tilde{\Delta}_{12}$ , avec  $\tilde{\Delta}_{12} = \tilde{\partial}_1^L \cdot \tilde{\partial}_2^L$ .

Dans le cas du graphe à lunettes :



Nous avons  $G_1 = g_1$  et  $G_2 = g_3 g_2 g_3^{-1}$ . Ce qui donne  $\Delta_1 = \tilde{\Delta}_1$ ,  $\Delta_2 = \tilde{\Delta}_2$  (car le Laplacien est invariant sous l'action de  $Ad(G)$ ) et  $\Delta_3 = (\tilde{\partial}_2^R - \tilde{\partial}_2^L)^2$ .

Dans le cas général, pour un lien  $e$  fixé, s'il existe un arbre maximal  $T$  qui ne contient pas  $e$ , alors  $e \notin T$  sera aussi sur la fleur réduite et  $\Delta_e$  sera simplement le Laplacien  $\tilde{\Delta}_e$  avec les dérivées par rapport à la nouvelle variable  $G_e$  sur la fleur.

Ce qui arrive aux liens qui sont dans tous les arbres possibles, tel le lien au milieu du graphe à lunettes, est un peu plus délicat. Considérons un tel lien  $e$  et fixons de jauge à partir de son vertex source  $v = s(e)$ . Alors  $\partial_e^R$  est égale à la somme des  $\tilde{\partial}_f^R$  sur les liens  $f$  dont la boucle correspondante (liant  $v$  au lien  $f$ ) commence par le lien  $e$  et  $\tilde{\partial}_f^L$  pour les liens dont la boucle se termine par le lien  $e$ .

Dans tous les cas, les opérateurs différentiels initiaux  $\Delta_e$  s'écrivent comme une somme d'opérateurs  $\tilde{\Delta}_{ij}^{RR} = \tilde{\partial}_i^R \cdot \tilde{\partial}_j^R$  et  $\tilde{\Delta}_{ij}^{LR} = \tilde{\partial}_i^L \cdot \tilde{\partial}_j^R$  où  $i, j = 1, \dots, g$ . Ces opérateurs sur  $G^h$  sont invariants sous l'action diagonale de  $Ad(G)$ . Cela peut se montrer facilement en partant du fait que l'invariance de jauge d'une fonction  $\phi_\Gamma$  est équivalente à l'équation

$$\left( \sum_{e|s(e)=v} \partial^{R_e} + \sum_{e|t(e)=v} \partial^{L_e} \right) \phi = 0, \quad (5.3)$$

valable en chaque vertex  $v$ . Choisir un arbre (maximal) revient à utiliser ces équations pour exprimer toutes les dérivées sur les liens de l'arbre en fonction des autres dérivées  $\tilde{\partial}_i^{L,R}$ . Cela nous laisse alors avec une unique relation :  $\sum_{i=1}^h (\tilde{\partial}_i^R + \tilde{\partial}_i^L) \phi = 0$ .

Maintenant que nous avons défini les opérateurs Laplaciens et étudié leur structure en détails, nous allons montrer qu'ils sont Hermitiens et nous allons définir les réseaux de spin.

### 5.1.2 Réseaux de Spins comme vecteurs propres et la structure de $\mathcal{H}_\Gamma$

**Théorème 4.** *Les opérateur Laplaciens  $\tilde{\Delta}_{ij}^{RR}$  et  $\tilde{\Delta}_{ij}^{LR}$  sont Hermitiens pour le produit scalaire défini par la mesure  $d\mu_h$ ,  $h \geq 2$ .*

Je vais donner la démonstration pour  $\tilde{\Delta}_i \equiv \tilde{\Delta}_{ii}^{RR}$ . La preuve pour les opérateurs  $LR$  se fait exactement de la même manière.

Considérons

$$\int_{A_h} (\varphi \tilde{\Delta}_i \psi - \psi \tilde{\Delta}_i \varphi) d\mu_h \quad (5.4)$$

où  $\varphi, \psi$  sont des fonctions invariantes de jauge. Introduisons une fonction  $\phi$ , pour fixer la jauge, telle que

$$\int_G {}^g \phi dg = 1, \quad (5.5)$$

où  ${}^g \phi(g_1, \dots, g_N) = \phi(gg_1g^{-1}, \dots, gg_Ng^{-1})$ . L'intégrale (5.4) se ré-écrit :

$$\int_{G^h} (\varphi \tilde{\Delta}_i \psi - \psi \tilde{\Delta}_i \varphi) \phi dg_1 \cdots dg_h. \quad (5.6)$$

Grâce à l'invariance de la mesure de Haar sous multiplication à gauche, nous pouvons intégrer par parties les dérivées invariantes à droite. Enlevant les symboles  $\tilde{\phantom{x}}$  pour alléger les notations, on obtient :

$$\int_{A_h} (\varphi \Delta \psi - \psi \Delta \varphi) d\mu = \int_{G^h} \psi \partial_{X_j}^{R_i} \varphi \partial_{X_j}^{R_i} \phi - \varphi \partial_{X_j}^{R_i} \psi \partial_{X_j}^{R_i} \phi dg_1 \cdots dg_h. \quad (5.7)$$

Nous pouvons factoriser le premier terme :

$$\int_{G^h} dg_1 \cdots dg_h \psi \partial_{X_j}^{R_i} \varphi \partial_{X_j}^{R_i} \phi = \int_{A_h} \psi \left[ \int_G dg {}^g \partial_{X_i}^{R_k} \varphi {}^g \partial_{X_i}^{R_l} \phi \right] d\mu_h, \quad (5.8)$$

où nous avons utilisé la définition de la mesure invariante (4) et  ${}^g \psi = \psi$ . Ensuite, utilisant la propriété des dérivées

$${}^g \partial_{X_i} \phi = \partial_{Ad(g)^{-1} \cdot X_i} {}^g \phi, \quad (5.9)$$

et l'invariance de l'opérateur différentiel quadratique

$$\sum_i \partial_{Ad(g) \cdot X_i}^R \otimes \partial_{Ad(g) \cdot X_i}^R = \sum_i \partial_{X_i}^R \otimes \partial_{X_i}^R \quad (5.10)$$

on obtient :

$$\int_{A_h} \psi \left[ \int_G dg \partial_{X_i} {}^g \varphi \partial_{X_i} {}^g \phi dg \right] d\mu_h. \quad (5.11)$$

Finalement, puisque  ${}^g \varphi = \varphi$  ( $\varphi$  étant invariante de jauge) et que la condition (5.5) implique  $\partial_{X_i} \int {}^g \phi dg = 0$ , nous pouvons conclure que l'intégrale (5.4) est nulle.

**Définition 5.** Les opérateurs  $\Delta_e$  formant un ensemble d'opérateurs Hermitiens commutants deux à deux sur l'espace d'Hilbert  $L^2(d\mu^{(\Gamma)})$ , nous pouvons les diagonaliser dans une base commune, et leur vecteurs propres forment une base orthonormale de  $L^2(d\mu^{(\Gamma)})$ . On appelle ces vecteurs propres les **réseaux de spin** ou *spin networks*.

Dans le cas (très probable) où une des valeurs propres fait partie d'un spectre continu, ces vecteurs propres doivent être considérés comme des vecteurs généralisés  $\delta$ -normalisable, donc en tant que distributions invariantes et non des fonctions invariantes.

Nous obtenons ainsi une base de fonctions/distributions labellées par les valeurs propres des opérateurs Laplaciens -les Casimirs du groupe- sur chaque lien du graphe. Autrement dit, si on appelle  $d\rho(\lambda)$  la mesure spectrale de l'opérateur Laplacien, on peut écrire :

$$H_\Gamma \equiv L^2(d\mu^{(\Gamma)}) = \oplus_e \int d\rho(\lambda_e) \otimes_v I_v(\lambda), \quad (5.12)$$

où  $I_v(\lambda)$  correspond à la dégénérescence des espaces propres labellés par la famille de valeurs propres  $\{\lambda_e, e \in \Gamma\}$ .  $I_v(\lambda)$  est habituellement associé à l'espace des entrelaceurs (vecteurs invariants) entre les représentations portées par les liens se rencontrant à un vertex  $v$ .

On fait correspondre habituellement une représentation de  $G$  à un ensemble de valeurs propres des Laplaciens correspondant à un lien donné. Ainsi on obtient un vecteur décrit comme un graphe dont les liens portent chacun une représentation de  $G$ . Cela fonctionne sans problème par exemple pour  $G = SU(2)$ , car il y a alors une bijection entre les valeurs possibles du Casimir et les représentations unitaires irréductibles (de dimension finie). Dans le cas général, cela n'est plus aussi certain et plusieurs représentations peuvent avoir les mêmes valeurs des Casimir. Par exemple, dans le cas de  $SL(2, \mathbb{R})$ , la série des représentations discrètes donne deux représentations pour une même valeur du Casimir. Par contre, dans le cas de  $SL(2, \mathbb{C})$ , les représentations unitaires sont uniquement déterminées par les valeurs des 2 Casimirs.

Maintenant, pour regarder de plus près la structure de  $I_v(\lambda)$  et pourquoi la dégénérescence (mis à part celle associée à la correspondance "valeurs propres des Casimirs  $\leftrightarrow$  représentations") est associée aux vertex du graphe, il convient de déplier les vertex du graphe  $\Gamma$ . Par cela, j'entends remplacer chaque vertex par un arbre (minimal) trivalent. Pour un vertex donné  $v$ , cela est possible en regroupant les liens se rencontrant en  $v$  deux par deux, en créant un vertex trivalent pour chacune de ces paires, puis en répétant le processus jusqu'à un vertex trivalent final. Cette procédure permet de définir un *graphe déplié*  $\Gamma_0$ . Puisque les fleurs correspondants à  $\Gamma$  et  $\Gamma_0$  sont les mêmes, on a  $L^2(d\mu^{(\Gamma)}) = L^2(d\mu^{(\Gamma_0)})$ . On construit alors les réseaux de spin sur  $\Gamma_0$  labellant tous ses liens, donc à la fois les liens originaux de  $\Gamma$  et les liens *internes* aux vertex de  $\Gamma$ . On a ainsi accès à la structure interne des vertex des réseaux de spin et tout le problème est ramené à étudier les vertex trivalents i.e. les entrelaceurs trivalents. Dans le cas de  $G = SU(2)$ , ces entrelaceurs sont uniques (à normalisation près) : ce sont les coefficients de Clebsch-Gordan. Malheureusement, dès que le rang du groupe grandit un peu, l'espace des entrelaceurs peut être de dimension infinie (comme pour  $sl(3, \mathbb{R})$ ).

Au final, cette construction des réseaux de spin pour un groupe de Lie arbitraire reproduit bien la structure attendue des réseaux de spin, similaire au cas  $SU(2)$  qu'il permet d'ailleurs de retrouver entièrement. Cela nous permet donc de comprendre la structure de ces observables (fonctions cylindriques de la connexion) des théories de jauge dans le cas où le groupe de jauge est non-compact. Le raisonnement met également en relief les points délicats qui peuvent se poser lors de l'application de ce formalisme général à des cas particuliers.

## 5.2 L'espace d'Hilbert des réseaux de spins

### 5.2.1 La différence compact $\leftrightarrow$ non-compact

Dans le cas du groupe compact  $SU(2)$ , il est possible de coller tous les espaces d'Hilbert des connexions sur des graphes en un seul espace d'Hilbert décrivant les états quantiques en tant que fonctionnelles sur un espace de connexion généralisée. Ceci est obtenu au travers des méthodes projectives expliquées dans la section 2.1.2, pouvant être généralisées à tous les groupes compacts [30]. Cependant elles ne s'appliquent pas directement au cas des groupes non-compacts, le problème principal étant que les mesures invariantes  $d\mu_\Gamma$  définies sur les graphes ne sont pas compatibles avec la structure de projections/injections définies entre les espaces de connexions discrètes  $A_\Gamma$ .

Néanmoins, on peut toujours construire le grand espace d'Hilbert comme somme de tous les  $\mathcal{H}_\Gamma$ . Il existe une différence de taille entre les groupes compacts et les groupes non-compacts : la représentation triviale ( $j = 0$  dans le cas  $G = SU(2)$ ) n'est pas  $L^2$  et n'intervient pas dans les labels des réseaux de spin pour les groupes non-compacts. Ainsi, si on compare la situation avec le cadre de la construction GNS décrite comme alternative à la construction d'Ashtekar-Lewandowski dans la section 2.1.2, nous avons directement construit les espaces  $\tilde{\mathcal{H}}_\Gamma$ , générés par les réseaux de spin labellés par aucune représentation triviale. De ce point de vue, nous n'avons pas besoin d'injecter les espaces les uns dans les autres et nous n'avons pas besoin de quotienter. Nous pouvons donc construire l'espace d'Hilbert des états quantiques de la connexion en tant que somme directe :

$$\mathcal{H}_{\text{inv}} = \bigoplus_{\Gamma} \mathcal{H}_\Gamma. \quad (5.13)$$

Il reste cependant une ambiguïté de normalisation dans la somme ci-dessus : nous pouvons *a priori* normaliser les espaces  $\mathcal{H}_\Gamma$  indépendamment les uns des autres. Cette liberté dans la normalisation relative des espaces d'Hilbert est due à l'ambiguïté de normalisation de la mesure de Haar. Dans le cas compact, nous pouvons imposer qu'elle soit une mesure de probabilité [52] et la normaliser pour que le groupe ait un volume unité. Cela n'est plus possible dans le cas des groupes non-compacts.

Néanmoins, vue la définition des mesures sur les fleurs, il est naturel d'imposer que la mesure de Haar utilisée partout (par toutes les fleurs, tous les graphes) soit toujours normalisée de la même manière. Plus précisément, si on considère une fonction sur  $G^{(n+1)}/Ad(G)$ , nous pouvons intégrer un de ses arguments en utilisant la mesure de Haar et nous obtenons une fonction sur  $G^n/Ad(G)$ . Il est naturel de demander à ce que les intégrales de ces deux fonctions soient identiques. Cet argument fixe la mesure de Haar à une constante près et si nous la multiplions par un facteur  $\alpha$ , alors toutes les mesures  $d\mu_n$  prendront un facteur  $\alpha^{(n-1)}$ . On peut considérer se fixer un facteur  $\alpha$  comme un choix d'échelle dans notre théorie physique.

Une autre manière de procéder consiste à remarquer que, bien que  $\mathcal{H}_{\text{inv}}$  ne semble pas être un espace  $L^2$ , il ressemble fortement à un espace de Fock. Dans ce cadre, les injections/projections de l'approche d'Ashtekar-Lewandowski seraient remplacées par des opérateurs d'annihilation et de création, supprimant et créant des boucles, qui agiraient comme des isométries entre les différents espaces d'Hilbert  $\mathcal{H}_\Gamma = L^2(G^E/G^V) = L^2(G^{hr}/Ad(G))$  et fixeraient les normalisations relatives. Plus précisément, considérons un graphe limite  $\Gamma_\infty$  d'une suite de graphe  $(\Gamma_i)_{i \in \mathbb{N}}$ ,  $\Gamma_i \in \mathcal{G}$  telle que  $\Gamma_i \prec \Gamma_{i+1}$  (avec inclusion stricte) alors l'espace

$$\mathcal{F}_{\Gamma_\infty} = \bigoplus_i \tilde{\mathcal{H}}_{\Gamma_i}, \quad (5.14)$$

semble exactement être un espace de Fock où l'addition d'une boucle/pétale serait un opérateur de création.

La difficulté de munir  $\mathcal{F}_{\Gamma_\infty}$  d'une structure d'espace de Fock provient de la symétrie de jauge résiduelle non-compacte  $Ad(G)$ . Une fixation de jauge naturelle serait d'effacer cette symétrie résiduelle en considérant les fonctions cylindriques invariantes de jauge à tous les vertex sauf en un vertex particulier  $A$ . Ainsi, en suivant la procédure de fixation de jauge décrite dans le chapitre 3, l'espace des connexions à support sur le graphe serait simplement  $G^{\otimes hr}$  et l'espace d'Hilbert correspondant  $L^2(G^{\otimes hr}, dg^{\otimes hr})$  (la mesure est donnée simplement par la mesure de Haar sur  $G$ ). Il est alors facile d'empiler ces espaces pour former un espace de Fock  $\mathcal{F}$ , en sommant sur les graphes. Les états (quantiques) de la connexion seraient, dans ce cadre, des ensembles de boucles de point de départ  $A$  (des fleurs autour de  $A$ ). Les opérateurs de création et d'annihilation seront les opérateurs usuels permettant de passer de  $L^2(G^N)$  à  $L^2(G^{N \pm 1})$ , créant ou détruisant une boucle partant de  $A$ . De ce point de vue,  $\mathcal{F}$  représente les fluctuations de la connexion autour du point  $A$ . Mais alors comment restaurer l'invariance de jauge au point  $A$ ? L'imposer directement sur  $\mathcal{F}$  cause des divergences. A la place, nous pourrions nous placer au point  $A$ , ignorer l'invariance de jauge et imposer que les états considérés se transforment selon une représentation fixée de  $G$ . Cela reviendrait à introduire une particule en  $A$  ou de manière équivalente un **observateur**. Mais ceci est une question d'interprétation physique ne permettant pas de résoudre le problème mathématique de construire un espace de connexion généralisée pour un groupe non-compact.

## 5.2.2 Un espace de Fock : théorie de jauge sur $G$

Nous voulons coller les espaces  $L^2(G^n/Ad(G))$  ensemble. Une analogie très utile est d'interpréter ces espaces comme espaces d'états de particules sur un groupe  $G$  [53]. En fait,  $L^2(G^n, (dg)^n)$  -  $dg$  est la mesure de Haar sur  $G$  - est l'espace correspondant à une particule libre vivant sur le groupe  $G^n$  ou, de manière équivalente,  $n$  particules libres sur le groupe  $G$ . Son action est fonction de la trajectoire  $g(t) : \mathbb{R} \rightarrow G^n$  :

$$S_{\text{free}} = \frac{1}{2} \int dt \text{Tr} ((g^{-1} \partial_t g)^2) \quad (5.15)$$

Cette action est invariante sous multiplication (constante) à droite et à gauche dans  $G^n$ . On peut procéder à l'analyse Hamiltonienne du système. L'espace des phases est le fibré cotangent du groupe  $G$ . L'équation du mouvement est :

$$\partial_t (g^{-1} \partial_t g) = 0 \quad (5.16)$$

On choisit  $\pi^{(l)} = g^{-1}\partial_t g$  comme moment conjugué (à la place du moment canonique). C'est la charge de Noether associée à l'invariance à gauche. Les solutions sont alors paramétrées comme

$$g_{g_0, \pi^{(l)}}(t) = g_0 \exp(\pi^{(l)}t). \quad (5.17)$$

Ce sont les géodésiques sur le groupe. On peut également choisir le moment à droite défini par  $\pi^{(r)} = -\partial_t g g^{-1}$ . Alors les trajectoires solutions s'écrivent

$$g_{g_0, \pi^{(r)}}(t) = \exp(-\pi^{(r)}t)g_0. \quad (5.18)$$

Le crochet de Poisson est :

$$\begin{aligned} \{g, \hat{g}\} &= 0 \\ \{g, \pi_X^{(l)}\} &= Xg \\ \{\pi_X^{(l)}, \pi_Y^{(l)}\} &= \pi_{[X, Y]}^{(l)} \end{aligned} \quad (5.19)$$

où on note  $g, \hat{g}$  des éléments du groupe,  $X, Y$  sont dans l'algèbre de Lie et  $\pi_X^{(l)} = \text{Tr}(X\pi^{(l)})$  est la composante de  $\pi^{(l)}$  dans la direction  $X$ .

On peut alors créer l'espace de Fock des états de particules libres :

$$\mathcal{F} = \bigoplus_{n \geq 0} L^2(G^n), \quad (5.20)$$

qui prend en compte les états à différents nombres de particules. On peut écrire explicitement les opérateurs de création  $a_\varphi^\dagger$  et d'annihilation  $a_\varphi$ , ajoutant ou retirant une particule à un état (symétrisé) à  $n$  particules, noté  $\psi$  :

$$(a_\varphi \psi)(g_1, g_2, \dots, g_{n-1}) = \int dg_n \psi(g_1, g_2, \dots, g_n) \bar{\varphi}(g_n) \quad (5.21)$$

$$(a_\varphi^\dagger \psi)(g_1, g_2, \dots, g_{n+1}) = \sum_i \psi(g_1, \dots, g_{i-1}, g_{i+1}, \dots, g_n) \varphi(g_i). \quad (5.22)$$

Il est aussi possible d'écrire une théorie de champs libre correspondant à cet espace de Fock. Pour cela, définissons les opérateurs champs  $\Phi(g) = a_{\delta_g}$  et  $\Phi^\dagger(g) = a_{\delta_g}^\dagger$ , où  $\delta_g$  est la fonction delta de Dirac au point  $g$ . Alors l'opérateur impulsion totale, comme agissant sur l'espace d'Hilbert à  $N$  particules, s'exprime en fonction des opérateurs champs :  $\sum_{i=1}^N \pi_X^{i(l/r)} = \int_G dg \Phi^\dagger(g) (-i \nabla_X^{(l/r)}) \Phi(g)$ , où  $\nabla_X^{(l/r)}$  est l'opérateur dérivée invariante à gauche/droite dans la direction  $X$ . De la même manière, on peut écrire l'opérateur Hamiltonien :

$$H = - \int_G dg \Phi^\dagger(g) \Delta \Phi(g). \quad (5.23)$$

L'action gouvernant la quantification et la dynamique du champ s'écrit en fonction d'un champ  $\Phi(t, g)$  (dans l'"espace-temps" formé par  $\mathbb{R} \times G$ ) :

$$S[\Phi(t, g)] = \int_{\mathbb{R} \times G} dt dg \Phi^\dagger(g) (i \frac{\partial}{\partial t} + \Delta) \Phi(g). \quad (5.24)$$

Il s'agit maintenant de suivre les mêmes étapes dans le cas de particules jaugées, pour lesquelles on impose une symétrie globale sous  $Ad(G)$ . Ceci peut être pris en compte en introduisant un champs de jauge  $A$  à valeur dans l'algèbre de Lie  $\mathcal{G}$ . Alors l'action devient<sup>1</sup> :

$$\begin{aligned} S_{\text{gauged}}[g(t) \in G^n, A] &= -\frac{1}{2} \int dt \text{Tr} ((g^{-1} \partial_t g)^2) \\ &+ \int dt \text{Tr} ((g \partial_t g^{-1}) A + A (g^{-1} \partial_t g) + g A g^{-1} A - A^2) \end{aligned} \quad (5.25)$$



Cette action est invariante sous des transformations de jauge  $Ad(G)$  définies par des fonctions arbitraires  $h(t)$  à valeurs dans  $G$  :

$$\begin{cases} g & \rightarrow & hgh^{-1} \\ A & \rightarrow & hAh^{-1} + h\partial_t h^{-1} \end{cases} \quad (5.26)$$

L'espace des états de notre système est alors  $L^2(G^n/Ad(G))$ . Dans le cas de ces particules jaugées, nous aimerions écrire, comme dans le cas des particules libres, des opérateurs de création et d'annihilation, et construire ainsi une théorie de champs correspondante. Le problème réside dans le changement de la symétrie : la symétrie  $L^2(G^n/Ad(G))$  est une symétrie globale  $Ad(G)$  du système à  $n$  particules et il n'est pas aisé de trouver un équivalent de cette invariance au niveau des espaces de Fock. Une analogie possible serait d'étudier un système de  $N$  particules dans l'espace-temps invariant sous transformation globale de Poincaré. Coller ces espaces à  $N$  particules n'est pas chose facile.

La méthode la plus simple pour écrire des opérateurs de création et d'annihilation consisterait à fixer de jauge. Ainsi, commençant par un graphe  $\Gamma$  appliquant la procédure de fixation de jauge, nous avons montré que l'espace  $L^2(A_\Gamma)$  est isomorphe à  $L^2(G^{h_\Gamma-1})$ . Par conséquent, l'espace associé à un graphe limite serait l'espace de Fock somme/limite de ces  $L^2(G^{h_\Gamma-1})$ . Dans ce contexte, les opérateurs de création et d'annihilation reviendraient bien à ajouter et enlever une boucle au graphe. Il faudrait sans doute pousser ces idées plus loin pour comprendre la structure de ces opérateurs de champs. Notons tout de même que l'action pour la théorie de champs de ces particules jaugées s'obtient en rajoutant le terme

$$\int dt dg A(t)(\nabla^{(l)} - \nabla^{(r)})\Phi(g, t)$$

à l'action (5.24) où  $A(t)$  est un champ de jauge.

### 5.2.3 Une Représentation de l'algèbre des holonomies ?

Pour conclure la discussion sur l'espace d'Hilbert des fonctionnelles cylindriques de la connexion dans le cas de groupes non-compacts, il faut mentionner que, dans l'approche suivie ici, l'accent a été mis sur les opérateurs dérivées, qui fournissent une représentation des opérateurs formés à partir de la triade/tétrade dans le cadre de la *Loop Quantum Gravity* (voir partie I pour plus de détails). Il faut également discuter si l'espace d'Hilbert construit  $\mathcal{H}_{\text{inv}} = \bigoplus_{\Gamma \in \mathcal{G}} \mathcal{H}_\Gamma$  porte aussi une représentation des observables de la connexion, tel l'algèbre des fonctionnelles cylindriques -ou réseaux de spin- elles-mêmes en tant qu'opérateurs Hermitiens (pour les observables réelles).

A priori on s'attend à ce qu'elles soient représentées par des opérateurs multiplication sur l'espace d'Hilbert des réseaux de spin. Mais, comme d'habitude, dans le cas des groupes non-compacts, nous sommes confrontés à des problèmes de divergence. En effet, dû au caractère distributionnel des fonctionnelles réseaux de spins dans le cas de groupes non-compacts, il est délicat de multiplier deux paquets d'onde ou fonctionnelles cylindriques  $L^2$  dans la base des réseaux de spin. Une autre approche est décrit dans [54] pour le cas de  $SL(2, \mathbb{C})$  (et les résultats s'appliquent également au cas de  $SL(2, \mathbb{R})$ ). Les réseaux de spin  $SL(2, \mathbb{C})$  sont labellés par des représentations unitaires de  $SL(2, \mathbb{C})$ , qui sont de dimension infinie et labellés par un paramètre (valeur propre du Laplacien) continu, que l'on note  $\rho$ . A la place de représenter ces quantités, on peut s'intéresser à représenter des réseaux de spin labellés par les représentations irréductibles de dimension finie. Ils sont labellés par des paramètres discrets, ici notés  $n$ , et ne sont bien sûr plus des fonctionnelles cylindriques  $L^2$ . Néanmoins, on peut les faire agir sur  $\mathcal{H}_{\text{inv}}$ . Faire agir un réseau de spin  $n$  sur un paquet d'onde  $f(\rho)$  holomorphe (cela correspond plus ou moins à une fonctionnelle cylindrique à support compact sur l'espace des orbites) revient à shifter  $f$  à  $f(\rho + in)$ . Il est alors possible de vérifier que cet opérateur est bien défini et est Hermitien. Il serait bien de pouvoir étendre cette approche au cas d'un groupe  $G$  générique et montrer que l'espace invariant de jauge  $\mathcal{H}_{\text{inv}}$  porte bien une représentation des observables réelles de la connexion (réseaux de spin) sous la forme d'opérateurs Hermitiens.

Finalement, nous avons décrit la structure de l'espace des fonctionnelles cylindriques de la connexion, pour un groupe de Lie  $G$  "quelconque". Cette espace correspondant aux observables d'une théorie de jauge, l'espace

---

<sup>1</sup>Nous avons modifié légèrement l'action proposé dans [53].

des fonctionnelles  $L^2$  (pour la mesure invariante construite ici) forment l'espace des fonctions d'onde ou états quantiques de la théorie. Et nous avons exhibé la base des réseaux de spin, qui diagonalise les opérateurs Laplace/Casimir du groupe  $G$ . Maintenant, dans le dernier chapitre de cette partie, je vais illustrer le formalisme général développé jusqu'ici dans les cas particuliers les plus simples, mais également les plus utiles pour la quantification de la relativité générale.

# Chapitre 6

## Des exemples utiles

Le sujet de ce chapitre est l'application des techniques développées précédemment aux théories de la gravité. Par conséquent, je vais développer les exemples des fonctions cylindriques pour les groupes  $SL(2, \mathbb{C})$ ,  $SL(2, \mathbb{R})$  et  $SU(2)$ . En effet,  $SL(2, \mathbb{C})$  correspond au groupe de Lorentz en  $3 + 1$  dimensions,  $SL(2, \mathbb{R})$  est le groupe de Lorentz pour la gravité en  $2 + 1$  dimensions et  $SU(2)$  est à la fois le groupe de jauge de la *Loop Quantum Gravity* (en  $3 + 1$  dimensions) et le groupe de symétrie pour la gravité Euclidienne en 3 dimensions.

La méthode est de dériver tout d'abord les résultats dans le cadre de  $SL(2, \mathbb{C})$ , dont la structure est relativement simple (un unique sous-groupe de Cartan), puis de dériver les cas de  $SU(2)$  (pour vérifier que l'on retrouve bien les résultats usuels) et de  $SL(2, \mathbb{R})$  (qui est un peu plus complexe à cause de ses deux sous-groupes de Cartan). Je décrirai le cas à une boucle, qui revient en fait à étudier les caractères des représentations des groupes, et le cas de la fleur à deux pétales, puisqu'il est à la base de la construction pour toutes les fleurs.

### 6.1 La Boucle

Le cas à une boucle revient à étudier l'espace  $G/Ad(G)$ , qui est singulièrement différent des autres espaces  $G^h/Ad(G) \sim G^{h-1}$  pour  $h \geq 2$ . Il est néanmoins très intéressant puisque c'est l'espace des fonctions cylindriques invariantes de jauge le plus simple et que nous sommes supposés retrouver les caractères des représentations unitaires comme base de l'espace  $L^2(G/Ad(G))$ .

#### 6.1.1 Les Caractères de $SL(2, \mathbb{C})$

Considérons le cas du groupe  $SL(2, \mathbb{C})$ . Il s'agit de décrire le quotient  $(SL(2, \mathbb{C}))/Ad(SL(2, \mathbb{C}))$  tel que défini par la géométrie algébrique dans la sous-section 4.1.2.

Nous noterons  $g = \begin{pmatrix} a & b \\ c & d \end{pmatrix} \in SL(2, \mathbb{C})$ . L'algèbre  $\mathbb{C}[SL(2, \mathbb{C})]^{SL(2, \mathbb{C})}$  des polynômes invariants sous l'action adjointe est générée par

$$X(g) = \frac{1}{2}tr(g),$$

la trace étant prise dans la représentation fondamentale i.e.  $tr(g) = a + d$ . En effet, les polynômes invariants sont des combinaisons linéaires des  $tr(g^n)$ . De plus  $tr(g^n)$  s'exprime comme un polynôme en  $X$  grâce à la relation  $g^2 - tr(g)g + 1 = 0$ . Plus précisément  $tr(g^n) = T_n(X)$  où  $T_n$  sont les polynômes de Chebichev du premier type. Par conséquent, le spectre de l'algèbre affine des polynômes invariants est simplement  $\mathbb{C}$  et le morphisme vers le quotient est la trace.

De plus  $X^{-1}(x), x \neq \pm 1$  est exactement une orbite d'un élément (strictement) régulier. Et

$$X^{-1}(\pm 1) = \{\pm Id\} \cup \left\{ \pm \begin{pmatrix} 1 & z \\ 0 & 1 \end{pmatrix} \mid z \in \mathbb{C} \right\} \cup \left\{ \pm \begin{pmatrix} 1 & 0 \\ z & 1 \end{pmatrix} \mid z \in \mathbb{C} \right\}$$

contient plusieurs orbites, mais seules celles de plus ou moins l'identité  $\pm Id$  sont fermées. Notant  $G_1 = \{g \mid X(g) \neq \pm 1\}$ , on peut donc considérer  $SL(2, \mathbb{C})/Ad(SL(2, \mathbb{C}))$  comme le quotient géométrique de  $G_1 \cup \pm Id$  par  $Ad(G)$ .

La mesure  $Ad(G)$ -invariante (la mesure de Weyl) est induite par la mesure de Haar sur  $SL(2, \mathbb{C})$  et s'écrit :

$$\mu(f) = \int_{\mathbb{C}} |X^2 - 1| f(X) dX \quad (6.1)$$

où l'intégration se fait sur le plan complexe privé de l'intervalle réel  $[-1, +1]$  avec la mesure de Lebesgue habituelle sur  $\mathbb{C}$ . Plus explicitement,  $SL(2, \mathbb{C})$  a un unique sous-groupe de Cartan  $H$  consistant en l'ensemble des matrices diagonales  $\{diag(\lambda, \lambda^{-1}), \lambda \in \mathbb{C}^*\}$ . Le groupe de Weyl est  $Z_2$  et  $diag(\lambda, \lambda^{-1})$  est conjugué à  $diag(\lambda^{-1}, \lambda)$ . La formula d'intégration de Weyl s'écrit :

$$\int_{SL(2, \mathbb{C})} f(g) dg = \int_H dh \left[ \int_{SL(2, \mathbb{C})/H} f(xhx^{-1}) dx \right] |\Delta(h)|^2. \quad (6.2)$$

La mesure invariante est obtenue en enlevant l'intégration redondante sur  $SL(2, \mathbb{C})/H$  et en intégrant seulement sur  $H$ . Alors on retrouve la mesure (6.1).

La série principale de représentations unitaires de  $SL(2, \mathbb{C})$  est une famille de représentations unitaires irréductibles de  $SL(2, \mathbb{C})$  indexés par des couples  $(j, \rho)$  avec  $j \in \mathbb{Z}/2$  et  $\rho \in \mathbb{R}$ . Elles sont réalisées dans  $L^2(\mathbb{C})$  et l'action  $R_{j, \rho}$  de  $SL(2, \mathbb{C})$  est :

$$R_{j, \rho} \left( \begin{array}{cc} a & b \\ c & d \end{array} \right) f(z) = |bz + d|^{-2-2i\rho} \left( \frac{bz + d}{|bz + d|} \right)^{2j} f \left( \frac{az + c}{bz + d} \right), \quad (6.3)$$

avec  $z \in \mathbb{C}$  et  $f \in L^2(\mathbb{C})$ . Les caractères sont les traces des éléments du groupe dans ces représentations et sont donnés par :

$$\chi_{j, \rho} \left( \begin{array}{cc} e^{x+i\theta} & 0 \\ 0 & e^{-x-i\theta} \end{array} \right) = \frac{e^{i\rho x} e^{ij\theta} + e^{-i\rho x} e^{-ij\theta}}{|e^{x+i\theta} - e^{-x-i\theta}|^2}. \quad (6.4)$$

En utilisant la mesure (6.1) avec  $X = (e^{x+i\theta} + e^{-x-i\theta})/2$  et effectuant le changement de variables vers  $x, \theta$ , il est rapide de vérifier que

$$\mu(\chi_{j_1, \rho_1} \chi_{j_2, \rho_2}) = \delta_{j_1 j_2} \delta(\rho_1 - \rho_2). \quad (6.5)$$

Donc les caractères de ces représentations forment bien une base<sup>1</sup> orthonormale (en tant que distributions) de l'espace d'Hilbert  $L^2(A_1) = L^2(SL(2, \mathbb{C})//Ad(SL(2, \mathbb{C})))$ .

### 6.1.2 Les Caractères de $SU(2)$

Le cas de  $SU(2)$  est très similaire au cas de  $SL(2, \mathbb{C})$ . C'est une certaine section réelle de  $SL(2, \mathbb{C})$ . Il y a un unique sous-groupe de Cartan  $H$  consistant en les matrices diagonales

$$\left\{ h_\theta = \left( \begin{array}{cc} e^{i\theta} & 0 \\ 0 & e^{-i\theta} \end{array} \right), \theta \in [-\pi, \pi] \right\}.$$

Le groupe de Weyl est  $Z_2$  :  $h_\theta$  est conjugué à son inverse  $h_{-\theta}$ . La mesure invariante par  $SU(2)$  est :

$$\mu_{SU(2)}(f) = \frac{2}{\pi} \int_{-1}^{+1} dX \sqrt{1 - X^2} f(X) = \frac{2}{\pi} \int_0^\pi d\theta \sin^2 \theta f(\theta) \quad (6.6)$$

avec  $X = 1/2tr(g) = \cos \theta$ . C'est-à-dire que l'on restreint le cas  $SL(2, \mathbb{C})$  aux configurations  $X \in [-1, +1]$ .

Une base orthonormale de  $L^2(SU(2)/Ad(SU(2)))$  est fournie par les caractères des représentations irréductibles unitaires (de dimension finie) de  $SU(2)$  :

$$\chi_j(h_\theta) = \frac{\sin(j+1)\theta}{\sin(\theta)} \quad (6.7)$$

où  $j$  décrit  $\mathbb{N}$  (l'entier est le double du *spin* usuel). Effectuant un changement de variables de  $X$  à  $\theta$ , il est facile de vérifier la propriété d'orthonormalité :

$$\mu_{SU(2)}(\chi_j \chi_k) = \delta_{jk}. \quad (6.8)$$

<sup>1</sup>En fait, les représentations  $(j, \rho)$  et  $(-j, -\rho)$  définissant les mêmes caractères, il faut se restreindre par exemple à  $j \geq 0$  pour obtenir une base.

### 6.1.3 Les Caractères de $SL(2, \mathbb{R})$

$SL(2, \mathbb{R})$  est le groupe de Lorentz en  $2 + 1$  dimensions et peut s'obtenir aussi comme une section réelle de  $SL(2, \mathbb{C})$ . Cette fois-ci, l'étude est plus compliquée car nous avons maintenant deux sous-groupes de Cartan. Le premier est compact et correspond aux rotations d'espace (rotations dans le plan) :

$$H_0 = \left\{ k_\theta = \begin{pmatrix} \cos \theta & \sin \theta \\ -\sin \theta & \cos \theta \end{pmatrix}, 0 \leq \theta \leq 2\pi \right\}. \quad (6.9)$$

Le second est non-compact et correspond aux boosts :

$$H_1 = \pm \left\{ a_t = \begin{pmatrix} e^t & 0 \\ 0 & e^{-t} \end{pmatrix}, t \in \mathbb{R} \right\}. \quad (6.10)$$

Le groupe de Weyl  $W(H_0)$  est trivial mais on a toujours  $W(H_1) = Z_2$ ,  $a_t$  étant conjugué à  $a_{-t}$ . Un élément régulier de  $SL(2, \mathbb{R})$  est soit conjugué à  $H_0$  soit à  $H_1$ . Une fonction invariante sous  $Ad(SL(2, \mathbb{R}))$   $f$  sera donc décrite par son action sur les deux sous-groupes de Cartan i.e. par deux fonctions  $f_0(\theta)$  et  $f_1^\pm(t)$ ,  $t \geq 0$ .

Pour construire la mesure, il s'agit de diviser par les volumes de  $G/H_0$  et de  $G/H_1$ . Ces deux volumes sont en effet infinis. Malheureusement, le problème est compliqué par le fait que le rapport de ces deux volumes est lui aussi infini (dû au fait que  $H_0$  est compact alors que  $H_1$  est non-compact). Cela résulte en une ambiguïté et nous obtenons une famille à un paramètre de possibles mesures invariantes sous  $Ad(SL(2, \mathbb{R}))$  :

$$\mu_{SL(2, \mathbb{R})}(f) = \alpha_0 \int_0^{2\pi} d\theta \sin^2 \theta f_0(\theta) + \alpha_1 \int_0^{+\infty} dt \sinh^2 t f_1^\pm(t). \quad (6.11)$$

La propriété formelle que nous voulons que la mesure satisfasse est

$$\mu(Gf) = \int_G dg f(g) \quad (6.12)$$

où  $Gf$  dénote la fonction moyennée par l'action  $Ad(SL(2, \mathbb{R}))$  d'une fonction  $f$  à support compact. Le point subtil est que le centralisateur pour l'action  $Ad(SL(2, \mathbb{R}))$  d'un élément du groupe générique est (conjugué) soit à  $H_0$  soit à  $H_1$  dépendant sur l'élément du groupe en question. Par conséquent, la procédure de moyennage devrait prendre en compte ce fait. Ainsi  $f_0$  (resp.  $f_1$ ) étant à support sur l'espace  $G_{(0)}$  (resp.  $G_{(1)}$ ) des éléments du groupe conjugués à  $H_0$  (resp.  $H_1$ ), nous définissons :

$${}^G f_i(g = xh_i x^{-1}) = \int_{G/H_i} dx_i f(x_i h_i x_i^{-1}). \quad (6.13)$$

Dans ce cas, il est direct de voir, en utilisant (4.2), que (6.12) est satisfait par l'unique choix  $\alpha_i = 1$ .

Mais cela n'est pas tout. En effet, le moyen le plus simple de construire une mesure invariante est de choisir un cutoff  $\lambda$  et des sous-ensembles compacts  $G_\lambda$  de  $G$ , tel que la suite des  $G_\lambda$  soit une suite croissante, "remplissant"  $G$  quand  $\lambda$  tend vers l'infini :

$$\lim_{\lambda \rightarrow \infty} G_\lambda = G.$$

Alors on obtient une mesure invariante dans la limite infinie i.e.

$$\mu(f) = \lim_{\lambda \rightarrow \infty} \frac{\int_{G_\lambda} f(g) dg}{\int_{G_\lambda} dg}, \quad (6.14)$$

pour une fonction  $f$  invariante par  $G$ . Cette mesure limite correspond au choix ( $\alpha_0 = 1, \alpha_1 = 0$ ) : cette mesure donne un poids nul aux fonctions à support sur  $G_{(1)}$ .

La manière de réconcilier ces deux points de vue est d'accepter les différences entre  $H_0$  et  $H_1$ . On définit ainsi deux espaces d'Hilbert différents : l'espace  $\mathcal{H}_0$  des fonctions à support sur  $G_{(0)}$  et défini par la mesure

( $\alpha_0 = 1, \alpha_1 = 0$ ) et l'espace  $\mathcal{H}_1$  des fonctions à support sur  $G_{(1)}$  et défini par la mesure ( $\alpha_0 = 0, \alpha_1 = 1$ ). Ceci prend en compte le fait que l'espace quotient par  $Ad(SL(2, \mathbb{R}))$  n'est pas connexe avec des volumes de centraliseurs incommensurable. En pratique, cela signifie que les deux secteurs ne peuvent pas communiquer i.e. qu'il n'existe pas d'opérateurs physiques reliant les états physiques des deux secteurs. Ceci a été montré rigoureusement par Gomberoff et Marolf dans [55] dans un contexte similaire en utilisant le vocabulaire de *group averaging* et de *rigging maps*.

$SL(2, \mathbb{R})$  a trois séries principales de représentations unitaires : la série continue  $\mathcal{C}_s$  labellée par un nombre réel positif  $s$  et deux séries discrètes (conjuguée complexe l'une de l'autre)  $\mathcal{D}_n^\pm$  toutes deux définies par un entier  $n \geq 1$ . Les caractères de la série continue sont :

$$\chi_s(k_\theta) = 0 \quad (6.15)$$

$$\chi_s(\pm a_t) = \frac{\cos st}{|\sinh t|} \quad (6.16)$$

et les caractères des séries discrètes  $\mathcal{D}_n^\pm$  sont

$$\chi_n^\pm(k_\theta) = \mp \frac{e^{\pm i(n-1)\theta}}{2i \sin \theta} \quad (6.17)$$

$$\chi_n^\pm(a_t) = \frac{e^{-(n-1)|t|}}{2|\sinh t|} \text{ avec un facteur } (-1)^n \text{ pour } -a_t. \quad (6.18)$$

Vue la formule pour les mesures, il est clair que les caractères des séries discrètes (resp. de la série continue) sont orthonormaux dans l'espace d'Hilbert  $\mathcal{H}_0$  (resp.  $\mathcal{H}_1$ ). De plus, tous ces caractères sont des vecteurs propres du Laplacien. En effet, le Laplacien s'écrit :

$$\Delta = \frac{1}{\sin \theta} \frac{\partial^2}{\partial \theta^2} \sin \theta + \frac{1}{4} \text{ sur } H_0 \quad , \quad \Delta = -\frac{1}{\sinh t} \frac{\partial^2}{\partial t^2} \sinh t + \frac{1}{4} \text{ sur } H_1 \text{ pour } t \geq 0. \quad (6.19)$$

Ainsi la valeur propre correspondant à  $\chi_s$  est  $s^2 + 1/4$  et celle correspondant à  $\chi_n^\pm$  est  $m(1 - m)$  où l'on note  $m = n - 1/2$ . De plus, on remarque que, pour une mesure générique (6.11) pour des  $(\alpha_0, \alpha_1)$  arbitraires, les caractères  $\chi_n^\pm$  des séries discrètes ne sont pas orthonormaux, ce qui serait en contradiction avec le fait que la Laplacien est Hermitien. La seule mesure cohérente est alors le choix  $(\alpha_0 = 1, \alpha_1 = 0)$ , qui donne l'espace d'Hilbert  $\mathcal{H}_0$ , qui est donc la seule mesure possible quand on considère les séries discrètes.

En fait, le problème est plus profond et la question est à propos du domaine de définition du Laplacien  $\Delta$ . On étudie son action sur les espaces  $\mathcal{H}_0$  et  $\mathcal{H}_1$  pour tenir compte du moyennage par  $Ad(G)$ , mais le problème des valeurs/vecteurs propres n'est bien défini qu'en se plaçant sur les distributions sur tout le groupe  $G$  (prenant en compte les rotations nulles, qui sont des éléments non-réguliers). L'étude des distributions invariantes sur tout le groupe  $G$  (au lieu de  $G_{(0)} \amalg G_{(1)}$ ) est à la base des travaux, lancés par Harish-Chandra, sur l'analyse harmonique des groupes non-compacts [56]. Ainsi la "queue" des  $\chi_n$  sur  $G_{(1)}$  est due aux conditions à la frontière (régularité sur les rotations nulles) dans le problème aux valeurs propres.

Finalement, le cas de la boucle -le graphe à une pétale- est assez compliqué dû au fait que l'espace  $A_1$  n'est pas connexe, puisque nous avons exclus les rotations nulles du groupe. Pour les fleurs à plus de pétales, la situation sera heureusement plus simple car le centraliseur d'un point générique de  $G^h$  sera  $G$ . Ainsi la question de "recoller" les rotations nulles (éléments non-réguliers) pour le problème aux valeurs propres sera plus facile à étudier, comme nous allons le voir dans le cas de la fleur à deux pétales.

## 6.2 Les fleurs à 2 pétales

L'étude du cas de la fleur à deux pétales est essentielle étant donnée la construction de la mesure décrite dans le chapitre 4. En effet, la mesure de la fleur à deux pétales permet de construire directement la mesure sur toutes les fleurs. Etudier ce cas particulier permet ainsi de comprendre la structure générale des mesures quotients.

### 6.2.1 Le cas $SL(2, \mathbb{C})$

Considérons le groupe  $G = SL(2, \mathbb{C})$ . Nous voulons décrire le quotient  $(SL(2, \mathbb{C}))^2 // Ad(SL(2, \mathbb{C}))$ , comme défini dans la sous-section 4.1.2.

Pour  $(g_1, g_2) \in SL(2, \mathbb{C})^2$ , on définit  $X_1(g_1, g_2) = (1/2)tr(g_1)$ ,  $X_2(g_1, g_2) = (1/2)tr(g_2)$  et  $X_3(g_1, g_2^{-1}) = (1/2)tr(g_1 g_2)$ . Ceci crée un morphisme  $\pi : SL(2, \mathbb{C})^2 \rightarrow \mathbb{C}^3$  invariant sous  $Ad(SL(2, \mathbb{C}))$ . Il a la propriété suivante :

**Proposition 6.**  $\pi$  fournit un isomorphisme entre l'algèbre des polynômes invariants  $\mathbb{C}[SL(2, \mathbb{C})^2]^{SL(2, \mathbb{C})}$  et les polynômes complexes à trois variables  $\mathbb{C}[X_1, X_2, X_3]$ .

Démontrons cette proposition. Notant  $[\cdot]_G$  le commutateur sur le groupe, on définit l'ensemble

$$G_2(SL(2, \mathbb{C})) = \{(g_1, g_2) \in SL(2, \mathbb{C}) \mid tr(g_1)^2 \neq 4 \text{ ou } tr(g_2)^2 \neq 4, \text{ et } tr([g_1, g_2]_G) \neq 2\}.$$

L'image de cet ensemble par  $\pi$  est  $\mathbb{C}^3 \setminus \Delta$ , où on note  $\Delta$  l'ensemble fermé dans  $\mathbb{C}^3$  sur lequel les polynômes  $X_1^2 - 1$  ou  $X_2^2 - 1$ , et  $\Theta(X_1, X_2, X_3) \equiv (X_3 - X_1 X_2)^2 - (X_1^2 - 1)(X_2^2 - 1)$  sont nuls. Ceci découle du fait que  $tr([g_1, g_2]_G) - 2 = 4\Theta(X_1, X_2, X_3)$ . Le point clé est que ceci fournit un isomorphisme entre  $G_2(SL(2, \mathbb{C}))/SL(2, \mathbb{C})$  et  $\mathbb{C}^3 \setminus \Delta$ . Construisons donc explicitement l'application inverse. Pour cela, introduisons les matrices  $s(\vec{X}) = (s_1, s_2)$  :

$$s_1(\vec{X}) = \begin{pmatrix} X_1 + \sqrt{X_1^2 - 1} & 0 \\ 0 & X_1 - \sqrt{X_1^2 - 1} \end{pmatrix}, \quad (6.20)$$

$$s_2(\vec{X}) = \begin{pmatrix} X_2 - \frac{X_1 X_2 - X_3}{\sqrt{X_1^2 - 1}} & 1 \\ -\frac{\Theta(\vec{X})}{X_1^2 - 1} & X_2 + \frac{X_1 X_2 - X_3}{\sqrt{X_1^2 - 1}} \end{pmatrix}. \quad (6.21)$$

Il faut faire attention à la définition de  $s$  car elle fait intervenir une racine carrée. Heureusement, un changement (de signe) dans le choix de la racine carrée peut s'implémenter par une transformation de jauge. Par conséquent  $s$  est une fonction bien définie à valeur dans le quotient  $G_2(SL(2, \mathbb{C}))/SL(2, \mathbb{C})$ . Plus précisément, notons  $\tilde{s}(\vec{X})$  l'application correspondant à une autre détermination de la racine carrée i.e. obtenue à partir de  $s$  en remplaçant  $\sqrt{X_1^2 - 1} \rightarrow -\sqrt{X_1^2 - 1}$ . Alors, on peut vérifier que :

$$\tilde{s}(\vec{X}) = Ad \begin{pmatrix} 0 & i \\ i & 0 \end{pmatrix} \cdot s(\vec{X}). \quad (6.22)$$

Maintenant, il est facile de voir que  $\pi \circ s$  est l'identité sur  $\mathbb{C}^3 \setminus \Delta$ .

Il est également vrai que  $s \circ \pi$  est l'identité sur  $G_2(SL(2, \mathbb{C}))/SL(2, \mathbb{C})$ . En effet, considérons un couple  $(g_1, g_2) \in G_2(SL(2, \mathbb{C}))$ , nous pouvons tout d'abord diagonaliser  $g_1$  puisque c'est un élément régulier. Ensuite, cela ne fixe pas complètement l'action du groupe de jauge puisqu'on peut encore agir par une transformation de jauge diagonale et par une transformation de Weyl (i.e.  $g_1 \rightarrow g_1^{-1}$ ). Une transformation de jauge diagonale  $diag(\lambda, \lambda^{-1})$  agit alors comme  $g_2 = \begin{pmatrix} a & b \\ c & d \end{pmatrix} \rightarrow \begin{pmatrix} a & \lambda^2 b \\ \lambda^{-2} c & d \end{pmatrix}$ . Et puisque  $tr(g_1 g_2 g_1^{-1} g_2^{-1}) - 2 = -(\lambda - \lambda^{-1})^2 bc$ , la condition  $\Theta \neq 0$  se traduit par  $bc \neq 0$ . Ainsi, on peut fixer l'action résiduelle en imposant  $b = 1$ . De cette manière, nous avons effectivement ramener le couple  $(g_1, g_2)$  sous la forme  $(s_1, s_2)$  donnée par les équations (6.20) et (6.21). Par conséquent,  $s \circ \pi$  est bien l'identité.

**Proposition 7.** La mesure invariante  $\mu$  définie dans la définition 1 est simplement la mesure de Lebesgue sur  $\mathbb{C}^3$  traduite par les applications  $X_1, X_2, X_3$ . Plus précisément, soit  $F$  une fonction sur  $\mathbb{C}^3$ ,  $\pi^* F$  est alors une fonction invariante et

$$\int_{(SL(2, \mathbb{C}))^2 // SL(2, \mathbb{C})} \pi^* F(g_1, g_2) d\mu(g_1, g_2) = \int_{\mathbb{C}^3} F(\vec{X}) d^2 X_1 d^2 X_2 d^2 X_3. \quad (6.23)$$

Afin démontrer cette proposition, rappelons la définition de la mesure de Haar sur  $SL(2, \mathbb{C})$  :

$$dg = d^2 a d^2 b d^2 c d^2 d \delta^2(ad - bc - 1) \quad \text{pour} \quad g = \begin{pmatrix} a & b \\ c & d \end{pmatrix}.$$

Notons

$$y = \begin{pmatrix} a & 1 \\ c & d \end{pmatrix}, h = \begin{pmatrix} \lambda & 0 \\ 0 & \lambda^{-1} \end{pmatrix}, g = yhy^{-1}. \quad (6.24)$$

La mesure  $A_2$  est définie par  $d\mu = dg$ . Elle s'écrit donc

$$dg = |\lambda - \lambda^{-1}|^2 d^2(\lambda + \lambda^{-1}) d^2 ad^2 d. \quad (6.25)$$

De plus  $X_1 = \lambda + \lambda^{-1}$ ,  $X_2 = a + d$  et  $X_3 = \lambda a + \lambda^{-1} d$ . D'où, après un petit calcul,  $dg = d^2 X_1 d^2 X_2 d^2 X_3$ .

Regardons maintenant les fonctionelles invariantes

$$\Phi_{\vec{j}, \vec{\rho}}(g_1, g_2) = \chi_{j_1, \rho_1}(g_1) \chi_{j_2, \rho_2}(g_2) \chi_{j_3, \rho_3}(g_1 g_2). \quad (6.26)$$

Un calcul explicite donne alors :

$$\int \Phi_{\vec{j}, \vec{\rho}} d\mu(g_1, g_2) = \prod_{i=1}^3 \delta(\rho_i) \delta_{j_i}. \quad (6.27)$$

### 6.2.2 Déduire $SU(2)$ de $SL(2, \mathbb{C})$

Il est possible de retrouver le cas  $G = SU(2)$  dans le formalisme précédent. Ceci en imposant la contrainte  $\vec{X}(g_1, g_2) \in I_3$  avec

$$I_3 \equiv \left\{ X_i \in ]-1, 1[, \Theta(\vec{X}) = (X_3 - X_1 X_2)^2 - (X_1^2 - 1)(X_2^2 - 1) < 0 \right\}. \quad (6.28)$$

La mesure invariante est alors :

$$\int_{I_3} d\vec{X}. \quad (6.29)$$

En posant  $X = \cos \theta$ , nous pouvons ré-exprimer la contrainte en fonction des angles  $\theta_{1,2,3} \in [0, \pi]$  :

$$\cos(\theta_1 + \theta_2) \leq \cos \theta_3 \leq \cos(\theta_1 - \theta_2). \quad (6.30)$$

On retrouve la contrainte habituelle apparaissant quand on multiplie deux éléments de  $SU(2)$  ou, de manière équivalente, quand on additionne deux vecteurs dans un espace sphérique. En effet, deux éléments  $g_1, g_2$  de  $SU(2) \sim S^3$  déterminent un triangle dans  $S^3$  avec comme vertex 1,  $g_1$  et  $g_2$ . La géométrie invariante/intrinsèque de ce triangle est donnée par les longueurs des trois côtés, qui sont alors  $\theta_1, \theta_2, \theta_3$ . Ecrites dans ces variables, la mesure se lit  $\sin \theta_1 \sin \theta_2 \sin \theta_3 d\theta_1 d\theta_2 d\theta_3$  et le domaine d'intégration est

$$\left| \begin{array}{l} \theta_1 + \theta_2 \leq \theta_3 \\ \theta_1 + \theta_2 + \theta_3 \leq 2\pi. \end{array} \right. \quad \text{plus permutations cycliques.} \quad (6.31)$$

Nous pouvons également décrire la géométrie du triangle en fonction de deux de ses côtés : leur longueurs  $\theta_1, \theta_2$  et l'angle  $\theta_3$  qu'ils forment. Cet angle est déterminé par les longueurs des trois côtés par la formule  $\cos \theta_3 = \cos \theta_1 \cos \theta_2 - \sin \theta_1 \sin \theta_2 \cos \tilde{\theta}_3$ . Dans ces nouvelles variables géométriques, la contrainte (6.28) s'écrit  $\Theta = -\sin^2 \theta_1 \sin^2 \theta_2 \sin^2 \tilde{\theta}_3 \neq 0$ , ce qui signifie simplement que nous excluons les triangles dégénérés. La mesure est alors très simplement  $\sin^2 \theta_1 \sin^2 \theta_2 d\theta_1 d\theta_2 \sin \tilde{\theta}_3 d\tilde{\theta}_3$ . Ce qui nous permet de vérifier facilement que

$$\int_{I_3} \chi_{j_1}(X_1) \chi_{j_2}(X_2) \chi_{j_3}(X_3) d\vec{X} = \delta_{j_1, j_2} \delta_{j_2, j_3} \frac{1}{d_{j_3}} \quad (6.32)$$

comme attendu !



### 6.2.3 $SL(2, \mathbb{R})$ : les triangles de $AdS_3$

Dans le cas de  $SL(2, \mathbb{R})$ , la section de  $SL(2, \mathbb{C})$  considérée est donnée par la contrainte  $\vec{X}(g_1, g_2) \in J_3$  avec

$$J_3 \equiv \left\{ X_i \in \mathbb{R}, \Theta(\vec{X}) \neq 0, (X_1^2 \neq 1 \text{ or } X_2^2 \neq 1) \right\} \text{ and } \vec{X} \neq I_3 \Big\}. \quad (6.33)$$

La mesure invariante est alors :

$$\int_{J_3} d\vec{X}. \quad (6.34)$$

On note que  $J_3$  correspond à une section réelle de  $\mathbb{C}^3$ , qui est complémentaire à  $I_3$  décrivant  $SU(2)$ . Et similairement au cas  $SU(2)$ , il est possible de donner une interprétation géométrique à l'espace des configurations  $J_3$  et à la condition de non-dégénérescence. Cela permettra de comprendre d'une manière intuitive les singularités de l'espace quotient.

Il est bien connu que  $SL(2, \mathbb{R})$  est isomorphe à l'espace Anti-de-Sitter  $AdS_3$  en 3 dimensions, qui peut être décrit comme une hyperboloïde dans l'espace plat à 4 dimensions  $AdS_3 = \{-(X_0)^2 + (X_1)^2 + (X_2)^2 - (X_3)^2 = -1\}$ . Explicitement, cet isomorphisme se lit

$$g(X) = \begin{pmatrix} X_0 + X_1 & X_2 + X_3 \\ X_2 - X_3 & X_0 - X_1 \end{pmatrix}. \quad (6.35)$$

$AdS_3$  est un espace Lorentzien et son groupe d'isométrie est  $SO(2, 2)$ . Ainsi, l'espace des couples d'éléments  $(g_1, g_2)$  de  $SL(2, \mathbb{R})$  correspond à l'espace des triangles géodésiques dans  $AdS_3$  dont l'un des vertex est fixé à l'identité. L'action adjointe de  $SL(2, \mathbb{R})$  sur  $(g_1, g_2)$  se traduit alors par l'action du sous-groupe de  $SO(2, 2)$  qui fixe l'identité, c'est-à-dire par l'action du groupe de Lorentz  $SO(2, 1)$  qui tourne les triangles. Par conséquent, l'espace des orbites est l'espace qui décrit la géométrie intrinsèque des triangles dans Anti-de-Sitter.

Les triangles sont de 4 types : ils peuvent être de genre espace, de genre temps, de genre nul ou dégénéré (dans le cas où les trois vertex du triangle sont sur une même géodésique), selon qu'ils sont dans un plan de genre espace, temps ou nul. Les côtés des triangles peuvent eux-aussi être de 4 types, le cas dégénéré correspondant au cas où les deux vertex du côté coïncident. Contrairement au cas  $G = SU(2)$ , la géométrie invariante n'est pas entièrement déterminée par la longueur des côtés (le carré de la longueur en fait) puisque, par exemple, la longueur d'un côté est nulle à la fois pour un côté de genre nul ou un côté dégénéré.

Néanmoins si nous nous restreignons à l'espace des triangles satisfaisant  $\Theta \neq 0$ , alors la géométrie du triangle est déterminée de manière unique par la longueur de ces côtés. Plus précisément :

**Proposition 8.**  $\Theta(g_1, g_2) = 0$  équivaut à demander que le triangle  $AdS(1, g_1, g_2)$  est dégénéré ou de genre nul. De plus  $\Theta(g_1, g_2) < 0$  (resp.  $\Theta(g_1, g_2) > 0$ ) ssi le triangle  $AdS(1, g_1, g_2)$  est de genre espace (resp. temps).

La démonstration de cette proposition nécessite un peu de géométrie dans l'espace  $AdS$  et le lecteur intéressé peut trouver la preuve dans [49].

Cette proposition nous dit que l'espace  $J_3$  est l'espace des triangles de genre non-nul et non-dégénérés. Cet espace est clairement non-connexe. Ses deux parties connexes correspondent aux régions pour lesquelles la normale au triangle est de genre temps ou de genre espace<sup>2</sup>. Ainsi, similairement, au cas de la boucle, la mesure (6.34) permet de définir le produit scalaire de deux espaces d'Hilbert différents, un pour les fonctions à support sur les triangles de genre espace et un pour les fonctions à support sur les triangles de genre temps. Cependant, la situation est essentiellement différente du cas à une pétale. En effet, dans le cas à une boucle, l'espace quotient était non-connexe et le centralisateur était fondamentalement différent dans les deux parties connexes. A présent, dans le cas à deux boucles, le centralisateur (le groupe laissant invariant un triangle donné) est trivial dans les deux secteurs. Cela implique qu'il n'existe aucune règle de supersélection, qui interdit les opérateurs invariants envoyant un secteur sur l'autre. Et on évite les problèmes du cas à une boucle, comme décrit dans la section précédente et dans [55].

<sup>2</sup>Il n'y a pas des distinction entre passé et futur dans  $AdS_3$  puisque cet espace est périodique dans le temps. En particulier, une géodésique de genre temps retraversera la surface normale initiale. On ne distingue donc pas les normales de genre temps orientées vers le passé de celles orientées vers le futur.

En fait, il est possible d'étendre l'espace  $J_3$  à l'espace  $\tilde{J}_3$  de tous les triangles non-dégénérés (incluant les triangles de genre nul), le centralisateur d'un triangle de  $\tilde{J}_3$  étant encore trivial. Par conséquent, on peut étendre la définition de la mesure à  $\tilde{J}_3$  qui est **connexe**, et par conséquent il existe une **unique mesure invariante** sur cet espace! Plus techniquement, si  $\phi(g_1, g_2)$  dénote une fonction à support compact sur  $\tilde{J}_3$  alors  ${}^G\phi(g_1, g_2) = \int \phi(gg_1g^{-1}, gg_2g^{-1})dg$  est encore bien défini pour tout  $(g_1, g_2) \in \tilde{J}_3$ . Cela permet d'étendre directement les distributions invariantes sur  $J_3$  (obtenu par moyennage par  $Ad(SL(2, \mathbb{R}))$ ) à des distributions invariantes sur  $\tilde{J}_3$ . Les fonctionnelles réseaux de spin seront définies en tant que telles et la structure de l'espace d'Hilbert est fixé de manière unique. Ce résultat se généralise à tous les espaces correspondant aux fleurs avec plus de 2 pétales, étant donné que la mesure est définie directement à partir de la mesure du cas à deux pétales. Ainsi, seul le cas d'une simple boucle est singulier.

Troisième partie

Invariance de Lorentz en  
Quantification Canonique



Dans cette partie, je vais décrire les formalismes de *Loop Gravity* en  $2 + 1$  dimensions et  $3 + 1$  dimensions utilisant le groupe de Lorentz, respectivement  $SL(2, \mathbb{R})$  et  $SL(2, \mathbb{C})$ .

La gravité  $2 + 1$  est “triviale” dans le sens que c’est une théorie topologique sans degré de liberté locaux et que nous savons plus ou moins comment la quantifier exactement. Etudier le formalisme de la *Loop Quantum Gravity* et développer les techniques de réseaux de spin dans ce cas est ainsi un travail préliminaire pour “tester” les méthodes dans un cadre plus simple que la relativité générale (en  $3 + 1$ ). Cela permettra de voir les problèmes principaux, et il s’agira également de vérifier dans quelle mesure on retrouve bien les mêmes résultats que les autres approches à la théorie quantique en  $2 + 1$ . Je m’intéresserai particulièrement aux opérateurs géométriques -spectre des longueurs et des aires- et tâcherai de souligner les liens reliant le présent formalisme aux formalismes usuels, dont le lecteur peut trouver une description assez exhaustive (plus ou moins détaillée) dans [57].

Puis je décrirai comment développer une *Loop Quantum Gravity* en  $3 + 1$  dimensions basée sur le groupe de Lorentz (donc sans fixation de jauge du type *time gauge*). Le formalisme canonique de base utilisé a été principalement étudié par Alexandrov [19, 26, 27] avec qui j’ai travaillé sur les théories quantiques correspondantes [17]. La motivation principale de ce travail est de trouver un lien explicite entre les structures canoniques de la *Loop Gravity* et les modèles covariants des mousses de spin (espace-temps formé par des histoires de réseaux de spin) que je décrirai dans la partie IV. J’ai explicité la problématique de cette étude dans [48] : les mousses de spin sont des structures invariantes par le groupe de Lorentz  $SL(2, \mathbb{C})$  alors que la *Loop Quantum Gravity* usuelle est fondée sur des quantités invariantes de jauge  $SU(2)$ . Dans cette recherche, la théorie en  $2 + 1$  dimensions pourra servir de guide car les deux formalismes (*Loop Quantum Gravity* et mousse de spin) utilisent alors tous deux le groupe de Lorentz  $SL(2, \mathbb{R})$ . A travers la quantification de la théorie canonique “covariante” (utilisant le groupe de Lorentz) [17], je montrerai qu’il est possible de retrouver d’une part le formalisme usuel de la *Loop Quantum Gravity*  $SU(2)$  et d’autre part de dériver les structures cinématiques des modèles de mousse de spin. L’outil principal sera des réseaux de spins “projetés” [48] qui permettront de prendre en compte la manière dont l’hypersurface canonique est plongé dans l’espace-temps. En fait, l’hypersurface sera décrite (localement) au niveau quantique à travers son plongement dans l’espace-temps.



# Chapitre 7

## La théorie 2 + 1

La relativité générale en 2 + 1 dimensions peut être formulée en fonction d'une connexion (1-forme)  $SO(2, 1)$  (groupe de Lorentz dans ce cadre), notée  $A_\mu^i(x)$ , et d'une triade (base orthonormée)  $e_\mu^i(x)$ . Ici,  $\mu = 0, 1, 2$  dénote un indice d'espace-temps, labellant une base du fibré (co-)tangent, et  $i = 0, 1, 2$  est un indice interne, labellant une base de l'algèbre  $so(2, 1)$ . Je me placerai dans un espace-temps de signature  $(- + +)$ ; ainsi les indices internes pourront être montés et descendus à l'aide de la métrique plate  $\eta_{ij} = \text{diag}[- + +]$ . L'action est définie à l'aide de la triade et de la courbure de la connexion  $F_{\mu\nu}^i = \partial_\mu A_\nu^i - \partial_\nu A_\mu^i + \eta^{ij} \epsilon_{jkl} A_\mu^k A_\nu^l$  ( $\epsilon_{ijk}$  est le tenseur complètement anti-symétrique) :

$$S(A, e) = \frac{1}{G} \int \text{tr}(e \wedge F) = \frac{1}{G} \int d^3x \eta_{ij} \epsilon^{abc} e_a^i F_{bc}^j, \quad (7.1)$$

où la trace est prise sur  $so(2, 1)$ , le produit  $\wedge$  défini entre formes et  $G$  la constante de Newton. Je travaille sans constante cosmologique ( $\Lambda = 0$ ).

Il est facile de voir que les équations du mouvement imposent que la connexion soit **plate** ( $F = 0$ ) et que la triade soit compatible avec la connexion ( $d_A e = 0$ ). Il n'y a donc pas de perturbation du type onde gravitationnelle en 2 + 1 dimensions et la théorie se résume à étudier l'espace des connexions plates.

Un point crucial dans l'étude de la théorie quantique est la reformulation de la gravité 2 + 1 sous la forme d'une théorie de Chern-Simons sur le groupe de Poincaré  $ISO(2, 1)$  [58]. En effet, on peut former une  $iso(2, 1)$ -connexion  $\omega$  en regroupant la connexion  $A$  et la triade en un seul objet

$$\omega_\mu = A_\mu^i J_i + e_\mu^i P_i \in iso(2, 1),$$

où les  $J_i$  sont les générateurs du groupe de Lorentz  $SO(2, 1)$  et les  $P_i$  les générateurs des translations :

$$[J_i, J_j] = \epsilon_{ij}^k J_k \quad [J_i, P_j] = \epsilon_{ij}^k P_k \quad [P_i, P_j] = 0.$$

L'action (7.1) se ré-écrit alors :

$$S(A, e) = S(\omega) = \frac{1}{G} \int \langle \omega \wedge d\omega \rangle + \frac{2}{3} \langle \omega \wedge \omega \wedge \omega \rangle, \quad (7.2)$$

où  $\langle, \rangle$  dénote une forme quadratique invariante (non-dégénérée) sur  $iso(2, 1)$  :

$$\langle J_i, P_j \rangle = \eta_{ij} \quad \langle J_i, J_j \rangle = \langle P_i, P_j \rangle = 0.$$

Dans le cas d'une constante cosmologique  $\Lambda > 0$  (resp.  $\Lambda < 0$ ), on obtient le groupe de De Sitter  $SO(3, 1)$  (resp. le groupe anti-De Sitter  $SO(2, 2)$ ) au lieu du groupe de Poincaré. Ainsi, on reformule la gravité en 2 + 1 dimensions comme une théorie **topologique** de jauge  $ISO(2, 1)$ . Les équations du mouvement se réduisent à  $F(\omega) = 0$ , c'est-à-dire aux connexions  $\omega$  de courbure nulle. On peut pousser cette approche assez loin et quantifier exactement la théorie en fournissant une représentation de l'algèbre des holonomies de la connexion  $\omega$  (voir par exemple [54, 57]).

Ce n'est pas cette approche que je vais suivre ici. Je vais décrire l'approche *Loop Gravity* où on utilise comme fonctions d'onde des fonctionnelles de la connexion de Lorentz  $A$ , en gardant à l'esprit l'application de ce formalisme à la gravité en 3 + 1 dimensions. Je vais donc commencer par l'analyse de la structure canonique de l'action (7.1), puis procéder à la quantification en utilisant les fonctionnelles cylindriques en la connexion  $A$ . Pour cela, j'exploiterai les résultats de la partie II sur les réseaux de spin pour  $SL(2, \mathbb{R}) \sim SO(2, 1)$  et je dériverai le spectre d'opérateurs longueurs et aires sur ces états quantiques de la géométrie.

## 7.1 Le formalisme de la *Loop Gravity* en 2 + 1

Le formalisme de *Loop Gravity* en 2 + 1 que je vais expliquer dans cette section a été étudié dans [59, 60], en collaboration avec Carlo Rovelli et Laurent Freidel. Il est différent du traitement de [61] où les auteurs procèdent à la représentation des boucles de Wilson ( $T_0$ ) et de leur "moments" associés ( $T^1$ ). Je m'attacherai ici à utiliser les fonctionnelles cylindriques et les réseaux de spin, suivant la même approche en 3 + 1. Il existe également un autre formalisme de *Loop Quantum Gravity* en 2 + 1 se fondant sur une rotation de Wick et utilisant ainsi un groupe de jauge compact  $SU(2)$  [62]. Mais conserver le groupe de Lorentz (non-compact)  $SO(2, 1)$  permet une comparaison directe avec les modèles de mousse de spin (de type Ponzano-Regge) définis en 2 + 1 dimensions [63, 64].

Effectuons l'analyse Hamiltonienne habituelle sur l'action (7.1), en choisissant la coordonnée  $x^0$  comme le paramètre de l'évolution temporelle et  $x^a = (x^1, x^2)$  des coordonnées sur la surface initiale (canonique)  $\Sigma$ , que nous prenons fermée et orientable. Alors, on peut ré-écrire l'action :

$$\begin{aligned} S &= \frac{1}{G} \int dt \int_{\Sigma} dx^a \left( \eta_{ij} \epsilon^{ab} e_a^i \left( \partial_0 A_b^j - \partial_b A_0^j + \eta^{jk} \epsilon_{klm} A_b^l A_0^m \right) + \eta_{ij} \epsilon^{ab} e_0^i F_{ab}^j \right) \\ &= \frac{1}{G} \int dt \int_{\Sigma} dx^a \left( \epsilon^{ab} \eta_{ij} e_a^i \partial_0 A_b^j + A_0^i \epsilon^{ab} (\eta_{ij} \partial_b e_a^j + \epsilon_{ijk} e_a^j A_b^k) + e_0^i \eta_{ij} \epsilon^{ab} F_{ab}^j \right), \end{aligned} \quad (7.3)$$

avec  $\epsilon^{ab} = \epsilon^{0ab}$ . Cette expression nous donne directement les variables canoniques  $A_a^i(x)$  et leur moments conjugués  $\pi_i^a(x) = \frac{1}{G} \eta_{ij} \epsilon^{ab} e_b^j(x)$ . Le crochet de Poisson fondamental est alors :

$$\{A_a^i(x), e_b^j(y)\} = G \epsilon_{ab} \eta^{ij} \delta^{(2)}(x, y). \quad (7.4)$$

Les multiplicateurs de Lagrange  $A_0^i$  et  $e_0^i$  imposent respectivement les contraintes  $\epsilon^{ab} \mathcal{D}_a e_b^i = 0$  et  $F_{ab}^i = 0$ . La première -la *loi de Gauss*- génère les transformations de jauge  $SO(2, 1)$ , agissant sur la connexion et la triade. La seconde contrainte  $F^i = 0$  (puisque la connexion est anti-symétrique,  $F_{ab}^i$  est entièrement donnée par  $F^i = \epsilon^{ab} F_{ab}^i$ ) impose que le courbure soit plate. Elle génère une variation de la triade seule :

$$\left| \begin{array}{l} \delta e_a^i = \mathcal{D}_a \lambda^i \\ \delta A_a^i = 0. \end{array} \right. \quad (7.5)$$

Quand le repère mobile  $e$  est non-dégénéré, cette deuxième contrainte peut se décomposer en une contrainte vectorielle imposant une invariance sous difféomorphismes spatiaux (de la tranche 2-dimensionnelle) et en une contrainte scalaire (ou contrainte Hamiltonienne) [65]. La structure de la théorie 2 + 1 est alors très similaire à la structure canonique de la *Loop Gravity*, telle que décrite dans la partie I. Plus explicitement, introduisons la (co-)triade conjuguée à la connexion :

$$E_i^a = \epsilon^{ab} \eta_{ij} e_b^j, \quad (7.6)$$

et le vecteur normal densité :

$$n^i = \frac{1}{2} \epsilon^{ijk} \epsilon_{ab} E_j^a E_k^b = \vec{e}_1 \wedge \vec{e}_2, \quad (7.7)$$

où j'utilise la notation vectorielle pour les indices internes. Utilisant que  $|\vec{n}|^2 = \eta_{ij} n^i n^j = -\det({}^2g)$  est le déterminant de la 2-métrique (le signe moins étant dû à la signature Lorentzienne de la métrique  $\eta$ ) et que  $E_i^a n^i = 0$ , on peut décomposer la contrainte de platitude en [65]

$$N^i F^i = N^a V_a + NH, \quad (7.8)$$



$N^a$  et  $N$  étant respectivement le *Shift* et le *Lapse* définis comme :

$$N^i = N^a \epsilon_{ab} E_i^b + N \frac{n^i}{\sqrt{\det(2g)}} \quad \Leftrightarrow \quad N^a = \epsilon_{ijk} \frac{n^i E_j^a}{\det(2g)} N^k \text{ et } N = \frac{N^i n^i}{\sqrt{\det(2g)}}. \quad (7.9)$$

$V_a$  est la contrainte vectorielle imposant l'invariance sous difféomorphismes spatiaux et  $H$  est la contrainte Hamiltonienne censée dicter l'évolution dans le temps :

$$\begin{cases} V_a &= F_{ab}^i E_i^b &= \vec{e}_a \cdot \vec{F} \\ H &= \frac{1}{2} \epsilon_{ijk} F_{ab}^i \frac{E_j^a E_k^b}{\sqrt{\det(2g)}} &= \frac{\vec{n}}{|\vec{n}|} \cdot \vec{F} \end{cases} \quad (7.10)$$

Je vais décrire la structure cinématique de la théorie quantique. Plus précisément, je vais m'occuper principalement des quantités invariantes de jauge : les fonctionnelles cylindriques invariantes de jauge. Je vais ainsi utiliser les réseaux de spin  $SO(2,1) \sim SL(2, \mathbb{R})$  pour quantifier la théorie. Pour prendre en compte les contraintes vectorielles, il suffira de considérer les classes d'équivalence sous difféomorphismes de graphes sur  $\Sigma$ . Ce sera l'espace "cinématique" de la *Loop Quantum Gravity*. L'étape suivante (que je ne vais pas étudier ici) serait de prendre en compte la contrainte Hamiltonienne pour faire évoluer dans le temps les réseaux de spin. Cette contrainte Hamiltonienne agirait sur les réseaux de spin en modifiant à la fois le graphe-support et les représentations du réseau de spin. Dans le cas de la gravité Euclidienne en 3 dimensions, on est censé retrouver alors l'amplitude du modèle de Ponzano-Regge (avec  $SU(2)$ ) défini par les symboles  $\{6j\}_{(SU(2))}$ , qui permet bien au final de réduire l'espace cinématique à l'espace physique des connexions plates [66]. Dans notre cadre Lorentzien, on s'attendrait donc à reconstruire à partir de la contrainte scalaire  $H$  un modèle de Ponzano-Regge Lorentzien [64].

### 7.1.1 Quantification et l'Opérateur Longueur

Dans cette sous-section, je définis le cadre de la *Loop Quantum Gravity* en 2 + 1 dimensions, fondée sur l'utilisation des fonctionnelles cylindriques de la connexion comme fonctions d'onde. Je définis l'espace d'Hilbert des états de la théorie quantique, dont une base est donnée par les réseaux de spin  $SO(2,1)$ . Et je définis l'opérateur longueur d'une courbe, qui n'est en fait rien d'autre que l'opérateur Laplacien (sa racine carré plus précisément). Il sera donc diagonal dans la base des réseaux de spin et ses valeurs propres seront données par la valeur du Casimir de  $SO(2,1)$ . Le spectre explicite sera donné dans la sous-section suivante.

En *Loop Quantum Gravity*, les fonctions d'onde de la théorie sont des fonctionnelles de la connexion, contrairement à l'approche de la théorie de Chern-Simons où on considère des fonctionnelles de la connexion  $\omega$  donc à la fois de  $A$  et de  $e$ . Plus précisément, on considère des fonctionnelles cylindriques de la connexion  $A$ , définies par un graphe-support  $\Gamma$  (avec  $V$  vertex et  $E$  liens) et une fonction  $\psi$  sur  $(SO(2,1))^E$  :

$$\Psi_{\Gamma, \psi}(A) = \psi(U_1(A), \dots, U_E(A)), \quad (7.11)$$

où

$$U_\gamma(A) = \mathcal{P} \exp \left( \int_\gamma ds \dot{\alpha}^a(s) A_a^i(\alpha(s)) X_i \right),$$

est l'holonomie de la connexion  $A$  sur d'un lien  $\gamma$  du graphe. Ici  $X_i$  dénote les 3 générateurs de l'algèbre de Lie  $so(2,1)$ .

Suivant la partie II, on définit pour un graphe  $\Gamma$  fixé une mesure invariante sur l'espace invariant de jauge. Cela fournit l'espace d'Hilbert  $\mathcal{H}_\Gamma$  des fonctionnelles  $L^2$  à support sur le graphe, dont une base est donnée par les réseaux de spin  $SO(2,1)$ . Sur cet espace, deux sortes d'opérateurs sont définies. Tout d'abord, les opérateurs de type boucle de Wilson (trace de l'holonomie de la connexion  $A$  le long d'une boucle). Ces opérateurs agissent par multiplication. Il faut faire particulièrement attention au domaine de définition d'un tel opérateur (voir la discussion dans la sous-section 5.2.3). Les autres opérateurs sont les opérateurs dérivées, correspondant au champ  $e_a^i(x)$  :

$$\widehat{e_a^i(x)} = -i\hbar G \epsilon_{ab} \eta^{ij} \frac{\delta}{\delta A_b^j(x)}, \quad (7.12)$$

où  $\hbar G$  est la longueur de Planck  $l_P$  en 3 dimensions. Rappelons que

$$\frac{\delta}{\delta A_b^j(x)} U_\gamma(A) = \int_\gamma ds \frac{d\gamma^b(s)}{ds} \delta^{(2)}(\gamma(s), x) U_{\gamma_1(s)}(A) [X^i U_{\gamma_2(s)}](A), \quad (7.13)$$

où  $\gamma_1(s)$  and  $\gamma_2(s)$  sont les deux parties du lien  $\gamma$  séparées par le point  $x$  et  $X^i$  le générateur de l'action à gauche de  $SO(2, 1)$  sur les fonctions sur le groupe. L'algèbre quantique de ces opérateurs fournit une quantification de leur algèbre de Poisson classique.

Ainsi, le produit scalaire de notre théorie est défini par :

$$\langle \Psi_{\Gamma\psi} | \Psi_{\Gamma\psi'} \rangle = \int d\mu_\Gamma(U_1 \dots U_E) \overline{\psi(U_1 \dots U_E)} \psi'(U_1 \dots U_E) \quad (7.14)$$

Il faut alors faire attention aux conditions de réalité : les opérateurs  $\widehat{A}_a^i$  et  $\widehat{e}_a^i$  doivent être des opérateurs Hermitiens.  $\widehat{A}_a^i$  agissant par multiplication, on a trivialement (à quelques ennuis de domaine de définition près) implémenté  $\widehat{A}_a^{i\dagger} = \widehat{A}_a^i$ . De plus, comme montré dans la partie II, tout opérateur différentiel invariant de jauge est Hermitien sur l'espace  $\mathcal{H}_\Gamma$  pour la mesure  $d\mu_\Gamma$ , et donc bien sur tout l'espace  $\mathcal{H}_{\text{inv}} = \bigoplus_\Gamma \mathcal{H}_\Gamma$ .

En utilisant la décomposition de Plancherel des fonctions  $L^2$  sur  $SO(2, 1)$  (pour la mesure de Haar) ou, de manière équivalente, la procédure de la partie II, une base orthonormée de  $\mathcal{H}_\Gamma$  est fournit par les réseaux de spin labellés par les représentations unitaires (de dimension infinie) de  $SO(2, 1)$ . Rappelons en effet que les fonctions  $L^2$  sur  $SO(2, 1)$  peuvent être décomposées sur une base orthonormée définie par des représentations unitaires irréductibles. Dans cette décomposition dite de Plancherel, les représentations appartiennent à deux séries de représentations : la série principale et la série discrète (en fait, la série discrète positive et la série discrète négative). Je donnerai des détails sur cela dans la prochaine sous-section.

Pour construire cette base des réseaux de spin, on commence par se fixer un graphe  $\Gamma$ . On choisit une représentation unitaire  $\mathcal{I}_e$  de  $SO(2, 1)$  pour chaque lien  $e$  du graphe. On contracte les matrices de représentation des holonomies  $U_e^{\mathcal{I}_e}$  à l'aide d'un entrelaceur  $SO(2, 1)$  à chaque vertex (entrelaçant les représentations associées aux liens se rencontrant à ce vertex). La fonctionnelle résultante est un réseau de spin  $SO(2, 1)$ . Elle dépend du graphe, des représentations associées aux liens et des entrelaceurs associés aux noeuds. L'ensemble de ces fonctionnelles forme une base orthonormale (au sens généralisé des distributions) complète des fonctionnelles cylindriques invariantes de jauge.

Dans ce contexte de *Loop Gravity* en 2+1 dimensions, on s'intéresse à l'opérateur longueur, qui est l'équivalent de l'opérateur aire en 3 + 1 dimensions. Tout d'abord, la longueur d'une courbe lisse  $c : \tau \in [0, 1] \rightarrow c(\tau) \in \Sigma$  est donnée par

$$L_c = \int_{[0,1]} d\tau \sqrt{\dot{c}^a(\tau) \dot{c}^b(\tau) g_{ab}(c(\tau))} = \int_{[0,1]} d\tau \sqrt{\dot{c}^a(\tau) \dot{c}^b(\tau) \eta_{ij} e_a^i(c(\tau)) e_b^j(c(\tau))}. \quad (7.15)$$

Pour simplifier les notations, introduisons le vecteur

$$e^i(c(\tau)) = e_a^i(c(\tau)) \dot{c}^a(\tau).$$

Je me restreindrai à l'étude du cas où la norme  $\eta_{ij} e^i e^j$  du vecteur  $e^i$  ne change pas de signe le long de la courbe. Cela revient à demander que la courbe soit entièrement de genre temps ou de genre espace. Remarquons que dans le cas d'une courbe de genre temps, i.e.  $\eta_{ij} e^i e^j < 0$ , il existe une autre quantité invariante de jauge mis à part la norme de  $e^i$  : le signe de  $e^0$ . Ce signe est en effet invariant sous  $SO(2, 1)$  et correspond à l'orientation dans le temps, passé ou futur, de la courbe.

La longueur d'une courbe de genre espace ( $\eta_{ij} e^i e^j > 0$ ) est bien définie par (7.15) comme un nombre réel. Dans le cas d'une courbe de genre temps ( $\eta_{ij} e^i e^j < 0$ ), il est préférable de définir un intervalle temporel réel orienté

$$T_c = \text{sign}(e^0) \int_{[0,1]} dt \sqrt{|\eta_{ij} e^i e^j|}. \quad (7.16)$$

L'opérateur longueur quantique représentant la longueur classique est obtenue en remplaçant l'opérateur triade  $e_a^i(x)$  par l'opérateur quantique (7.12) dans ces expressions. Regardons maintenant l'action de cet opérateur longueur sur les fonctionnelles réseaux de spin, suivant l'exemple de l'opérateur aire en *Loop Quantum Gravity* en 3 + 1 dimensions.

Considérons une courbe  $c$  et un état réseau de spin tel que la courbe et le graphe-support s'intersecte en un seul point (et pas en un vertex du graphe) et regardons l'action de l'opérateur longueur de la courbe  $c$  sur cet état. La procédure peut être facilement étendue aux cas d'intersections multiples et d'intersections au niveau des noeuds. Appelons  $\gamma$  le lien du graphe intersecté par la courbe  $c$  et notons  $\mathcal{I}$  la représentation irréductible associée to  $\gamma$ .

L'action de  $e^i(x)$  sur l'état réseau de spin insère la matrice  $X_{\mathcal{I}}^i$  du générateur  $X^i$  dans la représentation  $\mathcal{I}$  au milieu de l'holonomie  $U_\gamma$  le long du lien  $\gamma$ . On obtient alors :

$$\widehat{L}_c \Psi^{(\mathcal{I})} = \hbar G \left[ \int_c d\tau \sqrt{\left( \int_\gamma ds \epsilon_{ab} \dot{c}^a(\tau) \frac{d\gamma^b}{ds} \delta^{(2)}(\gamma(s), c(\tau)) \right)^2 \left( -\eta_{jk} X_{(\mathcal{I})}^j X_{(\mathcal{I})}^k \right)} \right] \Psi^{(\mathcal{I})}. \quad (7.17)$$

L'intégrale

$$\int_c d\tau \int_\gamma ds \left| \epsilon_{ab} \dot{c}^a(\tau) \frac{d\gamma^b}{ds} \delta^{(2)}(\gamma(s), c(\tau)) \right|$$

compte le nombre d'intersections entre la courbe  $c$  et le lien  $\gamma$ , ici 1, car  $\epsilon_{ab} \dot{c}^a(\tau) \gamma^b(s)$  est le Jacobien de la transformation entre les coordonnées orthonormales  $(x_1, x_2)$  et les coordonnées locales  $(\tau, s)$ <sup>1</sup>. Cela montre que les réseaux de spin sont des vecteurs propres de l'opérateur longueur, qui n'est autre que l'opérateur Laplacien :

$$\widehat{L}_c \Psi^{(\mathcal{I})} = \hbar G \sqrt{-\eta_{jk} X_{(\mathcal{I})}^j X_{(\mathcal{I})}^k} \Psi^{(\mathcal{I})} = \hbar G \sqrt{q^{(\mathcal{I})}} \Psi^{(\mathcal{I})}. \quad (7.18)$$

où  $q^{(\mathcal{I})}$  est la valeur de l'opérateur Casimir  $Q = -\eta_{ij} X^i X^j$  de  $SO(2, 1)$  dans la représentation  $\mathcal{I}$ . Cela fournit le spectre des longueurs de la gravité 2 + 1 dans la quantification à boucle.

Dépendant du signe de  $q^{(\mathcal{I})}$ , on obtient soit une longueur de genre espace ou de genre temps ou de genre nul. Dans les cas de genre temps ou de genre nul, il faut également spécifier l'orientation temporelle i.e. le signe de l'observable  $\text{sign}(e^0)$ . Tout comme la longueur, cette information devrait être spécifiée par la représentation  $\mathcal{I}$  : dans les représentations de genre temps/nul, l'opérateur  $e^{\widehat{0}}$  devrait avoir une spectre complètement positif ou complètement négatif.

Pour finir, l'action de l'opérateur longueur d'une courbe agissant sur un réseau de spin dont elle intersecte le graphe-support en plusieurs points est donnée par une contribution pour chaque lien intersecté :

$$L_c \Psi = l_P \sum_{e \in \Gamma_c \neq \emptyset} \sqrt{q^{(\mathcal{I}_e)}} \Psi. \quad (7.19)$$

Maintenant que nous avons défini l'espace d'Hilbert des états quantiques et l'action de l'opérateur longueur, regardons plus en détails les réseaux de spin  $SO(2, 1)$ , pour en déduire le spectre exact de l'opérateur longueur. Pour cela, il faut décrire les représentations de  $SO(2, 1)$ .

### 7.1.2 Représentations de $SO(2, 1)$ et spectre des longueurs

L'algèbre de Lie  $so(2, 1)$  est de dimension 3 et générée dans sa représentation fondamentale<sup>2</sup> par les trois matrices suivantes :

$$\tau_0 = \frac{i}{2} \begin{pmatrix} 1 & 0 \\ 0 & -1 \end{pmatrix}, \quad \tau_1 = \frac{1}{2} \begin{pmatrix} 0 & 1 \\ 1 & 0 \end{pmatrix}, \quad \tau_2 = \frac{i}{2} \begin{pmatrix} 0 & -1 \\ 1 & 0 \end{pmatrix}. \quad (7.20)$$

<sup>1</sup>Cela est vrai que dans le cas où la courbe  $c$  et le lien  $\gamma$  ne sont pas tangents au point d'intersection. Dans ce cas particulier, l'action de  $\widehat{L}_c$  est nulle.

<sup>2</sup>En fait, c'est la représentation fondamentale de  $SU(1, 1)$ , qui est le double recouvrement de  $SO(2, 1)$ . Je me bornerai ici à n'utiliser que le groupe  $SO(2, 1)$  car sa théorie des représentations est plus simple. Néanmoins, tous les résultats peuvent être généralisés sans aucun problème au cas  $SU(1, 1)$ , et le lecteur intéressé peut trouver les détails dans l'appendice de [60].

Les relations de commutations entre ces générateurs sont :

$$[\tau_0, \tau_1] = -\tau_2 \quad [\tau_1, \tau_2] = \tau_0 \quad [\tau_2, \tau_0] = -\tau_1.$$

On peut vérifier que ce sont les bons signes pour le groupe de symétrie  $SO(2, 1)$  d'un espace Lorentzien  $(-, +, +)$ . Soient  $X_i$  les générateurs d'une représentation linéaire du groupe. Ils satisfont eux-aussi :

$$[X_0, X_1] = -X_2 \quad [X_1, X_2] = X_0 \quad [X_2, X_0] = -X_1.$$

Il est important de ne pas confondre les propriétés d'Hermiticité des matrices  $\tau_i$  et des opérateurs  $X_i$ . Comme signalé précédemment, les représentations intervenant en gravité quantique sont celles apparaissant dans le formule de Plancherel. Ces représentations sont unitaires i.e. les opérateurs  $iX_i$  sont Hermitiens. En fait, ce sont les quantités correspondant aux opérateurs triades et leur Hermiticité reflète que la triade est réelle!

Il est utile d'étudier l'algèbre en introduisant les opérateurs  $H$  and  $J_{\pm}$  :

$$H = -iX_0 \quad J_{\pm} = \pm X_1 + iX_2. \quad (7.21)$$

Ils satisfont les relations de commutation :

$$[H, J_{\pm}] = \pm J_{\pm} \quad [J_+, J_-] = -2H. \quad (7.22)$$

La différence avec l'algèbre réelle  $so(3)$  est le signe moins dans la seconde relation de commutation. L'opérateur Casimir s'écrit :

$$Q = (X_0)^2 - (X_1)^2 - (X_2)^2 = -H^2 + \frac{1}{2}(J_+J_- + J_-J_+). \quad (7.23)$$

Les conditions de réalité exprimant que les opérateurs  $iX_i$  sont Hermitiens se lisent :

$$H^\dagger = H \quad (J_{\pm})^\dagger = J_{\mp}. \quad (7.24)$$

On peut alors étudier les représentations de  $SO(2, 1)$  dans le même type de base que pour  $SO(3)$ . Et il est facile de vérifier que

$$\begin{cases} H|m\rangle &= m|m\rangle, \\ J_+|m\rangle &= (q + m(m+1))^{1/2}|m+1\rangle, \\ J_-|m\rangle &= (q + m(m-1))^{1/2}|m-1\rangle \end{cases} \quad (7.25)$$

fournit une représentation de  $SO(2, 1)$  sur l'espace généré par les vecteurs  $\{|m\rangle, m \in \mathbb{Z}\}^3$ . Le paramètre  $q$  donne la valeur de l'opérateur Casimir.

Les représentations unitaires de  $SO(2, 1)$  sont de dimension infinie car  $SO(2, 1)$  est non-compact. De plus, leur opérateur de Casimir est Hermitien  $Q^\dagger = Q$ , donc  $q$  est réel. Regardons donc les diverses représentations obtenues pour des valeurs réels du paramètre  $q$ . Commençons par les valeurs négatives  $q \leq 0$ . Pour des valeurs génériques, les représentation obtenues sont irréductibles. Cependant  $(q + m(m+1))$  prend des valeurs négatives, ce qui contredit la condition de réalité  $(J_{\pm})^\dagger = J_{\mp}$ . Par contre, pour les valeurs spéciales  $q = -n(n-1) \leq 0$ , avec  $n \in \mathbb{N}^*$ ,  $(q + m(m+1))$  s'annule pour  $m = n-1$  and  $m = -n$ . Par conséquent, la représentation n'est pas irréductible. En fait, elle se décompose en 3 représentations :

- Il y a la représentation intermédiaire, notée  $V^n$ . Elle est de dimension finie et générée par les vecteurs  $\{|m\rangle, -(n-1) \leq m \leq (n-1)\}$ . C'est la même représentation que la représentation irréductible de  $SO(3)$  de spin  $j = n-1$ . Mais  $(q + m(m+1)) < 0$  et on a  $(J_{\pm})^\dagger = -J_{\mp}$ , ce qui viole la condition de réalité : ce n'est pas une représentation unitaire.
- La représentation supérieure  $\mathcal{D}_n^+$  est une représentation de dimension infinie de plus bas poids générée par les valeurs  $m \in n + \mathbb{N}$ . C'est une représentation unitaire.
- La représentation inférieure  $\mathcal{D}_n^-$  est une représentation de dimension infinie de plus haut poids générée par les valeurs  $m \in -(n + \mathbb{N})$ . C'est aussi une représentation unitaire.

---

<sup>3</sup>Si on généralise  $m$  pour prendre en compte des valeurs demi-entières  $m+1/2$  partout dans (7.25), on obtient une représentation de  $SU(1, 1)$ . Et si on remplace  $m$  par des valeurs  $m + \alpha$ , avec  $0 < \alpha < 1$ , on obtient une représentation du recouvrement universel de  $SO(2, 1)$ .

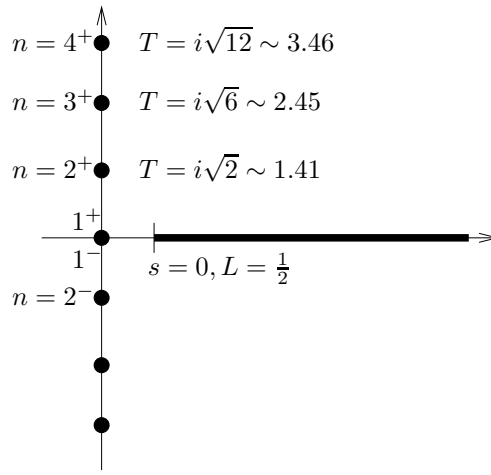


FIG. 7.1 – Le spectre de l’opérateur longueur.

Pour une valeur positive du Casimir  $q > 0$ ,  $(q + m(m + 1)) = q - 1/4 + (m + 1/2)^2$  reste toujours positif et on obtient une représentation de dimension infinie unitaire générée par les vecteurs  $m \in \mathbf{Z}$ .  $0 < q < 1/4$  correspond à la série dite exceptionnelle ou complémentaire. Et  $q > 1/4$  à la série dite principale. Ces dernières sont notées  $\mathcal{C}_s$ , avec  $q = s^2 + 1/4$ .

Les représentations unitaires irréductibles  $\mathcal{D}_n^+$ ,  $\mathcal{D}_n^-$  et  $\mathcal{C}_s$  sont celles intervenant dans la *décomposition de Plancherel* d’une fonction  $L^2 f$  sur le groupe  $SO(2, 1)$  :

$$f(g) = \sum_{n \geq 1} (2n - 1) \operatorname{Tr}(f_n^+ R_{\mathcal{D}_n^+}(g)) + \sum_{n \geq 1} (2n - 1) \operatorname{Tr}(f_n^- R_{\mathcal{D}_n^-}(g)) + \int_{s > 0} ds \frac{\coth(\pi s)}{4\pi s} \operatorname{Tr}(f_s R_{\mathcal{C}_s}(g)), \quad (7.26)$$

Il est important de noter que les représentations continues commencent à  $q = 1/4$  au lieu de  $q = 0$ .

Les valeurs propres de l’opérateur longueur associé à une courbe fixée sont données par la racine carré de l’opérateur Casimir des représentations portées par les liens du graphe-support que la courbe intersecte. Une représentation continue  $\mathcal{C}_s$  a un Casimir *positif* et correspond donc à une *longueur spatiale* avec valeur :

$$L_s = \sqrt{s^2 + 1/4}. \quad (7.27)$$

Notons le “trou” initial  $1/2$ . Cela signifie qu’il existe une longueur spatiale minimale même si le spectre est *continu*. Ce trou correspond à la série complémentaire de représentations unitaires. Elles ont une mesure de Plancherel nulle i.e. elles n’interviennent pas dans la décomposition de Plancherel.

Une représentation discrète  $\mathcal{D}_n^\epsilon$  ( $\epsilon = \pm$  et  $n \in \mathbb{N}$ ) a un Casimir *négatif* et correspond donc à une courbe de *genre temps*. Son orientation passé ou futur  $\operatorname{sgn}(e^0)$  est donnée par  $\epsilon$ . En effet,  $\epsilon$  est le signe du générateur  $H$  (de ses valeurs propres), qui est l’opérateur quantification de  $e^0$ . Ainsi le spectre des longueurs d’une courbe de genre temps sera *discret*. Et les valeurs propres sont :

$$T_{\epsilon, n} = \epsilon \sqrt{n(n - 1)}. \quad (7.28)$$

Remarquons que les valeurs ne sont pas également espacées. Notons aussi que les premières représentations discrètes  $\mathcal{D}_{n=1}^\pm$  ont un Casimir nul et par conséquent correspondent à une courbe de *genre nul*, le signe  $\pm$  reflétant l’orientation passé ou futur de la courbe.

Il existe une alternative à ce spectre, due à une ambiguïté dans la quantification (au niveau de la régularisation) [40]. En effet, nous pouvons utiliser la procédure de quantification symétrique pour quantifier  $\widehat{e}^i$  comme dérivation

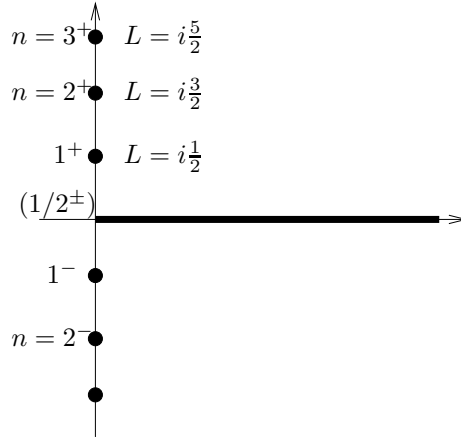


FIG. 7.2 – Le spectre de l'opérateur longueur symétrique.

sur l'algèbre de Lie (en tant qu'espace vectoriel) au lieu de dérivation sur le groupe de Lie<sup>4</sup>. Alors l'opérateur Casimir  $q$  est translaté à  $q - 1/4$  et le spectre de la longueur devient :

$$\begin{cases} L_s &= s & \text{for space-like} & \mathcal{C}_{s>0} \\ T_{\epsilon,n} &= \epsilon(n - \frac{1}{2}) & \text{for time-like} & \mathcal{D}_{n \geq 1}^{\epsilon=\pm} \end{cases} \quad (7.29)$$

Il y a maintenant un intervalle temporel minimal et aucune représentation de genre nul donné par les séries discrètes. De plus le spectre des longueurs temporelles devient également espacé. De l'autre côté, le trou initial pour le spectre des longueurs spatiales disparaît et on a la possibilité d'une courbe de genre nul dans la limite  $s \rightarrow 0$ . Ce second spectre est compatible avec les résultats obtenus dans les modèles de mousse de spin en 2 + 1 dimensions (modèle de Ponzano-Regge Lorentzien) [63, 64, 67].

### 7.1.3 Spectre de l'aire

L'aire d'une surface  $\mathcal{S}$  plongée dans la surface canonique  $\Sigma$  est donnée par

$$\mathcal{A}_{\mathcal{S}} = \int_{\mathcal{S}} ds^2 \sqrt{\det({}^2g)} \quad (7.30)$$

où  $g_{ab} = e_a^i e_b^j \eta_{ij}$  est la 2-métrie sur  $\Sigma$ . On regarde donc l'opérateur quantification de cette quantité.

Le déterminant de la métrie s'écrit  $\det({}^2g) = -\eta^{ij} n_i n_j$  en fonction du vecteur normal densité  $n_i(x) = \frac{1}{2} \epsilon_{ijk} \epsilon^{ab} e_a^j(x) e_b^k(x)$ . La triade  $e_a^i(x)$  agissant sur un réseau de spin a une action non nulle ssi  $x$  appartient au graphe-support. Et quand  $x$  est au milieu d'un lien (pas un noeud) cette action est proportionnelle au vecteur tangent  $\dot{\gamma}_a(s) X^i$  au lien. Alors, puisque  $\epsilon^{ab} \dot{\gamma}_a \dot{\gamma}_b = 0$ , l'opérateur  $\widehat{n_i(x)}$  a une action nulle sur le réseau de spin. Par conséquent, les seuls points où  $\widehat{n_i(x)}$  a une action non-nulle est au niveau des noeuds/vertex du graphe-support : *l'opérateur aire est à support sur seulement les noeuds du graphe-support.*

Pour calculer l'action de l'opérateur aire d'une surface  $\mathcal{S}$  sur un état réseau de spin, on découpe la surface en petits morceaux, chacun d'eux contenant au plus un noeud du graphe-support. On peut donc se restreindre

<sup>4</sup>Cette ambiguïté peut être retrouvée dans l'analogie avec les modèles de particules sur le groupe décrit dans 5.2.2. L'action pour une particule libre sur le groupe est

$$S = \frac{1}{2} \int dt \text{Tr}((g^{-1} \partial_t g)^2).$$

Comme variable conjuguée à  $g$ , on peut choisir soit le moment canonique  $p = \partial_t g^{-1}$ , qui est commutatif, soit la charge de Noether non-commutative  $\Pi = g \partial_t g^{-1}$ . Cette dernière génère la multiplication à gauche et satisfait  $\{\Pi_X, \Pi_Y\} = \Pi_{[X,Y]}$ , où  $\Pi_X = \text{Tr}(X\Pi)$  est la composante en  $X$  de  $\Pi$ .

au cas d'une surface élémentaire ne contenant qu'un seul vertex  $v$  du réseau de spin sur lequel l'opérateur aire agit. Pour simplifier les notations, je me contente d'explicitier le cas d'un noeud tri-valent. Pour définir l'aire, il faut choisir une *orientation* pour  $\Sigma$ , même si le résultat final sera indépendant de ce choix. Cela revient à se fixer un ordre cohérent des 3 liens se rencontrant à chaque vertex du graphe.

Le vertex  $v$  a trois liens incidents  $e = 1, 2, 3$  (ordonné suivant l'orientation) labellé par les représentations  $\mathcal{I}_e$  de  $SO(2, 1)$ . Commençons par regarder l'action de l'opérateur  $\widehat{n}_i(x)$  sur la fonctionnelle réseau de spin au niveau du noeud  $v$  :

$$\widehat{n}_i(x) \Psi_v^{\mathcal{I}_1 \mathcal{I}_2 \mathcal{I}_3} = \alpha(x, v) \widetilde{n}_i \Psi_v^{\mathcal{I}_1 \mathcal{I}_2 \mathcal{I}_3}, \quad (7.31)$$

avec le facteur géométrique

$$\alpha(x, v) = \sum_{e, e'} \int ds dt \delta^2(x, \gamma_e(s)) \delta^2(x, \gamma_{e'}(t)) |\epsilon_{ab} \gamma_e^a(s) \gamma_{e'}^b(t)|, \quad (7.32)$$

et l'opérateur  $\widetilde{n}_i$  insérant des  $X$  au vertex  $v$

$$\widetilde{n}_i \Psi^{\mathcal{I}_1 \mathcal{I}_2 \mathcal{I}_3} = -\frac{l_P^2}{2} \epsilon_{ee'} \epsilon_{ijk} X_{\mathcal{I}_e}^j X_{\mathcal{I}_{e'}}^k \Psi^{\mathcal{I}_1 \mathcal{I}_2 \mathcal{I}_3}, \quad (7.33)$$

où  $e, e'$  sont deux liens arbitraires se rencontrant en  $v$  et  $\epsilon_{ee'}$  reflète l'orientation relative des deux liens autour du vertex. Notons qu'en utilisant  $\vec{X}_{\mathcal{I}_1} + \vec{X}_{\mathcal{I}_2} + \vec{X}_{\mathcal{I}_3} = 0$ , on peut obtenir une expression plus symétrique de  $\widetilde{n}_i$  en sommant l'expression précédente sur les couples de liens  $(e, e')$  (avec un facteur  $1/3$ ).

On peut régulariser le facteur géométrique et on voit qu'il est proportionnel à  $\delta^2(x, v)$ . Par conséquent, l'action de l'opérateur aire sur le réseau de spin est :

$$\begin{aligned} \mathcal{A}_S \Psi^{\mathcal{I}_1 \mathcal{I}_2 \mathcal{I}_3} &= \sqrt{-\eta^{ii'} \widetilde{E}_i \widetilde{E}_{i'}} \Psi^{\mathcal{I}_1 \mathcal{I}_2 \mathcal{I}_3} \\ &= l_P^2 \sqrt{-\frac{1}{4} \eta^{ii'} \epsilon_{ijk} \epsilon_{i'j'k'} X_{\mathcal{I}_1}^j X_{\mathcal{I}_2}^k X_{\mathcal{I}_1}^{j'} X_{\mathcal{I}_2}^{k'}}} \Psi^{\mathcal{I}_1 \mathcal{I}_2 \mathcal{I}_3} \\ &= l_P^2 \frac{1}{2} \sqrt{\left( (\vec{X}_{\mathcal{I}_1})^2 (\vec{X}_{\mathcal{I}_2})^2 - (\vec{X}_{\mathcal{I}_1} \cdot \vec{X}_{\mathcal{I}_2})^2 \right)} \Psi^{\mathcal{I}_1 \mathcal{I}_2 \mathcal{I}_3} \\ &= l_P^2 \frac{1}{2} \sqrt{|\vec{X}_{\mathcal{I}_1} \wedge \vec{X}_{\mathcal{I}_2}|^2} \Psi^{\mathcal{I}_1 \mathcal{I}_2 \mathcal{I}_3}. \end{aligned} \quad (7.34)$$

En utilisant que  $\vec{X}_{\mathcal{I}_1} + \vec{X}_{\mathcal{I}_2} + \vec{X}_{\mathcal{I}_3} = 0$ , nous pouvons ré-exprimer le facteur précédent en fonction des opérateurs Casimir  $q^{\mathcal{I}_\alpha}$  des 3 représentations. Ainsi l'opérateur aire est diagonal dans la base des réseaux de spin avec comme valeurs propres :

$$\mathcal{A}_S = l_P^2 \frac{1}{2} \sqrt{q^{\mathcal{I}_1} q^{\mathcal{I}_2} - \frac{1}{4} (q^{\mathcal{I}_3} - q^{\mathcal{I}_1} - q^{\mathcal{I}_2})^2}. \quad (7.36)$$

Cela correspond bien avec la définition de l'aire d'un triangle géométrique défini par les longueurs de ces 3 côtés  $L_\alpha = \sqrt{q^{\mathcal{I}_\alpha}}$ . Plus explicitement, la formule ci-dessus se ré-écrit :

$$\mathcal{A}_S = l_P^2 \frac{1}{4} \sqrt{(L_1 + L_2 + L_3)(-L_1 + L_2 + L_3)(L_1 - L_2 + L_3)(L_1 + L_2 - L_3)}. \quad (7.37)$$

On obtient donc un tout cohérent puisque  $L_\alpha = \sqrt{q^{\mathcal{I}_\alpha}}$  est précisément la valeur propre de l'opérateur longueur agissant sur un lien  $\alpha$  du réseau de spin.

Pour trouver le spectre de l'opérateur aire explicitement, il faut caractériser les noeuds admissibles i.e. les triplets de représentations  $(\mathcal{I}_1, \mathcal{I}_2, \mathcal{I}_3)$  admettant un entrelaceur non nul. Pour cela, regardons la décomposition du produit tensoriel de deux représentations de  $SO(2, 1)$ . La décomposition des produits tensoriels est<sup>5</sup> :

$$\mathcal{D}_{n_1}^\pm \otimes \mathcal{D}_{n_2}^\pm = \bigoplus_{n \geq n_1 + n_2} \mathcal{D}_n^\pm, \quad (7.38)$$

<sup>5</sup>Le lecteur pourra trouver des expressions explicites des coefficients de Clebsh-Gordan dans [63].

$$\mathcal{D}_{n_1}^+ \otimes \mathcal{D}_{n_2}^- = \bigoplus_{n=1}^{n_1-n_2} \mathcal{D}_n^+ \oplus \bigoplus_{n=1}^{n_2-n_1} \mathcal{D}_n^- \oplus \int ds \mathcal{C}_s, \quad (7.39)$$

$$\mathcal{D}_{n_1}^\pm \otimes \mathcal{C}_{s_2} = \bigoplus_{n \geq 1} \mathcal{D}_n^\pm \oplus \int ds \mathcal{C}_s, \quad (7.40)$$

$$\mathcal{C}_{s_1} \otimes \mathcal{C}_{s_2} = \bigoplus_{n \geq 1} \mathcal{D}_n^+ \oplus \bigoplus_{n \geq 1} \mathcal{D}_n^- \oplus 2 \int ds \mathcal{C}_s. \quad (7.41)$$

Ces décompositions peuvent être interprétées comme des règles de sommation de vecteurs (dans l'espace de Minkovski  $M^{2+1}$ ). Intuitivement, une représentation correspond à la classe d'équivalence d'un vecteur sous l'action du groupe de Lorentz, et on distingue ainsi des vecteurs de genre espace et des vecteurs de genre temps passé et futur. Le Casimir de la représentation correspond à la norme de ces vecteurs. Considérer le produit tensoriel de deux représentations revient à additionner deux vecteurs. Ainsi, similairement à l'étude des modèles de mousse de spin en 3 dimensions, on regarde les classes d'équivalence de *triangles* (sous l'action du groupe de Lorentz), comme remarqué dans le chapitre 6 de la partie II.

Ainsi on identifie les représentations  $\mathcal{D}_n^\pm$  à des vecteurs de genre temps passé et futur de norme  $L_n = n - 1/2$  et les représentations  $\mathcal{C}_s$  à des vecteurs de genre espace de norme  $L_s = s$ . Remarquons que ceci correspond exactement au spectre de l'opérateur de longueur (symétrique). Alors, l'équation (7.38) correspond au fait que la somme de deux vecteurs de genre temps de même orientation est de nouveau un vecteur de genre temps de la même orientation. De plus, le produit tensoriel reflète également l'inégalité anti-triangulaire  $L_n \geq L_{n_1} + L_{n_2}$ . Similairement, l'équation (7.41) correspond à sommer deux vecteurs de genre espace. Le résultat peut être soit un vecteur de genre espace, soit un vecteur de genre temps, et il n'y a aucune inégalité (anti-)triangulaire. Notons que cela implique que restreindre la théorie à la seule série principale continue de représentations pour ne considérer que les liens et des surfaces de genre espace ne fonctionne pas : il faudrait en plus imposer à la main les inégalités triangulaires sur les produits tensoriels, ce qui ne semble pas très naturel à la vue de la théorie des représentations.

Finalement, les valeurs propres de l'opérateur aire reproduisent précisément les différents types de triangles obtenus en sommant deux vecteurs comme décrit par les règles de décomposition des produits tensoriels.

## Conclusion : un espace continu et un temps discret

En conclusion, il est possible de quantifier la gravité en 2 + 1 dimensions en suivant la procédure de la *Loop Quantum Gravity*. Je n'ai pas décrit comment étudier la dynamique de la théorie et je me suis attaché à l'interprétation géométrique des états réseaux de spin, qui sont les états quantiques de la géométrie de la surface canonique. Ainsi un réseau de spin (graphe habillé par des représentations de  $SO(2, 1)$ ) a une interprétation naturelle d'une variété 2d discrète/triangulée : les faces ont une aire finie et sont duales aux vertex du graphe-support, ces faces sont séparées par des côtés de longueur finie duaux aux liens du graphe. De plus, le spectre des longueurs est fixé et a également une interprétation géométrique : les longueurs des côtés de genre espace ont un spectre **continu** et les côtés de genre temps ont un spectre des longueurs **discret** !

## 7.2 Variables à la 't Hooft

Une autre approche dans laquelle il est possible de retrouver le même résultat de "espace continu versus temps discret" est la quantification de la gravité 2 + 1 par 't Hooft [68]. Il s'agit de travailler sur un espace triangulé (en fait, décomposition cellulaire arbitraire) et d'étudier comment la triangulation évolue dans le temps. Dans ce cadre, 't Hooft dérive assez simplement une dynamique des tranches spatiales.

Je propose ici de dériver directement ce formalisme à partir du cadre canonique. Cela nous permettra d'avoir un nouveau point de vue sur la dynamique en *Loop Quantum Gravity*. En particulier d'obtenir des relations de commutation canonique entre des variables de longueur et des variables d'angle. Le calcul de base est donc le crochet de Poisson de la longueur d'une courbe  $c$  et de (la trace de) l'holonomie de la connexion  $A$  le long d'une courbe  $\gamma$ . On considère le cas d'une seule intersection entre  $c$  et  $\gamma$ .



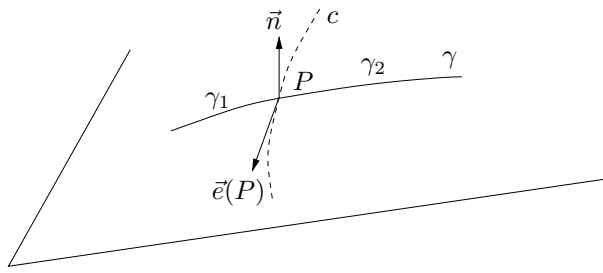


FIG. 7.3 – La courbe  $c$  dont on regarde la longueur et la courbe  $\gamma$  le long de laquelle on calcule l'holonomie, se reconstruit au point  $P$  qui partage  $\gamma$  en  $\gamma_1$  et  $\gamma_2$ .

Plus précisément, la longueur d'une courbe paramétrée par  $c : \tau \in [0, 1] \rightarrow c(\tau) \in \Sigma$  est fonction de la seule triade :

$$l_c = \int_c d\tau \sqrt{\eta_{ij} e^i(\tau) e^j(\tau)} \quad \text{avec} \quad e^i(\tau) = e_a^i \frac{dc^a(\tau)}{d\tau}. \quad (7.42)$$

D'autre part, notons  $U_\gamma(A) \in SO(2, 1) \sim SU(1, 1)$  l'holonomie de la connexion  $A$  le long de  $\gamma$ . Une matrice

$$U = \begin{pmatrix} \alpha + i\alpha_0 & \alpha_1 - i\alpha_2 \\ \alpha_1 + i\alpha_2 & \alpha - i\alpha_0 \end{pmatrix} \in SU(1, 1)$$

avec  $\alpha^2 + \alpha_0^2 - \alpha_1^2 - \alpha_2^2 = 1$  peut être de deux types :

- soit c'est un *boost* si  $\beta^2 = -(\alpha_0^2 - \alpha_1^2 - \alpha_2^2) > 0$ . Dans ce cas, on définit l'angle du boost  $\eta > 0$  tel que  $\alpha^2 = \cosh^2 \eta$  et  $\beta^2 = \sinh^2 \eta$ . Ainsi, en notant  $X_i$  les matrices de Pauli générant  $SU(1, 1)$ , on écrit

$$U = \pm \cosh \eta \text{Id} + \sinh \eta \vec{u} \cdot \vec{X}$$

où  $\vec{u}$  est un vecteur unité de genre espace dans l'espace de Minkovski  $M^{(-++)}$ , simplement l'axe du boost. Remarquons que changer  $\vec{u}$  en  $-\vec{u}$  revient à changer  $\eta$  en  $-\eta$ , d'où la restriction  $\eta > 0$ . Notons finalement que

$$\frac{1}{2} \text{Tr}(U) = \alpha = \cosh \eta \quad \frac{1}{2} \text{Tr}(U \vec{X}) = \vec{u} \sinh \eta.$$

- soit c'est une *rotation* quand  $\beta^2 = (\alpha_0^2 - \alpha_1^2 - \alpha_2^2) > 0$ . Dans ce cas, on définit l'angle de la rotation  $\theta \in [-\pi, \pi[$  tel que  $\alpha^2 = \cos^2 \theta$  et  $\beta^2 = \sin^2 \theta$ . Ainsi, on obtient

$$U = \cos \theta \text{Id} + \sin \theta \vec{u} \cdot \vec{X}$$

où  $\vec{u}$  est un vecteur unité de genre temps, l'axe de la rotation. Remarquons que changer  $\vec{u}$  en  $-\vec{u}$  revient à changer  $\theta$  en  $-\theta$ . Ainsi on peut se restreindre à  $\theta \in [-\pi, \pi[$  et  $\vec{u}$  orienté futur (sur l'hyperboloïde supérieure).

On définit alors la trace de l'holonomie

$$t_\gamma = \frac{1}{2} \text{Tr} U_\gamma(A) = \begin{cases} \pm \cosh \eta & (\text{boost}) \\ \cos \theta & (\text{rotation}) \end{cases} \quad (7.43)$$

Alors le crochet de Poisson de  $l_c$  et  $t_\gamma$  consiste en leur dérivées respectives par rapport à  $e$  et à  $A$  :

$$\{l_c, t_\gamma\} = G \epsilon_{ab} \eta^{ij} \int_\Sigma d^2x \frac{\delta l_c}{\delta e_a^i(x)} \frac{\delta t_\gamma}{\delta A_b^j(x)}.$$

Dériver  $t_\gamma$  en fonction de  $A^j(x)$  revient à insérer le générateur  $X^j$  au point  $x = \gamma(s)$  au milieu de  $U_\gamma$ , c'est-à-dire on découpe  $\gamma$  en deux morceaux  $\gamma_1(s)$  et  $\gamma_2(s)$  séparés par  $x$  et on considère la quantité

$$\frac{1}{2} \text{Tr} U_{\gamma_1(s)} X^j U_{\gamma_2(s)} = u^j(s) \times \begin{cases} \sinh \eta \\ \sin \theta \end{cases}$$

avec  $\vec{u}(s) = U_{\gamma_1(s)}\vec{u} = U_{\gamma_2(s)}^{-1}\vec{u}$  où  $\vec{u}$  est l'axe de l'holonomie  $U_\gamma$  (i.e.  $\vec{u}(s)$  est simplement le transporté parallèle de  $\vec{u}$  le long de la courbe  $\gamma$ ). Alors, un calcul direct donne

$$\left\{ l_c, t_\gamma = \left| \begin{array}{c} \pm \cosh \eta \\ \cos \theta \end{array} \right. \right\} = G \left| \begin{array}{c} \sinh \eta \\ \sin \theta \end{array} \right. \times \int_c d\tau \int_\gamma ds \left( \epsilon_{ab} \frac{dc^a(\tau)}{d\tau} \frac{d\gamma^b(s)}{ds} \delta^{(2)}(c(\tau), \gamma(s)) \right) \vec{u}(s) \cdot \frac{\vec{e}(\tau)}{|\vec{e}(\tau)|} \quad (7.44)$$

L'intégrande est composé de deux facteurs. Le premier est simplement la fonction delta de Dirac (avec le Jacobien du changement de coordonnées  $(x^1, x^2) \rightarrow (\tau, s)$ ) nous plaçant au point d'intersection de  $c$  et  $\gamma$ . Le second est le produit scalaire (un invariant de jauge) de l'axe de la rotation/boost  $\vec{u}(s)$  avec le vecteur unité tangent à la courbe  $c$ .

Ici, j'ai utilisé des quantités invariantes de jauge  $SO(2, 1)$ . Mais il reste à implémenter l'autre contrainte de jauge  $\vec{F} = 0$ . Je vais les utiliser pour "tourner" la triade  $e$  et donc le vecteur  $\vec{e}(\tau)$  pour l'aligner sur  $\vec{u}(s)$  et simplifier l'expression du crochet de Poisson (7.44). Plus précisément, je vais fixer la jauge. La condition de fixation de jauge <sup>6</sup> que je choisis est

$$\vec{C} = \left| \begin{array}{c} \sinh \eta \\ \sin \theta \end{array} \right. \quad \vec{u}(P) \wedge \vec{e}(P) = 0 \quad (7.45)$$

au point d'intersection  $P = c(\tau) = \gamma(s)$ . Une propriété très intéressante de ce choix est que

$$\{\vec{C}, l_c\} = \{\vec{C}, t_\gamma\} = 0,$$

par conséquent le crochet de Dirac de  $l$  et  $t$  sera identique à leur crochet de Poisson! De plus,  $\vec{u}(P)$  et  $\vec{e}(P)$  sont colinéaires et le produit scalaire dans (7.44) est  $\pm 1$  suivant l'orientation relative de  $c$  et  $\gamma$ . Ainsi

$$\left\{ l_c, t_\gamma = \left| \begin{array}{c} \pm \cosh \eta \\ \cos \theta \end{array} \right. \right\}_D = G \left| \begin{array}{c} \sinh \eta \\ \sin \theta \end{array} \right. \quad (7.46)$$

d'où les crochets canoniques (dans la fixation de jauge<sup>7</sup>) :

$$\boxed{\{l_c, \eta\}_D = \pm 1 \quad \text{et} \quad \{l_c, \theta\}_D = 1}$$

L'angle  $\pm\eta$  ou  $\theta$  est conjugué à la longueur  $l_c$  dépendant du secteur de l'espace des phases où nous sommes. Ainsi lors de la quantification, comme  $\eta$  n'est pas borné, le spectre de  $l_c$  sera continu et, comme  $\theta \in [0, 2\pi]$ , le spectre de  $l_c$  sera discret! Ceci confirme les résultats de l'approche *Loop Quantum Gravity* décrite dans la section précédente. De plus, ce sont les relations de commutation canonique utilisées par 't Hooft dans [68] pour quantifier son modèle de gravité quantique en 2 + 1 dimensions. On a donc bien dérivé le même cadre théorique.

Je ne vais pas décrire la dynamique de la théorie. Mais en fait, la fixation de jauge  $\vec{C}$  ne fixe pas entièrement les transformations de jauge générées par les  $\vec{F}$ . Il reste la composante  $\vec{F}$  générant des transformations de  $\vec{e}(P)$  colinéaires à  $\vec{u}(P)$  et donc à  $\vec{e}(P)$  : ce sont des variations de la norme de  $\vec{e}(P)$ . Cette contrainte supplémentaire va donc s'assimiler à la contrainte Hamiltonienne générant un flot de courbes  $c$  (ou  $\gamma$ ) décrivant leur évolution dans le temps. On remarque qu'elle génère des variations de la longueur  $l_c$  (sans toucher aux holonomies) et qu'elle s'apparente ainsi aux transformations conformes. Tout le problème est alors de *choisir un temps* c'est-à-dire une variable conjuguée à cette dernière contrainte. Il s'agit de définir ce que l'on veut dire par une tranche

<sup>6</sup>Il est facile de vérifier que son crochet de Poisson avec les contraintes  $\vec{F}$  est non-nul et par conséquent que c'est une fixation de jauge légitime. Plus précisément, il est possible d'atteindre la surface contrainte  $\vec{C} = 0$  par des transformations de jauge "topologiques" générées par  $\vec{F} = 0$ .

<sup>7</sup>Il existe une possibilité de fixation de jauge alternative à (7.45) aboutissant aux mêmes crochets canoniques. C'est la contrainte scalaire :

$$C = \left| \begin{array}{c} \sinh \eta \\ \sin \theta \end{array} \right. \quad \vec{u}(P) \cdot \vec{n}(P) = 0$$

où  $\vec{n} = \vec{e}_1 \wedge \vec{e}_2 = \epsilon^{ab} \epsilon_{jk}^i e_a^j e_b^k$  est le vecteur densité normal. Cette contrainte commute avec  $l_c$  et  $t_\gamma$ . Cependant elle ne fixe pas directement le crochet de Dirac (7.46). Néanmoins, une fois  $\vec{u}(P)$  orthogonale au plan tangent, il est possible de choisir une courbe  $c$  telle que  $\vec{e}(P)$  soit colinéaire à  $\vec{u}$  et par conséquent satisfaisant le crochet canonique (7.46).

à temps constant. Sans doute que l'inclusion de particules dans le formalisme pourrait aider à définir un temps préférentiel.

Pour retrouver le cadre utilisé par 't Hooft, on peut appliquer les calculs précédents à une triangulation de la surface canonique et considérer comme variables canoniques les longueurs des liens de la triangulation. Les variables conjuguées seront des angles/boosts associés à chaque lien décrivant le changement de repère d'un côté à l'autre du lien. La dynamique modifiera alors les longueurs (et angles) et, quand des longueurs s'annulent, modifiera la triangulation elle-même [68]. On peut également penser appliquer ce formalisme à la *Loop Quantum Gravity*. En effet, on peut prendre un graphe et considérer comme variables canoniques les angles/boosts trace des holonomies le long des liens du graphe. Alors les variables conjuguées seront les longueurs de courbes traversant les liens du graphe. Et la dynamique agira sur les angles/boosts et longueurs et modifiera sûrement le graphe initial. Cela permettrait d'avoir un autre point de vue sur la dynamique de la *Loop Gravity* en  $2 + 1$  dimensions.

Finalement, pour avoir une idée de la dynamique dans ce formalisme, on pourrait regarder le cas du tore. Ainsi, choisissons deux courbes/cercles correspondant aux deux cycles du tore. Alors l'angle du cercle 1 est conjugué à la longueur du cercle 2 et réciproquement. Ceci est très similaire au formalisme issu de la reformulation de la gravité  $2 + 1$  sous forme de théorie de Chern-Simons, dont on connaît très bien les détails. Il s'agirait de comparer les deux formalismes pour en tirer des informations précises sur la structure du Hamiltonien dans notre situation.

## Conclusion : Géométrie Quantique en $2 + 1$ dimensions

J'ai effectué l'analyse canonique de la gravité (Lorentzienne) en  $2 + 1$  dimensions dans un formalisme de *Loop Quantum Gravity*, c'est-à-dire utilisant le couple de variables canoniques conjuguées connexion  $SO(2, 1)$  et diade à valeur dans  $so(2, 1)$  (couple de 3-vecteurs formant une base orthonormée de la surface canonique). La quantification mène à des états quantiques de la surface canonique décrits par des réseaux de spin  $SO(2, 1)$  : ce sont des graphes dont les liens sont labellés par des représentations unitaires de  $SO(2, 1)$  et on peut interpréter leur dual en tant que variété simpliciale 2d dont les longueurs des côtés sont donnés par le Casimir (sa racine carrée) des représentations.

On peut alors distinguer deux types de représentations : celles à Casimir positif, correspondant à des côtés de genre espace et celles à Casimir négatif correspondant à des côtés de genre temps. Dans ce contexte, on obtient que les états de géométrie de la surface canonique contiennent des côtés des deux genres et qu'ils n'y a pas de critère algébrique pour se restreindre de manière naturelle à des triangulations uniquement de genre espace. De plus, résultat important, on obtient :

- (a) un spectre continu des longueurs de genre espace,
- (b) un spectre discret des intervalles de genre temps.

On peut retrouver cette même conclusion en identifiant une variable conjuguée à la longueur d'une courbe  $c$  dessinée sur la surface : la trace de l'holonomie le long d'une courbe  $\gamma$  intersectant  $c$ . On remarque alors qu'il y a deux secteurs de l'espace des phases suivant que l'holonomie est conjuguée à une rotation ou un boost. Dans le cas d'un boost, la courbe  $c$  est de genre espace et, l'angle paramètre du boost décrivant l'intervalle non-compact  $\mathbb{R}_+$ , le spectre de la longueur ne sera pas quantifié. Alors que dans le cas d'une rotation, la courbe  $c$  est de genre temps et l'angle paramètre décrivant  $[0, 2\pi]$ , la longueur de  $c$  sera quantifiée! Cette analyse canonique permet de dériver le modèle de gravité quantique discret en  $2 + 1$  dimensions de 't Hooft, qui lui avait permis de trouver les mêmes résultats "**espace continu & temps discret**".



# Chapitre 8

## Un nouveau formalisme canonique en 3 + 1 dimensions

Je vais maintenant expliquer comment formuler la *Loop Gravity* sous une forme invariante sous le groupe de Lorentz  $SL(2, \mathbb{C})$  et non pas seulement sous le groupe des rotations 3d  $SU(2)$ . L'approche est fondée sur l'analyse canonique réalisée par Alexandrov [19, 26, 27]. Comme dans le cas de la théorie 2 + 1 exposée précédemment, la quantification utilisera des réseaux de spin sur le groupe de Lorentz. Il en résultera que le spectre des aires (équivalent en 3 + 1 dimensions de la longueur en 2 + 1 dimensions) de genre espace sera en général *continu*.

Plus précisément, on trouvera une ambiguïté dans la quantification. Et il sera d'une part possible de retrouver le cadre de la *Loop Quantum Gravity* usuelle (décrite dans la partie I) avec un spectre de l'aire discret. D'autre part, on dérivera une théorie quantique compatible avec les modèles de mousse de spin Lorentziens décrits dans la partie IV. Dans ce second cas, le spectre de l'aire sera bien entendu continu.

La motivation du choix de quantification permet alors un nouveau point de vue sur la *Loop Quantum Gravity* et la question d'invariance sous Lorentz. En effet, on retrouvera que la connexion de Lorentz utilisée pour dériver la *Loop Gravity* usuelle ne se transforme pas normalement sous l'action des difféomorphismes d'espace-temps : y aurait-il un problème au niveau de la contrainte Hamiltonienne en *Loop Quantum Gravity*  $SU(2)$ ? D'un autre côté, la connexion utilisée pour faire le lien avec les modèles de mousse de spin est l'unique connexion de Lorentz se comportant bien sous l'action des difféomorphismes d'espace-temps : cela simplifierait-il l'analyse de la dynamique de la théorie? Tout cela révèle une autre question : est-il possible de trouver un lien explicite entre la *Loop Quantum Gravity*  $SU(2)$  et les modèles de mousse de spin covariants?

### 8.1 Analyse Canonique de la théorie 3 + 1

Rappelons qu'il s'agit d'analyser et de quantifier l'action de Palatini généralisée (1.1) :

$$S[\omega, e] = \frac{1}{2} \int_{\mathcal{M}} \epsilon_{IJKL} e^I \wedge e^J \wedge F^{KL}(\omega) - \frac{1}{\gamma} \int_{\mathcal{M}} e^I \wedge e^J \wedge F_{IJ}(\omega). \quad (8.1)$$

où les  $I, J, \dots$  sont des indices à valeur dans l'espace de Minkovski  $M^{(3+1)}$  allant de 0 à 3. Je vais suivre l'analyse canonique d'Alexandrov [19]. On commence par effectuer un *splitting* 3 + 1 de l'espace  $\mathcal{M}$  en une variété  $\mathbb{R} \times \Sigma$  en distinguant une direction temporelle des dimensions d'espace. Cela revient à décomposer la tétrade  $e^I$  (en tant que 1-forme) en :

$$\begin{aligned} e^0 &= N dt + \chi_i E_a^i dx^a \\ e^i &= E_a^i N^a dt + E_a^i dx^a \end{aligned} \quad (8.2)$$

où  $i$  est un indice interne allant de 1 à 3 (restriction de  $I$  aux composantes "espace") et  $a$  est l'indice d'espace labellant les coordonnées  $x^a$ .  $N$  et  $N^a$  sont comme la *lapse* et le *shift*.  $\chi^i$  donne la déviation de la normale à

l'hypersurface canonique par rapport à la direction temps. On peut donc définir une (direction) normale (de genre temps) par le 4-vecteur

$$\chi = \frac{1}{\sqrt{1-|\vec{\chi}|^2}} (1, \chi_i) \in \mathcal{H}_+$$

vivant sur l'hyperboloïde supérieure dans  $M^{(3+1)}$  des vecteurs unité de genre temps (orientés vers le futur). Dénnotant par  $X, Y$  des indices dans l'algèbre de Lie  $sl(2, \mathbb{C})$  (couple anti-symétrique  $[IJ]$ ) allant de 1 à 6, on définit des nouvelles variables de connexion/triade à valeur dans  $sl(2, \mathbb{C})$  (au lieu de  $SU(2)$  comme dans la partie I). Commençons par la connexion  $A_a^X$  :

$$A^X = \left( \frac{1}{2} \omega^{0i}, \frac{1}{2} \epsilon_{ijk} \omega^{jk} \right). \quad (8.3)$$

Puis, on peut définir une triade "rotation"

$$R_X^a = (-\epsilon_i^{jk} E_a^i \chi_k, E_a^i) \quad (8.4)$$

et une triade "boost"

$$B_X^a = (\star R^a)_X = (E_a^i, \epsilon_i^{jk} E_a^i \chi_k), \quad (8.5)$$

où  $\star$  dénote l'opérateur de Hodge sur  $sl(2, \mathbb{C})$  échangeant les parties rotation et boost dans l'algèbre. On peut en fait écrire des projecteurs sur les parties rotation et boost de  $sl(2, \mathbb{C})$  en prenant les "carrés" de  $R$  et  $B$ . En effet :

$$(P_R)_Y^X = R_a^X R_Y^a = \begin{pmatrix} -\frac{\delta_a^b \chi^2 - \chi_a \chi^b}{1-\chi^2} & -\frac{\epsilon_a^{bc} \chi_c}{1-\chi^2} \\ -\frac{\epsilon_a^{bc} \chi_c}{1-\chi^2} & \frac{\delta_a^b - \chi_a \chi^b}{1-\chi^2} \end{pmatrix} \quad (8.6)$$

est le projecteur de  $sl(2, \mathbb{C})$  sur le sous-espace  $su(2)_\chi$  générant les rotations laissant le vecteur (de genre temps)  $\chi$  invariant. Egalement

$$(P_B)_Y^X = B_a^X B_Y^a = \begin{pmatrix} \frac{\delta_a^b - \chi_a \chi^b}{1-\chi^2} & \frac{\epsilon_a^{bc} \chi_c}{1-\chi^2} \\ \frac{\epsilon_a^{bc} \chi_c}{1-\chi^2} & -\frac{\delta_a^b \chi^2 - \chi_a \chi^b}{1-\chi^2} \end{pmatrix} \quad (8.7)$$

définit le projecteur sur le sous-espace des boosts, supplémentaire à  $su(2)_\chi$ . L'action exprimée dans ces nouvelles variables se lit :

$$S = \int dt d^3x \left( \left( B_X^a - \frac{1}{\gamma} R_X^a \right) \partial_t A_a^X + \Lambda^X \mathcal{G}_X + \mathcal{N}^a \mathcal{H}_a + \mathcal{N} \mathcal{H} \right). \quad (8.8)$$

Le couple de variables canoniques est donc :

$$\left\{ A_a^X(x), \left( B_Y^b - \frac{1}{\gamma} R_Y^b \right)(y) \right\} = \delta_Y^X \delta_a^b \delta^{(3)}(x, y). \quad (8.9)$$

Puis on a les contraintes de *première classe* :

$$\begin{aligned} \mathcal{G}_X &= \mathcal{D}_A \left( B_X - \frac{1}{\gamma} R_X \right), \\ \mathcal{H}_a &= - \left( B_X^b - \frac{1}{\gamma} R_X^b \right) F_{ab}^X(A), \\ \mathcal{H} &= \frac{1}{1 + \frac{1}{\gamma^2}} \left( B - \frac{1}{\gamma} R \right) \left( B - \frac{1}{\gamma} R \right) F(A). \end{aligned} \quad (8.10)$$

$\mathcal{G}$  génère les transformations de jauge  $SL(2, \mathbb{C})$ .  $\mathcal{H}_a$  est une contrainte vectorielle imposant (à travers une combinaison linéaire de  $\mathcal{G}$  et de  $\mathcal{H}$ ) l'invariance sous difféomorphisme spatiaux de  $\Sigma$ . Et finalement,  $\mathcal{H}$  est la contrainte scalaire ou Hamiltonienne, dictant l'évolution de nos variables canoniques. Le lecteur pourra trouver des expressions explicites dans [19, 26]. En plus de ces contraintes de première classe, s'ajoute des contraintes de *seconde classe* :

$$\phi^{ab} = (\star R^a)^X R_X^b = 0 \quad (8.11)$$

$$\psi^{ab} \approx RRD_A R. \quad (8.12)$$

La contrainte  $\phi = 0$  est la contrainte dite de *simplicité* et est similaire à la contrainte (1.2). La contrainte  $\psi = 0$  est issue du crochet de Poisson  $\{\mathcal{H}, \phi\}$  et revient à imposer que la contrainte  $\phi = 0$  est préservée au cours de l'évolution dans le temps. Il est intéressant de noter la ressemblance de  $\psi$  avec la contrainte de réalité (1.27) du formalisme self-dual. Le crochet de Poisson des contraintes  $\varphi = (\phi, \psi)$  est de la forme [19, 26] :

$$\Delta_{rs} = \{\varphi_r, \varphi_s\} = \begin{pmatrix} 0 & D_1 \\ -D_1 & D_2 \end{pmatrix}$$

et son inverse est

$$\Delta_{rs}^{-1} = \begin{pmatrix} D_1^{-1} D_2 D_1^{-1} & -D_1^{-1} \\ D_1^{-1} & 0 \end{pmatrix},$$

ce qui nous permet de calculer le crochet de Dirac :

$$\{f, g\}_D = \{f, g\} - \{f, \varphi_r\} \Delta_{rs}^{-1} \{\varphi_s, g\}.$$

L'algèbre des contraintes de première classe n'est pas modifiée, et en définissant

$$\begin{aligned} \mathcal{G}(\Lambda) &= \int d^3x \Lambda^X \mathcal{G}_X, & \mathcal{H}(N) &= \int d^3x N \mathcal{H}, \\ \mathcal{D}(\vec{N}) &= \int d^3x N^a (\mathcal{H}_a + A_a^X \mathcal{G}_X), \end{aligned} \quad (8.13)$$

les contraintes ont des crochets de Poisson similaires au cas de la *Loop Gravity* explicités dans la partie I :

$$\begin{aligned} \{\mathcal{G}(\Lambda_1), \mathcal{G}(\Lambda_2)\}_D &= \mathcal{G}([\Lambda_1, \Lambda_2]), \\ \{\mathcal{D}(\vec{N}), \mathcal{D}(\vec{M})\}_D &= -\mathcal{D}([\vec{N}, \vec{M}]), \\ \{\mathcal{D}(\vec{N}), \mathcal{G}(\Lambda)\}_D &= -\mathcal{G}(N^a \partial_a \Lambda), \\ \{\mathcal{H}(N), \mathcal{G}(\Lambda)\}_D &= 0, \\ \{\mathcal{D}(\vec{N}), \mathcal{H}(N)\}_D &= -\mathcal{H}(\mathcal{L}_{\vec{N}} N), \\ \{\mathcal{H}(N), \mathcal{H}(M)\}_D &= \mathcal{D}(\vec{K}) - \mathcal{G}(K^b A_b), \end{aligned} \quad (8.14)$$

avec

$$\begin{aligned} [\Lambda_1, \Lambda_2]^X &= f_{YZ}^X \Lambda_1^Y \Lambda_2^Z & [\vec{N}, \vec{M}]^a &= N^b \partial_b M^a - M^b \partial_b N^a \\ \mathcal{L}_{\vec{N}} N &= N^a \partial_a N - N \partial_a N^a & K^b &= (N \partial_a M - M \partial_a N) R_X^a R_Y^b g^{XY} \end{aligned} \quad (8.15)$$

où  $f_{YZ}^X$  sont les constantes de structure de l'algèbre  $sl(2, \mathbb{C})$  (les  $A \in \{1, 2, 3\}$  sont des indices de boosts et les  $B \in \{4, 5, 6\} \sim \{1, 2, 3\}$  sont des indices de rotations) :

$$\begin{aligned} f_{A_1 A_2}^{A_3} &= 0, & f_{A_1 B_2}^{A_3} &= -\epsilon^{A_1 B_2 A_3}, & f_{B_1 B_2}^{A_3} &= 0, \\ f_{B_1 B_2}^{B_3} &= -\epsilon^{B_1 B_2 B_3}, & f_{A_1 B_2}^{B_3} &= 0, & f_{A_1 A_2}^{B_3} &= \epsilon^{A_1 A_2 B_3}. \end{aligned}$$

Ainsi, comme dans la section 1.1,  $\mathcal{G}$  génère les transformations de jauge  $SL(2, \mathbb{C})$  (au lieu de  $SU(2)$ ),  $\mathcal{D}$  génère les difféomorphismes spatiaux sur  $\Sigma$  et  $\mathcal{H}$  induit les difféomorphismes dans la direction temps i.e. les reparamétrisations du temps.

Cependant les relations de commutation entre la connexion  $A$  et la triade  $R, B$  changent. Plus précisément, la triade commutent toujours avec elle-même. Mais la connexion n'est plus conjuguée à la triade. De plus, la connexion ne commute plus avec elle-même et l'expression de son crochet de Dirac avec elle-même est assez

lourde (pour les formules explicites, le lecteur peut se référer à [17, 26, 27]). Bien entendu, puisque nous utilisons le crochet de Dirac, les variables canoniques initiales perdent leur rôle de variables préférées et nous sommes libres de choisir d'autres variables mieux adaptées pour décrire la théorie. Suivant [27], nous ne modifions pas la triade mais cherchons une nouvelle connexion  $\mathcal{A}$  satisfaisant les critères -naturels et nécessaires pour assurer une signification physique/géométrique à  $\mathcal{A}$ - suivants :

- $\mathcal{A}$  doit être une connexion de Lorentz i.e. se transformer correctement sous la loi de Gauss  $\mathcal{G}$  :

$$\{\mathcal{G}(\Lambda), \mathcal{A}_a^X\}_D = \partial_a \Lambda^X - [\Lambda, A_a]^X = \partial_a \Lambda^X - f_{YZ}^X \Lambda^Y A_a^Z. \quad (8.16)$$

- $\mathcal{A}$  doit être une 1-forme et donc se transformer correctement sous difféomorphisme spatiaux (sur  $\Sigma$ ) :

$$\{\mathcal{D}(\vec{N}), \mathcal{A}\}_D = \mathcal{A}_b^X \partial_a N^b - N^b \partial_a \mathcal{A}_b^X. \quad (8.17)$$

- On aimerait que  $\mathcal{A}$  soit “conjuguée” à la triade, cela permettrait également que les opérateurs aires  $aire_{\mathcal{S}} \sim \int_{\mathcal{S}} d^2x \sqrt{n_a n_b R_X^a R^{bX}}$  (où  $n_a$  est la normale à la surface  $\mathcal{S}$ ) soient diagonalisables. Cette condition s'écrit :

$$\{\mathcal{A}_a^X(x), R_Y^b(y)\}_D \propto \delta_a^b \delta^{(3)}(x, y). \quad (8.18)$$

On obtient une famille à deux paramètres de possibles connexion  $\mathcal{A}(\lambda, \mu)$  satisfaisant ces conditions [27]. Leur expression en fonction de  $A$  et de  $R$  est :

$$\begin{aligned} \mathcal{A}_a^X(\lambda, \mu) &= A_a^X + \frac{1}{2} \left( \left(1 + \frac{\lambda}{\gamma}\right) - \frac{1}{\gamma}(1 - \mu)\star \right) P_R \frac{1}{1 + \frac{1}{\gamma^2}} \left(1 - \frac{1}{\gamma}\star\right) [B_a, \mathcal{G}]^X \\ &+ (\lambda + \mu\star) (P_R \star A_a^X + \Theta_a^X(R)), \end{aligned} \quad (8.19)$$

avec

$$\Theta_a^X(R) = \Theta_a^X(\chi) = \left( -\frac{\epsilon^{ijk} \chi_j \partial_a \chi_k}{1 - \chi^2}, \frac{\partial_a \chi^i}{1 - \chi^2} \right). \quad (8.20)$$

Les propriétés de commutation de ces connexions avec la(les) triade(s) sont simples :

$$\{\mathcal{A}_a^X(\lambda, \mu), B_Y^b\}_D = \delta_a^b [((1 - \mu) - \lambda\star) P_B]_Y^X \quad (8.21)$$

$$\{\mathcal{A}_a^X(\lambda, \mu), P_B\}_D = \{\mathcal{A}_a^X(\lambda, \mu), \chi\}_D = 0. \quad (8.22)$$

Malgré cela, le crochet de Dirac de  $\mathcal{A}$  avec elle-même reste génériquement assez compliqué.

A partir de là, on obtiendrait, en utilisant comme observables de base les boucles de Wilson/réseaux de spin de la connexion  $\mathcal{A}(\lambda, \mu)$ , une famille de quantifications non-équivalentes. Ainsi, on peut calculer l'action d'un opérateur aire comme dans le cas de la *Loop Quantum Gravity* (partie I) sur une boucle de Wilson de  $\mathcal{A}(\lambda, \mu)$  dans la représentation ( $n \in \mathbb{N}, \rho \geq 0$ ) et on trouverait [17, 27] :

$$aire_{\mathcal{S}} \sim l_P^2 \sqrt{(\lambda^2 + (1 - \mu)^2) C(su(2)_{\chi}) - (1 - \mu)^2 C_1(sl(2, \mathbb{C})) + \lambda(1 - \mu) C_2(sl(2, \mathbb{C}))} \quad (8.23)$$

où  $C(su(2)_{\chi}) = \vec{J} \cdot \vec{J} = j(j+1)$  est le Casimir du groupe  $SU(2)_{\chi}$  (laissant le vecteur  $\chi$  invariant),  $C_1(sl(2, \mathbb{C})) = T^X T_X = \vec{J}^2 - \vec{K}^2 = n^2 - \rho^2$  et  $C_2(sl(2, \mathbb{C})) = (\star T)^X T_Y = \vec{J} \cdot \vec{K} = n\rho$  sont les deux Casimirs du groupe  $SL(2, \mathbb{C})$  (on note  $T^X$  les générateurs de  $SL(2, \mathbb{C})$  et le lecteur peut trouver des détails sur les représentations de  $SL(2, \mathbb{C})$  en appendice). Remarquons que cette formule d'aire est toujours bien définie grâce à la condition  $j \geq n$  sur la décomposition des représentations unitaires de  $SL(2, \mathbb{C})$  en représentations de  $SU(2)$ .

Il s'agit par conséquent de choisir une (ou des) quantifications “spéciales” distinguées par des propriétés supplémentaires imposées sur  $\mathcal{A}(\lambda, \mu)$  qui seraient “naturelles”. Deux cas particuliers se distinguent :



- D'une part, il existe une **unique connexion commutative**, qui correspond au choix  $(\lambda, \mu) = (-\gamma, 1)$  i.e.

$$\{\mathcal{A}(-\gamma, 1), \mathcal{A}(-\gamma, 1)\}_D = 0.$$

Notons cette connexion  $\mathbf{A}$ . Alors

$$\{\mathbf{A}_a^X, R_Y^b\}_D = \gamma \delta_a^b (P_R)_Y^X, \quad (8.24)$$

c'est-à-dire que seule la partie "rotation" de la connexion importe et est conjuguée à la triade "rotation"  $R$ . Le spectre de l'aire résultant ne prend en compte que la partie "rotation" du Casimir de  $SL(2, \mathbb{C})$  -la partie  $SU(2)_\chi$ - et reproduit exactement la formule de l'aire de la *Loop Quantum Gravity dépendant explicitement du paramètre d'Immirzi* :

$$\text{aire}_S \sim l_P^2 \gamma \sqrt{C(su(2)_\chi)}. \quad (8.25)$$

De plus, on peut expliciter les parties rotations et boosts de  $\mathbf{A}$  :

$$\begin{cases} P_R \mathbf{A} &= P_R(1 - \gamma \star)A - \gamma \Theta \\ P_B \mathbf{A} &= \star \Theta(\chi) = \star(\chi \wedge \partial \chi) \end{cases} \quad (8.26)$$

En particulier, la partie boost  $P_B \mathbf{A}$  n'est pas une variable indépendante et est fonction du champ de normale  $\chi$  (donc fonction de la triade). De plus étant donné que  $\Theta$  s'annule quand le champ  $\chi$  est constant<sup>1</sup>, dans la *time gauge*  $\chi = \chi_0$ ,  $\mathbf{A}$  se réduit simplement à la connexion  $SU(2)$  d'Ashtekar-Barbero à la base du formalisme réel de la *Loop Gravity*  $SU(2)$ .

Plus précisément,  $\mathbf{A}$  est l'unique connexion  $SL(2, \mathbb{C})$  extension de la connexion  $SU(2)$   $P_R(1 - \gamma \star)A$  (le lecteur peut trouver la démonstration dans les appendices de [17]). On a donc une pure connexion "rotation" ou *connexion d'espace*.

- D'autre part, il existe une **unique connexion d'espace-temps**, qui correspond au choix  $(\lambda, \mu) = (0, 0)$  i.e. qui se transforme bien sous l'action des difféomorphismes d'espace-temps ( $\mathcal{H}$  engendre bien les difféomorphismes dans la direction temps). En effet, c'est l'unique connexion qui coïncide avec la connexion originale  $A$  sur la surface des contraintes  $\mathcal{G}^X = \mathcal{H}_a = \mathcal{H} = 0$ . Notons cette connexion simplement  $\mathcal{A}$ . Le crochet de Dirac avec la triade est :

$$\{\mathcal{A}_a^X, B_Y^b\}_D = \delta_a^b (P_B)_Y^X, \quad (8.27)$$

c'est-à-dire que seule la partie "boost" de la connexion importe et est conjuguée à la triade "boost"  $B$ . Le spectre de l'aire résultant *ne dépend pas du paramètre d'Immirzi* et ne prend en compte que la partie *boost* du Casimir de  $SL(2, \mathbb{C})$  :

$$\text{aire}_S \sim l_P^2 \sqrt{C(su(2)_\chi) - C_1(sl(2, \mathbb{C}))}. \quad (8.28)$$

De plus, on peut expliciter la partie rotation boost de  $\mathcal{A}$ , qui est simplement égale à la spin-connexion fonction de la triade<sup>2</sup> :

$$P_R \mathcal{A}_a^X = \Gamma(R)_a^X = \frac{1}{2} f_{YZ}^W (P_R)^{XY} R_a^Z \partial_c R_W^c + \frac{1}{2} f_Y^{ZW} (R_a^T R_{Tb} (P_R)^{XY} + R_b^X R_a^Y - R_a^X R_b^Y) R_Z^c \partial_c R_W^b. \quad (8.29)$$

Cette contrainte est à comparer avec la contrainte de réalité (1.28) et (2.41) du formalisme self-dual de la *Loop Gravity* qui impose que la partie réelle de la connexion complexe est égale à la spin-connexion. Dans ce cas, on voit que nous travaillons avec une *pure connexion de boost*.

Maintenant, je vais procéder à la quantification de ces deux formalismes, qui se distinguent naturellement du cas général  $(\lambda, \mu)$  quelconque. Mais avant je tiens à remarquer que la connexion commutative  $\mathbf{A}$  ne se comporte

<sup>1</sup>Notons que  $P_B \Theta = 0$ .

<sup>2</sup>En fait, pour obtenir une expression de  $P_R \mathcal{A}$  reliée à la connexion de spin, il est nécessaire d'utiliser les contraintes de seconde classe, que l'on peut ajouter à n'importe quelle fonction des variables sans modifier les crochets de Dirac.

pas normalement sous les difféomorphismes d'espace-temps (sous la contrainte Hamiltonienne  $\mathcal{H}$ ), ainsi il risque d'avoir des problèmes d'interprétation géométrique de l'action de  $\mathcal{H}$  au niveau quantique (risque d'anomalie)! D'un autre côté, la connexion d'espace-temps  $\mathcal{A}$  n'est pas commutative (pour le crochet de Dirac) donc il sera plus compliqué de quantifier la théorie dans ce cas!

Les boucles de Wilson  $SL(2, \mathbb{C})$  et les réseaux de spin correspondants sont toujours des observables de la théorie. Néanmoins, l'aire dépend de la normale  $\chi$  comme on peut le voir sur les formules de "spectre" que j'ai données ci-dessus. Ainsi si nous voulons quantifier la théorie et obtenir des états quantiques de géométrie vecteurs propres des opérateurs aire comme dans le cadre usuel de la *Loop Quantum Gravity*, il faudra considérer comme fonctions d'onde des fonctionnelles invariantes dépendant à la fois de la connexion (de Lorentz),  $\mathbf{A}$  ou  $\mathcal{A}$ , et du champ de normales  $\chi$ . J'y consacrerai la section suivante, avant de procéder explicitement à la quantification des deux théories (classiquement équivalentes) ci-dessus qui nous mènera aux résultats principaux de cette partie :

- d'une part, à partir de  $\mathbf{A}$ , on re-dérivera la *Loop Quantum Gravity*  $SU(2)$  et on en donnera une formulation invariante sous le groupe de Lorentz,
- d'autre part, en utilisant  $\mathcal{A}$ , on obtiendra le cadre des modèles de mousse de spin (voir partie IV) avec des réseaux de spin *simples* décrivant la géométrie de l'hypersurface canonique  $\Sigma$  à travers son immersion dans l'espace-temps.

## 8.2 Outils : réseaux de spins projetés

On s'intéresse donc à des fonctions d'une connexion de Lorentz  $A \in sl(2, \mathbb{C})$  et du champ de normales  $\chi \in SL(2, \mathbb{C})/SU(2)$  ( $\chi$  peut être géométriquement/intuitivement compris comme la normale à l'hypersurface canonique  $\Sigma$ ). J'ai introduit le matériel que je décris dans cette section dans l'article [48], où le lecteur pourra trouver des preuves de toutes les affirmations non-démontrées ici. Dans ce cadre, une transformation de jauge  $SL(2, \mathbb{C})$  agit à la fois sur  $A$  et sur  $\chi$  et l'invariance de jauge d'une fonction  $f(A, \chi)$  se traduit par :

$$\forall g \in SL(2, \mathbb{C}) \quad f(A, \chi) = f(gA = gAg^{-1} + g\partial g^{-1}, g.\chi). \quad (8.30)$$

A l'aide d'une transformation de jauge, on remarque que l'on peut toujours tourner les vecteurs  $\chi(x)$  jusqu'à atteindre un même vecteur fixé  $\chi_0$  (par exemple  $(1, 0, 0, 0)$ ). Ainsi, une fonction invariante est entièrement déterminée par sa section à  $\chi = \chi_0$  constant (sur  $\Sigma$ )  $f_{\chi_0}(A) = f(A, \chi = \chi_0)$  :

$$f(A, \chi) = f_{\chi_0}(gA) \quad \text{pour tout } g \text{ tel que } g.\chi = \chi_0. \quad (8.31)$$

Remarquons que  $f_{\chi_0}(A)$  a une invariance résiduelle sous  $SU(2)_{\chi_0}$ . Ainsi, nous sommes en train d'étudier des fonctions d'une connexion de Lorentz, non pas invariantes (d'une manière effective) sous  $SL(2, \mathbb{C})$  mais simplement sous le groupe *compact*  $SU(2)$ ! Cette fixation de jauge est simplement la *time gauge* utilisée en *Loop Gravity*.

Dans ce cadre, je vais introduire des fonctions cylindriques, ne dépendant de la connexion et de  $\chi$  qu'à travers un nombre fini de variables. Tout comme les fonctionnelles cylindriques introduites précédemment, elles seront à support sur un graphe. Je munirai les fonctions à support sur un graphe donné d'une mesure et décrirai l'espace des fonctionnelles  $L^2$ . Une base sera donnée par des réseaux de spin "projetés". Puis j'étudierai l'espace total des fonctions cylindriques en le décrivant comme un espace de Fock et en discutant la question de raffiner le graphe-support. Enfin, j'expliquerai comment étendre le présent formalisme à n'importe quel groupe de Lie non-compact.

### 8.2.1 Fonctions Cylindriques et Réseaux de Spin Projetés

Fixons-nous un graphe orienté  $\Gamma$  dans cette section, avec  $E$  liens et  $V$  vertex. Une fonction cylindrique de  $A$  et de  $\chi$  dépendra des holonomies  $U_1, \dots, U_E$  de  $A$  le long des liens de  $\Gamma$  et des valeurs  $\chi_1, \dots, \chi_V$  de  $\chi$  aux vertex du graphe. Une transformation de jauge agissant sur les holonomies à leurs extrémités, l'invariance de jauge d'une fonction cylindrique s'écrit :

$$\forall \{k_v\} \in SL(2, \mathbb{C})^{\otimes V}, \quad \phi(U_1, U_2, \dots, U_E, \chi_1, \dots, \chi_V) = \phi(k_{s(1)}U_1k_{t(1)}^{-1}, \dots, k_{s(E)}U_Ek_{t(E)}^{-1}, k_1.\chi_1, \dots, k_V.\chi_V). \quad (8.32)$$

Grâce aux nouvelles variables  $\chi_v$ , bien que la fonctionnelle  $\phi$  soit invariante sous  $\mathrm{SL}(2, \mathbb{C})^V$ , la symétrie de jauge effective est compacte. En effet, à  $\chi$  fixé,  $\phi$  n'est invariante que sous  $\times_{v=1}^V \mathrm{SU}(2)_{\chi_i}$ . Plus précisément, nous pouvons "fixer de jauge" en tournant  $\chi$  sur  $\chi_1, \dots, \chi_V = \chi_0$ , comme fait sur une fonction générique. Cela définit la fonction

$$\phi_{\chi_0}(U_1, U_2, \dots, U_E) = \phi(U_1, U_2, \dots, U_E, \chi_1 = \chi_0, \dots, \chi_V = \chi_0)$$

dont l'invariance de jauge est réduite à  $(\mathrm{SU}(2)_{\chi_0})^V$ .

Physiquement, le plongement de  $\Sigma$  dans l'espace-temps  $\mathcal{M}$  est défini par le champ  $\chi$ . Ici, nous avons retenu qu'un nombre fini de valeurs  $\chi_1, \dots, \chi_V$  et par conséquent, du point de vue de la fonction cylindrique, le plongement de  $\Sigma$  n'est défini qu'en ce nombre fini de points et est laissé flou partout ailleurs :  $\Sigma$ , vu par la fonction cylindrique, n'est défini qu'en un nombre fini de points... En ces points, la normale  $\chi_v$  est fixée et donc la symétrie réduite de  $\mathrm{SL}(2, \mathbb{C})$  à  $\mathrm{SU}(2)_{\chi_v}$ .

Puisque la symétrie de jauge effective est compacte, une mesure naturelle pour intégrer les fonctions cylindriques invariantes est la mesure de Haar sur  $\mathrm{SL}(2, \mathbb{C})$ . Plus précisément, on définit la mesure :

$$\mu(\phi) = \int_{\mathrm{SL}(2, \mathbb{C})^E} \prod_e dg_e \phi(g_1, \dots, g_E, \chi_1, \chi_2, \dots, \chi_V) = \int_{\mathrm{SL}(2, \mathbb{C})^E} \prod_e dg_e \phi_{\chi_0}(g_1, \dots, g_E), \quad (8.33)$$

et le produit scalaire :

$$\begin{aligned} \langle \phi | \psi \rangle &= \int_{\mathrm{SL}(2, \mathbb{C})^E} \prod_i dg_i \bar{\phi}(g_1, \dots, g_E, \chi_1, \chi_2, \dots, \chi_V) \psi(g_1, \dots, g_E, \chi_1, \chi_2, \dots, \chi_V) \\ &= \int_{\mathrm{SL}(2, \mathbb{C})^E} \prod_i dg_i \bar{\phi}_{\chi_0}(g_1, \dots, g_E) \psi_{\chi_0}(g_1, \dots, g_E). \end{aligned} \quad (8.34)$$

Il est facile de vérifier que ces quantités sont bien définies pour des fonctionnelles invariantes de jauge. On peut alors considérer l'espace des fonctions  $L^2$  pour cette mesure.

Avant d'étudier la structure de cet espace, remarquons qu'il sera toujours possible de regarder des observables invariantes de jauge et fonction uniquement de la connexion sur cet espace d'Hilbert. En effet, pour  $\mathcal{O}(U_1, \dots, U_E)$  invariantes de jauge (fonctions cylindriques usuelles de la connexion), on peut considérer les éléments de matrices

$$\langle \phi | \mathcal{O} | \psi \rangle = \int_{\mathrm{SO}(3,1)^E} \prod_i dg_i \bar{\phi}(g_1, \dots, g_E, \chi_1, \dots, \chi_V) \mathcal{O}(g_1, \dots, g_E) \psi(g_1, \dots, g_E, \chi_1, \dots, \chi_V), \quad (8.35)$$

qui ne dépendent pas des  $\chi$  et sont bien définis pour  $\mathcal{O}$  borné.

Il est facile d'exhiber une base orthonormale de l'espace  $L^2$ , que nous noterons  $H_\Gamma$ . Elle sera donnée par des réseaux de spin "projetés". Leur structure est très similaire aux réseaux de spin décrit précédemment. En effet, puisque la symétrie de jauge (effective) est réduite à  $\mathrm{SU}(2)$ , je vais attacher des entrelaceurs  $\mathrm{SU}(2)$  aux vertex au lieu d'entrelaceurs  $\mathrm{SL}(2, \mathbb{C})$  comme on s'attendrait pour des réseaux de spin  $\mathrm{SL}(2, \mathbb{C})$ . D'où l'appellation "projeté" puisque la symétrie de jauge est projetée de  $\mathrm{SL}(2, \mathbb{C})$  à  $\mathrm{SU}(2)_\chi$ .

Explicitement, le procédure normale pour construire un réseau de spin est d'assigner une représentation  $\mathcal{I}_i$  de  $\mathrm{SL}(2, \mathbb{C})$  à chaque lien  $e_i$  du graphe  $\Gamma$ , puis de choisir un  $\mathrm{SL}(2, \mathbb{C})$ -entrelaceur  $I_v$  pour chaque vertex  $v$  du graphe et de construire la fonctionnelle réseau de spin en contractant les holonomies  $U_i[A]$  (le long des liens  $e_i$ ) dans la représentation  $\mathcal{I}_i$  avec les entrelaceurs pour obtenir un scalaire :

$$\phi(A) = \bigotimes_v I_v \bigotimes_i D^{\mathcal{I}_i}(U_i). \quad (8.36)$$

Dans notre cas, on choisit en plus une représentation  $j_i^{(v)}$  de  $\mathrm{SU}(2)$  pour chaque lien  $e_i$  du graphe -plus précisément deux par lien, un pour chaque vertex aux extrémités- et un  $\mathrm{SU}(2)$ -entrelaceur  $i_v$  entrelaçant les représentations autour de chaque vertex  $v$ . Pour coller les holonomies en utilisant ces entrelaceurs, on va les projeter au niveau des vertex.

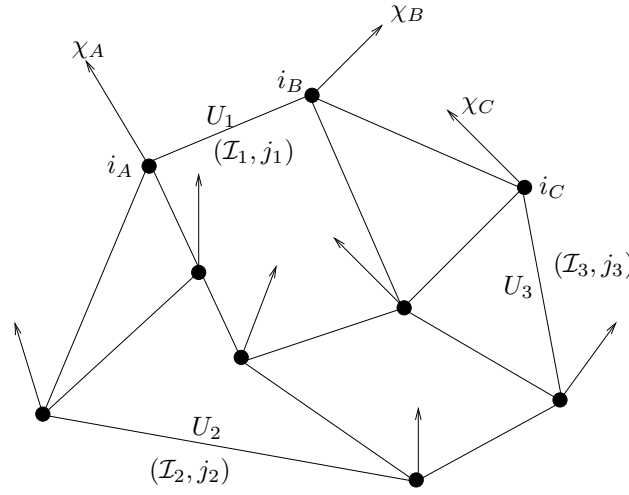


FIG. 8.1 – Un réseau de spin projeté, fonctionnelle des holonomies  $U_i$  et des normales  $\chi$  : les liens sont labellés par les couples de représentations  $(\mathcal{I}, j)$  de  $SL(2, \mathbb{C})$  et  $SU(2)$  et les vertex par des entrelacements  $SU(2)$ .

Pour être plus explicite, notons  $R^{\mathcal{I}}$  l'espace d'Hilbert de la représentation  $\mathcal{I}$  de  $SL(2, \mathbb{C})$  et  $V^j$  l'espace d'Hilbert de la représentation  $j$  de  $SU(2)$ . Les représentations unitaires irréductibles de  $SL(2, \mathbb{C})$  sont de dimension infinie et labellée par un couple  $(n \in \mathbb{N}, \rho \geq 0)$  (voir en appendice pour plus de détails). Alors on peut décomposer  $R^{(n, \rho)}$  en représentations de  $SU(2)$ . Pour cela, choisissons un sous-groupe  $SU(2)$  particulier de  $SL(2, \mathbb{C})$  i.e. choisissons une normale (temps)  $x \in SL(2, \mathbb{C})/SU(2)$  et regardons le sous-groupe  $SU(2)_x$  des transformations laissant le vecteur  $x$  invariant. Alors :

$$R^{(n, \rho)} = \bigoplus_{j \geq n} V_{(x)}^j. \quad (8.37)$$

Appelons  $P_{(x)}^j$  le projecteur orthogonal de  $R^{(n, \rho)}$  sur  $V_{(x)}^j$ . Il s'exprime

$$P_{(x)}^j = \Delta_j \int_{SU(2)_x} dg \bar{\zeta}^j(g) D^{(n, \rho)}(g), \quad (8.38)$$

où  $\Delta_j = (2j + 1)$  est la dimension de représentation  $j$ , l'intégration sur le sous-groupe  $SU(2)_x$ ,  $D^{(n, \rho)}(g)$  la matrice de  $g$  dans la représentation  $(n, \rho)$  et  $\zeta^j$  le caractère de la représentation  $j$ .

Pour construire le réseau de spin projeté, on insère ce projecteur aux deux extrémités de chacun des liens et la fonctionnelle a la structure suivante autour d'un certain noeud  $v$  (trivalent pour simplifier les notations) :

$$\phi(U_1, U_2, U_3, \dots, \chi_v, \dots) = i_v^{j_1 j_2 j_3} \prod_{i=1}^3 |\mathcal{I}_i \chi_v j_i^{(v)} m_i\rangle \langle \mathcal{I}_i \chi_v j_i^{(v)} m_i | D^{\mathcal{I}_i}(U_i) \dots \text{autres vertex}, \quad (8.39)$$

où  $|\mathcal{I} x j m\rangle$  est la base de  $V_{(x)}^j \hookrightarrow R^{\mathcal{I}}$ , avec  $m$  allant de  $-j$  à  $j$ , et où on somme sur les vecteurs  $m_i$ . En quelques mots, on trace sur  $V_{(x)}^j$  au lieu de  $R^{\mathcal{I}}$  au niveau des vertex.

Il est facile de vérifier que ces nouveaux réseaux de spin satisfont l'invariance de jauge (8.32). Et un calcul simple permet de montrer qu'une fois choisie une base orthonormale d'entrelacements de  $SU(2)$ , les réseaux de spin projetés résultants forment une base de l'espace  $H_\Gamma$  des fonctionnelles cylindriques  $L^2$  de  $A$  et  $\chi$  à support sur le graphe  $\Gamma$  i.e. le produit scalaire de deux réseaux de spin est une fonction delta en les représentations  $\mathcal{I}$  et  $j$  et en les  $SU(2)$ -entrelacements.

Insistons sur le fait qu'a priori il y a deux représentations de  $SU(2)$  différentes pour chaque lien, liées à ses deux extrémités. Quand on s'occupera de raffiner les réseaux de spin projetés, on sera réduit naturellement à

considérer que les cas où les deux représentations coïncident et donc que chaque lien n'est labellé que par une seule représentation de  $SU(2)$ .

Il est intéressant de remarquer que les réseaux de spin projetés sont intimement liés aux réseaux de spin usuels  $SU(2)$ . En effet, considérons la restriction d'un réseau de spin projeté, dans la fixation de jauge  $\forall v, \chi_v = \chi_0$ , au sous-groupe  $SU(2)^E$  (au lieu de  $SL(2, \mathbb{C})^E$ ). Alors l'invariance de jauge résiduelle signifie que cette restriction est justement une fonctionnelle cylindrique sur  $SU(2)$  invariante sous des transformations  $SU(2)$ . Et on obtient en fait un réseau de spin  $SU(2)$ , avec des liens labellés par les représentations de  $SU(2)$  données par le réseau de spin projeté (en fait, il faut que les deux représentations  $SU(2)$  associées à chaque lien coïncident sinon la fonctionnelle restreinte est simplement nulle). Ce réseau de spin  $SU(2)$  ne dépend plus des représentations  $\mathcal{I}_e = (n_e, \rho_e)$  de  $SL(2, \mathbb{C})$  attachées aux liens, mais seulement des représentations  $j_e$  de  $SU(2)$ . De ce point de vue, les  $j_e$  suffisent à décrire la géométrie intrinsèque 3d de l'hypersurface. Et les  $(n_e, \rho_e)$  décrivent la manière dont l'hypersurface change sous des transformations de Lorentz infinitésimal i.e. le plongement de l'hypersurface dans l'espace-temps environnant. En fait, dans les chapitres suivants, nous verrons que dûes aux conditions imposées sur  $\mathbf{A}$  et sur  $\mathcal{A}$ , nous obtiendrons en fait deux formulations complémentaires : avec  $\mathbf{A}$ , les états décriront la géométrie intrinsèque de  $\Sigma$  tandis qu'avec  $\mathcal{A}$ , les états décriront le plongement de  $\Sigma$  dans l'espace-temps.

### 8.2.2 Raffiner les fonctions cylindriques

Tout comme pour l'étude des réseaux de spin exposée dans la partie II, dans l'étude des réseaux de spin projetés, j'ai commencé par la construction des espaces d'Hilbert  $H_\Gamma$  des fonctions cylindriques  $L^2$  à support sur un graphe donné  $\Gamma$ . Maintenant, je vais m'intéresser à la structure de l'espace total des fonctionnelles cylindriques c'est-à-dire à la somme sur les graphes de tous les  $H_\Gamma$ .

Tout d'abord, nous utilisons simplement la mesure de Haar sur  $SL(2, \mathbb{C})$  et l'espace  $H_\Gamma$  est l'espace des fonctions  $L^2$  sur  $SL(2, \mathbb{C})^E$  invariantes sous le groupe compact  $SU(2)^V$ . Ainsi, comme le groupe d'invariance est compact, il suffit de prendre des fonctions quelconques sur  $SL(2, \mathbb{C})^E$  et d'implémenter l'invariance sous  $SU(2)$  en intégrant partiellement les fonctions. Il est alors très facile de munir l'espace total  $H = \bigoplus_\Gamma H_\Gamma$  d'une structure d'espace de Fock en écrivant des opérateurs de création et d'annihilation.

Par exemple, considérons deux graphes  $\Gamma_1 \subset \Gamma$  et notons  $\Gamma' = \Gamma \setminus \Gamma_1$ . Choisissons maintenant une fonction  $\varphi \in H_{\Gamma_1}$ . On définit l'opérateur d'annihilation agissant sur  $H_\Gamma$

$$\forall f \in H_\Gamma (a_\varphi f)(g_{f \in \Gamma'}, x_{w \in \Gamma'}) = \int \prod_{e \in \Gamma_1} dg_e \bar{\varphi}(g_{e \in \Gamma_1}, x_{v \in \Gamma_1}) f(g_{e \in \Gamma_1}, g_{f \notin \Gamma_1}, x_{v \in \Gamma}) \quad (8.40)$$

où on prend les mêmes variables  $x_{v \in \Gamma_1}$  pour  $\varphi$  et  $f$ .  $a_\varphi$  envoie bien  $H_\Gamma$  sur  $H_{\Gamma'}$ .

De même, on peut rajouter des liens à un graphe  $\Gamma$  en multipliant les fonctions de  $H_\Gamma$  par des fonctions cylindriques  $L^2$  à support seulement sur les liens à rajouter. On pourrait également coller deux graphes avec des liens en commun si les fonctions cylindriques définies sur les deux graphes sont à support compact.

Un autre point intéressant est la possibilité de *raffiner* les fonctionnelles cylindriques projetées. En effet, physiquement, la fonctionnelle cylindrique ne connaît qu'un nombre fini de points de  $\Sigma$  : les vertex du graphe, où on connaît explicitement la normale à l'hypersurface. On peut donc se poser la question de donner plus d'informations à la fonctionnelle cylindrique pour qu'elle en connaisse plus sur la géométrie de  $\Sigma$ . En fait, lors de la quantification, les fonctionnelles cylindriques deviendront les fonctions d'onde de la géométrie de  $\Sigma$  et l'état quantique de  $\Sigma$  ne sera défini qu'à travers l'information lue à partir de la fonctionnelle cylindrique.

Rajouter l'information de la normale à un point  $x$  de  $\Sigma$  revient à projeter la fonctionnelle à ce point de  $SL(2, \mathbb{C})$  sur  $SU(2)_{\chi(x)}$ . On s'intéresse donc aux vertex bivalents : pour raffiner une fonctionnelle cylindrique, on rajoute des vertex bivalents le long des liens. Dans la limite, on aura projeté la fonctionnelle en tout point. Pour définir une telle limite, on aimerait définir des suites de fonctionnelles cylindriques cohérentes à support sur des graphes de plus en plus fins.

Commençons donc par définir la notion de "cohérent", c'est-à-dire comment rajouter/enlever un vertex bivalent à une fonctionnelle cylindrique. Pour cela, concentrons-nous tout d'abord sur la relation entre l'espace

des fonctions ne dépendant que d'un lien et l'espace de celles où on rajoute un vertex au milieu du lien :

$$\begin{aligned} f(g, x, y) &= f(kgh^{-1}, kx, hy) \\ &\updownarrow ? \\ \phi(g_1, g_2, x, y, z) &= \phi(ag_1c^{-1}, cg_2b^{-1}, ax, by, cz). \end{aligned} \quad (8.41)$$

L'opération la plus naturelle entre ces deux ensembles est de commencer avec une fonction  $f$  et de définir une fonction  $\phi$  en contractant les deux éléments du groupe :

$$f \rightarrow \phi(g_1, g_2, x, y, z) = f(g = g_1g_2, x, y). \quad (8.42)$$

On peut alors définir une opération inverse pour aller de  $\phi$  à  $f$  en intégrant sur la valeur  $z$  de la normale au point supplémentaire. Plus précisément,  $\int dz \phi(g_1, g_2, x, y, z)$  ne dépend de  $g_1$  et  $g_2$  qu'à travers le produit  $g = g_1g_2$ . Ainsi, on peut exprimer la même intégrale par un produit de convolution :

$$\phi \rightarrow f(g, x, y) = \int_{SL(2, \mathbb{C})} d\tilde{g} \phi(\tilde{g}, \tilde{g}^{-1}g, x, y, z) = \int_{\mathcal{H}_+} dz \phi(g_1, g_2, x, y, z). \quad (8.43)$$

Néanmoins, cela n'est pas vraiment ce que nous recherchons, car la fonction  $\phi$  définie à partir de  $f$  ne dépend pas de la variable normale  $z$ . Ce que nous voulons c'est rajouter l'information  $z$  donc nous cherchons une nouvelle fonction  $\phi$  dépendant de  $z$ .

Pour avoir une idée plus précise de la procédure, il est plus simple de regarder les réseaux de spin projetés. Concentrons-nous de nouveau sur un lien particulier du réseau. Trois variables vivent sur ce lien : un élément du groupe  $g$  et deux normales  $x$  et  $y$  aux deux vertex extrémités. Le réseau de spin dépend alors d'une représentation  $\mathcal{I}$  de  $SL(2, \mathbb{C})$  et de deux représentations  $j_1, j_2$  de  $SU(2)$  et la fonctionnelle correspondante s'écrit :

$$f(g, x, y, \dots) = \langle \mathcal{I}xj_1m_1 | D^{\mathcal{I}}(g) | \mathcal{I}yj_2m_2 \rangle \dots \quad (8.44)$$

On peut *créer un vertex bivalent* en insérant au milieu de ce lien l'identité

$$\forall j, \text{Id}_{R^z} = \frac{1}{\Delta_j} \int_{\mathcal{H}_+} dz P_{(z)}^j. \quad (8.45)$$

Cela n'est possible que si  $j_1 = j_2 = j$ . En effet, on veut imposer une invariance par  $SU(2)$  au niveau du nouveau vertex et, pour cela, il faut que cela soit la même représentation de  $SU(2)$  de chaque côté du vertex bivalent. Ainsi, nous sommes naturellement réduit à une seule représentation  $j$  de  $SU(2)$  pour chaque lien du graphe! Maintenant, on considère le nouvelle fonctionnelle

$$\phi(g_1, g_2, x, y, z, \dots) = \frac{1}{\Delta_j} \langle \mathcal{I}xj_1m_1 | D^{\mathcal{I}}(g_1) P_{(z)}^j D^{\mathcal{I}}(g_2) | \mathcal{I}yj_2m_2 \rangle \dots \quad (8.46)$$

où on a inséré le projecteur  $P_{(z)}^j$  sur la représentation  $j$  de  $SU(2)_z$ . Si nous appliquons l'application (8.43) et que nous intégrons  $\phi$  sur  $z$ , on retrouve la fonction  $f$  de départ.

Le "problème" avec cette procédure est que cette *projection* n'est pas compatible avec le produit scalaire, c'est-à-dire que les normes  $L^2$  de  $f$  et de  $\phi$  ne sont pas égales. En fait, pour une fonction  $\phi$   $L^2$  arbitraire,  $f$  n'est pas forcément  $L^2$ ... Néanmoins, si  $\phi$  était (grosso modo)  $L^4$ , alors  $f$  est  $L^2$ . On est ainsi amené à travailler avec des fonctions dans  $L^2 \cap L^4 \cap L^6 \cap \dots$ , par exemple des fonctions à support compact (en fait à support compact dans l'espace de Fourier, où on exprime les fonctionnelles comme fonctions des représentations  $\mathcal{I} = (n \in \mathbb{N}, \rho \in \mathbb{R})$  de  $SL(2, \mathbb{C})$  au lieu de fonctions d'éléments du groupe). Il existe alors des *suites cohérentes* de fonctionnelles cylindriques de plus en plus raffinées! Malheureusement, je ne sais pas si l'ensemble de ces suites peut être muni d'une structure d'espace d'Hilbert. Le lecteur pourra cependant trouver une discussion plus détaillée de cette question dans [48].

### 8.2.3 Généralisation à un groupe quelconque

Commençons par rappeler quelques faits de théorie des groupes et introduisons le sous-groupe compact maximal d'un groupe donné  $G$  et rappelons ses propriétés. On considère donc un groupe connexe linéaire réductif  $G$  i.e. un groupe connexe fermé de matrices réelles ou complexes stable sous transconjugaison. On note  $\mathcal{G}$  son algèbre de Lie. On définit l'automorphisme  $\Theta$  de  $G$  consistant à prendre l'inverse du transconjugué. On a  $\Theta^2 = 1$  et on appelle  $\Theta$  l'*involution de Cartan*. Alors

$$K = \{g \in G \mid \Theta g = g\} \quad (8.47)$$

est connexe et compact et est un sous-groupe compact maximal de  $G$ . Par exemple, c'est  $SO(3)$  dans le cas de  $G = SO(3, 1)$  et c'est  $SU(2)$  dans le cas de  $G = SL(2, \mathbb{C})$ . La différentielle  $\theta$  de  $\Theta$  à l'identité 1 est un automorphisme de  $\mathcal{G}$ , donnée par l'opposé de la transconjugaison. Puisque  $\theta^2 = 1$ , on peut définir la *décomposition de Cartan* de  $\mathcal{G}$

$$\mathcal{G} = p \oplus m, \quad (8.48)$$

où  $p$  and  $m$  sont les espaces propres de correspondant aux valeurs propres 1 et -1 de  $\theta$ .  $p$  consiste des éléments anti-Hermitiens de  $\mathcal{G}$  et  $m$  des éléments Hermitiens. Et on obtient facilement que :

$$\begin{aligned} [p, p] &\subset p \\ [p, m] &\subset m \\ [m, m] &\subset p \end{aligned} \quad (8.49)$$

La décomposition de Cartan de  $G$  est donnée par l'application :

$$\begin{aligned} K \times m &\rightarrow G \\ (k, u) &\rightarrow k \exp(u) \end{aligned} \quad (8.50)$$

C'est un difféomorphisme, qui identifie le quotient  $X = G/K$  du groupe  $G$  par l'action à gauche de  $K$  à l'espace  $m$ .

Une *fonction cylindrique projetée* est définie à support sur un graphe  $\Gamma$  -avec  $E$  liens orientés et  $V$  vertex- et dépend d'un élément du groupe pour chaque lien et d'une variable  $x \in G/K$  pour chaque vertex. De plus, on demande l'invariance de jauge sous  $G$  :

$$\forall k_i \in G, \phi(g_1, g_2, \dots, g_E, x_1, \dots, x_V) = \phi(k_{s(1)}g_1k_{t(1)}^{-1}, \dots, k_{s(E)}g_Ek_{t(E)}^{-1}, k_1.x_1, \dots, k_V.x_V). \quad (8.51)$$

Une telle fonction peut être construite à partir d'une fonction quelconque sur  $G^{\otimes E}$  en intégrant (à gauche) sur la partie  $K$  des  $E$  éléments du groupe. Une fixation de jauge correspond à fixer toutes les variables  $x$  à des valeurs arbitraires et le cas particulier  $\chi = \chi_0$  revient à fixer tous les  $x$  à la classe d'équivalence [Id] de l'identité i.e. le sous-groupe  $K$  lui-même. La mesure que j'introduis est la mesure de Haar  $dg^{\otimes E}$ . L'espace d'Hilbert résultant est l'espace des fonctions invariantes  $L^2$ . Ainsi, nous avons "évit " les probl mes auxquels nous sommes confront s dans l' tude des espaces des orbites pour les groupes non-compacts de la partie II.

On g n ralise la construction des r seaux de spin projet s. Pour cela, regardons comment une repr sentation de  $G$  se d compose en repr sentations de  $K$ . Soit donc une repr sentation  $\pi$  de  $G$  d finie sur un espace d'Hilbert  $V$ . Quand  $K$  agit par des op rateurs unitaires, alors on peut d composer  $\pi$  en repr sentations irr ductibles de  $K$  (voir chapitre 8 de [69]) :

$$\pi = \sum_{\tau \in \hat{K}} n_\tau \tau \quad (8.52)$$

o   $\hat{K}$  est l'ensemble des classes d' quivalence (unitaire) de repr sentations irr ductibles de  $K$  et  $n_\tau \in \mathbb{N} \cup \{+\infty\}$  est la multiplicit  de chaque repr sentation. De plus, si  $\pi$  est une repr sentation irr ductible unitaire, alors toutes les multiplicit s  $n_\tau$  sont finies et satisfont  $n_\tau \leq \dim \tau$ .

On peut  galement introduire la notion de vecteurs  $K$ -finis qui sont les vecteurs  $v$  tels que  $\pi(K)v$  g n re un espace de dimension finie. Pour des repr sentations unitaires (ou plus g n ralement admissibles), tous les

vecteurs  $K$ -finis sont des vecteurs  $C^\infty$ , l'espace des vecteurs  $K$ -finis est stable sous  $\pi(\mathcal{G})$  et tous les éléments de matrices  $g \rightarrow (\pi(g)u, v)$ , avec  $u$   $K$ -finis, sont des fonctions analytiques sur  $G$ .

On peut alors introduire les réseaux de spin projetés. On choisit  $E$  éléments du groupe  $g_1, \dots, g_E$  sur les liens du graphe et  $V$  éléments  $x_1, \dots, x_V$  sur le quotient  $G/K$ . On choisit aussi  $E$  représentations  $\mathcal{I}$  (unitaires irréductibles) de  $G$ , et  $2E$  représentations de  $K$ . On suit exactement la même construction que dans le cas  $SL(2, \mathbb{C})$  choisissant  $V$   $K$ -entrelaceurs et les contractant avec les éléments de matrice de  $\pi^{\mathcal{I}_i}(g_i)$  à l'aide d'une base de l'espace d'Hilbert de la représentation du sous-groupe  $K$  (en fait du sous-groupe  $K_{(x)}$  stabilisateur de  $x$ ). Finalement, grâce à la  $K$ -finitude des vecteurs utilisés dans la construction, la fonctionnelle résultante est parfaitement bien définie.

### 8.3 Quantification : retrouver la *Loop Gravity* $SU(2)$

On aimerait quantifier canoniquement la relativité générale en utilisant les boucles de Wilson de la connexion de Lorentz  $\mathbf{A}$ , qui semble n'être qu'une simple extension à  $SL(2, \mathbb{C})$  de la connexion  $SU(2)$  d'Ashtekar-Barbero. Cela sera confirmé au niveau de la théorie quantique. En effet, je vais montrer que l'on retrouve exactement comme espace des états quantiques le même espace d'Hilbert des réseaux de spin  $SU(2)$  qu'en *Loop Quantum Gravity*. En fait, on aura une extension à  $SL(2, \mathbb{C})$  de ces structures i.e. on pourra agir sur les réseaux de spin  $SU(2)$  avec des boosts et donc explorer la théorie en dehors de la fixation de jauge  $\chi(x) = \chi_0 = (1, 0, 0, 0)$  (*time gauge*). Également, on retrouvera le même spectre de l'aire discret et dépendant du paramètre d'Immirzi. On aura ainsi complètement dérivé le formalisme usuel de la *Loop Quantum Gravity* à partir du nouveau formalisme canonique covariant. Cela permet d'avoir un nouveau point de vue "covariant" sur la *Loop Quantum Gravity*, et dans ce cadre, il est utile de se rappeler que la connexion  $\mathbf{A}$  ne se transforme pas normalement sous les difféomorphismes d'espace-temps et que cela peut induire un problème d'interprétation géométrique (dans l'espace-temps) de la contrainte Hamiltonienne  $\mathcal{H}$ .

Ce problème semble être relié à la remarque de Samuel [25] comme quoi les boucles de Wilson de la connexion d'Ashtekar-Barbero n'ont pas d'interprétation dans l'espace-temps. Ainsi, modifier le plongement de l'hypersurface dans l'espace-temps change la valeur de cette boucle de Wilson. Néanmoins, cette difficulté disparaît complètement dans le nouveau formalisme où nous tenons compte de plongement de l'hypersurface dans l'espace-temps grâce au champ de normales  $\chi$ . Ainsi la connexion  $\mathbf{A}$  dépend explicitement du plongement de  $\Sigma$  dans  $\mathcal{M}$  à cause de la contrainte (8.26) sur  $P_R \mathbf{A}$ . Par contre, les boucles de Wilson de  $\mathbf{A}$  sont des objets (d'espace-temps) bien définis invariants de jauge  $SL(2, \mathbb{C})$  donc invariants sous changement de  $\chi$ . Le problème réel se situe alors au niveau de la dynamique de  $\mathbf{A}$  dans l'espace-temps i.e. au niveau de la contrainte Hamiltonienne  $\mathcal{H}$ . Reste que la théorie est toujours invariante sous difféomorphismes de l'espace-temps car l'algèbre des contraintes n'est pas modifiée par le choix de la connexion ! Par contre, choisir une connexion particulière revient à choisir une représentation particulière des difféomorphismes. Peut-être que certaines représentations posent des problèmes lors de la quantification. Également on préfère généralement la représentation naturelle des difféomorphismes (de l'espace-temps), ce qui permet de conserver l'interprétation géométrique des quantités. Ainsi, il est naturel de préférer la théorie quantique basée sur la connexion d'espace-temps  $\mathcal{A}$ , que je décrirai dans la prochaine section, à la présente quantification reproduisant la *Loop Quantum Gravity* usuelle.

Considérons une boucle de Wilson de la connexion de Lorentz  $\mathbf{A}$

$$U_\alpha[\mathbf{A}] = \mathcal{P} \exp \left( \int_\alpha dx^i \mathbf{A}_i^X T_X \right), \quad (8.53)$$

où  $\alpha$  est une boucle orientée (et  $T_X$  les générateurs de  $SL(2, \mathbb{C})$ ). C'est l'objet invariant de jauge de base. On regarde habituellement les représentations principales unitaires irréductibles  $R^{(n, \rho)}$  de  $SL(2, \mathbb{C})$ , car ce sont celles intervenant dans la formule de Plancherel (voir en appendice pour plus de détails). Mais comme remarqué précédemment, ces observables ne nous suffisent pas dans notre cas car ces fonctionnelles ne sont pas des vecteurs propres de l'opérateur aire et par conséquent n'ont pas d'interprétation physique/géométrique simple en tant que fonctions d'onde de la géométrie. En effet, considérons une petite surface intersectant la boucle en un point  $x$ , pour calculer l'opérateur aire, il faut décomposer la représentation  $R^{(n, \rho)}$  de  $SL(2, \mathbb{C})$  en les représentations  $V_{\chi(x)}^j$  du sous-groupe  $SU(2)_{\chi(x)}$  (laissant le vecteur  $\chi(x)$  invariant). D'après la formule (8.25) donnant l'action



de l'opérateur aire, chaque sous-espace  $V^j$  donnera une contribution  $\gamma\sqrt{j(j+1)}$  et l'opérateur aire total ne sera pas une simple multiplication : l'opérateur aire n'est pas diagonal sur les boucles de Wilson (ou réseaux de spin  $SL(2, \mathbb{C})$ ).

Pour obtenir des vecteurs propres, nous avons besoin de pouvoir sélectionner un sous-espace particulier  $V_{\chi(x)}^j$ . Puisque ce sous-espace dépend de  $\chi$ , nous devons considérer des fonctionnelles invariantes dépendant à la fois de  $\mathbf{A}$  et du champ  $\chi$ . Cela justifie l'étude de la section précédente. En effet, les réseaux de spin projetés construits projettent bien la représentation  $R^{(n, \rho)}$  de  $SL(2, \mathbb{C})$  sur des représentations  $V_{\chi(x)}^j$  de  $SU(2)$  : un réseau de spin donné est un vecteur propre des opérateurs aires d'une surface intersectant son graphe-support à un/des vertex. Si l'on veut considérer une surface n'intersectant le graphe-support à un vertex, il faut raffiner le réseau de spin en introduisant un vertex bivalent sur le graphe au niveau du point d'intersection. Dans la limite d'une fonctionnelle infiniment raffinée, on aurait un vecteur propre de tous les opérateurs aire.

Dans ce cadre, on a des vecteurs propres de l'aire et on peut légitimement écrire le spectre des aires :

$$\text{aires} \sim \gamma\sqrt{C(SU(2)_\chi)} \sim \gamma\sqrt{j(j+1)}, \quad (8.54)$$

qui reproduit bien le spectre de l'aire de la *Loop Quantum Gravity*  $SU(2)$ !

Les représentations  $(n, \rho)$  de  $SL(2, \mathbb{C})$  n'interviennent pas dans cette formule. On aimerait dire qu'elles décrivent simplement la manière dont les réseaux de spin projetés se comportent sous des boosts de Lorentz et donc décrivent le plongement de l'hypersurface  $\Sigma$  dans l'espace-temps.

A ce niveau, on aurait tendance à penser que le travail est fini. Cependant, il faut décrire la structure d'espace d'Hilbert de l'espace des états (ici : les réseaux de spin projetés). On aimerait prendre simplement la mesure de Haar naturelle comme utilisée dans la section précédente. Mais, en fait, il faut tenir compte des contraintes de seconde classe, qui se manifestent par les contraintes sur la connexion  $\mathbf{A}$ . En effet,  $P_B \mathbf{A}$  est fonction de  $\chi$ , et cela réduit de 18 à 9 le nombre de composantes indépendantes de la connexion  $\mathbf{A}$ . Cette contrainte devra être pris en compte dans la mesure : on ne veut intégrer que sur les configurations des champs  $\mathbf{A}$  et  $\chi$  satisfaisant cette contrainte!

Je rappelle l'expression exacte de la contrainte liant  $\mathbf{A}$  et  $\chi$  :

$$P_B \mathbf{A} = \star \Theta(\chi) = \star(\chi \wedge \partial \chi).$$

Comme nous l'avons vu, une fonction  $f$ , de  $\mathbf{A}$  et de  $\chi$ , invariante de jauge est entièrement déterminée par sa valeur  $f_{\chi_0}$  dans la fixation de jauge  $\chi = \chi_0$  (qui n'est qu'autre que la *time gauge*). Commençons par analyser ce qui se passe dans cette jauge. Dans ce cas,  $P_B \mathbf{A} = 0$  :  $\mathbf{A}$  est réduit à sa partie  $SU(2)_{\chi_0}$  et devient simplement une connexion  $SU(2)$ . Plus précisément, les holonomies de  $\mathbf{A}$  sont des éléments de  $SU(2)$ . Par conséquent, pour implémenter cette contrainte, on peut se restreindre aux fonctions  $f_{\chi_0}$  définies sur  $SL(2, \mathbb{C})^E$  à support seulement sur  $SU(2)_{\chi_0}^E$  ou, de manière équivalente, il suffit de considérer le produit scalaire :

$$\langle f|g \rangle = \int_{[SU(2)_{\chi_0}]^E} dU_e \overline{f_{\chi_0}(U_e)} g_{\chi_0}(U_e). \quad (8.55)$$

Cette mesure est bien invariante sous  $SL(2, \mathbb{C})$  : je l'ai définie sur la section  $\chi = \chi_0$ , il suffit de faire une transformation de jauge pour sortir de cette jauge particulière. Par contre, si on regarde ce produit scalaire sur les réseaux de spin projetés, il y a une énorme dégénérescence. Et tout comme dans le cadre de la construction GNS, il faut enlever tous les états dont la norme est nulle.

Pour un réseau de spin projeté défini par les représentations  $(n_e, \rho_e)$  de  $SL(2, \mathbb{C})$  et les représentations  $j_e$  de  $SU(2)$ , qui satisfont  $j_e \geq n_e$  (condition pour trouver la représentation  $j$  dans la décomposition de la représentation  $(n, \rho)$ ), nous avons déjà vu que la restriction de la fonctionnelle, dans la jauge  $\chi = \chi_0$ , à  $SU(2)^E$  est simplement le réseau de spin  $SU(2)$  labellé par les représentations  $j_e$ . Ainsi, tous les réseaux de spin partageant les mêmes labels  $j_e$  sont équivalents du point de vue du produit (8.55) quelque soient leurs représentations  $(n_e, \rho_e)$ . On retrouve ainsi exactement le même espace d'Hilbert des états quantiques que pour la *Loop Quantum Gravity* usuelle!

De plus, on peut maintenant également décrire les réseaux de spin en dehors de la *time gauge* i.e. décrire les solutions aux contraintes de seconde classe en toute généralité et ne pas seulement les décrire dans la jauge  $\chi = \chi_0$ . Pour cela, prenons une solution des contraintes dans la jauge  $\chi = \chi_0$ , puis agissons dessus par des transformations de jauge. Par exemple, prenons un réseau de spin  $SU(2)$ . Comme nous venons de le voir, c'est une solution des contraintes. Agissons dessus par une transformation de Lorentz. Il s'agit de faire tourner le champ  $\chi(x)$  et donc les sous-espaces  $SU(2)_\chi$ , en tout point de l'espace, en particulier en tout point du graphe-support. Pour cela, on est amené à considérer des réseaux de spin projetés en tout point, ou des réseaux de spin projetés infiniment raffinés, ou encore des réseaux de spin *totalemt projetés*.

Pour être plus explicite, regardons le cas d'une simple holonomie  $U_\alpha^{(n,\rho)}[\mathbf{A}]$  le long d'un lien  $\alpha$  dans la représentation  $(n, \rho)$ . On choisit une représentation  $j$  de  $SU(2)$  associé au lien  $\alpha$ . On peut définir une "holonomie" totalement projetée en choisissant une partition de  $\alpha = \coprod_{k=1}^N [a_k, a_{k+1}]$ , projetant aux  $N$  points  $a_k$  de cette partition, puis raffinant la partition  $N \rightarrow \infty$  :

$$\mathcal{U}_\alpha^{(n,\rho,j)}[\mathbf{A}, \chi] = \lim_{N \rightarrow \infty} \mathcal{P} \left\{ \prod_{n=1}^N P_{\chi_{v_{n+1}}}^j U_{\alpha_n}^{(n,\rho)}[\mathbf{A}] P_{\chi_{v_n}}^j \right\}, \quad (8.56)$$

où  $P_{(x)}^j$  dénote comme précédemment le projecteur  $R^{(n,\rho)} \rightarrow V_{(x)}^j$ . On aimerait qu'une telle boucle de Wilson ou qu'un réseau de spin défini similairement soit solution des contraintes de seconde classe i.e. ne dépendent que de la partie  $SU(2)_\chi$  de la connexion  $\mathbf{A}$  en tout point. Dans la limite d'un raffinement infini de la partition, à un point donné  $x \in \alpha$ , on est amené à considérer  $P_{(x)}^j \mathbf{A}(x)_X T^X P_{(x)}^j$ . On veut que la partie  $T^X = K$  de cette expression soit nulle. En regardant les représentations de  $SL(2, \mathbb{C})$  (voir en annexe), on aperçoit que :

$$P_{(x)}^j \vec{K} P_{(x)}^j = \beta_{(j)} P_{(x)}^j \vec{J} P_{(x)}^j \quad \text{avec} \quad \beta_{(j)} = \frac{n\rho}{j(j+1)}.$$

Par conséquent la partie boost disparaît à condition que  $\beta_{(j)} = 0$  i.e. si et seulement si  $n\rho = 0$ . Ceci sélectionne les représentations *simples* de  $SL(2, \mathbb{C})$  avec soit  $n = 0$  (série continue) soit  $\rho = 0$  (série discrète). Dans ces cas, les réseaux de spin totalement projetés, labellés par des représentations simples de  $SL(2, \mathbb{C})$ , sont bien solutions des contraintes de seconde classe (liant  $\mathbf{A}$  et  $\chi$ ). Leurs sections à  $\chi = \chi_0$  sont toujours bien les réseaux de spin  $SU(2)$ .

Ceci conclut l'étude des états quantiques de la théorie fondée sur la connexion d'Ashtekar-Barbero généralisée  $\mathbf{A}$ . Ce sont des réseaux de spin totalement projetés labellés par des représentations simples  $((0, \rho)$  ou  $(n, 0))$  de  $SL(2, \mathbb{C})$ . Ils se réduisent dans la jauge  $\chi = \chi_0$  à de simples réseaux de spin  $SU(2)$ . Le produit scalaire peut être donné dans cette jauge particulière : c'est la même mesure qu'en *Loop Quantum Gravity*, définie simplement à partir de la mesure de Haar  $SU(2)$ .

## 8.4 L'alternative : une *Loop Gravity* covariante

On s'intéresse maintenant à une quantification utilisant des fonctionnelles de la connexion  $\mathcal{A}$ . Rappelons la particularité de cette connexion : c'est l'unique connexion se transformant correctement sous les difféomorphismes d'espace-temps dans le formalisme canonique.

La difficulté principale lors de la quantification dans ce cas est la *non-commutativité* (classique) de  $\mathcal{A}$ . Et il faut prendre en compte ce crochet de Dirac non-nul de  $\mathcal{A}$  avec elle-même au niveau des opérateurs correspondant  $\hat{\mathcal{A}}$ . Dans ce cadre, je n'ai pas quantifié totalement la théorie, et je ne vais donner qu'une représentation des crochets de Dirac en un *nombre fini de points* de  $\Sigma$ . Néanmoins, dans cette quantification partielle, on trouve exactement les mêmes structures cinématiques que dans le modèle de mousse de spin de Barrett-Crane, que je décrirai dans la partie IV. Cette quantification permet ainsi d'obtenir un lien explicite entre le formalisme canonique et les théories covariantes de mousse de spin !

Commençons par étudier le cas limite  $\gamma \rightarrow \infty$ . Alors l'action de Palatini généralisée se réduit à l'action de Palatini usuelle avec un unique terme  $\star(e \wedge e) \wedge F(\omega)$ . Les crochets de Dirac s'écrivent :

$$\{B, B\}_D = 0,$$

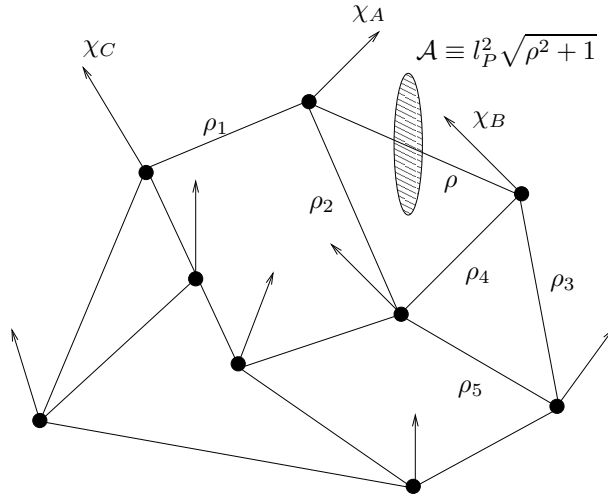


FIG. 8.2 – Un réseau de spin simple labellé par les représentations simples  $\rho_i$ , qui définissent l'aire des surface duales aux liens. Les  $\chi$  donnent la normale à l'hypersurface au niveau des liens.

$$\begin{aligned} \{P_B \mathcal{A}, P_B \mathcal{A}\}_D &= 0, \\ \{P_B \mathcal{A}_a^X, B_Y^b\}_D &= \delta_a^b (P_B)_Y^X, \\ \{P_R \mathcal{A}, P_R \mathcal{A}\}_D &= 0, \end{aligned} \quad (8.57)$$

et la non-commutativité de  $\mathcal{A}$  est entre sa partie rotation  $P_R \mathcal{A}$  et sa partie boost  $P_B \mathcal{A}$  et réside dans la contrainte

$$P_R \mathcal{A} = \Gamma(R),$$

exprimant  $P_R \mathcal{A}$  comme une fonction (la connexion de spin) de la triade  $R$  ou  $B$ . Puisque la partie  $P_R \mathcal{A}$  n'est pas une variable indépendante et n'intervient pas dans les crochets de Poisson de  $\mathcal{A}$  avec la triade, on aimerait l'ignorer. Plus précisément, on aimerait utiliser des fonctions d'onde (toujours invariantes sous  $SL(2, \mathbb{C})$ ) ne dépendant pas de  $P_R \mathcal{A}$ .

Si on se réduit à chercher des fonctions satisfaisant ce critère à un nombre fini de points, une solution est fournie directement par les réseaux de spin projetés labellés par des représentations triviales  $j = 0$  de  $SU(2)$ . De telles fonctionnelles sont nommées *réseaux de spin simples*.

Regardons cela plus précisément. Choisissons un nombre fini de points sur  $\Sigma$  et considérons des graphes dont les vertex sont ces points particuliers. Sur un tel graphe, on labelle les liens  $e$  avec des représentations  $(n_e, \rho_e)$ . On considère les holonomies  $U_e[\mathcal{A}]$  le long de ces liens et on regarde leurs éléments de matrice sur les vecteurs invariants sous  $SU(2)$ . Remarquons que l'espace  $R^{(n, \rho)}$  ne contient un vecteur invariant sous  $SU(2)$  que si  $n = 0$ . On est donc restreint naturellement aux représentations simples  $(0, \rho_e)$ . La fonctionnelle s'écrit alors :

$$s^{\{\rho_e\}}(U_e, \chi_v) = \prod_e \langle \rho_e \chi_{s(e)} j = 0 | U_e | \rho_e \chi_{t(e)} j = 0 \rangle, \quad (8.58)$$

où  $\chi_v$  est la valeur du champ  $\chi$  au vertex  $v$  et  $|\rho \chi_v j = 0\rangle$  le vecteur de la représentation  $\rho$  qui est invariant sous  $SU(2)_{\chi_v}$ . Ce sont des fonctionnelles cylindriques ne dépendant pas de  $P_R \mathcal{A}$  aux vertex ! Une expression explicite de  $s^{\{\rho_e\}}(U_e, \chi_v)$  est fournie par les noyaux  $K_\rho$  décrits en annexe :

$$s^{\{\rho_e\}}(U_e, \chi_v) = \prod_e K_{\rho_e}(\chi_{s(e)}^{-1} U_e \chi_{t(e)}).$$

Alors, le crochet de Dirac de deux telles fonctionnelles, à support sur des graphes dont les vertex sont les points choisis au début, est nul. D'un certain de vue, les points fixés au début sont les seuls points de  $\Sigma$  existants.

En effet, ce sont les seuls points où on connaît explicitement la normale à  $\Sigma$ . Les autres points étant rendus *flous* dans l'espace-temps. Dans ce cadre, si on considère deux réseaux de spin simples s'intersectant à un autre point que leur vertex, il nous faut "définir" ce point et préciser la normale à ce point : il faut projeter les réseaux de spin en ce point i.e. raffiner les fonctionnelles en rajoutant un vertex bivalent. De cette manière, on pourrait construire une tour de fonctionnelles dépendant de  $\mathcal{A}$  qui commuteraient les unes avec les autres. On pourrait également considérer la limite de réseaux de spin simples infiniment raffinés.

De toute manière, on peut regarder l'action de l'opérateur aire sur un réseau de spin simple pour une surface intersectant le graphe-support au niveau d'un vertex. Le réseau de spin est un vecteur avec comme valeur propre :

$$\text{aire}_{\mathcal{S}} \sim \sqrt{-C_1(\text{SL}(2, \mathbb{C}))} = \sqrt{\rho_e^2 + 1}, \quad (8.59)$$

en appliquant la formule (8.28) pour  $j = 0$ . On trouve ainsi un spectre des aires **continu**. Le point particulièrement intéressant est que ces réseaux de spin simples représentent aussi les états cinématiques des mousses de spin (voir partie IV pour plus de détails).

Pour terminer la quantification, il faut préciser l'implémentation des opérateurs  $\widehat{\mathcal{A}}$  et  $\widehat{B}$  :

$$\begin{aligned} \widehat{P_B \mathcal{A}} &= P_B \mathcal{A} \times, \\ \widehat{B} &= \frac{\delta}{\delta P_B \mathcal{A}}, \\ \widehat{R} &= \star B, \\ \widehat{P_R \mathcal{A}} &= \Gamma(\widehat{R}). \end{aligned} \quad (8.60)$$

Toute la procédure peut se généraliser au cas générique  $\gamma$  quelconque. En effet, les crochets de Dirac sont alors :

$$\begin{aligned} \{B, B\}_D &= 0, \\ \left\{ P_B \left( 1 + \frac{1}{\gamma} \star \right) \mathcal{A}, P_B \left( 1 + \frac{1}{\gamma} \star \right) \mathcal{A} \right\}_D &= 0, \\ \{ \mathcal{A}_a^X, B_Y^b \}_D &= \delta_a^b (P_B)_Y^X, \\ \{ P_R \mathcal{A}, P_R \mathcal{A} \}_D &= 0. \end{aligned} \quad (8.61)$$

On remarque que comme  $P_R \mathcal{A}$  commute avec  $B$ , on peut ré-écrire la relation de commutation entre  $\mathcal{A}$  et  $B$  telle que :

$$\left\{ P_B \left( 1 + \frac{1}{\gamma} \star \right) \mathcal{A}_a^X, B_Y^b \right\}_D = \delta_a^b (P_B)_Y^X, \quad (8.62)$$

étant donné que  $P_B \star = \star P_R$ . On a ainsi la même structure que précédemment en remplaçant

$$P_B \mathcal{A} \leftrightarrow P_B \left( 1 + \frac{1}{\gamma} \star \right) \mathcal{A}.$$

Par conséquent, on peut garder les mêmes fonctionnelles simples que dans le cas  $\gamma \rightarrow \infty$  en changeant légèrement la représentation des opérateurs : on implémente maintenant  $P_B(1 + 1/\gamma\star)\mathcal{A}$  par la multiplication par  $P_B \mathcal{A}$ . D'où la quantification :

$$\begin{aligned} P_B \left( \widehat{1 + \frac{1}{\gamma} \star} \right) \mathcal{A} &= P_B \mathcal{A} \times, \\ \widehat{B} &= \frac{\delta}{\delta P_B \mathcal{A}}, \\ \widehat{P_R \mathcal{A}} &= \Gamma(\widehat{R}), \\ \widehat{P_B \mathcal{A}} &= P_B \mathcal{A} \times + \frac{1}{\gamma} \widehat{P_R \mathcal{A}}. \end{aligned} \quad (8.63)$$

On a donc quantifié la théorie en un nombre fini de points. Je ne sais pas explicitement comment la quantifier entièrement, bien qu'il semble possible d'utiliser pour cela l'algèbre des fonctionnelles cylindriques décrit ci-dessus ou la limite de fonctionnelles cylindriques infiniment raffinées. Néanmoins, on obtient des réseaux de spin simples qui diagonalise l'opérateur aire d'une surface et le spectre est continu. Ces mêmes réseaux sont également les états cinématiques des modèles de mousse de spin et forment donc un pont entre le formalisme canonique et le formalisme covariant des mousses de spin. Finalement, on obtient une théorie quantique (et un spectre de l'aire) *indépendant du paramètre d'Immirzi*  $\gamma$ . Ce résultat est compatible avec l'implémentation de l'intégrale de chemin réalisé dans [70], qui montre qu'elle est indépendante du paramètre d'Immirzi.

## Conclusion

Le formalisme canonique invariant sous Lorentz (sans fixation de jauge) nécessite l'utilisation du crochet de Dirac tenant compte des contraintes de seconde classe. Les relations de commutation de la connexion (avec elle-même) en ressortent bien plus compliquées. Néanmoins, on peut changer les variables canoniques de base et il est possible de trouver deux connexions de Lorentz aux propriétés bien particulières.

La première est l'unique connexion de Lorentz commutative (sous les crochet de Dirac) et implémente en fait une extension Lorentzienne de la connexion d'Ashtekar-Barbero. Elle permet de retrouver la *Loop Quantum Gravity* usuelle à partir de notre contexte covariant. De plus, on peut maintenant considérer l'action de boosts de Lorentz sur les réseaux de spin  $SU(2)$  (états de la géométrie en *Loop Gravity*) Le travail effectué ouvre donc les portes vers l'étude de changement des états sous modification du plongement de l'hypersurface canonique et ainsi de l'action des boosts de Lorentz sur les opérateurs aire de la *Loop Quantum Gravity*  $SU(2)$ . Notons que cette théorie quantique dépend fortement du paramètre d'Immirzi  $\gamma$ .

La seconde connexion est l'unique connexion se transformant correctement sous difféomorphismes de l'espace-temps. Le fait qu'elle soit non-commutative complique la procédure de quantification. Néanmoins, il est possible de quantifier la théorie (de manière partielle, car s'étant restreint à un nombre fini de points ou, en d'autres termes, quantifiant une classe restreinte d'observables) et on obtient comme états quantiques de géométrie les réseaux de spin simples représentant également les états cinématiques des modèles de mousse de spin. De plus, on dérive un spectre de l'aire continu par opposition au spectre discret de la *Loop Gravity*. Notons que cette théorie quantique ne dépend pas du tout du paramètre d'Immirzi.

Pour le moment, il semble donc avoir un choix entre un spectre discret dépendant de  $\gamma$  et un spectre continu indépendant de  $\gamma$ . Reste toujours l'étude de la dynamique exacte de ces théories. L'usage de la connexion d'espace-temps sera peut-être alors plus avantageux que celui de la connexion d'Ashtekar-Barbero (généralisée) : le comportement "bizarre" de cette dernière sous difféomorphismes de l'espace-temps pourrait causer des problèmes lors de l'implémentation de la contrainte Hamiltonienne au niveau quantique...



Quatrième partie

# L'Espace-Temps en Mousse de Spins





Les modèles de Mousse de Spin, ou *Spin Foams*, sont des modèles d'intégrale de chemin de la gravité. Ils apparaissent au carrefour de diverses approches à la question de la gravité quantique : *Loop Quantum Gravity*, théories topologiques (*State Sum Models*), approches discrètes à la Regge, intégrale de chemin (somme sur les géométries) à la Hartle-Hawking, approches catégoriques. Pour le lecteur intéressé, il existe deux revues complètes sur le sujet [71, 72].

Le point de vue de la gravité à boucles nous présente les mousses de spin comme des histoires de réseaux de spin [46], et c'est de là qu'est issu le nom de *Spin Foam* [47]. Ainsi une mousse de spin est un espace-temps représentant l'évolution d'un réseau de spin dans le temps (sous l'action d'un Hamiltonien ou d'une contrainte Hamiltonienne) : les faces de la mousse de spin sont labellées par des représentations d'un groupe ( $SU(2)$  si l'on étudie la *Loop Gravity* ou  $SL(2, \mathbb{C})$  dans une approche invariante sous Lorentz), aux côtés sont associés des entrelâceurs (entre les représentations des faces adjacentes au lien) et les vertex/points représentent les "événements" dans l'espace-temps i.e les lieux de la dynamique. De cette manière, si on considère une tranche hypersurface de genre espace d'une mousse de spin, on obtient bien un graphe dont les liens sont labellés par des représentations i.e. un réseau de spin ! Alors un modèle de mousse de spin particulier définit une amplitude à chaque histoire de réseau de spin. La fonction de partition du modèle est alors la somme de ces amplitudes sur toutes les histoires possibles et en cela implémente une intégrale de chemin.

Le modèle de mousse de spin le plus prometteur est le modèle de Barrett-Crane, censé définir la gravité quantique. Il en existe une version Euclidienne [73] et une version Lorentzienne [74]. Il est issu des techniques de quantification des théories topologiques. Plus particulièrement, la relativité générale peut être reformulée comme une théorie BF contrainte (voir par exemple [75]). Or la théorie BF est une théorie topologique que nous savons quantifier. De plus, son caractère "topologique" permet de l'étudier sur une triangulation (ou décomposition cellulaire générique) de l'espace-temps sans en altérer le contenu. Par conséquent, on peut discrétiser la théorie BF et découper l'espace-temps en 4-simplex, quantifier la théorie BF discrétisée, puis imposer les contraintes au niveau quantique. Dans ce contexte, le modèle de Barrett-Crane associe des représentations du groupe de Lorentz  $SL(2, \mathbb{C})$  aux faces de la triangulation et définit une amplitude pour chaque 4-simplex comme fonction des représentations qui le labellent. Les contraintes sur la théorie BF se reflètent par des contraintes sur les représentations admissibles, qui sont restreintes à être simples. La mousse de spin est alors le dual (topologique) de la triangulation de l'espace-temps et l'amplitude d'une histoire/triangulation est le produit des amplitudes des 4-simplex la composant. Une tranche 3d de cette mousse de spin définit un réseau de spin simple ! Et on retrouve ainsi les états cinématiques de la *Loop Gravity* covariante construits dans la partie précédente. On peut aussi voir ce modèle comme une quantification géométrique des 4-simplex [73, 76], ce qui fournit une interprétation géométrique directe de la théorie. Ainsi on peut le construire à l'aide de bivecteurs quantiques se combinant pour former des 4-simplex quantiques. On obtient un espace-temps fait de patches plats (les 4-simplex quantiques), la courbure de l'espace-temps résidant dans la manière dont ces patches sont reliés [77].

Il existe des analogues en basse dimension. Ce sont des modèles discrets quantifiant la théorie topologique BF. En deux dimensions, l'approche mousse de spin rejoint l'étude des modèles de matrices (en "0 dimension") de la théorie des cordes. On peut comparer le contenu du modèle de mousse de spin avec la théorie BF classique et sa quantification canonique et vérifier que tout est bien cohérent [78]. En trois dimensions, c'est le modèle de Ponzano-Regge. Il quantifie la gravité Euclidienne en trois dimensions et permet de comprendre le contexte des mousses de spin, même si son caractère topologique le distingue irrémédiablement du cas de la relativité générale. Il est construit en découpant l'espace-temps en tétraèdre (3-simplex) : on attache des représentations de  $SU(2)$  aux liens de la triangulation puis on définit des amplitudes invariantes sous  $SU(2)$  associées à chaque tétraèdre. Cette procédure produit des amplitudes infinies et il faut les régulariser. Il existe diverses méthodes. On peut imposer un cut-off sur les représentations. Ou on peut utiliser une déformation quantique du groupe  $SU(2)$  : on obtient le modèle de Turaev-Viro qui est bien défini et censé quantifier la gravité 3d avec une constante cosmologique [66]. On peut aussi remarquer que ces infinies correspondent à une invariance résiduelle par difféomorphismes et fixer de jauge cette symétrie [79]. Au final, on associe une amplitude finie à chaque triangulation. Le dual de ces triangulations définit une mousse de spin, dont chaque tranche 2d donne un réseau de spin  $SU(2)$  : le modèle définit une dynamique des réseaux de spin (voir par exemple [80]). Il existe également des versions Lorentziennes de ce modèle [63, 64] utilisant le groupe  $SL(2, \mathbb{R})$  au lieu de  $SU(2)$ .

Le lien avec la gravité 3d classique est souvent effectué à l'aide d'asymptotiques de l'amplitude des tétraèdres.

On retrouve en effet l'exponentielle de l'action de Regge. La même procédure peut être suivie avec le modèle de Barrett-Crane et on retrouve une nouvelle fois l'action de Regge [81]. Mais cela ne fonctionne pas aussi simplement. Tout d'abord, on ne trouve pas exactement l'exponentielle, mais le cosinus. Il faut orienter la mousse de spin et rétablir la causalité pour reconstruire l'exponentielle [77, 82]. Également, il semble que ce soient des configurations dégénérées qui dominent la fonction de partition [67, 83, 84], donc il reste du travail pour vérifier que le modèle correspond bien à une théorie de la gravité quantique.

Un autre point très intéressant est la reformulation des modèles sous la forme d'une théorie des champs sur un groupe. En effet, le modèle de Ponzano-Regge peut être écrit sous la forme d'une théorie des champs sur  $SU(2)^{\times n}$ , dite de Boulatov-Ooguri [85]. Dans ce cadre, la triangulation/mousse de spin est reconstruite comme un diagramme de Feynman de la théorie des champs. Ainsi la théorie génère toutes les triangulations de l'espace-temps et son intégrale de chemin définit la fonction de partition des mousses de spin. Pour Ponzano-Regge, il existe une version convergente de l'intégrale de chemin [86], ce qui permet de lui donner un sens physique intrinsèque au lieu de se contenter de son rôle de fonction génératrice.

La même construction est possible en quatre dimensions. On peut ainsi générer le modèle de Barrett-Crane à partir d'une théorie de champs sur  $Spin(4)$  pour la version Euclidienne [87, 88] et sur  $SL(2, \mathbb{C})$  pour la version Lorentzienne [89]. Plus généralement, il est possible de faire de même pour n'importe quel modèle de mousse de spin [90]. Dans le cas de Barrett-Crane, il existe aussi des résultats de finitudes des amplitudes [91, 92, 93] et on a donc bien un modèle bien défini. On peut aussi se servir de l'intégrale de chemin pour définir les observables de la théorie [94] à travers des corrélations de la théorie de champs.

L'avantage des modèles de mousse de spin est que ce sont des structures covariantes et construisant l'espace-temps même : les mousses de spin sont "*background independent*", elles ne sont pas définies sur une variété mais la définissent elles-mêmes. En cela, ils présentent un véritable espoir de gravité quantique. Et même si les modèles actuels en quatre dimensions se révèlent incorrects (on ne retrouve pas la relativité générale dans un régime semi-classique), ils semblent fournir un exemple bien défini d'une théorie d'intégrale de chemin sur les classes de géométrie de l'espace-temps.

Dans un premier chapitre, je commencerai par décrire les mousses de spin 2d. Durant ma thèse, j'ai étudié leur relation avec la théorie BF 2d avec Carlo Rovelli et Alejandro Perez [78]. Ici, je présente directement le modèle à travers sa théorie de champs génératrice. Je rappelle comment la fonction de partition et corrélations de la théorie génèrent une intégrale de chemin sur les géométries 2d. Et dans ce cadre, j'ai tenté au cours de ma thèse de comprendre la signification non-perturbative et le rôle de cette théorie de champs à travers l'effet non-perturbatif le plus simple : les solutions classiques de la théorie de champs.

Puis je décris le modèle de Ponzano-Regge quantifiant la gravité 3d. Cela permet de présenter la géométrie des mousses de spin et de comprendre la logique de l'utilisation de ces modèles. J'aborde dans ce contexte la question de l'évolution et de la causalité. À côté de ces considérations géométriques, je fournis également une interprétation des solutions classiques de la théorie de champs.

Dans un second chapitre, je décris le modèle de gravité quantique défini par les mousses de spin de Barrett-Crane. Dans un premier temps, j'ai étudié la quantification de la relativité générale aboutissant au modèle de mousse de spin [95, 96], en concentrant mon attention à la possibilité d'une ambiguïté de type Immirzi. Puis je me suis attaché à comprendre la géométrie quantique du modèle et le rôle de la causalité [77, 82].

# Chapitre 9

## Mousse de Spin en Basse Dimension

Regarder les modèles de mousse de spin en basse dimension permet de comprendre la structure de la théorie BF et les outils mathématiques nécessaires à son étude. Il est alors possible de faire des calculs explicites et de comparer les modèles de mousse de spin aux autres approches à la quantification de la théorie BF. De plus, nous pouvons également tester nos interprétations géométriques et le sens physique que nous attribuons aux diverses structures de la théorie. En espérant que cela nous mène à une meilleure compréhension des mousses de spin en quatre dimensions, censées quantifier la relativité générale. En effet, les structures de base sont similaires même si malheureusement ces théories sont beaucoup trop simples pour pouvoir servir de véritable guide dans l'étude de la gravité quantique.

Je commence par décrire la théorie BF en deux dimensions. Je construis les mousses de spin et compare l'approche à la quantification canonique. Je montre aussi comment dériver le modèle à partir d'une théorie de champs. Dans ce cadre, j'explore la signification non-perturbative de cette théorie de champs à travers l'effet le plus simple : les solutions classiques de la théorie.

Je commence par décrire le modèle de mousse de spin en deux dimensions quantifiant la théorie BF. Je montre comment la théorie de champs auxiliaire permet de générer l'espace-temps à partir de rien et j'étudie la possibilité d'utiliser les solutions classiques comme géométrie de *background*.

Puis je décris le modèle de Ponzano-Regge, explicite la géométrie du modèle et son interprétation en terme d'histoire de réseau de spin. Cela permettra de mieux comprendre la logique du modèle de Barrett-Crane. Finalement, je regarde les solutions de la théorie de champs générant le modèle de Ponzano-Regge et discute leur interprétation dans le cadre de la quantification de la gravité 3d.

### 9.1 Théorie BF en 2d

#### 9.1.1 Théorie de champs génératrice

Le modèle de mousse de spin en deux dimensions correspond à la quantification de la théorie BF :

$$S(A, B) = \int_{\mathcal{M}} \text{Tr} BF(A) = \int_{\mathcal{M}} B^i F^i(A) \quad (9.1)$$

où  $\mathcal{M}$  est une variété 2d,  $B$  un champ scalaire sur  $\mathcal{M}$  à valeur dans  $su(2)$ ,  $A$  une 1-forme à valeur dans  $su(2)$  et  $F$  sa courbure. Classiquement, les équations du mouvement imposent que la connexion  $A$  est plate. La théorie est invariante sous  $SU(2)$  et invariante sous difféomorphisme. De plus, c'est une théorie topologique. On peut la discrétiser et la quantifier. La procédure est réalisée explicitement dans [78] où on construit les mousses de spin à partir de la théorie classique et où on compare ses résultats avec la quantification canonique. Ici, je ne décrirai pas ce travail, et je m'attacherai à présenter les structures des mousses de spin 2d dans leur globalité.

Construisons les mousses de spin 2d directement à partir de la théorie de champs génératrice. Soit donc un

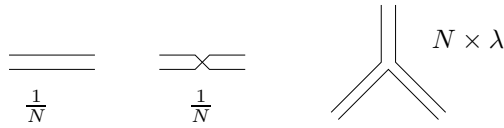


FIG. 9.1 – Propagateurs et Vertex pour les diagrammes de Feynman du modèle de matrices (9.6) de taille  $N$ .

champ  $\varphi : \text{SU}(2)^2 \rightarrow \mathbb{C}$  et l'action :

$$S[\varphi] \equiv \frac{1}{2} \int dg_1 dg_2 |\varphi(g_1, g_2)|^2 - \frac{\lambda}{3!} \int dg_1 dg_2 dg_3 \varphi(g_1, g_2) \varphi(g_2, g_3) \varphi(g_3, g_1). \quad (9.2)$$

On impose une invariance de  $\varphi$  sous  $\text{SU}(2)$  :

$$\forall g \in \text{SU}(2), \varphi(g_1, g_2) = \varphi(g_1 g, g_2 g). \quad (9.3)$$

On peut donc exprimer la théorie avec le champ  $\phi$  défini par

$$\phi(g_1 g_2^{-1}) \equiv \varphi(g_1, g_2).$$

L'action devient alors :

$$S[\phi] = \frac{1}{2} \int_{\text{SU}(2)} dg |\phi(g)|^2 - \frac{\lambda}{3!} \int dg d\tilde{g} \phi(g) \phi(\tilde{g}) \phi(\tilde{g}^{-1} g^{-1}). \quad (9.4)$$

On demande également que  $\varphi$  soit réel et symétrique  $g_1 \leftrightarrow g_2$ . Cela revient à imposer  $\phi$  réel et invariant sous passage à l'inverse  $g \leftrightarrow g^{-1}$ . Afin de mieux saisir le contenu de la théorie, on passe à la transformée de Fourier décomposant  $\phi$  sur les représentations de  $\text{SU}(2)$  :

$$\phi(g) = \sum_{j \in \mathbb{N}/2} \Delta_j \phi_{ab}^j D_{ab}^j(g)$$

où  $\Delta_j = (2j + 1)$  est la dimension de la représentation  $j$ ,  $D_{ab}^j(g)$  la matrice représentant l'élément  $g \in \text{SU}(2)$  et  $\phi_{ab}^j$  la matrice  $\Delta_j \times \Delta_j$  transformée de Fourier de  $\phi$ . Imposer que  $\phi$  soit symétrique se traduit par  $\epsilon^t \phi^j = \phi^j \epsilon$ , où  $\epsilon$  est l'opérateur de conjugaison/parité<sup>1</sup> sur les représentations de  $\text{SU}(2)$ . Alors, demander  $\phi$  réel rend la matrice  $\phi^j$  hermitienne. Un calcul rapide fournit

$$S[\phi] = \sum_j \Delta_j \left( \frac{1}{2} \text{Tr} \phi_j^2 - \frac{\lambda}{3!} \text{Tr} \phi_j^3 \right). \quad (9.5)$$

Les secteurs à  $j$  différents de la théorie ne communiquent pas et, pour chaque  $j$  donné, on reconnaît un modèle de matrice simple, correspondant aux modèles de matrices de la théorie des cordes zéro-dimensionnelle.

Concentrons-nous donc sur une composante  $j$  fixée et étudions le modèle de matrice :

$$S_N[M] = N \left( \frac{1}{2} \text{Tr} M^2 - \frac{\lambda}{3!} \text{Tr} M^3 \right), \quad (9.6)$$

où  $N$  est la taille des matrices  $M$ . On peut calculer la fonction de partition (et les corrélations) de la théorie de manière perturbative en développant ses diagrammes de Feynman. Les règles de Feynman sont définies par un propagateur trivial ( $1/N$  fois l'identité) et un vertex trivalent de poids  $N \times \lambda$ . En fait, il y a deux composantes du propagateur dues aux symétries de la matrice  $M \equiv \phi_j$  : l'identité et un twist (voir figure 9.1.).

Alors les diagrammes de Feynman fermés, dont la somme permet de calculer la fonction de partition, génèrent des triangulations de variété 2d. En effet, un diagramme de Feynman donné est un graphe trivalent fermé dont

<sup>1</sup> $\epsilon^{(j)}$  est tel que  $\forall g \in \text{SU}(2), \overline{D^j(g)} = \epsilon D^j(g) \epsilon^{-1}$ . On a alors  $t_{\epsilon^{(j)}} = (-)^{2j} \epsilon^{(j)}$ .

les noeuds sont les vertex d'interactions, les liens les propagateurs. Mais c'est même un 2-complexe dont les faces peuvent être reconstruites comme les boucles du diagramme de Feynman, prenant en compte qu'il est construit à partir de lignes doubles. On peut construire le dual topologique du diagramme de Feynman en considérant les *triangles duaux* aux vertex "d'interaction" (voir [97] pour une approche systématique du problème de la reconstruction d'une surface 2d à partir du graphe). A ce point, notons que le propagateur twist est nécessaire pour retrouver toute les topologies possibles de variété 2d à partir du développement perturbatif. Alors il est facile de calculer l'amplitude d'un graphe donné en fonction de son nombre de vertex  $V$ , de côtés  $E$  et de faces  $F$  :

$$\mathcal{A}^{(E,V,F)} = N^{V-E+F} \lambda^V.$$

Elle dépend de la caractéristique d'Euler  $\chi(\mathcal{M}) = V - E + F$  de la surface 2d  $\mathcal{M}$  duale au graphe considéré.  $\chi(\mathcal{M})$  est une fonction du genre  $g$  de de la variété  $\mathcal{M}$  et de son orientabilité :  $\chi(\mathcal{M}) = 2 - 2g(\mathcal{M})$  pour une variété orientable et  $\chi(\mathcal{M}) = 2 - g(\mathcal{M})$  pour une variété non-orientable. Ainsi, le cas  $\chi = 2, g = 0$  correspondant à une sphère,  $\chi = 0, g = 1$  à un tore,  $\chi = 1, g = 1$  à l'espace projectif  $P^2\mathbb{R}$ ,  $\chi = 0, g = 2$  à la bouteille de Klein, et ainsi de suite. La fonction de partition est alors obtenue en sommant sur tous les graphes possibles :

$$Z_N = \sum_{g,\epsilon} \sum_V \mathcal{N}(g,\epsilon,V) \lambda^V N^{2-(1+\epsilon)g}, \quad (9.7)$$

où  $\mathcal{N}(g,\epsilon,V)$  compte le nombre de triangulations de genre  $g$  avec  $V$  triangles orientable pour  $\epsilon = 1$  et non-orientable pour  $\epsilon = 0$ . Ces nombres ne sont malheureusement pas connus explicitement. Néanmoins, on connaît des asymptotiques permettant de déduire le comportement convergent/divergent de  $Z$  [85] :

$$\begin{aligned} \mathcal{N}(g=0,V) &\sim V^{-\frac{7}{2}} e^{\beta_c V} \quad \text{avec} \quad e^{\beta_c} = \frac{2^4}{3^{3/2}}, \\ \mathcal{N}(g \geq 1,V) &\sim V^{-\frac{5}{2}g + \frac{3}{2}} e^{\beta_c V}. \end{aligned} \quad (9.8)$$

Le cas *topologique* correspond au cas où l'amplitude d'un graphe ne dépend plus que de sa topologie i.e. de son genre  $g$  (et de son orientabilité). Il est atteint quand  $\lambda = 1$ . Ce cas correspond à la théorie BF. Cependant, la somme des graphes de Feynman est alors clairement divergente, ce qui rend l'étude de ce cas particulier difficile dans le contexte des mousses de spin.

On peut introduire des frontières aux triangulations en calculant des corrélations. En effet, on obtiendra alors des diagrammes de Feynman ouverts (avec bord). Les observables de la théorie (invariants sous  $SU(2)$  donc sous conjugaison dans le langage des matrices) sont générées par les  $\text{Tr}M^n$ . Une telle observable  $\text{Tr}M^n$  correspond à une frontière définie par un cercle de longueur  $n$  unités. Plus précisément, la corrélation

$$W = \int [dM] \text{Tr}M^n e^{-S[M]}$$

se développe en des diagrammes de Feynman duaux à des surfaces triangulées avec bord un cercle "triangulé" par  $n$  segments. On peut généraliser cela et définir les corrélations  $W(c = \{c_0, c_1, \dots\})$  correspondant à un bord avec  $c_n$  cercles de longueur  $n$ .

On définit alors des *états frontières*  $|c\rangle = |c_0, c_1, \dots\rangle$  et les corrélations  $W$  définissent des *amplitudes de transition* entre eux. Plus précisément, sur ces états orthogonaux par définition, on peut définir un produit scalaire "physique" par

$$\langle c'|c\rangle_{\text{phys}} = W(c \rightarrow c') \equiv W(c \cup c'). \quad (9.9)$$

Puis pour obtenir un vrai espace d'Hilbert, il faudrait enlever les configurations non-physiques données par les états dégénérés (dont la norme est nulle). Mathématiquement, pour cela, on peut utiliser la construction GNS : on considère la  $C^*$ -algèbre  $\mathcal{F}$  des "états frontières"  $c$  et la forme linéaire positive définie sur  $\mathcal{F}$  par  $W$ , alors on construit l'idéal de Gelfand  $\mathcal{I} = \{c | W(c * c) = 0\}$  et l'espace d'Hilbert physique est le complété de  $\mathcal{F}/\mathcal{I}$ .

Ceci est la proposition de [94] décrivant les mousses de spin comme une implémentation propre de l'intégrale de chemin sur les géométries. Cependant, pour pouvoir mener ce projet à terme, il faudrait connaître la fonction de partition et les corrélations de manière explicite, un calcul perturbatif ne suffisant pas. Dans ce cadre, il est légitime de poser la question "cette théorie de champs générant l'espace-temps à partir de rien (vide total), a-t-elle une véritable signification non-perturbative?" Dans ce cadre, le plus simple effet non-perturbatif est fourni par les solutions classiques de la théorie, que je propose maintenant d'étudier.

### 9.1.2 Solutions “Classiques” : Instantons de la théorie

Regardons les solutions classiques de l'action  $S[M]$ . La théorie n'ayant pas de paramètre  $\hbar$ , il n'y a pas de sens évident dans lequel ces instantons dominent la fonction de partition/les corrélations. Le paramètre mathématiquement le plus similaire reste la taille  $N$  des matrices et il semble que ces configurations “classiques” dominent l'intégrale dans la limite  $N \rightarrow \infty$ . Une autre utilisation de ces solutions classiques est de les considérer comme de nouveaux *backgrounds* et d'étudier la théorie perturbativement autour de ces configurations.

Commençons par calculer ces solutions. Elles sont solutions de l'équation

$$M_0 - \frac{\lambda}{2} M_0^2 = 0, \quad (9.10)$$

donc elles sont diagonalisables avec valeurs propres 0 et  $-2/\lambda$  : à un facteur près, ce sont des projecteurs. L'action évaluée sur une solution  $M_0$  dépend de la dimension de projecteur  $k$  (dimension de l'espace propre associé à  $-2/\lambda$ ) :

$$S[M_0] = \frac{2}{3} \frac{k}{\lambda^2}.$$

L'action minimale est atteinte pour  $k = 0$  i.e. la solution nulle.

On peut faire de même pour la théorie de champs sur le groupe. L'équation du mouvement s'écrit

$$\varphi(g_1, g_2) = \frac{\lambda}{2} \int dg_3 \varphi(g_2, g_3) \varphi(g_3, g_1) \quad \text{ou bien} \quad \phi(g) = \frac{\lambda}{2} \int d\tilde{g} \phi(\tilde{g}) \phi(\tilde{g}^{-1} g^{-1}), \quad (9.11)$$

ce qui signifie que  $\phi = \lambda/2 \phi \star \phi$  où  $\star$  dénote le produit de convolution<sup>2</sup> sur  $SU(2)$ . Définissant l'application

$$P_\phi : f \in L^2(SU(2)) \rightarrow \frac{\lambda}{2} \phi \star f,$$

$\phi$  est une solution classique si et seulement si  $P_\phi$  est un projecteur dans l'espace d'Hilbert  $L^2(SU(2))$ . Reste qu'il est plus simple pour les calculs de travailler sur les composantes de Fourier  $\phi_j$ , dans quel cas on peut se restreindre sans problème à l'étude du modèle de matrice.

On peut comprendre une solution classique  $M_0$  comme une configuration “auto-raffinante” du champs : similairement à la logique des triangulations explicitée ci-dessus,  $M_0$  peut se penser comme un segment sur le bord, ce segment  $M_0$  étant “équivalent” à deux segments  $M_0^2$  et ainsi de suite. Plus précisément, regardons la fonctionnelle bord “cercle de longueur  $n$ ”

$$\text{Tr} M_0^n = \left( \frac{2}{\lambda} \right)^{n-1} \text{Tr} M_0,$$

qui est égale (sur les  $M_0$ ) à la fonctionnelle bord “cercle de longueur 1” (à un facteur près). D'une certaine manière,  $M_0$  ressemble à un *état cohérent du segment* (quantifié)! On peut même aller plus loin. On regarde les fonctions (invariantes de jauge) d'une matrice : ce sont des fonctions du “segment quantifié”, c'est-à-dire les états de la théorie. On considère alors la relation d'équivalence suivante :

$$f(M) \sim g(M) \iff \forall M_0 \text{ solution classique, } f(M_0) = g(M_0), \quad (9.12)$$

définie par l'égalité des fonctions sur l'ensemble des solutions classiques<sup>3</sup>. L'ensemble des fonctions invariantes de jauge étant générée par les  $\text{Tr} M^n$ , il est facile de voir qu'aux yeux de la relation  $\sim$  tous les  $\text{Tr} M^n$  pour tous  $n$  sont équivalents

$$\forall n, m \geq 1, \left( \frac{\lambda}{2} \right)^n \text{Tr} M^n \sim \left( \frac{\lambda}{2} \right)^m \text{Tr} M^m$$

<sup>2</sup>Le produit de convolution sur  $SU(2)$  est défini par  $a \star b(g) = \int d\tilde{g} a(g\tilde{g}^{-1})b(\tilde{g})$ .

<sup>3</sup>Cette construction me fut suggérée par Laurent Freidel.

et que le quotient par  $\sim$  est généré simplement par des états dépendant du nombre de cercles et plus de leur longueur! De cette manière, on retrouve bien les mêmes résultats du formalisme canonique rendant compte de l'invariance par difféomorphismes et du caractère topologique du modèle. Les solutions classiques définissent ainsi les états quantiques de la théorie BF originale.

Maintenant que j'ai discuté la possible d'interprétation physique de ces solutions classiques, regardons à quoi ressemble les perturbations autour de ces configurations. Pour cela, définissons la nouvelle action

$$S_{M_0}[M] = S[M_0 + M] - S[M_0] = N \left( \frac{1}{2} \text{Tr} M^2 - \frac{\lambda}{3!} \text{Tr} M^3 - \frac{\lambda}{2} \text{Tr} M^2 M_0 \right). \quad (9.13)$$

Dans un contexte non-perturbatif, l'intégrale de chemin de cette théorie devrait coïncider avec l'originale. Dans le contexte perturbatif des diagrammes de Feynman, le terme supplémentaire dépendant de  $M_0$  introduit une modification au propagateur de la théorie. En effet, le terme quadratique en  $M$  s'écrit  $1/2 \text{Tr} M^2 (1 - \lambda M_0)$  et le propagateur devient  $(1 - \lambda M_0)^{-1} = 1 + \lambda M_0$ . Le vertex (d'interaction) de la théorie lui demeure inchangé. C'est la contribution des faces dans les diagrammes de Feynman qui va changer, n'étant plus simplement  $N = \text{Tr} Id$  mais  $\text{Tr}(1 - \lambda M_0)^p$  avec  $p$  nombre de côtés/propagateurs autour de la face considérée. Ce nombre dépend de  $M_0$  et vaut bien  $N$  quand  $p$  est pair mais vaut  $N - 2k$  quand  $p$  est impair. Cela casse l'invariance topologique de la théorie et permet d'introduire donc un *background* non-trivial dans la théorie<sup>4</sup>.

Dans ce contexte, il est également naturel de modifier l'algèbre des "états frontières" pour prendre en compte la solution classique. En effet, on pourrait regarder le terme  $\text{Tr} M^2 M_0$  comme un nouveau vertex trivalent et non comme une correction au propagateur. De ce point de vue, on obtient sur la frontière des termes en  $M$  mais aussi en  $M_0$ . Mathématiquement, on considère des observables du type  $\text{Tr} M_0^i M^j$  et les corrélations correspondantes

$$W_{M_0} = \int [dM] \text{Tr} M_0^i M^j e^{-S_{M_0}[M]}.$$

Ces états frontières où se mêlent le champs/matrice  $M$  et la solution classique  $M_0$  peuvent s'interpréter comme des perturbations de la géométrie autour de  $M_0$ . Ce point de vue se généralise aux modèles en dimension supérieure. Par exemple, en dimension 3, notant  $\phi$  le champ générateur, la théorie autour de  $\phi_0$  contient des termes en  $\text{Tr} \phi_0 \phi^3$  qui se peuvent s'interpréter comme des corrections au propagateur mais uniquement en termes de nouveaux vertex mêlant  $\phi$  et la solution classique  $\phi_0$ .

Reste à savoir si tout cela permettra d'avoir des informations supplémentaires sur les intégrales de chemin (son comportement asymptotique par exemple) et si on pourra utiliser les  $M_0$  pour construire des géométries de fond intéressantes...

## 9.2 Géométrie du Modèle de Ponzano-Regge

Le modèle de Ponzano-Regge est un modèle de mousse de spin quantifiant la gravité Euclidienne en 3d, version  $SU(2)$  (au lieu de  $SL(2, \mathbb{R})$ ) de la théorie que j'ai décrite dans le chapitre 7. On peut le définir à la fois comme une quantification géométrique d'une triangulation de l'espace-temps ou comme une discrétisation de la gravité 3d (qui est une théorie topologique de type BF!). On peut aussi le voir comme une version dynamique de la *Loop Quantum Gravity* en trois dimensions, décrivant la structure de l'espace-temps et définissant l'évolution des réseaux de spin. Dans ce contexte, le modèle définit un projecteur sur les états physiques solutions de toutes les contraintes (y compris la contrainte Hamiltonienne). Enfin, on peut le dériver également d'une théorie de champs génératrice dont j'étudierai les solutions classiques et tenterai de leur donner une interprétation physique.

### 9.2.1 Définition du modèle

Le modèle de Ponzano-Regge est un modèle de géométrie simplicial : on construit l'espace-temps (tri-dimensionnel) en collant des tétraèdres ensemble et on associe une amplitude à chaque configuration. Plus

---

<sup>4</sup>Remarquons la solution classique  $\phi_j = \frac{2}{\lambda} Id_j$  correspondant à la distribution  $\phi(g) = \frac{2}{\lambda} \delta(g)$ , autour de laquelle il serait très intéressant de perturber. Dans ce cas-là, la contribution des faces est soit  $N$  soit  $-N$  et on n'introduit que des signes supplémentaires par rapport à la théorie topologique.

précisément, une représentation  $V^j$  de  $SU(2)$  peut être considérée comme un vecteur quantifié de norme  $j$ <sup>5</sup> (voir par exemple [76]), ou intuitivement comme la classe d'équivalence d'un vecteur de norme  $j$  sous transformation  $SU(2)$  (donc sous les rotations 3d). Dans le contexte de la triangulation, il est par conséquent naturel d'associer à chaque côté  $e$  de la triangulation une représentation  $V^{j_e}$  de  $SU(2)$ ,  $j_e$  correspondant à sa longueur (tout comme dans le cadre de la *Loop Quantum Gravity* 3d). Il s'agit ensuite d'associer une amplitude à chaque triangulation définie par l'ensemble de ces représentations  $\{j_e\}$ . Pour cela, on définit le modèle localement et on attribue des poids à chaque côté/liens, triangle/face et tétraèdre.

Le poids associé à un côté est simplement la dimension de la représentation associée  $\Delta_j = (2j + 1)$ .  $\Delta_j$  correspond aux nombres d'états  $|m\rangle \in V^j$  possibles du côté/vecteur ayant fixé sa longueur  $j$ . Le poids d'un triangle  $t$  est une fonction des trois représentations  $j_1, j_2, j_3$  attachées à ses côtés. Si il existe un entrelaceur entre ces trois représentations (i.e. le coefficient de Clebsch-Gordan est non nul), alors ce poids est 1, sinon il est simplement 0. Ceci correspond au nombre de triangles possibles (à rotation près) étant donnée la longueur des trois côtés. Mathématiquement, ce poids peut être défini par l'évaluation du graphe  $\Theta$  labellé par les trois représentations  $j_1, j_2, j_3$ . C'est le produit  $C_{m_1 m_2 m_3}^{j_1 j_2 j_3} C_{m_1 m_2 m_3}^{j_1 j_2 j_3}$  de deux coefficients de Clebsch-Gordan. Finalement, on associe à chaque tétraèdre  $tet$  le symbole  $\{6j\}$  dépendant des six représentations des côtés de  $tet$ . Ce symbole est défini par le produit des entrelaceurs (coefficients de Clebsch-Gordan) associés aux 4 triangles de  $tet$  :

$$\{6j\} = \sum_{m_i} C_{m_1 m_2 m_3}^{j_1 j_2 j_3} C_{m_3 m_4 m_5}^{j_3 j_4 j_5} C_{m_5 m_2 m_6}^{j_5 j_2 j_6} C_{m_6 m_4 m_1}^{j_6 j_4 j_1}. \quad (9.14)$$

En multipliant tous ces poids, on obtient alors une amplitude pour la configuration de la triangulation (ensemble des tétraèdres recollés) définie par les  $j_e$ . Et la fonction de partition pour une triangulation  $T$  (sans bord) donnée est :

$$Z(T) = \mathcal{N}_T \left( \prod_e \sum_{j_e} \Delta_{j_e} \right) \prod_t \Theta_t(j) \prod_{tet} \{6j\}_{tet} \quad (9.15)$$

où  $\mathcal{N}_T$  est un facteur (combinatoire) ne dépendant que de la triangulation (et non des labels  $j_e$ ).

On peut voir ce modèle comme une discrétisation de la théorie BF topologique, définie sur les variables connexion  $\omega$  et multiplicateur de Lagrange  $B$ . Cette théorie BF est exactement la gravité tri-dimensionnelle avec le champ  $B$  étant simplement la triade  $E$  (voir partie III pour plus de détails). Au niveau de l'intégrale de chemin (pour la fonction de partition par exemple), en intégrant sur le champ  $B$ , il ne reste que l'intégration sur les configurations de  $\omega$  contrainte à être de courbure nulle  $F = 0$  :

$$Z = \int [dB] \int [d\omega] e^{i \int \text{Tr} B \wedge F} = \int [d\omega] \delta(F[\omega]).$$

Il est alors facile de discrétiser cette intégrale<sup>6</sup>. Pour cela plaçons-nous sur la *dual de la triangulation*. On fait donc correspondre à chaque tétraèdre un vertex (représentant ainsi un événement dans l'espace-temps), à chaque triangle correspond un lien (1d) reliant les deux tétraèdres auxquels il appartient, à chaque côté une surface appelée *plaquette* délimitée par une boucle reliant les tétraèdres partageant ce côté, et enfin à chaque point un volume 3d ou *bulle*. Ce dual est la mousse de spin elle-même : l'espace-temps est fait de bulles dont les surfaces (faites des plaquettes) sont labellées par des représentations de  $SU(2)$  (en effet, les  $V^j$  sont attachées aux liens, donc aux plaquettes duales). On commence par discrétiser la connexion  $\omega$ . On la remplace par une connexion "discrète" : des éléments  $g_l$  de  $SU(2)$  associés à chaque lien dual  $l$ . Ils sont ainsi rattachés chacun à un triangle et décrivent le transport parallèle d'un tétraèdre à un autre à travers le triangle (décrivant donc le changement de repère d'un tétraèdre à l'autre). Il est alors normal de discrétiser la 2-forme courbure  $F[\omega]$  sur des surface, ici plaquettes. En effet, on peut remplacer  $F[\omega]$  sur une plaquette/face  $f$  par l'holonomie de la connexion autour de cette plaquette multipliant les éléments de groupe  $g_l$  des liens sur la frontière de la plaquette. Alors la condition

<sup>5</sup>Il y a en fait une ambiguïté dans la norme exacte, certains préconisent  $j, j + 1/2$  ou  $\sqrt{j(j+1)}$ ...

<sup>6</sup>On peut également discrétiser directement la théorie BF, puis effectuer l'intégrale sur le champ  $B$  seulement au niveau discret. On retrouve le même résultat final, mais cela permet de mieux suivre ce qui advient des symétries continues (comme l'invariance sous difféomorphismes) au niveau discret [79].



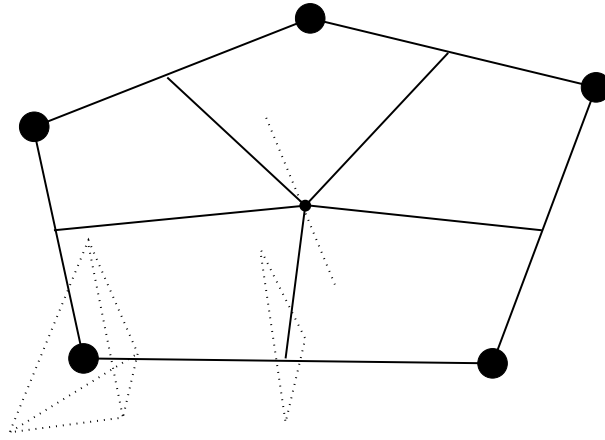


FIG. 9.2 – Une *plaquette* (dual d’un côté de la variété simpliciale) divisée en *wedges*, avec ses liens limites (duaux aux triangles) et ses vertex limites (duaux aux tétraèdres).

$F = 0$  se traduit par contraindre l’holonomie à être l’identité sur  $SU(2)$ . Ainsi on discrétise l’intégrale de chemin de la théorie BF :

$$Z = \left( \prod_l \int dg_l \right) \prod_f \delta \left( \overrightarrow{\prod_{l \in \partial f}} g_l \right). \quad (9.16)$$

On peut alors “développer” les fonctions delta en utilisant la formule de Peter-Weyl sur  $SU(2)$  :

$$\delta(g) = \sum_j \Delta_j \chi_j(g),$$

où  $\chi_j$  est le caractère de la représentation  $j$  (la trace sur  $V^j$ ). Ceci associe une représentation à chaque face (duale)  $f$  i.e. à chaque côté  $e$  de la triangulation. Un calcul rapide permet alors de retrouver la même fonction de partition que précédemment.

### 9.2.2 Ponzano-Regge comme un projecteur

Étudions maintenant les propriétés de ce modèle et regardons comment s’en servir pour calculer des amplitudes de transition en gravité quantique (3d). Tout d’abord, la propriété fondamentale du modèle de Ponzano-Regge est que c’est une *théorie topologique*<sup>7</sup> : les amplitudes calculées ne dépendent pas des détails de la triangulation fixée mais de sa topologie uniquement.

Plus précisément, il existe des égalités “pentagonales” exprimant le produit de 2 symboles  $\{6j\}$  en fonction de la somme de produits de 3 symboles  $\{6j\}$ , et similairement un seul symbole  $\{6j\}$  en fonction de la somme de produits de 4 symboles  $\{6j\}$ . Ces identités peuvent être traduites en terme d’invariance de la fonction de partition sous les mouvements de Pachner  $2 \leftrightarrow 3$  et  $1 \leftrightarrow 4$ , remplaçant respectivement 2 tétraèdres par 3 tétraèdres (gardant la même frontière) et 1 tétraèdre par 4 tétraèdres, et réciproquement.

Cette propriété exprime l’invariance du modèle sous raffinement de la triangulation, ce qui reflète que le modèle discret décrit exactement la théorie (quantique) continue et non pas seulement une approximation.

Introduisons des bords/frontières dans le modèle. Du point de vue de la triangulation, on peut définir le bord d’une variété simpliciale tri-dimensionnelle par une variété simpliciale bi-dimensionnelle constituée de triangles collés les uns aux autres. Dans le modèle de Ponzano-Regge, les côtés des triangles de la frontière sont labellés

<sup>7</sup>En fait, les amplitudes définies sont infinies et le modèle n’est pas bien défini en général. Néanmoins, on peut le régulariser soit par cutoff, soit en utilisant un groupe quantique  $SU(2)_q$  (modèle de Turaev-Viro), dans ces cas, on obtient un modèle topologique bien défini.

par des spins  $j$ . Du point de vue dual, si on prend une tranche 2d de la mousse de spin (duale à la triangulation), on obtient un réseau de spin labellé par des représentations  $j$  et avec des vertex trivalents. Ces vertex trivalents peuvent être considérés comme duaux à des triangles, alors le réseau de spin s'interprète comme dual à une variété simpliciale 2d et tout est bien cohérent. La fonction de partition d'une variété avec bords est donnée par exactement la même formule que précédemment sauf que nous ne sommes pas sur les spins/représentations  $j$  externes.

Ayant introduit des frontières, on peut alors interpréter le modèle de Ponzano-Regge comme nous fournissant des amplitudes de transition entre variétés bi-dimensionnelles. En fait, il définit un projecteur, projetant les états cinématiques (réseaux de spin labellés par des représentations arbitraires) sur des états physiques solutions de toutes les contraintes de la gravité 3d (voir par exemple [66]). Plus précisément, considérons une 3-variété  $M$  et décomposons-la en trois parties  $M_1$ ,  $M_2$  et  $N$ , avec  $N$  ayant la topologie d'un cylindre  $\Sigma \times [0, 1]$  ( $\Sigma$  compact) et les bords  $\partial M_1$  et  $\partial M_2$  étant isomorphes à  $\Sigma$ . La fonction de partition de Ponzano-Regge peut s'écrire :

$$Z_M = \mathcal{N}_T \sum_{j_e \in \Delta_1, j_{\bar{e}} \in \Delta_2} Z_{M_1, \Delta_1}(j_e) P_{\Delta_1, \Delta_2}(j_e, j_{\bar{e}}) Z_{M_2, \Delta_2}(j_{\bar{e}}), \quad (9.17)$$

en choisissant une triangulation de  $M$  telle qu'aucun tétraèdre ne soit partagé par deux des régions  $M_1$ ,  $M_2$  ou  $N$ . Ici  $\Delta_i$  dénote une triangulation des frontières. La somme sur les spins attachés aux liens internes à  $M_1$ ,  $M_2$  et  $N$  est implicite dans la définition des fonctions  $Z_{M_i, \Delta_i}$  et  $P_{\Delta_1, \Delta_2}$ .

On a alors la relation suivante grâce à l'invariance topologique du modèle :

$$\mathcal{L}_{\Delta_2} \sum_{j_{\bar{e}} \in \Delta_2} P_{\Delta_1, \Delta_2}(j_e, j_{\bar{e}}) P_{\Delta_2, \Delta_3}(j_{\bar{e}}, j'_e) = P_{\Delta_1, \Delta_3}(j_e, j'_e), \quad (9.18)$$

où  $\mathcal{L}$  est une constante de normalisation dépendant uniquement de la triangulation  $\Delta_2$ . Cela permet de définir un opérateur de projection agissant sur les états de réseaux de spin  $\phi_\Delta$  définis sur la frontière d'une triangulation :

$$\mathcal{P}[\phi_\Delta](j) = \mathcal{L} \sum_{j'} P_{\Delta, \Delta}(j, j') \phi_\Delta(j'). \quad (9.19)$$

Il est facile de vérifier que  $\mathcal{P} \cdot \mathcal{P} = \mathcal{P}$ , et nous pouvons écrire la fonction de partition comme :

$$Z_M = \mathcal{N}_T \sum_{j_e \in \Delta_1, j_{\bar{e}} \in \Delta_2} \mathcal{P}[Z_{M_1, \Delta_1}](j_e) P_{\Delta_1, \Delta_2}(j_e, j_{\bar{e}}) \mathcal{P}[Z_{M_2, \Delta_2}](j_{\bar{e}}). \quad (9.20)$$

Cela nous permet de définir les *états physiques* de la théorie comme ceux satisfaisant :

$$\phi_\Delta = \mathcal{P}[\phi_\Delta] \quad (9.21)$$

qui est l'analogue de l'équation de Wheeler-DeWitt. On en déduit le produit scalaire physique :

$$\langle \phi_\Delta | \phi'_\Delta \rangle_{\text{phys}} = \sum_{j, j' \in \Delta} \phi_\Delta(j) P_{\Delta, \Delta}(j, j') \phi'_\Delta(j'). \quad (9.22)$$

Ainsi, les fonctions  $Z_{M_1}$  et  $Z_{M_2}$  sont solutions de l'équation (9.21) et la fonction de partition de  $M$  donne leur produit scalaire! Dans ce contexte, il est possible de vérifier que le projecteur projete bien les réseaux de spin sur le secteur  $F = 0$  et que donc le modèle de Ponzano-Regge implémente bien la gravité quantique Euclidienne en trois dimensions.

Il existe une autre manière de comprendre la projection réalisée par le modèle en utilisant la construction GNS. Tout d'abord, dans un formalisme connexion, les états frontières sont définis par des fonctionnelles cylindriques. Plus précisément, on définit les données géométriques du bord par une connexion (discrète) sur le graphe frontière. Pour être plus concret, considérons un graphe frontière donné  $\Gamma$  et numérotions ses liens par  $i = 1, \dots, N$  et ses vertex par  $v$ . Un état frontière, noté  $\phi$ , est une fonction cylindrique dépendant d'éléments de groupe  $g_i$  et invariante sous  $\text{SU}(2)$  aux vertex :

$$\forall k_v \in \text{SU}(2), \phi(g_i) = \phi(k_{s(i)} g_i k_{c(i)}^{-1}),$$

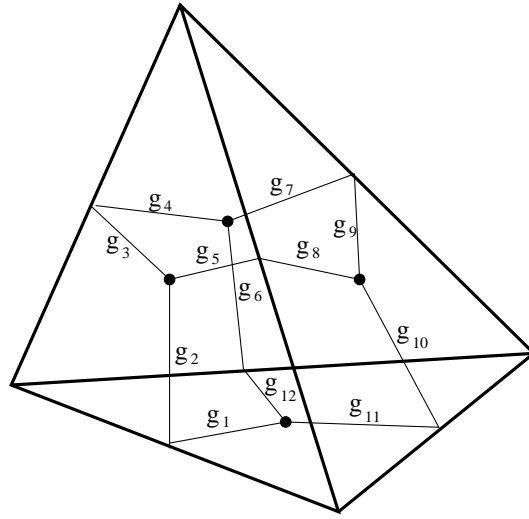


FIG. 9.3 – Un tétraèdre avec le dual de la frontière et les variables de connexion sur la frontière.

avec les notations évidentes pour les vertex source et cible. On définit la mesure de Haar  $\mu$  sur  $SU(2)^N$  pour intégrer ces fonctions.

Ces états frontières forment une algèbre  $\mathcal{A}$ . Pour appliquer la construction GNS pour les projeter sur les “états physiques”, considérons la fonctionnelle linéaire positive :

$$w(\phi) = \mu(a\phi) = \int_{SU(2)^N} \prod_i dg_i z(g_i) \phi(g_i) \quad (9.23)$$

où  $z(g_i)$  est la fonction de partition de la triangulation/mousse de spin avec frontière définie par les  $g_i$ . Elle est définie à partir de la formule (9.16) valable pour une variété sans frontière en refermant les faces/plaquettes ouvertes à l’aide de la connexion sur la frontière :

$$z(g_e) = \left( \prod_l \int dg_l \right) \prod_{f \text{ interne}} \delta \left( \prod_{l \in f} \vec{g}_l \right) \prod_{f \text{ ouverte}} \delta \left( \prod_{l \in f} \vec{g}_l g_{i \in \partial f} \right). \quad (9.24)$$

Alors, quotientant par l’idéal de Gelfand :

$$\mathcal{I} = \{\phi \mid w(\bar{\phi}\phi) = 0\}, \quad (9.25)$$

$w$  définit un produit scalaire sur  $\mathcal{A}/\mathcal{I}$  et l’espace d’Hilbert sera le complété de  $\mathcal{A}/\mathcal{I}$  pour la norme définie par  $w$ .

Dans le cas du tétraèdre, le graphe frontière est le graphe trivalent à 4 noeuds et 6 liens. Les états frontières sont des fonctions invariantes de six éléments  $g_1, \dots, g_6$ . Un calcul rapide donne :

$$w(\phi) = \phi(g_i = Id), \quad (9.26)$$

et donc les états physiques sont donnés par les connexions plates  $g_i = Id$  comme prévu.

Un point important dans la construction d’un projecteur à partir du modèle de Ponzano-Regge est que, tout comme dans les intégrales de chemins formelles pour la gravité, nous avons intégré sur les deux signes du temps propre. Ceci tue la “causalité”. On peut voir cela dans l’asymptotique des symboles  $\{6j\}$  qui, dans la limite de grands  $j$ , tend vers  $e^{+iS} + e^{-iS}$  où  $S$  est l’action de Regge -discrétisation de la gravité. Les deux termes correspondent à des signes de *lapse* opposés et donc à des configurations à direction temps opposée.

A un niveau plus profond, cette symétrie se lit dans l'invariance de la fonction de partition sous changement d'orientation  $g \leftrightarrow g^{-1}$  des éléments de groupe, qui est due à l'invariance des caractères  $\chi_j$ . Mathématiquement, cela correspond au groupe de Weyl  $\mathbb{Z}_2$  de  $SU(2)$ .

Intégrer sur les deux signes du temps propre est tout-à-fait normal si on veut obtenir un projecteur comme on peut le voir sur l'exemple de la particule relativiste (voir par exemple [77]). Par contre, si on veut rétablir le temps, une structure causale et décrire une évolution (unitaire) des structures dans le temps, il faut briser cette symétrie  $\mathbb{Z}_2$ .

Ce problème est lié directement au domaine d'intégration de l'intégrale de chemin. En effet, l'action

$$S[A, E] = \int \text{Tr} E \wedge F(A)$$

de la gravité 3d est anti-symétrique en  $E$ . Classiquement, on retrouve la relativité générale 3d dans le secteur  $\det(E) > 0$ . Cependant, la théorie BF quantique est définie par l'intégrale de chemin sur les deux signes de  $E$  et donc de  $\det(E)$  :

$$Z_{BF} = \int [dE] e^{i \int \text{Tr} E \wedge F(A)} = \int_{\det(E) > 0} [dE] \left( e^{i \int E \wedge F(A)} + e^{-i \int E \wedge F(A)} \right) + \int_{\det(E) = 0} [dE] e^{i \int E \wedge F(A)}.$$

Négligeant le secteur dégénéré, on voit bien que cette fonction de partition est différente de la fonction de partition de la relativité générale où on intégrerait seulement sur les configurations  $\det(E) > 0$  [98]. Intégrer sur les deux signes de  $\det(E)$  effacent la structure causale de l'espace-temps généré car les deux signes de  $\det(E)$  correspondent à des directions temps opposées. Et c'est ce même phénomène qui se reflète dans le modèle discrétisé défini par Ponzano-Regge.

En principe, il est possible de distinguer les deux images miroirs (en coupant les caractères en deux par exemple), mais il n'y a pas vraiment de motivations pour imposer une flèche temps dans un modèle Euclidien. Par contre, regardons le modèle de Ponzano-Regge Lorentzien [63, 64]. Un tel modèle est fondé sur les représentations unitaires de  $SO(2, 1)$ , explicitées dans les parties précédentes. Il existe alors un modèle topologique utilisant la série positive discrète de représentations. Il est intéressant de noter que la symétrie  $\mathbb{Z}_2$  est alors brisée et que les caractères sont de simples exponentielles :  $SO(2, 1)$  distingue naturellement deux directions du temps et le modèle Lorentzien hérite une flèche temporelle intrinsèque. Dans ce sens, il semble donc que le modèle Lorentzien est une bonne quantification directe de la gravité (tenant compte seulement d'un secteur du déterminant).

Dans le cas Lorentzien quadri-dimensionnel, le groupe de base sera  $SL(2, \mathbb{C})$ , et son groupe de Weyl  $\mathbb{Z}_2$ , qui ne permet pas de distinguer naturellement passé et futur. Il n'existe pas encore d'extension naturelle utilisant un autre groupe permettant une telle extension, et pour rétablir la causalité du modèle, on est obligé de couper le modèle en deux à la main, se laissant guider par l'intuition du modèle de Ponzano-Regge Lorentzien. Cela sera étudié en détails dans le prochain chapitre.

### 9.2.3 Théorie de champs génératrice

Il existe une théorie de champs sur  $SU(2)$  générant le modèle de Ponzano-Regge [99]. Tout comme dans le cas 2d, ses diagrammes de Feynman reproduisent des variétés simpliciales<sup>8</sup> habillés par des représentations de  $SU(2)$ .

On définit un champ réel  $\phi$  sur  $SU(2)^3$  invariant sous permutation de ses arguments et invariant sous  $SU(2)$  :

$$\forall g \in SU(2), \phi(g_1, g_2, g_3) = \phi(g_1 g, g_2 g, g_3 g). \quad (9.27)$$

Intuitivement, c'est un champ sur les triangles de  $\mathbb{R}^3$  (triangles intrinsèques i.e. classes d'équivalence de triangles sous les isométries de  $\mathbb{R}^3$ ). Passant à la transformée de Fourier,  $\phi$  s'écrit :

$$\phi(g_1, g_2, g_3) = \phi_{a_1 a_2 a_3}^{j_1 j_2 j_3} \prod_{i=1}^3 D_{a_i b_i}^{(j_i)}(g_i) C_{b_1 b_2 b_3}^{j_1 j_2 j_3}. \quad (9.28)$$

<sup>8</sup>En fait, les diagrammes de Feynman donnent des 2-complexes qui ne sont duaux à des triangulations que localement. En général, cela fournit des variétés à singularité conique. Plus intuitivement, on remarque que les bulles (duaux aux points) ne sont plus clairement séparées mais s'interpénètrent, ce qui rend floue la définition des points de la triangulation.

L'action de la théorie génératrice est alors :

$$S[\phi] = \frac{1}{2} \int_{\text{SU}(2)^3} dg_1 dg_2 dg_3 |\phi(g_1, g_2, g_3)|^2 - \frac{\lambda}{4!} \int_{\text{SU}(2)^6} \prod_1^6 dg_i \phi(g_1, g_2, g_3) \phi(g_3, g_4, g_5) \phi(g_5, g_2, g_6) \phi(g_6, g_4, g_1). \quad (9.29)$$

Les règles de Feynman définissent un vertex d'interaction dual à un tétraèdre. Et on peut coller ces vertex d'interaction à l'aide de propagateurs, qui représentent les triangles. On retrouve alors la fonction de partition décrit précédemment quand  $\lambda = 1$ . Pour  $\lambda$  arbitraire, la théorie définit n'est plus exactement topologique et on obtient des facteurs de  $\lambda$  exposant le nombre de tétraèdres de la triangulation. De ce point de vue,  $\lambda$  permet de contrôler le volume de la triangulation : par exemple les petites triangulations sont favorisées quand  $\lambda$  est petit.

Comme dans le cas des mousses de spin 2d, je vais m'intéresser aux solutions classiques de la théorie. L'équation du mouvement s'écrit :

$$\phi_0(g_1, g_2, g_3) = \frac{\lambda}{3!} \int dg_4 dg_5 dg_6 \phi_0(g_3, g_4, g_5) \phi_0(g_5, g_2, g_6) \phi_0(g_6, g_4, g_1). \quad (9.30)$$

Passant à la transformée de Fourier, cette équation s'écrit :

$$\phi_{a_1 a_2 a_3}^{j_1 j_2 j_3} = \frac{\lambda}{3!} \frac{\{6j\}}{\Delta_{j_4} \Delta_{j_5} \Delta_{j_6}} \phi_{a_3 a_4 a_5}^{j_3 j_4 j_5} \phi_{a_5 a_2 a_6}^{j_5 j_2 j_6} \phi_{a_6 a_4 a_1}^{j_6 j_4 j_1}. \quad (9.31)$$

D'où la solution évidente pour  $\phi$  donnée par l'inverse des Clebsh-Gordan. Mais il existe certainement d'autres solutions. L'action évaluée sur une solution vaut :

$$S[\phi_0] = \frac{1}{4} \int dg_1 dg_2 dg_3 \phi_0(g_1, g_2, g_3)^2.$$

Comme dans le cas des mousses de spin 2d, on pourra les interpréter comme des états cohérents de triangles. En effet, un tel état  $\phi_0$  invariant sous mouvement de Pachner  $1 \leftrightarrow 3$  est un triangle équivalent à trois triangles, et ainsi de suite : c'est une configuration du champ auto-raffinante.

On peut considérer comme état de la théorie les fonctionnelles du champ  $\phi$ . Tout comme dans le cas 2d, on peut introduire la relation d'équivalence définie par l'égalité sur toutes les solutions classiques. Ce seront des fonctions invariantes sous le mouvement de Pachner  $1 \leftrightarrow 3$  mais pas forcément sous le mouvement  $2 \leftrightarrow 2$ . Par similarité avec le cadre des mousses de spin 2d, on pourrait considérer ces classes d'équivalence comme les solutions de la théorie quantique canonique. Mais dans ce cas, puisque nous n'avons pas invariance sous le mouvement  $2 \leftrightarrow 2$ , cela ne projete pas sur les configurations à courbure nulle  $F = 0$ . De plus, physiquement, ces "états" ne comportent pas de corrélations à longues distances puisqu'elles ne sont possibles que grâce aux mouvements  $2 \leftrightarrow 2$  (non-ultra-locaux comme les mouvements  $1 \leftrightarrow 3$ ). On peut trouver dans [100] des considérations similaires sur la dynamique d'une théorie de la gravité 3d ou 4d discrétisée.

On peut aussi regarder les perturbations de la théorie autour de ces configurations. Elles sont définies par l'action :

$$S_{\phi_0}[\phi] = S[\phi_0 + \phi] - S[\phi] = \frac{1}{2} \int \phi^2 - \frac{\lambda}{2} \int \phi^2 \phi_0^2 - \frac{\lambda}{4!} \int \phi^4 - \frac{\lambda}{3!} \int \phi^3 \phi_0 \quad (9.32)$$

avec une modification à la fois du propagateur et du vertex d'interaction. Cela permet d'étudier la théorie autour d'un "vide" non-trivial (une géométrie de fond non nulle).

## 9.2.4 Conclusion : extension à la théorie BF en dimension 4

Les constructions précédentes peuvent être généralisées à toute dimension et résultent en des modèles de mousse de spin quantifiant la théorie BF topologique.

Examinons la situation en quatre dimensions. On considère une variété simpliciale 4d consistant en des 4-simplex collés ensemble. La mousse de spin est le 2-complexe dual. Chaque 4-simplex est fait de 10 triangles

groupés en 5 tétraèdres. On associe à chaque triangle une représentation de  $Spin(4)$  dans le cas Euclidien ou de  $SL(2, \mathbb{C})$  dans le cas Lorentzien. Chaque tétraèdre est défini par un entrelaceur 4-valent entre les 4 représentations de ses triangles.  $Spin(4)$  se décompose en  $SU(2) \times SU(2)$  et ses représentations irréductibles sont labellés par deux demi-entiers  $J = (j, k)$  correspondant aux deux sous-groupes  $SU(2)$ . Une base d'une telle représentation est fournie par la base usuelle des représentations de  $SU(2)$  et est labellée par un couple de demi-entiers  $M = (m, n)$ . Il n'y a pas un unique entrelaceur 4-valent étant données 4 représentations, mais les entrelaceurs forment un espace d'Hilbert. Une base est donnée par la décomposition de l'entrelaceur en deux entrelaceurs 3-valents. Comme les entrelaceurs 3-valents sont uniques (coefficients de Clebsh-Gordan à une normalisation), la base est labellée par une représentation de  $Spin(4)$  intermédiaire. On note ces entrelaceurs (orthonormés)  $C_{M_1 M_2 M_3 M_4}^{J_1 J_2 J_3 J_4 J}$  avec  $J$  la représentation intermédiaire.

Finalement, un 4-simplex est fait de 10 triangles labellés par 10 représentations et de 5 tétraèdres labellés chacun par un entrelaceur. On associe alors à chaque 4-simplex l'unique amplitude invariante fabriquant à partir de ces 15 représentations. C'est le symbole  $\{15j\}$  de  $Spin(4)$ , obtenu en contractant les 10 représentations avec les 5 entrelaceurs.

Regardons plus précisément ce qui se passe au niveau des tétraèdres, on leur associe un diagramme *oeil* labellé par les 4 représentations  $J_1, \dots, J_4$  des triangles et par deux représentations "internes"  $J$  et  $K$  décrivant les entrelaceurs attribués au tétraèdre vu des deux 4-simplex qui le partagent. Contractant les deux entrelaceurs, l'évaluation du diagramme *oeil* vaut 1 si  $J = K$  et 0 sinon, ce qui correspond au nombre d'états quantiques du tétraèdre. On remarque que le tétraèdre est le même vu des deux 4-simplex.

Comme en 3d, on pourra reconstruire tout cela par une discrétisation de la fonction de partition de la théorie BF et on pourra également suivre la même construction d'un projecteur que dans le cas 3d.

A ce point, il est nécessaire de souligner que le 4-simplex construit tel quel à partir de la théorie BF n'est pas *géométrique*, dans le sens qu'il n'y a aucune relation entre le champ  $B$  de la théorie et la métrique. Il est par contre possible d'imposer une telle relation et de construire un 4-simplex géométrique en contraignant les représentations qui le labellent [73]. Cela mène au modèle de Barrett-Crane que je discute dans la prochaine partie. Alors, la représentation interne d'un tétraèdre sera différente vu des deux 4-simplex et l'évaluation du diagramme *oeil* ne sera plus simplement 0 ou 1 mais on obtiendra un espace d'états quantiques du tétraèdre beaucoup plus riche [76].

# Chapitre 10

## La géométrie quantique selon Barrett-Crane

Le modèle de Barrett-Crane est un modèle de mousse de spin quantifiant la relativité générale. D'une part, on peut le voir comme une quantification géométrique de 4-simplex collés par la suite pour construire un espace-temps, tout comme le modèle de Ponzano-Regge pouvait être considéré comme la théorie d'un tétraèdre quantique. D'ailleurs ce point de vue se reflète dans la possibilité d'écrire une théorie de champs génératrice pour le modèle. D'autre part, on peut dériver le modèle à partir de la théorie BF. En effet, il existe une reformulation de la relativité générale sous la forme d'une théorie BF contrainte (les contraintes sont d'ailleurs les contraintes de seconde classe (1.2)). Dans ce contexte, la quantification de la théorie BF en n'importe quelle dimension est connue et s'effectue d'une manière parallèle au cas tri-dimensionnel. Ensuite, il s'agit d'imposer les contraintes au niveau quantique pour obtenir un modèle quantifiant légitimement la relativité générale.

Dans un premier temps, je vais rappeler en introduction la quantification d'un 4-simplex effectuée par Barrett et Crane dans les cas Euclidien et Lorentzien [73, 74], ce qui permettra de comprendre les objections possibles à la pertinence du modèle en tant que gravité quantique.

Puis dans une première section, j'expliquerai la dérivation de la relativité générale (action de Palatini généralisée) à partir de la théorie BF et je montrerai comment traduire les contraintes au niveau quantique. Dans ce contexte, je soulignerai le rôle du paramètre d'Immirzi.

Ensuite, je décrirai le modèle de Barrett-Crane lui-même et la géométrie quantique qu'il définit. En effet, le modèle n'est plus topologique et il s'agit de comprendre quels sont vraiment les degrés de liberté de la théorie.

Enfin, je terminerai ce chapitre par le problème de la flèche temps : le modèle est-il causal et peut-on le comprendre en terme d'opérateur évolution ?

### 10.1 Rappels sur la quantification d'un 4-simplex

Dans notre cadre, la quantification du 4-simplex se fait à partir de sa description géométrique en fonction de *bivecteurs*. A partir d'un 4-simplex géométrique on peut construire les 10 bivecteurs  $b(t)$  correspondant à ses 10 triangles  $t$  (on prend le bivecteur  $e \wedge f$  pour un triangle dont les vecteurs côtés sont  $e, f, g = -(e + f)$ ). Réciproquement, un 4-simplex géométrique est uniquement déterminé par ses 10 bivecteurs. Plus précisément, soit un 4-simplex combinatoire avec 10 bivecteurs correspondant à ses 10 triangles et satisfaisant les conditions suivantes [73] :

- (1) Le bivecteur  $b(t)$  change de signe si l'orientation du triangle  $t$  change.
- (2) Chaque bivecteur  $b(t)$  est simple i.e. de la forme  $e \wedge f$ . Cela équivaut à la condition  $\langle b, *b \rangle = 0$ .
- (3) Si deux triangles ont un côté en commun, alors la somme des deux bivecteurs est encore simple.
- (4) La somme des quatre bivecteurs correspondant aux faces d'un tétraèdre est nulle, prenant comme orientation des triangles celle de la frontière du tétraèdre.

- (5) La configuration des bivecteurs est non-dégénérée : les bivecteurs de six triangles partageant un même vertex sont linéairement indépendant.
- (6) Dans le cas Euclidien, les bivecteurs peuvent être considérés comme des opérateurs linéaires en utilisant la métrique Euclidienne. Alors pour n'importe quels 3 triangles sur un même tétraèdre, on suppose que  $\text{Tr}b_1[b_2, b_3] > 0$ , l'ordre 1, 2, 3 étant déterminé par l'orientation de la frontière du tétraèdre. Dans le cas Lorentzien, il faut prendre en compte le genre temps ou espace du tétraèdre. Par exemple, dans le cas de tétraèdre de genre espace, on impose la même condition que dans le cas Euclidien.

Alors les 10 bivecteurs déterminent un unique 4-simplex géométrique à translation près (et inversion par rapport à l'origine près). Remarquons que la condition (6) permet de distinguer une configuration  $b(t)$  de son opposée  $-b(t)$  (le signe de la trace change) et de son dual  $*b(t)$  (on obtient un 4-simplex dégénéré avec  $\text{Tr}b_1[b_2, b_3] = 0$ ).

Notons que dans le cas Euclidien, la contrainte de simplicité d'un bivecteur  $b$  s'exprime facilement en utilisant la décomposition de  $b$  en parties selfduale et antiselfduale  $b = b^+ + b^-$  avec  $*b^\pm = \pm b^\pm$  : un bivecteur est simple ssi  $|b^+|^2 = |b^-|^2$ .

Il s'agit de quantifier le 4-simplex en respectant les conditions (1) – (6)[73, 74, 76]. Commençons par le cas Euclidien. On effectue une quantification géométrique utilisant une correspondance entre l'ensemble de bivecteurs  $\Lambda^2\mathbb{R}^4$  et l'algèbre (son dual)  $so(4)^*$  :

$$\begin{aligned} \theta & : \Lambda^2\mathbb{R}^4 &\rightarrow & so(4)^* \\ e \wedge f & \rightarrow & \theta(e \wedge f) : l \in so(4) &\rightarrow \eta(le, f) \in \mathbb{R} \end{aligned} \quad (10.1)$$

où  $\eta$  est la métrique Euclidienne (plate). Il est important pour la suite de noter une ambiguïté dans la définition de cette correspondance. En effet, on peut utiliser l'isomorphisme  $\theta \circ *$  [76] et même plus généralement  $\theta \circ (\alpha * + \beta)$  [96].

Identifiant  $so(4)^*$  et  $so(4)$ , on peut remplacer les bivecteurs par des générateurs du groupe  $SO(4) \sim Spin(4)$  et on se retrouve avec un générateur  $J \in so(4)$  sur chaque triangle. Quantifiant géométriquement [76], on se retrouve avec une représentation de  $Spin(4)$  sur chaque triangle et il s'agit de traduire les conditions (1) – (6) en des contraintes sur les représentations.

Les représentations de  $Spin(4) \sim SU(2) \times SU(2)$  sont des couples de représentations de  $SU(2)$  et sont donc labellées par des couples de demi-entiers  $(j_+, j_-)$ . Tenant compte qu'un bivecteur est simple ssi  $\langle b, *b \rangle = 0$ , on peut quantifier la condition de simplicité en  $\langle J, *J \rangle = 0$ . Ceci est le second Casimir de  $spin(4)$  et se traduit donc en :

$$j_+(j_+ + 1) - j_-(j_- + 1) = 0 \quad \text{i.e.} \quad j_+ = j_- \quad (10.2)$$

Ainsi les *représentations simples* de  $Spin(4)$  sont labellées par un unique demi-entier  $j = j_- = j_+$ . Ce sont les seules représentations de  $Spin(4)$  contenant un vecteur invariant sous  $SU(2)$ . Nous noterons ainsi  $|(j, j)x0\rangle$ , en reprenant les notations de la partie précédente, le vecteur de la représentation  $(j, j)$  invariant sous le groupe  $SU(2)_x$  stabilisateur du vecteur  $x \in \mathcal{S}^3 \sim SO(4)/SO(3)$ .

Alors, interprétant un tétraèdre comme un tenseur sur les 4 représentations attachées à ses faces, la traduction des conditions (1) – (4) est immédiate :

- (1) Changer l'orientation d'un triangle change sa représentation en son dual.
- (2) Chaque représentation est simple i.e. du type  $(j, j)$ .
- (3) La somme de deux bivecteurs se traduit par le produit tensoriel des représentations. Pour deux triangles d'un tétraèdre, le produit tensoriel des deux représentations se développe sur les représentations  $(j_-, j_+)$  de  $spin(4)$ . On impose que le tenseur du tétraèdre soit non-nul seulement sur les composantes simples  $(j, j)$  de la décomposition.
- (4) Le tenseur associé à un tétraèdre est un tenseur invariant i.e. un entrelaceur entre les quatre représentations attachées à ses faces.

Ces conditions déterminent de manière unique l'entrelaceur attaché à un tétraèdre en fonction des 4 représentations le labellant [101]. On l'appelle l'*entrelaceur de Barrett-Crane*. C'est l'unique entrelaceur invariant sous  $SO(3)^4$  et peut être considéré comme un entrelaceur sur l'espace  $SO(4)/SO(3) \sim \mathcal{S}^3$ , fait qui peut se généraliser à



toute dimension[102]. Cette invariance au niveau des entrelaceurs peut être interprétée comme implémentant l'invariance de la géométrie d'un tétraèdre sous le groupe  $SO(3)$ .

Décomposant l'entrelaceur sur la base d'entrelaceurs trivalents, il se décompose uniquement sur les représentations simples avec avec coefficients leur mesure de Plancherel (la dimension des représentations) :

$$I_{BC}^{j_1, j_2, j_3, j_4} \equiv \sum_j (2j+1)^2 \begin{matrix} (j_1, j_1) \\ (j_2, j_2) \end{matrix} \left. \vphantom{\sum_j} \right\} \begin{matrix} (j, j) \\ (j, j) \end{matrix} \left. \vphantom{\sum_j} \right\} \begin{matrix} (j_3, j_3) \\ (j_4, j_4) \end{matrix} \quad (10.3)$$

où on peut permuter le rôle des représentations 1, 2, 3, 4 dans la décomposition de l'entrelaceur (il est "isotrope"). Il peut également être écrit comme une intégrale sur l'espace homogène  $\mathcal{S}^3$  :

$$I_{BC}^{j_1, j_2, j_3, j_4} \equiv \int_{\mathcal{S}^3} dx \prod_{i=1}^4 \langle (j_i, j_i) x | \cdot \rangle. \quad (10.4)$$

Il n'y a pas de traduction de la condition (5). Mais il est possible d'étudier la condition (6). Cette contrainte est importante car elle permet de distinguer les secteurs  $b \leftrightarrow -b$  et  $b \leftrightarrow *b$ . Pour cela, il faut introduire des opérateurs volumes chiraux  $U^\pm$  :

$$U^\pm = \pm \text{Tr} b_1^\pm [b_2^\pm, b_3^\pm],$$

où  $b^\pm$  sont les composantes self-duales et anti-self duales de  $b$  dans  $spin(4)$ . Il y a 4 possibilités au niveau classique :

- ce sont les bivecteurs  $b$  eux-mêmes qui forment le 4-simplex, alors  $U_+ > 0$  et  $U^- = -U^+$ .
- ce sont les bivecteurs  $-b$  qui forment le 4-simplex, alors  $U_+ < 0$  et  $U^- = -U^+$ .
- ce sont les bivecteurs  $*b$  qui forment le 4-simplex, alors  $U_+ > 0$  et  $U^- = U^+$ .
- ce sont les bivecteurs  $-*b$  qui forment le 4-simplex, alors  $U_+ < 0$  et  $U^- = U^+$ .

Au niveau quantique, il est possible d'imposer la contrainte de chiralité  $U_+ + U_- = 0$  sélectionnant le secteur  $\pm b$  (et éliminant le secteur  $\pm *b$ ). Cela choisit la correspondance à utiliser entre les bivecteurs et l'algèbre (en fait, cela contraint la structure de Poisson sur les générateurs de l'algèbre) et il faut que cela soit  $\theta \circ *$  et non pas  $\theta$  [76] ! Ainsi l'ambiguïté au niveau de la correspondance est totalement fixée. Néanmoins, il n'est alors pas évident du tout d'imposer la contrainte  $U^+ > 0$  au niveau quantique, que l'on laisse de côté pour le moment. Le lecteur trouvera plus de détails sur la procédure de quantification en appendice.

L'extension au cas Lorentzien a été également réalisée par Barrett et Crane [74]. La logique de l'étude est la même que dans le cas Euclidien. Cette fois-ci, on travaille avec le groupe de Lorentz  $SO(3, 1) \sim \text{SL}(2, \mathbb{C})$ . Les représentations unitaires sont labellées par des couples  $(n \in \mathbb{N}/2, \rho \in \mathbb{R})$ . La simplicité des représentations correspond à la nullité du second Casimir  $n\rho = 0$ , ce qui restreint aux représentations  $(0, \rho)$  et  $(n, 0)$ . Il y a cette fois-ci trois entrelaceurs simples possibles : un correspond au quotient  $\text{SL}(2, \mathbb{C})/\text{SU}(2)$  isomorphe à l'hyperboloïde supérieure  $\mathcal{H}_+$  dans l'espace de Minkowski, un correspond au quotient  $\text{SL}(2, \mathbb{C})/\text{SU}(1, 1)$  isomorphe à l'hyperboloïde à une nappe  $\mathcal{H}_0$ , et un correspond au cône de lumière. Dans les trois cas, si on regarde les fonctions  $L^2$  sur ces espaces, on peut les développer en transformée de Fourier (en fait, transformée de Gelfand-Graev) sur des représentations simples.

Concentrons-nous sur le cas du quotient  $\text{SL}(2, \mathbb{C})/\text{SU}(2) \sim \mathcal{H}_+$ . Les fonctions  $L^2$  sur l'hyperboloïde se décompose sur les représentations simples du type  $(0, \rho)$  :

$$L^2(\mathcal{H}_+) = \int \rho^2 d\rho R^{(0, \rho)}.$$

L'entrelaceur de Barrett-Crane s'écrit dans ce cas comme une intégrale sur  $\mathcal{H}_+$  :

$$I_{BC}^{\rho_1, \rho_2, \rho_3, \rho_4} : \begin{matrix} \bigotimes_{i=1}^4 R^{(0, \rho_i)} & \rightarrow & \mathbb{C} \\ f_1 \otimes \dots \otimes f_4 & \rightarrow & \frac{1}{2\pi^2} \int_{\mathcal{H}_+} dx f_1(x) \dots f_4(x) \end{matrix} \quad (10.5)$$

en considérant les éléments des  $R^{(0,\rho)}$  comme des fonctions sur l'hyperboloïde. On peut également décomposer cet entrelaceur en des entrelaceurs trivalents ce qui donne :

$$I_{BC}^{\rho_1\rho_2\rho_3\rho_4} = \int \rho^2 d\rho \left. \begin{array}{c} \rho_1 \\ \rho_2 \end{array} \right\} \rho \left. \begin{array}{c} \rho_3 \\ \rho_4 \end{array} \right\} , \quad (10.6)$$

ou l'écrire en tant qu'intégrale sur  $\mathcal{H}_+$  des projections sur les vecteurs de  $R^{(0,\rho_i)}$  invariants sous  $SU(2)$  comme dans le cas Euclidien (10.4).

Regardons donc maintenant le 4-simplex quantique que nous avons construit. Il est défini par 10 représentations simples décrivant ses 10 triangles et par 5 entrelaceurs simples définissant les tétraèdres. Etant donnée la correspondance entre  $b \leftrightarrow *J$  définie par  $\theta \circ *$ , le Casimir  $\langle J, J \rangle$  des représentations simples correspond à la quantité classique  $\langle *b, *b \rangle = \pm \langle b, b \rangle$  suivant que nous sommes dans le cas Euclidien ou Lorentzien. On obtient ainsi l'aire (au carré) du triangle<sup>1</sup> : un triangle labellé par  $(j, j)$  (cas Euclidien) aura comme aire  $\sqrt{2j(j+1)}$  et un triangle labellé par  $(0, \rho)$  (cas Lorentzien) aura comme aire  $\sqrt{\rho^2 + 1} > 0$ . On remarque que le cas Lorentzien nous fournit le même spectre de l'aire qu'obtenu avec l'approche canonique covariante décrit dans la partie III. Ensuite les tétraèdres sont définis par les entrelaceurs simples, qui s'expriment comme des intégrales sur les espaces homogènes  $\mathcal{S}^3$  et  $\mathcal{H}_+$ . Les vecteurs sur  $\mathcal{S}^3$  et  $\mathcal{H}_+$  peuvent alors s'interpréter comme la normale au tétraèdre. Dans le cas Lorentzien, cela nous restreint donc à des tétraèdres de genre espace! Ce qui permet une comparaison avec un formalisme canonique décrivant l'évolution dans le temps de tranches de genre espace.

Au final, nous avons quantifié un 4-simplex. Il faudrait maintenant construire une variété simpliciale en recollant ses 4-simplex quantiques. Reste que de la manière de recoller dépend la propagation des degrés de liberté de la théorie. Pour cela, nous allons partir d'une théorie continue, la relativité générale (car on veut un modèle de gravité quantique!), et on va la discrétiser. Il se trouve qu'il existe une reformulation de la gravité en tant qu'une théorie BF contrainte qui permet de redériver les mêmes 4-simplex quantiques. Mais de plus, elle permet de décrire le couplage entre ces 4-simplex et donc potentiellement de créer des corrélations. Et c'est ce que je vais décrire dans les sections suivantes.

## 10.2 La gravité comme une théorie BF modifiée

### 10.2.1 Contraindre la théorie BF

Introduisons l'action de Plebanski [103], qui est une action de type BF avec des contraintes quadratiques sur le champ  $B$  :

$$S = S(\omega, B, \phi) = \int_{\mathcal{M}} \left[ B^{IJ} \wedge F_{IJ}(\omega) - \frac{1}{2} \phi_{IJKL} B^{KL} \wedge B^{IJ} \right] \quad (10.7)$$

où  $\omega$  est une 1-forme à valeur dans  $so(4)$  ( $so(3, 1)$ ),  $\omega = \omega_{\alpha}^{IJ} J_{IJ} dx^{\alpha}$ ,  $J_{IJ}$  étant les générateurs de  $so(4)$  ( $so(3, 1)$ ),  $F = d_{\omega}\omega$  est la 2-forme courbure de  $\omega$ ,  $B$  est aussi une 2-forme à valeur dans  $so(4)$  ( $so(3, 1)$ ),  $B = B_{\alpha\beta}^{IJ} J_{IJ} dx^{\alpha} \wedge dx^{\beta}$ , et  $\phi_{IJKL}$  est un multiplicateur de Lagrange satisfaisant  $\phi_{IJKL} \epsilon^{IJKL} = 0$  (de plus  $\phi_{IJKL}$  est supposé symétrique sous échange de  $(IJ)$  et  $(KL)$  et antisymétrique sous  $I \leftrightarrow J$  et  $K \leftrightarrow L$ ). Dans la suite,  $\alpha, \beta, \dots$  sont des indices d'espace-temps et  $I, J, K, \dots$  dénotent des indices internes. Les équations du mouvement sont :

$$dB + [\omega, B] = 0 \quad F^{IJ}(\omega) = \phi^{IJKL} B_{KL} \quad B^{IJ} \wedge B^{KL} = e \epsilon^{IJKL} \quad (10.8)$$

avec  $e = \frac{1}{4!} \epsilon_{IJKL} B^{IJ} \wedge B^{KL}$ . Quand  $e \neq 0$ , les contraintes (10.8) sont équivalentes à  $\epsilon_{IJKL} B_{ab}^{IJ} B_{cd}^{KL} = \epsilon_{abcd} e$  [75], ce qui signifie que  $\epsilon_{IJKL} B_{ab}^{IJ} B^{KLab} = 0$  i.e.  $B_{ab}$  est un bivecteur simple. De plus, (10.8) est satisfaite si et seulement si il existe un champ de tétrade réel  $e^I = e_a^I dx^a$  tel qu'une des équations suivantes soit vraie :

$$I_{\pm} \quad B^{IJ} = \pm e^I \wedge e^J \quad (10.9)$$

<sup>1</sup>Il y a toujours des ambiguïtés liées à la quantification. Ainsi un autre choix de conventions donnent les spectres  $\sqrt{2}(j+1/2)$  et  $\rho \geq 0$ .

$$II_{\pm} \quad B^{IJ} = \pm \frac{1}{2} \epsilon^{IJ}{}_{KL} e^K \wedge e^L. \quad (10.10)$$

Restreignant le champ  $B$  à toujours être dans le secteur  $II_+$  (ce qui est parfaitement possible classiquement), l'action se ré-écrit :

$$S = \int_{\mathcal{M}} \epsilon_{IJKL} e^I \wedge e^J \wedge F^{KL} \quad (10.11)$$

qui est bien l'action de Palatini pour le formalisme du premier ordre de la relativité générale.

Il est possible de généraliser les contraintes pour pouvoir dériver l'action de Palatini généralisée et introduire le paramètre d'Immirzi. Ainsi [104] introduit l'action :

$$S = \int B^{IJ} \wedge F_{IJ} - \frac{1}{2} \phi_{IJKL} B^{IJ} \wedge B^{KL} + \mu H \quad (10.12)$$

où  $H = a_1 \phi_{IJ}{}^{IJ} + a_2 \phi_{IJKL} \epsilon^{IJKL}$  avec  $a_1$  et  $a_2$  des constantes arbitraires.  $\phi$  (scalaire) et  $\mu$  (4-forme) sont des multiplicateurs de Lagrange, avec  $\phi$  ayant comme symétries  $\phi_{IJKL} = -\phi_{JIKL} = -\phi_{IJLK} = \phi_{KLIJ}$ .  $\phi$  impose la contrainte sur le champ  $B$ , tandis que  $\mu$  impose la condition  $H(\phi) = 0$  sur  $\phi$ . L'opérateur  $*$  agit sur les indices internes de telle sorte que  $*B_{IJ} = 1/2 \epsilon_{IJKL} B^{KL}$ . Ainsi  $*^2 = \epsilon$ , avec  $\epsilon = 1$  dans le cas Euclidien et  $\epsilon = -1$  dans le cas Lorentzien.

Ceci est l'action la plus générale du type BF avec des contraintes quadratiques sur le champ  $B$  : la contrainte scalaire  $H = 0$  est la plus générale possible étant données les symétries du champ  $\phi$ . Alors les équations du mouvement sont les mêmes que pour l'action de Plebanski sauf que la contrainte sur le champ  $B$  se complique :

$$B^{IJ} \wedge B^{KL} = \frac{1}{6} (B^{MN} \wedge B_{MN}) \eta^{[I|K|} \eta^{J]L} + \frac{\epsilon}{12} (B^{MN} \wedge *B_{MN}) \epsilon^{IJKL} \quad (10.13)$$

$$2a_2 B^{IJ} \wedge B_{IJ} - \epsilon a_1 B^{IJ} \wedge *B_{IJ} = 0 \quad (10.14)$$

La solution de ces contraintes, pour des champs  $B$  non-dégénérés ( $B^{IJ} \wedge *B_{IJ} \neq 0$ ), sont [104, 95, 96] :

$$B^{IJ} = \alpha * (e^I \wedge e^J) + \beta e^I \wedge e^J \quad (10.15)$$

avec

$$\frac{a_2}{a_1} = \frac{\alpha^2 + \epsilon \beta^2}{4\alpha\beta} \quad (10.16)$$

Insérant cette solution dans l'action (10.12), on obtient l'action de Palatini généralisée :

$$S = \alpha \int *(e^I \wedge e^J) \wedge F_{IJ} + \beta \int e^I \wedge e^J \wedge F_{IJ} \quad (10.17)$$

avec un couplage entre le secteur géométrique  $*(e \wedge e)$  (relativité générale) et le secteur non-géométrique  $e \wedge e$ .

Ainsi je me suis proposé durant ma thèse d'étudier la quantification de cette action BF généralisée à l'aide du formalisme de mousse de spin, permettant de voir le rôle du paramètre d'Immirzi : est-il un paramètre modifiant la théorie quantique comme en *Loop Quantum Gravity* ou est-il un paramètre sans conséquence physique comme dans l'analyse canonique covariante étudiée dans la partie III.

Considérant (10.16), on se rend compte qu'une fois choisi un couple  $(\alpha, \beta)$  nous avons quatre secteurs tout comme avec l'action de Plebanski. Dans le cas Euclidien, on peut échanger  $\alpha$  et  $\beta$ . Sous cette transformation, le champ  $B$  se change en son dual  $*B$ . Cela reflète que notre action initiale se voit pas la différence entre  $B$  et  $*B$ . On peut aussi échanger  $B \rightarrow -B$  sans affecter la physique du modèle. Cela nous fournit les quatre secteurs suivants :

$$(\alpha, \beta) \quad (-\alpha, -\beta) \quad (\beta, \alpha) \quad (-\beta, -\alpha). \quad (10.18)$$

Dans le cas Lorentzien, la symétrie sous  $*$  nous donne les quatre secteurs suivants :

$$(\alpha, \beta) \quad (\beta, -\alpha) \quad (-\alpha, -\beta) \quad (-\beta, \alpha). \quad (10.19)$$

Comparant avec l'action de Palatini généralisée, la théorie avec  $a_1, a_2$  correspond à un paramètre d'Immrizi  $\gamma = \alpha/\beta$  donné par l'équation :

$$\frac{a_2}{a_1} = \frac{1}{4} \left( \gamma + \frac{\epsilon}{\gamma} \right). \quad (10.20)$$

On remarque les deux secteurs de la théorie définis par  $\gamma$  et  $\epsilon/\gamma$  correspondent à la symétrie échangeant  $\alpha$  et  $\epsilon\beta$ .

Ainsi, le groupe de symétrie de la théorie est  $Diff(M) \times SO(4) \times Z_2 \times Z_2$ , avec  $SO(4)$  remplacé par  $SO(3, 1)$  dans le cas Lorentzien. Le  $Z_2 \times Z_2$  correspond à l'existence des 4 secteurs de solutions et est responsable pour les interférences au niveau quantique.

Comme dans le cas de l'action de Plebanski, quand  $B$  est non-dégénéré, on peut reformuler les contraintes sur le champ  $B$  échangeant le rôle des indices internes et des indices d'espace-temps<sup>2</sup>. Cela est possible quand  $a_2 \neq 0$  et  $\left(\frac{a_1}{2a_2}\right)^2 \neq \epsilon$  :

$$\left( \epsilon_{IJMN} - \frac{a_1}{a_2} \eta_{|I|M|} \eta_{J|N} \right) B_{cd}^{MN} B_{ab}^{IJ} = e \epsilon_{abcd} \left( 1 - \epsilon \left( \frac{a_1}{2a_2} \right)^2 \right) \quad (10.21)$$

avec

$$e = \frac{1}{4!} \epsilon_{IJKL} B^{IJ} \wedge B^{KL}. \quad (10.22)$$

Il est intéressant de noter que pour  $(ab) = (cd)$ , (10.23) donne un équivalent de la contrainte (10.14) :

$$2a_2 \frac{1}{2} \epsilon_{IJKL} B_{ab}^{IJ} B^{KLab} - a_1 B_{ab}^{IJ} B_{IJ}^{ab} = 0. \quad (10.23)$$

Il est facile de voir le lien entre l'action BF contrainte généralisée et l'action de Plebanski originale [95, 96]. En effet, effectuons le changement de variables suivant sur (10.12) :

$$\begin{cases} B^{IJ} & = & \alpha E^{IJ} + \epsilon\beta * E^{IJ} \\ \tilde{\phi}_{IJKL} & = & (\alpha + \epsilon\beta \frac{1}{2} \epsilon_{IJ}^{AB}) \phi_{ABCD} (\alpha + \epsilon\beta \frac{1}{2} \epsilon_{KL}^{CD}) \end{cases} \quad (10.24)$$

Alors l'action devient :

$$S = \frac{1}{|\alpha^2 - \epsilon\beta^2|^3} \int (\alpha E^{IJ} + \epsilon\beta * E^{IJ}) \wedge F_{IJ} - \frac{1}{2} \tilde{\phi}_{IJKL} E^{IJ} \wedge E^{KL} + \mu \epsilon^{IJKL} \tilde{\phi}_{IJKL} \quad (10.25)$$

et on voit bien que nous avons les mêmes contraintes que dans l'action de Plebanski sur le champ  $E$ , ce qui implique que  $E$  est restreint à être *simple* et s'exprime en fonction d'un champs de tétrade selon l'un des secteurs (10.10). De plus, cela montre que l'étude (et la quantification) de l'action BF généralisée utilise les mêmes techniques que pour l'action de Plebanski.

## 10.2.2 Les contraintes à la Barrett-Crane

Pour discrétiser la théorie, on se place sur une triangulation de l'espace-temps quadri-dimensionnel i.e. sur une variété simpliciale. La discrétisation de la théorie se fait comme dans le cas de la théorie BF (le lecteur trouvera une approche systématique de la discrétisation dans [41, 105]). L'espace-temps est formé de 4-simplex, tétraèdres, triangles, côtés et points. Du dual, on ne retient que le 2-squelette : le 2-complexe dual formé des vertex duaux aux 4-simplex, des liens duaux aux tétraèdres et des faces/plaquettes duales aux triangles. Il s'agit alors de discrétiser la connexion  $\omega$ , et sa courbure  $F$ , et le champ de bivecteur  $B$ .  $F$  et  $B$  étant des 2-formes, il est naturel de les discrétiser en les associant aux triangles, ou de manière équivalente aux triangles. En ce qui concerne la connexion, on la discrétise sur les liens duaux : associé à un tétraèdre, elle décrit le transport parallèle entre deux 4-simplex. On remplace alors la courbure  $F$  sur une plaquette par l'holonomie de

<sup>2</sup>J'ai donné une preuve dans [95].

la connexion (discrète) autour de cette plaquette. En ce qui concerne le champ  $B$ , on l'intègre sur les triangles pour définir un bivecteur associé aux triangles :

$$B^{IJ}(t) = \int_t B^{IJ}.$$

Jusque là, on est dans le même cadre que pour la théorie BF. La différence est qu'il faut maintenant discrétiser les contraintes sur le champ  $B$  en des contraintes sur les bivecteurs  $B(t)$ .

Dans un premier temps, nous allons discrétiser la version des contraintes données par (10.21). Le plus simple est d'utiliser le changement de variables (10.24) et de se servir du champ  $E$  défini par  $B = \alpha E + \beta * E$ . Alors, les contraintes s'écrivent très simplement :

$$(\alpha^2 + \epsilon\beta^2) \epsilon_{IJKL} E_{ab}^{IJ} E_{cd}^{KL} = e \epsilon_{abcd} \quad (10.26)$$

où  $e = \frac{1}{4!} \epsilon_{IJKL} B^{IJ} \wedge B^{KL} = \frac{1}{4!} (\alpha^2 + \epsilon\beta^2) \epsilon_{IJKL} E^{IJ} \wedge E^{KL}$  peut être considéré comme un élément de volume (puisque le champ  $B$  est supposé non-dégénéré). En effet, les contraintes sur  $E$  (ou sur  $B$ ) imposent que  $E$  s'écrive en fonction d'une tétrade,  $E^{IJ} = \pm e^I \wedge e^J$  ou  $E^{IJ} = \pm * (e^I \wedge e^J)$ , cette tétrade définissant la métrique quand nous résolvons les équations du mouvement. Alors le scalaire  $e$  est proportionnel à  $\epsilon_{IJKL} e^I \wedge e^J \wedge e^K \wedge e^L$ . Ainsi à un facteur près, le 4-volume généré par deux triangles  $t$  et  $t'$  d'un 4-simplex est donné par :

$$V(t, t') = \int_{x \in t; y \in t'} e \epsilon_{abcd} dx^a \wedge dx^b \wedge dy^c \wedge dy^d. \quad (10.27)$$

Alors on peut intégrer la contrainte (10.26) pour en avoir une version discrétisée :

$$\epsilon_{IJKL} E^{IJ}(t) E^{KL}(t') = \frac{1}{(\alpha^2 + \epsilon\beta^2)} V(t, t'). \quad (10.28)$$

Considérant un unique triangle  $t$ , on obtient la contrainte de simplicité du bivecteur  $t$  :

$$\epsilon_{IJKL} E^{IJ}(t) E^{KL}(t) = 0. \quad (10.29)$$

Et considérant deux triangles  $t$  et  $t'$  partageant un même côté, on obtient la simplicité de  $E(t) + E(t')$  :

$$\epsilon_{IJKL} E^{IJ}(t) E^{KL}(t') = 0. \quad (10.30)$$

Ces contraintes correspondent bien aux contraintes (2) et (3) sur les bivecteurs d'un 4-simplex géométrique. On peut les traduire sur les bivecteurs  $B(t)$  :

$$a_2 \epsilon_{IJKL} B^{IJ}(t) B^{KL}(t') = a_1 B^{IJ}(t) B_{IJ}(t') \quad (10.31)$$

pour  $t = t'$  ou  $t$  et  $t'$  adjacents (partageant un même côté).

Maintenant, il s'agit de donner une version de ces contraintes au niveau quantique. Cela se fait en deux étapes. Tout d'abord, on utilise l'application  $\theta$  (10.1) pour traduire les bivecteurs en des générateurs de  $so(4)$  ou  $so(3, 1)$ , puis on quantifie géométriquement<sup>3</sup>. Utilisant la correspondance  $\theta : B \rightarrow J$ , on peut traduire la contrainte (10.31) ci-dessus en une contrainte sur les représentations de  $Spin(4)$  ou  $SL(2, \mathbb{C})$  [95, 96] reliant leur deux Casimirs  $C_{1,2}$  :

$$2a_2 C_2 = a_1 C_1 \quad (10.32)$$

où  $J^{IJ} J_{IJ} = 2C_1$  et  $\frac{1}{2} \epsilon_{IJKL} J^{IJ} J^{KL} = 2C_2$ . On peut remplacer  $C_{1,2}$  par leur valeur explicite dans les représentations  $(j_-, j_+)$  de  $Spin(4)$  ou  $(n, \rho)$  de  $SL(2, \mathbb{C})$ . On trouve que les contraintes n'ont pas de sens : il n'y a presque pas de solutions. Serait-il impossible de quantifier la théorie en général ( $a_1, a_2$  arbitraires i.e.  $\gamma$  arbitraire) ?

<sup>3</sup>Il est également possible d'utiliser des techniques d'intégrale de chemin discrétisée comme dans [41, 106]

J'ai donné la solution de ce problème dans [95, 96]. Elle consiste à exploiter l'ambiguïté de la correspondance entre  $B \leftrightarrow J$ . En effet, au lieu d'utiliser l'application  $\theta$ , on est libre d'utiliser une application arbitraire  $\theta \circ (a* + b)$  (où  $*$  est l'opérateur de Hodge). On peut alors choisir  $(a, b) = (-\alpha, \beta)$  (au facteur  $\beta^2 - \epsilon\alpha^2$  près). Cela revient à faire correspondre  $E$  aux générateurs canoniques de  $so(4)$  ou  $so(3, 1)$  au lieu de  $B \leftrightarrow J$  ! Dans ce cas-là, on retrouve les contraintes de simplicité classique imposant de travailler avec des représentations simples données par  $C_2 = 0$ .

Une fois les contraintes sur  $B$  traduites au niveau quantique, on peut procéder à la quantification du modèle proprement dit. On trouve bien sûr des 4-simplex quantiques et la question délicate est le couplage entre ces 4-simplex i.e. le poids attribué aux tétraèdres. Cette discrétisation a été effectuée dans [107] et définit le modèle de Barrett-Crane, que l'on peut également dériver d'une théorie génératrice [88, 89]. Je décrirai ce modèle et sa géométrie en détail dans la prochaine section.

### 10.2.3 Les contraintes à la Reisenberger

Il existe une autre manière de discrétiser la théorie BF contrainte consistant à discrétiser l'autre version des contraintes donnée par (10.13) et (10.14). Une fois encore, on utilise le 4-volume généré par deux triangles :

$$V(t, t') = \int_{x \in t; y \in t'} e \epsilon_{abcd} dx^a \wedge dx^b \wedge dy^c \wedge dy^d.$$

Cette fois-ci, on décompose la 2-forme  $B$  dans le 4-simplex en tant que somme de 2-formes associées aux triangles [105, 75, 41] :

$$B^{IJ}(x) = \sum_t B_t^{IJ}(x), \quad (10.33)$$

où  $B_t^{IJ}(x)$  est tel que :

$$\int B_t^{IJ} \wedge D = B^{IJ}[t] \int_{t^*} D, \quad (10.34)$$

avec  $D$  une 2-forme quelconque et  $t^*$  la surface duale au triangle (plus précisément, la partie de cette surface duale à l'intérieure du 4-simplex considéré). Il est alors simple de remarquer que :

$$\int_t B_{t'}^{IJ} = \delta_{t,t'} B^{IJ}[t] \quad (10.35)$$

$$\int B_t^{IJ} \wedge B_{t'}^{KL} = B^{IJ}[t] B^{KL}[t'] \epsilon(t, t') \quad (10.36)$$

où  $\epsilon(t, t')$  est le signe du volume orienté  $V(t, t')$ . Plus précisément  $\epsilon(t, t') = \pm 1$  si  $t$  et  $t'$  ne partagent pas de côté, sinon  $\epsilon(t, t') = 0$ . En posant alors :

$$\Omega^{IJKL} = \sum_{t, t'} B^{IJ}[t] B^{KL}[t'] \epsilon(t, t'), \quad (10.37)$$

on peut traduire les contraintes (10.13) et (10.14) sur le champ  $B$  dans le contexte discret :

$$\tilde{\Omega}^{IJKL} = \Omega^{IJKL} - \frac{1}{6} \eta^{[IK} \eta^{J]L} \Omega_{AB}^{AB} - \frac{1}{24} \epsilon^{IJKL} \epsilon_{ABCD} \Omega^{ABCD} = 0, \quad (10.38)$$

$$4a_2 \Omega_{AB}^{AB} = a_1 \epsilon_{ABCD} \Omega^{ABCD}. \quad (10.39)$$

C'est l'extension des contraintes de Reisenberger [105] au cas avec paramètre d'Immirzi, que j'ai explicité dans [96]. Dans le cas de  $Spin(4)$ , on peut décomposer  $\Omega$  en parties self-duale et anti-self-duale, ce qui conduit aux contraintes :

$$\tilde{\Omega}_{++}^{ij} = \Omega_{++}^{ij} - \delta^{ij} \frac{1}{3} tr(\Omega_{++}), \quad (10.40)$$

$$\tilde{\Omega}_{--}^{ij} = \Omega_{--}^{ij} - \delta^{ij} \frac{1}{3} \text{tr}(\Omega_{--}), \quad (10.41)$$

$$\Omega_{+-}^{ij} = 0, \quad (10.42)$$

$$\Omega_0 = (\alpha - \beta)^2 \text{tr}(\Omega_{++}) + (\alpha + \beta)^2 \text{tr}(\Omega_{--}) = 0, \quad (10.43)$$

où on remarque que le paramètre d'Immirzi (à travers les coefficients  $\alpha$  et  $\beta$ ) n'intervient que dans la contrainte scalaire (la dernière). On peut ensuite implémenter ces contraintes au niveau quantique soit en restreignant le domaine d'intégration dans la fonction de partition [105, 96], soit en tant qu'équations différentielles sur la fonction de partition [41].

## 10.3 Le modèle de Barrett-Crane Lorentzien

Pour construire le modèle, on peut suivre une procédure de discrétisation de la théorie BF contrainte ou partir directement d'une théorie de champs génératrice. Dans les deux cas, il s'agit de décider de la manière de coller les 4-simplex ensembles. Dans le cadre de la discrétisation, cela correspond au couplage entre les 4-simplex défini par la théorie continue. Dans le cadre de la théorie de champs, cela correspond au choix du propagateur ou, au niveau des diagrammes de Feynman, à la manière de coller les vertex d'interaction (représentant les 4-simplex). Dans tous les cas, il n'y a qu'un seul test possible pouvant démontrer la validité d'un couplage particulier : c'est l'étude des corrélations dans une limite semi-classique. Néanmoins, il existe un choix canonique du couplage, qui provient du recollement le plus naturel des 4-simplex [107] ou de la théorie de champs la plus simple [89], que l'on appelle le modèle de Barrett-Crane. Il existe d'autres possibilités de couplage respectant les symétries imposées au modèle -invariance des 4-simplex sous  $SO(3, 1)$  et invariance des tétraèdres sous  $SO(3)$ - qu'il serait également intéressant d'étudier. Cependant, je me contenterai dans ce chapitre de discuter du modèle usuel, de son interprétation géométrique et son interprétation en terme d'amplitude de transition.

### 10.3.1 Définition du modèle : amplitude des mousse de spin

On formule le modèle sur des 2-complexes localement duaux à des triangulations de l'espace-temps : on a des vertex 5-valents liés par des liens où se rencontrent 4 faces, ainsi 10 faces se rencontrent à chaque vertex. Aux faces du 2-complexe (duales aux triangles) sont attachées des représentations simples de  $SL(2, \mathbb{C})$  labellées par un nombre réel  $\rho \geq 0$ . On associe aux liens (duaux des tétraèdres) les entrelaceurs simples, réalisés en tant qu'intégrale sur l'hyperboloïde  $\mathcal{H}_+ \sim SL(2, \mathbb{C})/SU(2)$ . Le poids associé aux faces est simplement le poids statistique de la mesure de Plancherel de la représentation de la face, qui fournit un équivalent de la dimension de la représentation dans le cas des représentations unitaires d'un groupe non-compact (de dimension infinie). Le poids des vertex (duaux des 4-simplex) est l'amplitude de Barrett-Crane correspondante, obtenue en contractant (prenant la trace sur les représentations) des entrelaceurs de Barrett-Crane associés à ces 5 tétraèdres (liens). L'ambiguïté est pour le poids assigné aux tétraèdres. Dans le modèle canonique, on prend la "norme" de l'entrelaceur simple i.e. on contracte l'entrelaceur simple avec lui-même en un graphe "oeil". Ainsi la fonction de partition du modèle est :

$$Z = \left( \prod_f \int_{\rho_f} d\rho_f \rho_f^2 \right) \left( \prod_{v, e_v} \int_{H^+} dx_{e_v} \right) \prod_e \mathcal{A}_e(\rho_k) \prod_v \mathcal{A}_v(\rho_k, x_i), \quad (10.44)$$

où on associe une variable d'intégration  $x$  pour chaque tétraèdre dans chaque 4-simplex. En particulier, on a 2 variables  $x$  pour chaque tétraèdre correspondant aux entrelaceurs simples de chacun des 4-simplex partageant le tétraèdre. Les amplitudes sont données en fonction du noyau  $K^\rho$  ds représentations simples :

$$A_e(\rho_1, \rho_2, \rho_3, \rho_4) = \int_{H^+} dx_1 K^{\rho_1}(x_1, x_2) K^{\rho_2}(x_1, x_2) K^{\rho_3}(x_1, x_2) K^{\rho_4}(x_1, x_2), \quad (10.45)$$

$$A_v(\rho_k, x_i) = K^{\rho_1}(x_1, x_2) K^{\rho_2}(x_2, x_3) K^{\rho_3}(x_3, x_4) K^{\rho_4}(x_4, x_5) K^{\rho_5}(x_1, x_5)$$

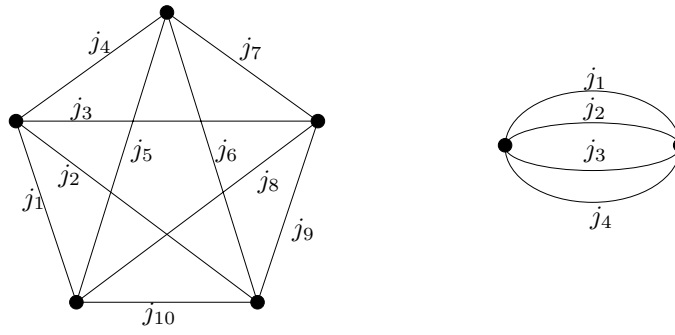


FIG. 10.1 – Le diagramme d’un 4-simplex et le diagramme “oeil” d’un tétraèdre, donnant les poids associés aux vertex et liens dans le modèle de Barrett-Crane : on trace les entrelacements simples (de Barrett-Crane) sur les représentations.

$$K^{\rho_6}(x_1, x_4)K^{\rho_7}(x_1, x_3)K^{\rho_8}(x_3, x_5)K^{\rho_9}(x_2, x_4)K^{\rho_{10}}(x_2, x_5). \quad (10.46)$$

Je rappelle l’expression explicite du noyau  $K$  :

$$K^\rho(x, y) = \frac{2 \sin \frac{\rho \eta}{2}}{\rho \sinh \eta},$$

où  $\eta$  est la distance hyperbolique entre  $x$  et  $y$ . Dans la formule de la fonction de partition, il faut faire attention à n’intégrer que sur 4 (au lieu des 5) variables  $x_{e_v}$  pour chaque vertex/4-simplex pour obtenir une amplitude bien définie [74].

Ceci est le couplage “standard”. D’autres couplages possibles sont obtenus en prenant diverses puissances du diagramme “oeil” pour le poids des tétraèdres. Ce changement respecte bien toutes les symétries du modèle : l’invariance sous  $SL(2, \mathbb{C})$  des 4-simplex et l’invariance des tétraèdres sous  $SU(2)$ . Cela modifie considérablement les propriétés de la fonction de partition, notamment sa convergence/divergence. Il peut être facilement pris en compte dans la formulation en théorie de champs génératrice [108] : on peut écrire une théorie de champs avec tous les couplages possibles. Ceci définit une famille de théorie avec une infinité de constantes de couplages, qui pourrait fournir un cadre pertinent pour l’étude de la renormalisation de ces modèles.

La fonction de partition précédente concernait une triangulation fermée. Dans le cas d’une variété avec bords, il faut commencer par décrire la frontière dans notre contexte discrétisé. La frontière est constituée de tétraèdres et est décrite par les entrelacements simples qui leur sont associés. Ainsi, on rajoute à la fonction de partition  $Z$  donnée par (10.44) un terme  $C_{(j_1 k_1)(j_2 k_2)(j_3 k_3)(j_4 k_4)}^{\rho_1 \rho_2 \rho_3 \rho_4}(x)$  pour chaque tétraèdre :

$$C_{(j_1 k_1)(j_2 k_2)(j_3 k_3)(j_4 k_4)}^{\rho_1 \rho_2 \rho_3 \rho_4}(x) = D_{00j_1 k_1}^{\rho_1}(x) D_{00j_2 k_2}^{\rho_2}(x) D_{00j_3 k_3}^{\rho_3}(x) D_{00j_4 k_4}^{\rho_4}(x). \quad (10.47)$$

où  $D_{00jk}^\rho(g) = \langle \rho 00 | g | \rho j k \rangle$  est un élément de matrice, représentant l’élément de groupe  $g$  dans la représentation  $\rho$  dans la base canonique de  $R^\rho$  définie par sa décomposition en représentations de  $SU(2)$ . Le tétraèdre frontière est décrit par la variable  $x \in \mathcal{H}_+$  et les vecteurs  $|\rho j_i k_i\rangle$ .

Il est facile de vérifier que cette convention permet de retrouver le bon poids associé à un tétraèdre quand on colle deux variétés le long de leurs tétraèdres communs (frontière commune).

Ayant introduit une frontière, on peut également décrire les états de cette frontière. La frontière, formée par des tétraèdres, est duale à un graphe (tranche du 2-complexe support de la mousse de spin) dont les vertex  $v$  sont les tétraèdres et les liens  $e$  les triangles les reliant. Ce graphe est labellé par des représentations simples avec des entrelacements simples : c’est un *réseau de spin simple* et nous retrouvons la même structure cinématique qu’issue de la quantification canonique covariante effectuée dans la partie III. Dans un formalisme connexionelle, la géométrie de la frontière est décrite par une connexion discrète, formée par des éléments de groupe décrivant la transport parallèle d’un tétraèdre à un autre, et par les variables  $x$  associées aux tétraèdres (par l’entrelaceur



$C(x)$ ). Donc un état de la frontière est une fonction de cette connexion discrète et des variables  $x$ , qui a les mêmes invariances/symétries que la fonction de partition (avec frontière). Il est facile de vérifier que nous demandons :

$$\phi(g_e, x_v) = \phi(k_{s(e)}^{-1} g_e k_{t(e)}, k_v \cdot x_v) \text{ pour tout } k_v \in \text{SL}(2, \mathbb{C}),$$

qui est l'invariance des fonctions cylindriques (projetées) demandée lors de la quantification du formalisme canonique invariant par Lorentz. Dans ce contexte, on choisit la mesure de Haar sur  $\text{SL}(2, \mathbb{C})$  pour définir le produit scalaire et on trouve les réseaux de spin projetés comme base de l'espace  $L^2$ . Pour obtenir les réseaux de spin simples comme base de l'espace d'Hilbert, il suffit de se rendre compte qu'en plus de l'invariance sous  $\text{SL}(2, \mathbb{C})$ , nous imposons également une invariance sous  $\text{SU}(2)^4$  (de l'entrelaceur  $C(x)$  de (10.47)) au niveau de chaque vertex/tétraèdre. Ainsi, au final, les réseaux de spin simples fournissent bien une base des états-frontières de la théorie.

Interprétant alors la fonction de partition  $Z$  comme définissant une amplitude de transition entre états frontières, les réseaux de spin simples sont nos états cinématiques et le modèle de Barrett-Crane définit leur dynamique. On retrouve ainsi le même cadre de travail que celui dérivé de la quantification canonique covariante proposée en partie III.

Notons que, dû au fait que la mousse de spin considérée dans la construction du modèle de Barrett-Crane est supposée (localement) duale à une variété simpliciale, les réseaux de spin (simples) vivants sur la frontière sont a priori 4-valents. Une fois remarqué le lien du modèle avec la quantification canonique, il est simple de généraliser cela et d'étendre le modèle de Barrett-Crane à un (2-)complexe cellulaire quelconque, non nécessairement dual à une décomposition simpliciale d'une variété 4d. Les états frontières sont donnés par des réseaux de spin simples quelconques et le modèle définit des "amplitudes de transition" entre réseaux de spin. L'amplitude est définie par les poids associés aux 4-cellules (généralisation des 4-simplex) et aux 3-cellules (généralisation des tétraèdres). Le poids assigné aux 4-cellules est l'évaluation de leur réseau de spin (simple) frontière, comme dans le cas du 4-simplex (voir fig.10.1). Similairement, le poids assigné aux 3-cellules est donné par la "norme" de l'entrelaceur simple (contraction de 2 entrelaceur simples dont la valence est déterminé par la 3-cellule).

### 10.3.2 Significations Géométriques des variables

Les variables du modèle sont les représentations  $\rho$  associées aux faces de la mousse de spin et les vecteurs  $x$  associés aux liens. Tout d'abord, considérant la dérivation du modèle par les méthodes de quantification géométrique,  $\rho$  correspond à l'aire d'un triangle dual à la face en question<sup>4</sup> : l'aire du triangle est donné par  $\rho \geq 0$  (ou  $\sqrt{\rho^2 + 1} > 0$ ). Ainsi les valeurs des représentations définissent les aires des triangles de la variété simpliciale duale à la mousse de spin. Cela définit-il entièrement la triangulation ? En fait, il existe une ambiguïté dans la définition d'un 4-simplex à partir de seulement les aires de ses triangles : bien qu'un 4-simplex est complètement déterminé par les longueurs de ses 10 côtés, il n'est pas exactement entièrement déterminé par les aires de ses 10 triangles (il existe certains cas pathologiques pour lesquels la correspondance n'est pas unique). Néanmoins, ces considérations concernent une potentielle interprétation classique du 4-simplex quantique, ce qui ne nuit pas à la légitimité du modèle.

Maintenant, dans le contexte d'une variété simpliciale, quel est le rôle des variables  $x$  ? Elles ont l'interprétation naturelle de normales aux tétraèdres de la variété. Les tétraèdres étant de genre espace, ce sont des vecteurs de genre temps et prennent bien leurs valeurs sur l'hyperboloïde  $\mathcal{H}_+$ . Mais pourquoi y a-t-il deux normales  $x$  pour chaque tétraèdre -une pour chacun des entrelaceurs simples associés au tétraèdres i.e. pour chacun des 4-simplex auxquels il appartient ? En fait, le modèle de Barrett-Crane reconstruit une variété simpliciale et plus précisément une variété plate par morceaux : on prend des morceaux d'espace-temps plat (les 4-simplex) et on les colle ensemble. A chaque 4-simplex est attaché un repère local. C'est le principe d'équivalence appliqué aux points de l'espace-temps remplacé par les 4-simplex : pour chaque 4-simplex, il existe un référentiel local pour lequel le 4-simplex est plat. Alors les deux normales aux tétraèdres sont en fait le même vecteur mais vu des deux repères différents associés aux 4-simplex. Cela permet de prendre en compte la courbure de l'espace-temps. En effet, les repères des 4-simplex n'étant pas identiques dû à la courbure, on a besoin d'une connexion

<sup>4</sup>Il est également possible de dériver ce résultat par des calculs de corrélations utilisant l'intégrale de chemin discrétisée de la théorie BF [41].

non-triviale pour passer de l'un à l'autre. Cela est ainsi pris en compte dans le fait que nous travaillons avec deux normales  $x, y \in \mathcal{H}_+$  pour chaque tétraèdre. Elles permettent de reconstruire, à des éléments du sous-groupe stabilisateur  $SU(2)$  près, la connexion (discrète)  $g$ , alors définie par  $g \cdot x = y$ . Par conséquent, la donnée des variables  $x$  du modèle de Barrett-Crane équivaut à la donnée de la connexion discrète entre 4-simplex. Ceci néanmoins au groupe  $SU(2)$  près... Cependant cela semble correspondre à la connexion de Lorentz  $\mathcal{A}$  utilisée pour la quantification canonique covariante.

Bien sûr, nous avons une invariance de Lorentz locale pour chaque simplex, correspondant au niveau mathématique à l'invariance de l'amplitude d'un 4-simplex sous  $SL(2, \mathbb{C})$ . Physiquement, cela correspond au fait qu les cinq normales  $(x_A, x_B, \dots, x_E)$  des 5 tétraèdres d'un 4-simplex fixé sont définies à une transformation de Lorentz près :  $(x_A, x_B, \dots, x_E)$  est équivalent à  $(g \cdot x_A, g \cdot x_B, \dots, g \cdot x_E)$ . Cela revient à dire que le repère local associé à chaque 4-simplex est défini à une transformation de Lorentz près. Alors, étant donné deux 4-simplex adjacents, on peut les tourner afin que les deux normales décrivant leur tétraèdre commun soient alignées. S'il est possible de faire de même d'une manière globale, pour tous les 4-simplex, et d'obtenir des normales alignées partout, alors cela veut dire que la connexion (discrète) est triviale et que nous avons un espace-temps plat. Mais cette configuration n'est qu'une parmi toutes celles autorisées par le modèle de Barrett-Crane, qui permet donc bien de décrire des espaces-temps courbes.

J'ai parlé de la connexion entre les 4-simplex, on peut également définir la taille de ces 4-simplex. Le volume (d'espace-temps) d'un 4-simplex est défini par le produit vectoriel de deux bivecteurs associés à deux de ses triangles non-adjacents :

$$\mathcal{V}^{(4)} = \frac{1}{30} \sum_{t, t'} \frac{1}{4!} \epsilon_{IJKL} \text{sign}(t, t') B_t^{IJ} B_{t'}^{KL}, \quad (10.48)$$

où on somme sur les couples de triangles  $(t, t')$  prenant en compte leur orientation relative  $\text{sign}(t, t')$ . Au niveau quantique, on remplace les bivecteurs par des générateurs de  $SL(2, \mathbb{C})$  dans les représentations attachées aux triangles :

$$\mathcal{V}^{(4)} = \frac{1}{30} \sum_{t, t'} \frac{1}{4!} \epsilon_{IJKL} \text{sign}(t, t') J_t^{IJ} J_{t'}^{KL}. \quad (10.49)$$

Il existe une autre formule pour ce volume utile dans le contexte géométrique du modèle prenant en compte les normales aux tétraèdres du 4-simplex :

$$(\mathcal{V}^{(4)})^3 = \frac{1}{4!} \epsilon^{abcd} N_a \wedge N_b \wedge N_c \wedge N_d, \quad (10.50)$$

où les normales orientées ont pour norme  $|N_i| = v_i^{(3)}$ , le 3-volume du tétraèdre correspondant.

Les amplitudes des 4-simplex quantifiés définissent la dynamique du modèle, pouvant être considérés comme des opérateurs allant de l'espace d'Hilbert des états quantiques d'une hypersurface "passée" aux états quantiques d'une hypersurface "future" déduite de la première par un mouvement de Pachner correspondant au 4-simplex [80].

Par contre, les diagrammes "oeil" attachés aux tétraèdres peuvent être considérés comme des *poids statistiques* reflétant le nombre d'états quantiques possibles du tétraèdre défini par l'aire de ses 4 triangles. En effet, un tétraèdre classique est défini par 6 nombres (les 6 longueurs de ses côtés par exemple) et n'est pas entièrement déterminé par les 4 aires de ses faces : il manque les aires des 2 parallélogrammes intérieures [76]. Cette indétermination persiste au niveau quantique. En fait, le tétraèdre quantique est donné par les 4 représentations associées aux triangles, mais également par une variable supplémentaire correspondant à l'entrelaceur entre les 4 représentations. Cette variable, donnée par la représentation interne dans la décomposition du 4-vertex en vertex 3-valents, correspond à l'aire d'un parallélogramme intérieur. Mais, il n'est alors pas possible de spécifier l'aire d'un autre parallélogramme<sup>5</sup>. Dans le cas Euclidien, le diagramme "oeil" est égal à la dimension de l'espace des états quantiques du tétraèdre [76]! Dans le cas Lorentzien, les paramètres sont continus et cette dimension est infinie. Malgré cela, le diagramme "oeil" peut toujours être interprété comme

<sup>5</sup>Le lecteur peut trouver l'explication initiale dans [76] et un court résumé de la situation dans [77]

donnant la dimension de l'espace du tétraèdre quantique, tout comme la mesure de Plancherel peut être considérée comme définissant la dimension des représentations unitaires de  $SL(2, \mathbb{C})$  qui sont de dimension infinie. Pour cette interprétation, il est plus clair de raisonner en terme de *connexion* : on remplace la donnée d'aire intérieure au tétraèdre par la transformation de Lorentz reliant les repères des deux 4-simplex partageant le tétraèdre. Cette transformation est définie par deux éléments de  $\mathcal{H}_+$  (les normales). Le diagramme "oeil" est alors obtenu en intégrant sur toutes les connexions possibles (éléments de groupe de  $SL(2, \mathbb{C})$ ) au niveau du tétraèdre. Ainsi le diagramme "oeil" définit un poids pour chaque connexion possible : il reflète l'indétermination de la connexion et donc prend en compte la courbure de l'espace-temps. On interprète ainsi le diagramme "oeil" comme définissant une fluctuation quantique localisée au tétraèdre que nous pouvons appeler onde réfractive quantique. En effet, les *ondes réfractives* introduites dans [109] sont une nouvelle classe d'ondes gravitationnelles, consistant en une discontinuité dans la métrique alors que les aires (des directions de genre nul) restent bien définies. Cette condition reflète parfaitement la situation dans le modèle de Barrett-Crane : les deux 4-simplex s'accordent sur la valeur des 4 aires de leur tétraèdre commun mais ne définissent pas la même 3-géométrie (normales différentes, 3-volumes différents). C'est cette "indétermination" qui est responsable du caractère non-topologique du modèle. En effet, comme expliqué à la fin du chapitre précédent, le diagramme "oeil" de la théorie BF vaut 1 : le tétraèdre est complètement déterminé.

Une dernière remarque sur la géométrie concerne l'aire probable des triangles. Il est possible de se faire une idée du graphe de probabilité de l'aire  $\rho$  d'un triangle donné dans l'approximation d'un espace-temps isotrope autour du triangle. Dans cette situation, on peut oublier les autres représentations de la mousse de spin et l'amplitude de  $\rho$  est donnée par :

$$\mathcal{A}(\rho) = \rho^2 \left( \frac{\sin(\rho\theta)}{\rho \sinh(\theta)} \right)^N \quad \theta = \frac{1}{N}(2\pi - \theta_0), \quad (10.51)$$

où  $N$  est le nombre de 4-simplex partageant ce même triangle et  $\theta_0$  l'angle de déficit définissant la courbure autour du triangle,  $\theta_0 = 0$  correspondant à un espace-temps plat. Tout d'abord, l'amplitude pour  $\rho = 0$  est nulle, ce qui correspond au fait qu'un 4-simplex dégénéré a une probabilité nulle. Ensuite, on obtient une série discrète de maxima reflétant la possibilité de générer dynamiquement un spectre d'aire discret. Ce spectre change varie avec la courbure  $\theta_0$ . De plus, il y a une très grande différence d'amplitude entre le premier pic et les suivants, la différence grandissant avec  $N$  (i.e. quand on raffine la triangulation). Ainsi, pour grand  $N$ , l'aire la plus probable est de l'ordre de  $l_P^2$ ,  $\rho$  valant entre 1 et 6. Par conséquent, on s'attend à ce que le régime pertinent du modèle soit fourni par pleins de petits 4-simplex (avec  $\rho$  petit) et non pas dans une limite asymptotique  $\rho \rightarrow \infty$ .

### 10.3.3 Un formalisme discret du premier ordre

On peut voir le modèle de Barrett-Crane comme la quantification d'un formalisme du premier ordre à la Regge utilisant comme variables fondamentales les aires des triangles et les angles diédraux entre les normales entre deux tétraèdres partageant un triangle (dans un 4-simplex donné). Ces angles diédraux correspondent aux termes  $K^\rho(x_i, x_j)$  de l'amplitude  $\mathcal{A}_v$  d'un 4-simplex. Cela est en contraste avec l'approche traditionnelle d'une action à la Regge pour la gravité, du second ordre, où les aires et les angles sont considérés comme des fonctions de longueurs des côtés de la triangulation. Ainsi, dans le modèle de Barrett-Crane, il n'y a pas de longueurs de côtés et il s'agit de le comprendre en tant que formalisme du premier ordre <sup>6</sup>.

Ainsi, dans le cas Euclidien, un formalisme du premier ordre fut proposé par Barrett [111] utilisant l'action suivante :

$$S(l, \theta) = \sum_t A_t(l) \epsilon_t = \sum_t A_t(l) (2\pi - \sum_{\sigma(t)} \theta_t(\sigma)), \quad (10.52)$$

où les aires  $A_t$  des triangles  $t$  sont supposées être fonctions des longueurs des côtés  $l$ ,  $\epsilon_t$  est l'angle de déficit associé au triangle  $t$  (la mesure simpliciale de la courbure) et  $\theta_t(\sigma)$  est l'angle diédral associé au triangle  $t$  dans le 4-simplex  $\sigma(t)$  le contenant. Les angles diédraux  $\theta$ , en tant que variables indépendantes, déterminent une unique métrique simpliciale pour chaque 4-simplex, a priori différente de celle obtenue par les longueurs des

<sup>6</sup>Il existe une tentative d'introduire des variables longueurs des côtés mais elle n'a pas encore abouti à des constructions concrètes [110].

côtés. En fait, les variables  $\theta$  ne peuvent pas légitimement être appelées “angles diédraux” tant que les deux géométries ne coïncident pas. Cette contrainte imposant d’obtenir la bonne géométrie à partir des variables  $\theta$  est exprimée par l’identité de Schläfli :

$$\sum_t A_t d\theta_t = 0. \quad (10.53)$$

En effet, les variations de l’action, tenant compte de cette contrainte, ont pour résultat que les aires des triangles calculées à partir des longueurs  $l$  et des angles  $\theta$  sont identiques :

$$A_t(l) \propto A_t(\theta). \quad (10.54)$$

On peut voir cette contrainte comme ayant un rôle similaire à la contrainte de simplicité (de Plebanski) sur la 2-forme  $B$  imposant qu’elle dérive d’une tétrade et par conséquent permettant son interprétation métrique. Tenant compte de cette contrainte à l’aide d’un multiplicateur de Lagrange  $\lambda_\sigma$ , l’action devient [111] :

$$S = \sum_t A_t(l) \epsilon_t + \sum_\sigma \lambda_\sigma \det \Gamma_{ij}(\theta), \quad (10.55)$$

la contrainte étant ré-exprimée comme la nullité du déterminant de la matrice  $\Gamma_{ij} = -\cos \theta_{ij} = -\cos(x_i \cdot x_j)$ , où on a (ré)introduit les variables  $x$  normales aux tétraèdres (dans le 4-simplex  $\sigma$ ).

La différence entre ce formalisme et la situation dans le modèle de Barrett-Crane est que, dans le cadre des mousses de spin, les aires ne sont pas considérées en tant que fonctions des longueurs mais en tant que variables indépendantes. Le rôle des angles diédraux est toutefois le même et on peut considérer cette action du premier ordre comme “cachée” dans le modèle de mousse de spin.

Il faut cependant remarquer qu’il existe d’autres formulations du premier ordre à la Regge, correspondant à d’autres formats des variables fondamentales [112, 113, 114]. Également, l’idée d’utiliser les aires comme variables fondamentales fut d’abord préconisée par [115], puis étudiée dans [116, 117]. La possibilité de décrire la géométrie simpliciale en fonction de l’aire des triangles (i.e. inverser la relation entre les aires et les longueurs) fut alors analysée dans [118, 119, 120].

## 10.4 Imposer la causalité pour retrouver un temps orienté

La problématique de cette section est de montrer comment se restreindre à un seul secteur de la théorie,  $II_+$  ou  $II_-$ , reliant le champ  $B$  à la tétrade ( $B = \pm*(e \wedge e)$ ), et ainsi obtenir un modèle légitime d’intégrale de chemin pour la gravité. Changer le signe du champ  $B$  revient à changer le signe du lapse et donc du temps propre. Par conséquent, la question de se restreindre au secteur relativité générale est liée à la question d’identifier une flèche temps dans le modèle de Barrett-Crane : il s’agit d’imposer une structure causale au modèle. Dans ce cadre, on pourra légitimement parler d’amplitudes de transition (dans le temps) au lieu de simples corrélations, et on pourra alors se poser la question d’une évolution unitaire des degrés de liberté du modèle. En effet, tel quel, le modèle de Barrett-Crane, sommant sur toutes les triangulations possibles de l’espace-temps, définit un projecteur sur les états quantiques physiques de l’hypersurface tout comme le modèle de Ponzano-Regge <sup>7</sup> et ne décrit pas une évolution dans le temps. Je me propose donc de construire un modèle causal. Cette proposition est issue d’une collaboration avec Daniele Oriti [77, 82].

Elle repose sur une implémentation non-triviale au niveau quantique de la condition (1) sur les 4-simplex imposant qu’un changement d’orientation du modèle revient à changer les représentations en leur duales. Dans le modèle de Barrett-Crane, cela est implémenté de manière triviale, le modèle étant invariant sous changement au dual. Il s’agit par conséquent de briser cette symétrie.

### 10.4.1 Les points stationnaires : des 4-simplex orientés

Le noyau  $K$  utilisé dans la construction des réseaux de spin simples et du modèle de Barrett-Crane est :

$$K^{\rho_{ij}}(x_i, x_j) = \frac{2 \sin(\eta_{ij} \rho_{ij}/2)}{\rho_{ij} \sinh \eta_{ij}},$$

<sup>7</sup>Le fait de sommer sur les triangulations au lieu de se contenter d’une triangulation fixe est dû au caractère non-topologique de la théorie.

où  $\eta_{ij}$  est l'angle (ou distance hyperbolique) entre  $x_i \in \mathcal{H}_+$  et  $x_j \in \mathcal{H}_+$ . Pour  $x$  sur  $\mathcal{H}_+$ , on peut considérer le vecteur  $-x \in \mathcal{H}_-$  et étendre le noyau  $K$  à une fonction sur les deux hyperboloïdes  $\mathcal{H}_+$  et  $\mathcal{H}_-$ . On remarque alors les invariances suivantes de  $K$  :

$$K^{\rho_{ij}}(x_i, x_j) = K^{-\rho_{ij}}(\eta_{ij}) = K^{\rho_{ij}}(-\eta_{ij}) = K^{\rho_{ij}}(-x_i, -x_j) = K^{\rho_{ij}}(x_j, x_i). \quad (10.56)$$

Ces symétries deviennent évidentes lorsqu'on considère la décomposition unique des fonctions de représentation de  $\text{SL}(2, \mathbb{C})$  de 1er type en fonction des fonctions de représentations du 2nd type (voir [121] pour plus de détails) :

$$\begin{aligned} K^{\rho_{ij}}(x_i, x_j) &= \frac{2 \sin(\eta_{ij} \rho_{ij} / 2)}{\rho_{ij} \sinh \eta_{ij}} = \frac{e^{i \eta_{ij} \rho_{ij} / 2}}{i \rho_{ij} \sinh \eta_{ij}} - \frac{e^{-i \eta_{ij} \rho_{ij} / 2}}{i \rho_{ij} \sinh \eta_{ij}} \\ &= K_+^{\rho_{ij}}(x_i, x_j) + K_-^{\rho_{ij}}(x_i, x_j) = K_+^{\rho_{ij}}(x_i, x_j) + K_+^{\rho_{ij}}(-x_i, -x_j) \\ &= K_+^{\rho_{ij}}(x_i, x_j) + K_+^{\rho_{ij}}(x_j, x_i) = K_+^{\rho_{ij}}(\eta_{ij}) + K_+^{\rho_{ij}}(-\eta_{ij}). \end{aligned} \quad (10.57)$$

Ce découpage permet de ré-écrire la fonction de partition du modèle pour une triangulation fixe  $\Delta$  :

$$A(\Delta) = \sum_{\epsilon_t = \pm 1} \int \prod_t \rho_t^2 d\rho_t \prod_T A_{\text{eye}}(\{\rho_t, t \in T\}) \prod_{\sigma} \int_{(\mathcal{H}^+)^4} \prod_{T \in \sigma} d x_T^{(\sigma)} \left( \prod_{t \in \sigma} \frac{\epsilon_t}{i \rho_t \sinh \eta_t} \right) e^{i \sum_{t \in \sigma} \epsilon_t \rho_t \eta_t}, \quad (10.58)$$

où on note  $t$  les triangles,  $T$  les tétraèdres et  $\sigma$  les 4-simplex. Considérant tous les termes à part l'exponentielle comme la mesure du modèle, on peut considérer que le modèle est l'intégrale de chemin d'une action -action de Regge- qui s'exprime pour un 4-simplex unique découpé :

$$S_R = \sum_{t \in \sigma} \epsilon_t \rho_t \eta_t, \quad (10.59)$$

où les 10 angles  $\eta_t$  sont des fonctions des cinq vecteurs  $x_i \in \mathcal{H}_+$ . Les cinq vecteurs étant déterminés sur  $\mathcal{H}_+$  à translation et rotation globale près, ils définissent 9 paramètres, il en résulte une contrainte sur les angles  $\eta_t$ . Elle est donnée par l'identité de Schläfli, qu'il nous faut prendre en compte pour étudier les variations de l'action  $S$ .

L'amplitude  $A(\Delta)$  somme sur les deux signes de  $\epsilon_t$ , ce qui rend l'amplitude invariante sous la symétrie  $\mathbb{Z}_2$  échangeant les représentations  $\rho_t$  avec leur duales  $\overline{\rho_t} = -\rho_t$ . A l'aide de l'étude des points stationnaires de  $S$ , je vais montrer que ces  $\epsilon_t$  reflètent l'orientation dans le temps du 4-simplex. Il suffira alors de ne sommer que sur une seule configuration cohérente des signes  $\epsilon_t$  pour obtenir une amplitude causale. Une telle configuration des  $\epsilon_t$  munit alors la variété simpliciale  $\Delta$  d'une *structure causale*.

Pour dériver cela, commençons par un peu de géométrie simpliciale Lorentzienne et démontrons l'identité de Schläfli dans le cadre Lorentzien. Considérons un 4-simplex. Appelons  $x_i \in \mathcal{H}_+$  les normales non-orientées aux cinq tétraèdres, que l'on suppose donc de genre espace, et  $n_i = \alpha_i x_i$  les normales orientées (vers l'extérieur) avec  $\alpha_i = \pm$ . On définit le paramètre de boost associé au triangle partagé par les tétraèdres  $i$  et  $j$  la quantité :

$$\eta_{ij} = \cosh^{-1}(x_i \cdot x_j) \geq 0, \quad (10.60)$$

et l'angle diédral Lorentzien :

$$\theta_{ij} = \alpha_i \alpha_j \eta_{ij} = \alpha_i \alpha_j \cosh^{-1}(\alpha_i \alpha_j n_i \cdot n_j). \quad (10.61)$$

L'identité de Schläfli est la différentielle de la contrainte stipulant que les 10 angles diédraux ont été construits à partir des vecteurs  $n_i$  :

$$\sum_{i \neq j} A_{ij} d\theta_{ij} = \sum_{i \neq j} \alpha_i \alpha_j A_{ij} d\eta_{ij} = 0 \quad (10.62)$$

où les  $A_{ij}$  sont les aires des 10 triangles de l'unique 4-simplex défini par les  $n_i$ . Pour démontrer cela, on utilise la matrice :

$$\gamma_{ij} = n_i n_j = \alpha_i \alpha_j \cosh \eta_{ij} = \alpha_i \alpha_j \cosh(\alpha_i \alpha_j \theta_{ij}). \quad (10.63)$$

Alors la fermeture du 4-simplex s'écrit :

$$\sum_{i=1}^{i=5} |v_i^{(3)}| n_i = 0 \quad (10.64)$$

où  $v_i^{(3)}$  est le 3-volume du tétraèdre  $i$ . Cela implique

$$\forall j, \quad \sum_i |v_i^{(3)}| \gamma_{ij} = 0, \quad (10.65)$$

c'est-à-dire l'existence du vecteur propre  $(|v_i^{(3)}|)_{i=1\dots 5}$  de valeur propre nulle de la matrice  $\gamma_{ij}$ . Ainsi la contrainte géométrique reliant les angles  $\theta_{ij}$  est la nullité du déterminant  $\det(\gamma_{ij}^{\sigma_i})$ . C'est sous cette forme qu'on l'utilise dans la formulation du premier ordre à la Regge. L'identité de Schläfli s'obtient en différentiant la relation ci-dessus puis en contractant de nouveau l'expression avec le vecteur des 3-volumes :

$$\sum_{i \neq j} |v_i^{(3)}| |v_j^{(3)}| d\gamma_{ij} = \sum_{i \neq j} |v_i^{(3)}| |v_j^{(3)}| \alpha_i \alpha_j \sinh(\eta_{ij}) d\eta_{ij} = 0. \quad (10.66)$$

Finalement, il est facile de montrer que

$$\sinh(\eta_{ij}) |v_i^{(3)}| |v_j^{(3)}| = \frac{4}{3} |\mathcal{V}^{(4)}| A_{ij} \quad (10.67)$$

où  $\mathcal{V}^{(4)}$  est le 4-volume du 4-simplex, ce qui nous permet de conclure avec (10.62).

Les points stationnaires de l'action pour un 4-simplex sont donc donnés par l'équation :

$$dS_R = \sum_{t=(ij) \in s} \epsilon_t \rho_t d\eta_t = \mu \times \sum_{i \neq j} \alpha_i \alpha_j A_{ij} d\eta_{ij} \quad (10.68)$$

avec le multiplicateur de Lagrange  $\mu \in \mathbf{R}$ . On en déduit les points stationnaires :

$$\begin{cases} \epsilon_{ij} \alpha_i \alpha_j &= \text{sign}(\mu) \\ \rho_{ij} &= |\mu| A_{ij} \end{cases} \quad (10.69)$$

Cela veut dire que les aires des triangles sont données (à un facteur d'échelle près) par les labels  $\rho_{ij}$  des représentations de  $\text{SL}(2, \mathbf{C})$  et que nous avons une relation de cohérence entre les orientations des tétraèdres  $\alpha_i$ , les orientations des triangles  $\epsilon_{ij}$  et l'orientation globale du 4-simplex  $\text{sign}(\mu)$  : seules ces configurations particulières de valeurs de  $\epsilon_t$ , correspondant aux points stationnaires, représentent des géométries Lorentziennes (simpliciales) bien-définies. En se restreignant à ces configurations cohérentes, on obtient alors des 4-simplex orientés bien définis. Il s'agit maintenant d'étendre cette orientation à toute la mousse de spin.

### 10.4.2 Une amplitude de transition causale

J'ai expliqué précédemment comment orienter un 4-simplex isolé. Cela se traduit par des orientations cohérentes des triangles à l'intérieur du 4-simplex. Maintenant, je vais étendre ce choix d'orientation à toute la variété simpliciale. Cela consiste à choisir des orientations cohérentes des tétraèdres d'un 4-simplex à un autre. En effet, l'orientation d'un 4-simplex permet de définir les tétraèdres passés et futurs du 4-simplex et on impose que si un tétraèdre est passé pour un 4-simplex, il doit être futur pour l'autre. Cela se traduit par des relations entre les  $\mu_v$  (orientation des 4-simplex) et  $\alpha_{T,v}$  (orientation du tétraèdre  $T$  dans le 4-simplex  $v$ ) :

$$\forall T, \quad \mu_{p(T)} \alpha_{T,p(T)} = -\mu_{f(T)} \alpha_{T,f(T)} \quad (10.70)$$

où  $v = p(T)$  et  $v = f(T)$  sont les deux 4-simplex (passé et futur) partageant  $T$ .

Cela revient à imposer des contraintes sur les signes autour de chaque boucle de 4-simplex équivalentes à demander que le 2-complexe (la mousse de spin) soit orientable. Dans ce contexte, [87] propose un moyen de ne

généraliser que des configurations orientables à partir de la théorie de champs génératrice du modèle de Barrett-Crane en imposant que le champ générateur -champ de tétraèdres quantifiés- est invariant sous permutation *paire* de ces éléments, ce qui revient à orienter les tétraèdres de manière cohérente.

Maintenant, au lieu de sommer sur toutes les configurations  $\epsilon_t$  possibles, on peut se restreindre à ne sommer que sur les configurations cohérentes. Pour une triangulation fixée, cela revient à se choisir des orientations compatibles  $\{\mu_v, \alpha_{T,v}, \epsilon_t\}$ , satisfaisant (10.69) et (10.70), et de définir une *amplitude causale*  $A_{causal}(\Delta)$  :

$$\begin{aligned} A_{\{\mu_v, \alpha_{T,v}, \epsilon_t\}}(\Delta) &= \prod_s \int_{(\mathcal{H}_+)^4} \prod_{T \in s} dx_T^{(s)} \prod_{t \in s} \frac{\epsilon_t}{i \rho_t \sinh \eta_t} \int \prod_t \rho_t^2 d\rho_t \prod_T A_{eye}^T(\{\rho_t\}_{t \in T}) \prod_s e^{i \sum_{t \in s} \epsilon_t \rho_t \eta_t} \\ &= \prod_s \int_{(\mathcal{H}_+)^4} \prod_{T \in s} dx_T^{(s)} \prod_{t \in s} \frac{\epsilon_t}{i \rho_t \sinh \eta_t} \int \prod_t \rho_t^2 d\rho_t \prod_T A_{eye}^T(\{\rho_t\}_{t \in T}) e^{i \sum_t \rho_t \sum_{s|t \in s} \theta_t(s)} \\ &= \prod_s \int_{(\mathcal{H}_+)^4} \prod_{T \in s} dx_T^{(s)} \prod_{t \in s} \frac{\epsilon_t}{i \rho_t \sinh \eta_t} \int \prod_t \rho_t^2 d\rho_t \prod_T A_{eye}^T(\{\rho_t\}_{t \in T}) e^{i S_R}. \end{aligned} \quad (10.71)$$

On a ainsi brisé la symétrie  $\mathbb{Z}_2$  et imposé une structure causale à la triangulation. On peut alors définir la fonction de partition du modèle en sommant sur les variété orientées i.e. sur les structures causales :

$$Z_{causal} = \sum_{\Delta, \{\mu_v, \alpha_{T,v}, \epsilon_t\}} \lambda(\Delta) A_{causal}(\Delta), \quad (10.72)$$

que l'on ré-écrit sous la forme plus explicite :

$$Z_{causal} = \sum_{\Delta} \lambda(\Delta) \int \mathcal{D}\theta_t(\Delta) \int \mathcal{D}A_t(\Delta) e^{i S_R^{\Delta}(A_t, \theta_t)}. \quad (10.73)$$

On obtient ainsi une intégrale de chemin sur des variétés simpliciales et leur structures causales en fonction de variables géométriques aires et angles. De plus, ce modèle est construit entièrement algébriquement à partir de la théorie des représentations de  $SL(2, \mathbb{C})$  !

On peut aussi voir le changement de l'amplitude de Barrett-Crane réelle à l'amplitude causale en termes des diverses fonctions de corrélations. En résumé, l'amplitude réelle correspond à la fonction de Hadamard, qui ne prend en compte aucune orientation, et l'amplitude orientée correspond à la fonction de Wightman (ou au propagateur de Feynman selon que l'on somme sur les deux directions temporelles globales ou non). Habituellement, on peut passer de l'une à l'autre par un changement de contour d'intégration. Cela se retrouve dans notre contexte algébrique par le changement de contour d'intégration effectué pour passer des fonctions de représentations de  $SL(2, \mathbb{C})$  de 1er type aux fonction de 2nd type. Le lecteur intéressé peut trouver une discussion détaillée sur les propriétés du modèle causal à la Barrett-Crane dans [77].

A l'aide de cette amplitude causale, on peut explorer la question de l'évolution dans le modèle de gravité quantique fourni par les mousses de spin à la Barrett-Crane. Tout d'abord, il est possible de reformuler le modèle dans le langage des ensembles causaux (grâce à la structure causale imposée) et même dans le langage des ensemble causaux quantiques (*quantum causal sets* ou *quantum causal histories*) comme définis par Fotini Markopoulou[122]. Un ensemble causal est simplement un ensemble de points ordonnés par des liens causaux (ordre partiel). Dans notre cas, les points sont les 4-simplex et les liens les tétraèdres qui permettent de passer d'un 4-simplex à un autre. On peut également raisonner sur l'ensemble causal dual, qui est l'ensemble causal des liens.

Un ensemble causal quantique est un ensemble causal habillé par des espaces d'Hilbert sur les liens (resp. vertex) et des opérateurs évolution au vertex (resp. sur les liens). Une manière de faire est d'associer aux tétraèdres (les liens de l'ensemble causal) l'espace d'Hilbert des entrelaceurs simples  $C^{\rho_1, \rho_2, \rho_3, \rho_4}(x \in \mathcal{H}_+)$  i.e. un espace  $L^2(\mathcal{H}_+)_{\rho_1, \rho_2, \rho_3, \rho_4}$  de fonctions  $L^2$  sur l'hyperboloïde : un tétraèdre est défini par sa normale  $x \in \mathcal{H}_+$ . Alors on peut considérer l'amplitude (causale) d'un 4-simplex comme définissant l'opérateur évolution. Un point essentiel est que cet opérateur n'est **pas unitaire** (voir [77] pour une preuve). Physiquement, cela est normal. En effet, c'est l'amplitude de transition (totale) entre deux états que l'on aimerait voir unitaire, et elle est donnée

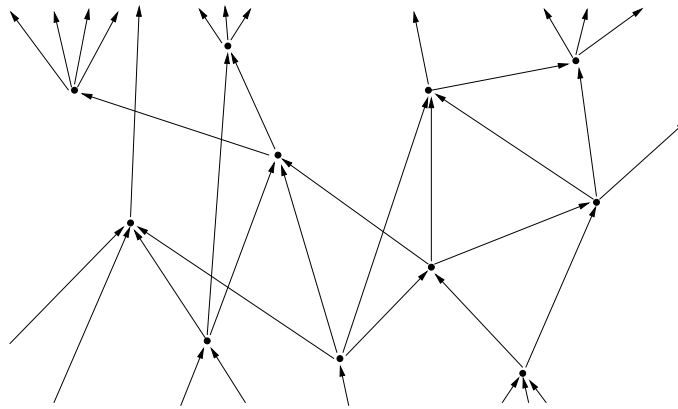


FIG. 10.2 – Un exemple de structure causale dans le modèle de mousses de spin de Barrett-Crane.

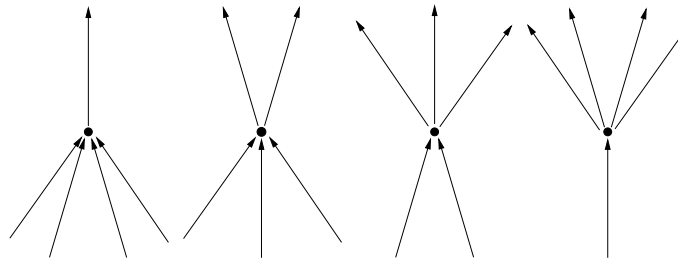


FIG. 10.3 – Blocs fondamentaux des ensembles causaux du modèle de Barrett-Crane : ils correspondent aux mouvements de Pachner remplaçant  $n$  tétraèdres par  $5 - n$  tétraèdres.

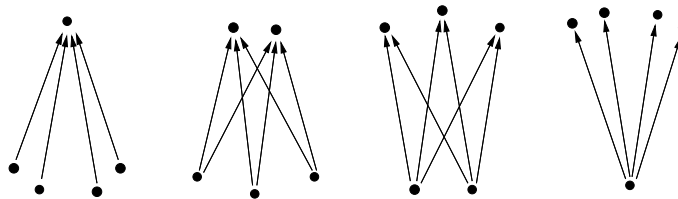


FIG. 10.4 – Blocs fondamentaux des ensembles causaux duaux du modèle de Barrett-Crane : les évènements sont les liens/tétraèdres du modèle de Barrett-Crane et un 4-simplex est représenté par plusieurs liens.



non pas par un 4-simplex mais pas la somme sur toutes les triangulations de l'espace-temps intermédiaire entre les deux états. Ainsi, puisque la somme de deux opérateurs unitaires n'est pas a priori unitaire, on n'a pas besoin de supposer que l'amplitude d'un seul 4-simplex est unitaire. Cependant, la vérification que l'amplitude globale est unitaire est pour le moment hors de portée. . .

Une autre manière de voir est de travailler sur l'ensemble causal dual. Dans ce cas, si on considère toujours les tétraèdres comme étant défini par leur normales, alors on associe les espaces d'Hilbert  $L^2(\mathcal{H}_+)$  aux points. Les amplitudes des liens duaux (voir fig.10.4.2) se lisent à partir de l'amplitude causale : ce sont juste des exponentielles ! Les opérateurs correspondants sont de simples transformations de Lorentz boostant un vecteur  $\mathcal{H}_+$  à un autre et sont bien évidemment unitaires. En fait, le modèle de Barrett-Crane s'interprète à ce niveau comme une théorie de particules libres sur l'hyperboloïde  $\mathcal{H}_+$  : le modèle réel associe aux liens (duaux) la fonction de Hadamard et le modèle causal effectue un changement d'intégrale de contour pour obtenir la fonction de Wightman. Ceci résume les propriétés d'unitarité du modèle de Barrett-Crane à l'échelle microscopique.

## Conclusion : une intégrale de chemin pour la gravité

Au final, le modèle de mousse de spin de Barrett-Crane implémente une discrétisation de l'intégrale de chemin de la gravité et a une interprétation géométrique claire en termes de géométries simpliciales. La discrétisation est fondée sur la reformulation de la relativité générale en une théorie BF contrainte. On sait quantifier la théorie BF topologique en la discrétisant puis, en implémentant la contrainte au niveau quantique, on construit le modèle de Barrett-Crane. Néanmoins ces contraintes imposent que le champ  $B$  dérive d'une tétrade  $B = \pm * (e \wedge e)$  et on obtient deux secteurs, qui sont la relativité générale à un signe près. Au niveau classique, on peut voir ce changement de signe comme un changement de la direction temporelle. Ainsi pour réellement obtenir la gravité, il faudrait se restreindre à un seul secteur et imposer au modèle une structure causale. Par conséquent, durant ma thèse, en collaboration avec Daniele Oriti, j'ai identifié la symétrie  $\mathbb{Z}_2$  responsable du changement de signe au niveau discret des mousses de spin et déduit une amplitude causale pour le modèle de Barrett-Crane, qui semble ainsi être une intégrale de chemin légitime de la gravité, formulée comme une somme sur les variétés causales munies d'une structure causale.

L'image de l'espace-temps en résultant est un ensemble de 4-simplex plats collés les uns avec les autres, ou au niveau dual, un 2-complexe fait de bulles labellées par des représentations de  $SL(2, \mathbb{C})$ . Le couplage se faisant au niveau des tétraèdres (frontières entre deux 4-simplex) sous la forme d'une onde réfractive ou, sur la mousse de spin, au niveau des liens charnières entre les bulles.

On peut également effectuer un splitting  $3 + 1$  du modèle afin de décrire l'évolution d'une hypersurface (de genre espace). Les états quantiques de l'hypersurface sont alors donnés par des réseaux de spin simples, tout comme dans le formalisme canonique covariant développé dans la partie III : les points de l'hypersurface sont définis par la normale à l'hypersurface en ces points, et les liens entre ces points sont décrits par l'aire d'une surface duale donnée par une représentation de  $SL(2, \mathbb{C})$ . Puis le modèle de Barrett-Crane définit des amplitudes de transition entre ces états.

On a donc un modèle complet de gravité quantique. Ne reste donc plus qu'à essayer d'en tirer des prédictions physiques. . .



# Conclusion : Mousses de Spin comme Gravité Quantique

Les mousses de spin ou *spin foams* décrivent l'espace-temps créé par l'évolution d'états de géométries définis par les réseaux de spin : ce sont des 2-complexes avec des représentations de groupe attachées à ses faces et dont la géométrie est définie par leurs entrelacements. Elles fournissent la dynamique de modèles de *Loop Quantum Gravity* et développent les concepts nécessaires à son interprétation en tant que gravité quantique i.e. théorie quantique d'un espace-temps dynamique.

Mathématiquement, les mousses de spin définissent une intégrale de chemin discrétisée et bien-définie de la relativité générale. La procédure de construction des modèles repose actuellement sur la quantification de la théorie BF topologique, que l'on contraint afin d'obtenir une théorie à degrés de liberté locaux telle que la gravité.

En basse dimension, j'ai étudié les mousses de spin, qui correspondent simplement à la théorie BF (sans contrainte). Cela permet de comprendre le contexte des mousses de spin, leur géométrie et comment les utiliser pour obtenir des objets avec interprétation physique tels que des amplitudes de transition.

En quatre dimensions, la question principale consiste en l'implémentation des contraintes au niveau quantique permettant de passer de la théorie BF à la relativité générale. J'ai ainsi montré comment, en imposant une structure causale à la mousse de spin, on obtient un modèle légitime d'intégrale de chemin de la relativité. Dans ce contexte, on retrouve les mêmes structures cinématiques définies par des réseaux de spin simple que dans la quantification canonique invariante sous Lorentz (que j'ai développé dans la partie III), ce qui permet une traduction directe des mousses de spin quadri-dimensionnelle dans un cadre canonique. De plus, on retrouve un spectre continu des aires (le modèle ne contient que des surfaces de genre espace). Et tenant compte de la structure causale du modèle, il est possible de l'étudier dans le contexte des ensembles causaux (quantiques), qui fournit un cadre d'étude des propriétés d'unitarité de l'évolution.

Au final, on obtient des modèles complètement algébriques où la géométrie est reconstruite à partir de la théorie des représentations du groupe de Lorentz. Et il est même possible d'écrire une théorie de champs sur le groupe de Lorentz générant les mousses de spin par leur développement perturbatif en diagrammes de Feynman. Cela ouvre la porte à des calculs non-perturbatifs sur les mousses de spin utilisant la fonction de partition de cette théorie génératrice. J'ai donc étudié l'effet non-perturbatif le plus simple : les solutions classiques de la théorie de champs. Elles permettent d'introduire des géométries de fond -des *backgrounds*- non-triviales (autre que le vide total i.e. l'absence d'espace-temps) à partir desquelles j'espère comprendre la structure non-perturbative des modèles de mousses de spin. En effet, le but serait d'étudier les effets des fluctuations des mousses de spin autour d'une géométrie presque plate.



# Conclusion

La gravité quantique à boucles, ou *Loop Quantum Gravity*, est une récente quantification canonique, et en cela non-perturbative, de la relativité générale. Fondée sur un découpage de l'espace-temps en une hypersurface 3d évoluant dans le temps, elle fournit une base d'états quantiques (cinématiques), invariants de jauge  $SU(2)$  (rotation de l'espace) et invariants sous difféomorphismes (spatiaux), représentant la géométrie quantique de l'espace. Ces états sont vecteurs propres d'opérateurs aires et volumes à spectre discret, ce qui correspond à l'image de quanta de géométrie. Puis la théorie décrit leur évolution, qui génère notre espace-temps. Dans cette thèse, j'ai étudié la structure (covariante) de cet espace-temps quantique.

On appelle les états cinématiques réseaux de spin, ou *Spin Networks*, et les espace-temps résultants mousses de spin, ou *Spin Foams*. Les mousses de spin permettent de décrire la dynamique des réseaux de spin. Elles fournissent ainsi un nouveau point de vue sur les questions rencontrées en *Loop Quantum Gravity*, telle la pertinence du paramètre d'Immirzi  $\gamma$  dont dépend la théorie quantique et le spectre des opérateurs géométriques, ou telle l'invariance de la théorie sous le groupe de Lorentz.

Mon approche a été d'étudier les possibles structures invariantes sous le groupe de Lorentz dans un contexte de gravité quantique à boucles.

Ainsi, dans un premier temps, j'ai étudié l'espace des observables (partielles) invariantes sous Lorentz de la relativité générale dans un formalisme connexionnel. La difficulté vient de la non-compacité du groupe de Lorentz. Par conséquent, je me suis intéressé plus généralement à l'espace des observables invariantes sous un groupe de jauge non-compact. Dans ce cadre, j'ai développé, avec Laurent Freidel, une théorie des réseaux de spin pour groupes non-compacts, qui fournissent une représentation de l'algèbre des observables. Gardant à l'esprit l'application de ces résultats mathématiques à la théorie de la gravité, j'ai appliqué la théorie mathématique aux groupes de Lorentz en trois et quatre dimensions,  $SO(2, 1)$  et  $SO(3, 1)$ . J'ai exposé ces résultats dans la partie II de cette thèse.

Dans la partie III, j'ai exploré la possibilité de développer un formalisme canonique invariant sous le groupe de Lorentz. Pour commencer, je me suis attaqué au cas de la gravité en 2+1 dimensions. Le formalisme canonique est relativement simple et aboutit à des réseaux de spin  $SO(2, 1)$ , qui ont une interprétation géométrique naturelle en termes de géométrie simpliciale. Dans ce contexte, j'arrive à la conclusion qu'en géométrie quantique, les distances spatiales sont continues et les distances temporelles discrètes.

Suivant le travail de Sergei Alexandrov, j'ai ensuite étudié un formalisme canonique en 3 + 1 dimensions gardant explicite l'invariance sous le groupe de Lorentz. Ce formalisme prend en compte explicitement le plongement de l'hypersurface dans l'espace-temps. Il y a alors deux manières naturelles de quantifier la théorie.

La première permet de retrouver la gravité quantique à boucles usuelle, avec des spectres discrets des opérateurs géométriques. En fait, la théorie quantique est une simple extension des structures  $SU(2)$  au groupe de Lorentz. Malheureusement, il s'avère que les structures ne se transforment pas normalement (habituellement) sous difféomorphismes dans la direction temporelle : cela pourrait impliquer des anomalies dans la dynamique quantique de la théorie.

La seconde quantification utilise, par contre, des structures covariantes et prévoit des spectres continus des opérateurs géométriques. De plus, la théorie se révèle indépendante du paramètre d'Immirzi ! On obtient ainsi une *Loop Quantum Gravity* covariante. Néanmoins, l'étude rigoureuse de la théorie est compliquée par le fait de variables de configuration non-commutatives.

Dans la partie IV, je me suis finalement intéressé aux mousses de spin elles-mêmes. Dans un premier temps, j'ai décrit la logique des modèles de mousses de spin, leur géométrie et leur structure non-perturbative à l'aide de théories en basses dimensions (deux et trois).

Puis, j'ai étudié le modèle de Barrett-Crane. J'ai rappelé comment il est dérivé à partir d'une discrétisation et d'une quantification géométrique de l'espace-temps. Il se révèle être une théorie quantique d'une théorie BF (topologique) contrainte, qui est équivalent classiquement à la relativité générale dans un certain secteur. Dans ce cadre, en partant d'une action de type BF généralisée, j'ai montré que le paramètre d'Immirzi ne modifiait en rien la théorie quantique. Puis, dans un travail réalisé avec Daniele Oriti, j'ai montré qu'en imposant une structure causale à l'espace-temps (quantique) du modèle, on obtenait une intégrale de chemin (discrétisée) bien-définie de la relativité générale. Finalement, point important, il s'avère que les états cinématiques du modèle sont exactement les mêmes que ceux de la *Loop Quantum Gravity* covariante développée en partie III. Ainsi les structures canoniques d'espace et celles d'espace-temps coïncident et nous fournissent une vision cohérente d'une géométrie quantique.

A travers mon travail, j'espère convaincre que les modèles de mousses de spin (à la Barrett-Crane) forment des modèles de gravité quantique viables, ces structures covariantes s'interprétant à la fois dans un cadre canonique -une gravité quantique à boucles covariante- et en tant qu'intégrale de chemin de la relativité générale. Ces modèles décrivant l'espace-temps à l'échelle de Planck, il s'agit maintenant de voir à quelles structures macroscopiques elles mènent afin d'obtenir des prédictions physiques réelles, ce qui permettrait éventuellement de les valider en tant que (véritable) gravité quantique. Une façon de procéder est d'étudier la renormalisation de ces mousses de spin, c'est-à-dire de regarder leur comportement sous transformation d'échelle. Il s'agit dans ce cadre de comprendre tout d'abord les caractéristiques géométriques des mousses de spin, les informations qu'il faut raffiner quand on regarde à plus petite échelle et qu'il faut oublier quand on regarde à plus grande échelle. Cela permettra de déterminer les choses que nous devons calculer, les questions que nous pouvons nous poser. La formulation sous forme de théorie de champ génératrice ouvre la porte également à une étude de la renormalisation comme en théorie quantique des champs : on écrit tous les couplages possibles du modèle de Barrett-Crane (au niveau des tétraèdres) et on regarde par exemple leur renormalisation en fonction du nombre de 4-simplexes triangulant une région de l'espace-temps.

Il reste néanmoins de nombreuses questions évoquées ici mais auxquelles je n'ai pas pu répondre entièrement, concernant le temps (le dynamique en gravité à boucles) et le spectre des opérateurs géométriques. En effet, la *Loop Quantum Gravity* a un spectre discret dépendant du paramètre d'Immirzi. Le point de vue covariant ignore le paramètre d'Immirzi et fournit un spectre continu des distances spatiales (tout en identifiant une quantification des intervalles temporels). On peut donc s'interroger sur la pertinence de  $\gamma$  et sur l'incompatibilité a priori de l'approche *Loop Quantum Gravity* et des mousses de spin. Tout d'abord, les opérateurs géométriques sont implémentés au niveau cinématique et ne reflète pas les véritables observables censées prendre en compte la dynamique et résoudre également la contrainte Hamiltonienne. De plus, il y a la question de la fixation de jauge, car on a vu à travers l'exemple des variables à la 't Hooft que changer de fixation de jauge modifie les relations canoniques et les propriétés des opérateurs géométriques. Ainsi, en *Loop Quantum Gravity*, la jauge est déjà fixée, ce qui peut poser un problème pour exprimer la dynamique (covariante) et les changements d'observateurs. Par contre, dans le cadre de la *Loop Quantum Gravity* covariante et des mousses de spin, la jauge n'est pas fixée, ce qui peut poser des problèmes d'interprétation car un observateur donné définit un feuilletage de l'espace-temps et donc une fixation de jauge, une dynamique particulière. Peut-être retrouvera-t-on un spectre discret dans ce contexte-là.

Lié à cela est le problème des conditions aux bords, qui déterminent le cadre physique et les questions que nous pouvons poser. Ainsi, les mousses de spin ont des états frontières donnés pas les réseaux de spin simples, qui définissent l'hypersurface (canonique) d'une manière intrinsèquement différente des réseaux de spin  $SU(2)$ . Alors, comment un réseau de spin simple définit-il la géométrie de la tranche spatiale 3d ? Le problème est lié au fait que, dans le modèle de Barrett-Crane, un tétraèdre n'est pas entièrement déterminé par lui-même mais par le 4-simplex auquel il appartient : il s'agit alors d'étudier les géométries 3d les plus probables et de calculer des corrélations entre géométries 3d aux frontières en fonction de la structure de l'espace-temps.

Finalement, je ne vois pas d'oppositions réelles entre la *Loop Quantum Gravity*  $SU(2)$  et l'approche covariante par mousses de spin : il me semble que ce soit une différence de point de vue. Maintenant que le cadre

mathématique est fixé, il s'agit de comprendre le contexte physique : la question de l'observateur et la prise en compte de la matière. Et il est certain que cette approche par quantification directe de la relativité générale fournira des points de vue intéressants sur ces questions tout comme elle fournit déjà une description pertinente de l'espace-temps quantique.





# Annexe A

## Le groupe de Lorentz $SL(2, \mathbb{C})$

### Les représentations de $SL(2, \mathbb{C})$

Notons  $T_X$  les générateurs de l'algèbre de Lie  $sl(2, \mathbb{C})$  et  $f_{XY}^Z$  les constantes de structure :

$$[T_X, T_Y] = f_{XY}^Z T_Z. \quad (\text{A.1})$$

Usuellement on note  $T_X = (iK_a, iJ_a)$  avec  $\vec{K}$  les générateurs des boosts et  $\vec{J}$  les générateurs des rotations (d'espace). On introduit également

$$H_+ = J_1 + iJ_2, \quad H_- = J_1 - iJ_2, \quad H_3 = J_3, \quad (\text{A.2})$$

$$F_+ = K_1 + iK_2, \quad F_- = K_1 - iK_2, \quad F_3 = K_3. \quad (\text{A.3})$$

Les relations de commutation s'écrivent alors :

$$\begin{aligned} [H_+, H_3] &= -H_+, & [H_-, H_3] &= H_-, & [H_+, H_-] &= 2H_3, \\ [H_+, F_+] &= [H_-, F_-] = [H_3, F_3] = 0, \\ [H_+, F_3] &= -F_+, & [H_-, F_3] &= F_-, \\ [H_+, F_-] &= -[H_-, F_+] = 2F_3, \\ [F_+, H_3] &= -F_+, & [F_-, H_3] &= F_-, \\ [F_+, F_3] &= H_+, & [F_-, F_3] &= -H_-, & [F_+, F_-] &= -2H_3. \end{aligned} \quad (\text{A.4})$$

$SL(2, \mathbb{C})$  a deux opérateurs Casimir  $C_1 = \vec{J}^2 - \vec{K}^2$  et  $C_2 = \vec{J} \cdot \vec{K}$ .

Une représentation irréductible du groupe de Lorentz est caractérisée par deux nombres ( $n \in \mathbb{N}/2, \mu \in \mathbb{C}$ ). Une base orthonormale utile de l'espace d'Hilbert correspondant  $\mathcal{H}_{n,\mu}$  est donné par sa décomposition en représentations  $V^j$  de  $su(2)$  (généralisé par les  $\vec{J}$ ) :

$$\{\xi_{j,m}\}, \quad m = -j, -j+1, \dots, j-1, j, \quad j = n, n+1, \dots \quad (\text{A.5})$$

L'action des générateurs sur cette base est :

$$\begin{aligned} H_3 \xi_{j,m} &= m \xi_{j,m}, \\ H_+ \xi_{j,m} &= \sqrt{(j+m+1)(j-m)} \xi_{j,m+1}, \end{aligned} \quad (\text{A.6})$$

$$\begin{aligned} H_- \xi_{j,m} &= \sqrt{(j+m)(j-m+1)} \xi_{j,m-1}, \\ F_3 \xi_{j,m} &= \gamma_{(j)} \sqrt{j^2 - m^2} \xi_{j-1,m} + \beta_{(j)} m \xi_{j,m} - \gamma_{(j+1)} \sqrt{(j+1)^2 - m^2} \xi_{j+1,m}, \\ F_+ \xi_{j,m} &= \gamma_{(j)} \sqrt{(j-m)(j-m-1)} \xi_{j-1,m+1} + \beta_{(j)} \sqrt{(j-m)(j+m+1)} \xi_{j,m+1} \\ &+ \gamma_{(j+1)} \sqrt{(j+m+1)(j+m+2)} \xi_{j+1,m+1}, \end{aligned} \quad (\text{A.7})$$

$$\begin{aligned} F_{-\xi_{j,m}} &= -\gamma_{(j)}\sqrt{(j+m)(j+m-1)}\xi_{j-1,m-1} + \beta_{(j)}\sqrt{(j+m)(j-m+1)}\xi_{j,m-1} \\ &- \gamma_{(j+1)}\sqrt{(j-m+1)(j-m+2)}\xi_{j+1,m-1}, \end{aligned}$$

avec

$$\beta_{(j)} = -\frac{i n \mu}{j(j+1)}, \quad \gamma_{(j)} = \frac{i}{2j} \sqrt{\frac{(j^2 - n^2)(j^2 - \mu^2)}{(j - \frac{1}{2})(j + \frac{1}{2})}}. \quad (\text{A.8})$$

Les Casimirs valent  $C_1 = n^2 + \mu^2 - 1$  et  $C_2 = i n \mu$ . Les représentations unitaires correspondent aux deux cas :

1. la série principale :  $(n, \mu) = (n, i\rho)$  avec  $n \in \mathbb{N}/2$  et  $\rho \in \mathbb{R}$
2. la série complémentaire :  $(n, \mu) = (0, \rho)$  avec  $|\rho| < 1$  et  $\rho \in \mathbb{R}$

Les représentations de la série principale sont celles intervenant dans la formule de Plancherel décomposant des fonctions  $L^2$  sur  $SL(2, \mathbb{C})$ , et donc celles que l'on utilise pour les réseaux de spin  $SL(2, \mathbb{C})$  (base de l'espace  $L^2$  des fonctions invariantes) tels qu'introduits dans la partie II. Plus précisément, pour une fonction  $f \in L^2(SL(2, \mathbb{C}))$ , on a

$$f(g) = \frac{1}{8\pi^4} \sum_n \int \text{Tr}[F(n, \rho) D^{n,\rho}(g^{-1})] (n^2 + \rho^2) d\rho \quad (\text{A.9})$$

où  $(n^2 + \rho^2)d\rho$  est la mesure de Plancherel et la transformée de Fourier  $F$  est définie par :

$$F(n, \rho) = \int f(g) D^{n,\rho}(g) dg. \quad (\text{A.10})$$

Les représentations simples sont les représentations de la série principale avec un Casimir nul  $C_2 = n \times \rho = 0$ . Elles sont de deux types :  $(n, 0)$  and  $(0, i\rho)$ . Dans les deux cas, on a  $\beta_{(j)} = 0$  pour tout  $j$ . Toutefois, les représentations  $(0, i\rho)$  ont la particularité qu'elles possèdent un vecteur  $\xi_{j=m=0}$  invariant sous  $SU(2)$ .

## Le quotient $SO(3, 1)/SO(3)$

Pour  $x$  sur l'hyperboloïde futur  $\mathcal{H}^+$  i.e un vecteur unité de genre temps orienté vers le futur, on définit son stabilisateur sous l'action  $x \rightarrow g.x$  de  $SO(3, 1)$  :

$$SO(3)_x = \{h \in SO(3, 1)/h.x = x\} \quad (\text{A.11})$$

La loi de transformation de  $SO(3)_x$  sous l'action de  $SO(3, 1)$  est

$$\forall g \in SO(3, 1), SO(3)_{g.x} = gSO(3)_x g^{-1} \quad (\text{A.12})$$

Alors  $\mathcal{H}^+$  peut être vu comme le quotient  $SO(3, 1)/SO(3)$  de  $SO(3, 1)$  par l'action à gauche du sous-groupe  $SO(3)$  -le sous-groupe canonique  $SO(3)$  i.e le stabilisateur de  $x_0 = (1, 0, 0, 0)$ . Alors pour  $[g_0] \in SO(3, 1)/SO(3)$  et  $g \in SO(3, 1)$ , on a :

$$SO(3)_{[g_0]} = \{k \in SO(3, 1)/k.[g_0] = [g_0]\} = \{k \in SO(3, 1)/SO(3)g_0k = SO(3)g_0\} \quad (\text{A.13})$$

$$SO(3)_{g.[g_0]} = SO(3)_{[g_0 g^{-1}]} = gSO(3)_{[g_0]} g^{-1} \quad (\text{A.14})$$

Maintenant, si on considère une représentation unitaire  $R^{\mathcal{I}}$  de  $SO(3, 1)$ , on peut la décomposer sur les représentations irréductibles unitaires  $SO(3)_x$  pour un vecteur fixé  $x$  :

$$R^{\mathcal{I}} = \bigoplus_j V_{(x)}^j \quad (\text{A.15})$$

Ainsi on peut choisir une base  $|\mathcal{I}xjm\rangle$  de  $R^{\mathcal{I}}$  compatible avec la décomposition en somme directe des espaces  $V_{(x)}^j$ . Alors, à la vue de (A.12), les bases pour différents choix de  $x$  sont reliées par

$$|\mathcal{I}(g.x)jm\rangle = D^{\mathcal{I}}(g)|\mathcal{I}xjm\rangle. \quad (\text{A.16})$$

Maintenant, si on regarde les fonctions sur  $\mathcal{H}_+$ , une base de l'espace  $L^2(\mathcal{H}_+)$  est fournie par les représentations simples  $(0, \rho)$ . Ces représentations contiennent un vecteur invariant sous  $SU(2)$ , noté  $|\rho j = 0\rangle$ , et se décompose sur *toutes* les représentations de  $SU(2)$  :

$$\forall x \in \mathcal{H}_+ R^{(0,\rho)} = \bigoplus_{j \geq 0} V_{(x)}^j. \quad (\text{A.17})$$

On peut alors définir un *noyau* bi-invariant sous  $SU(2)$  :

$$K_\rho(g) = \langle \rho 0 | D^{(0,\rho)}(g) | \rho 0 \rangle \quad (\text{A.18})$$

Dû à son invariance, c'est une fonction de seul l'angle de boost de  $g$ . Il est très utile quand on étudie les fonctions  $L^2$  sur  $\mathcal{H}_+$  (c'est une base des fonctions  $L^2$  bi-invariantes) et correspond (plus ou moins) au propagateur d'une particule libre sur l'hyperboloïde. Une expression explicite du noyau est

$$K_\rho(x, y) = K_\rho(x^{-1}y) = \frac{\sin \rho \eta}{\rho \sinh \eta} \quad (\text{A.19})$$

où  $\eta$  est la distance hyperbolique (paramètre de boost) entre  $x$  et  $y$ . On peut aussi vérifier que

$$\int_0^\infty \rho^2 d\rho K_\rho(x, y) = 2\pi^2 \delta_{\mathcal{H}_+}(x, y) \quad (\text{A.20})$$

où  $d\mu(\rho) = \rho^2 d\rho$  est la mesure de Plancherel restreinte aux représentations simples ( $n = 0, \rho$ ). De plus

$$\int_{\mathcal{H}_+} dy K_\rho(x, y) K_{\rho'}(y, z) = \frac{\delta(\rho - \rho')}{\rho^2} K_\rho(x, z) \quad (\text{A.21})$$

ce qui signifie que le noyau  $K$  est le projecteur sur la composante de Fourier  $\rho$  sur l'hyperboloïde  $\mathcal{H}_+$ .



# Annexe B

## Quantification Géométrique d'un Bivecteur

Je décris la quantification (géométrique) d'un bivecteur et d'un tétrèdre en trois dimensions et en quatre dimensions utilisant la structure de Poisson de Kirillov-Konstant sur les algèbres  $so(3)$  et  $so(4)$  suivant le travail de Baez et Barrett [76].

Tout d'abord, étant donné une algèbre de Lie  $\mathfrak{g}$ , le commutateur sur  $\mathfrak{g}$  induit une structure de Poisson sur son dual  $\mathfrak{g}^*$ , dite de Kirillov-Konstant. Plus précisément, des éléments  $a, b \in \mathfrak{g}$  sont des fonctions linéaires sur le dual  $\mathfrak{g}^*$ . Cela permet de définir un crochet de Poisson sur les fonctions linéaires, qui s'étend de façon unique à l'algèbre des fonctions  $C^\infty$ . En effet, il existe un champ de bivecteurs  $\Omega$  sur  $\mathfrak{g}^*$  tel que

$$[a, b] = \Omega(da, db),$$

puis le crochet de Poisson est

$$\{f, g\} = \Omega(df, dg).$$

Pour  $f$  donnée, on peut alors définir un champs de vecteurs  $f^\#$  vérifiant

$$\forall g, \{f, g\} = dg(f^\#) = f^\#g.$$

Une 2-forme  $\omega$  est dite compatible avec la structure de Poisson ssi :

$$\omega(a^\#, b^\#) = \{a, b\}.$$

$\omega$  est bien définie et est symplectique sur chaque orbite co-adjointe, également appelée feuille symplectique<sup>1</sup>. Puis, il s'agit de quantifier ce crochet de Poisson. On suit la procédure de quantification géométrique. Sur chaque feuille, on choisit une structure complexe  $J$  compatible avec  $\omega$ , qui munit la feuille d'une structure de Kähler. On choisit alors un fibré en droite complexe et holomorphe munie d'une connexion de courbure  $\omega$ . Cela n'est possible que si la classe de cohomologie de  $\omega$  est un entier. Puis on obtient un espace d'Hilbert  $H$  en considérant l'espace des sections de carré intégrable.

### B.1 Bivecteur Quantique 3d

En utilisant l'isomorphisme entre  $\Lambda^2\mathbb{R}^n$  et  $so(n)^*$ , étudier l'espace des bivecteurs revient à étudier l'algèbre  $so(n)^*$ . En trois dimensions, on regarde donc  $so(3)^*$ , qui est de dimension 3. Les feuilles symplectiques de classe de cohomologie entière sont les sphères  $\mathcal{S}^2$  (centrées sur l'origine) de rayon  $2\pi j$ ,  $j \in \mathbb{N}$ . Chaque sphère induit

---

<sup>1</sup>En effet,  $\Omega$  est tangent à chaque feuille et non-dégénérée en tant que forme bilinéaire sur le fibré cotangent à chaque feuille. Alors  $\omega$  est son inverse.

alors la représentation de spin  $j$  de  $SO(3)$ . Et sommant sur toutes les orbites, on obtient *l'espace d'Hilbert d'un bivecteur quantique en 3 dimensions* :

$$\mathcal{H} = \bigoplus_j V^j. \quad (\text{B.1})$$

Choisissant la base canonique de l'algèbre de Lie  $so(3)$ , le crochet de Poisson est :

$$\{E^1, E^2\} = E^3 \quad \{E^2, E^3\} = E^1 \quad \{E^3, E^1\} = E^2. \quad (\text{B.2})$$

Quantifiant, on obtient les relations de commutation :

$$[\widehat{E}^1, \widehat{E}^2] = i\widehat{E}^3 \quad [\widehat{E}^2, \widehat{E}^3] = i\widehat{E}^1 \quad [\widehat{E}^3, \widehat{E}^1] = i\widehat{E}^2. \quad (\text{B.3})$$

A partir du cas du bivecteur, on peut former un tétraèdre en tant que 4 copies de  $so(3)^*$ . En effet, un tétraèdre peut être défini à partir de 4 bivecteurs  $E_{1,\dots,4}$  satisfaisant une relation de *fermeture* :

$$E_1 + E_2 + E_3 + E_4 = 0.$$

En fait, il faut aussi une condition de positivité étant donné que :

$$U = E_1 \cdot (E_2 \wedge E_3) = V^2 \geq 0$$

où  $V$  est (6 fois) le volume (orienté) du tétraèdre. On munit  $(so(3)^*)^4$  de la structure de Poisson de Kirillov-Konstant et on considère la sous-variété contrainte  $C = \{E_1 + E_2 + E_3 + E_4 = 0\}$ . La contrainte génère l'action diagonale de  $SO(3)$  sur les  $E_i$ . On obtient donc l'espace des phases réduit  $T$  (comme tétraèdre) en quotientant  $C$  par cette action.

Pour quantifier le tétraèdre, on commence par quantifier les 4 copies de  $so(3)^*$ . On obtient donc des opérateurs  $\widehat{E}_1^i, \dots, \widehat{E}_4^i$  sur  $\mathcal{H}^{\otimes 4}$  :

$$\begin{aligned} \widehat{E}_1^i &= \widehat{E}^i \otimes Id \otimes Id \otimes Id \\ \widehat{E}_2^i &= Id \otimes \widehat{E}^i \otimes Id \otimes Id \\ \widehat{E}_3^i &= Id \otimes Id \otimes \widehat{E}^i \otimes Id \\ \widehat{E}_4^i &= Id \otimes Id \otimes Id \otimes \widehat{E}^i. \end{aligned}$$

Puis on impose la contrainte de fermeture en sélectionnant les états de  $\mathcal{H}^{\otimes 4}$  annulant l'action de  $\widehat{E}_1^i + \widehat{E}_2^i + \widehat{E}_3^i + \widehat{E}_4^i$ . Ces états sont précisément ceux invariants sous l'action (diagonale) de  $SO(3)$ . On obtient ainsi l'espace d'Hilbert :

$$\mathcal{T} = \text{Inv}(\mathcal{H}^{\otimes 4}) = \bigoplus_{j_1, \dots, j_4} \text{Inv}(V^{j_1} \otimes V^{j_2} \otimes V^{j_3} \otimes V^{j_4}), \quad (\text{B.4})$$

qui est en fait l'espace des entrelaceurs 4-valents. Pour la condition de positivité, il s'agit de quantifier  $U$ . L'opérateur correspondant est

$$\widehat{U} = \sum_{i,j,k} \epsilon_{ijk} \widehat{E}_1^i \widehat{E}_2^j \widehat{E}_3^k.$$

Il faudrait alors se restreindre aux vecteurs propres correspondant aux valeurs propres positives.

## B.2 Bivecteur Quantique 4d

Maintenant, il s'agit de quantifier  $so(4)^*$ . Pour cela, on utilise que  $so(4) = so(3) \oplus so(3)$ . Il suffit donc de copier les résultats précédents. Néanmoins, il y a une ambiguïté dans l'isomorphisme entre  $\Lambda^2 \mathbb{R}^4$  et  $so(4)^*$ . Ainsi, choisir  $\theta$  ou  $\theta \circ \star$  ( $\star$  est l'opérateur de Hodge sur  $\Lambda^2 \mathbb{R}^4$ ) modifie la structure complexe. Au final, cela revient à considérer l'espace d'Hilbert

$$\mathcal{H} \otimes \mathcal{H} = \bigoplus_{j,k} V^j \otimes V^k$$

ou l'espace d'Hilbert

$$\mathcal{H} \otimes \overline{\mathcal{H}} = \bigoplus_{j,k} V^j \otimes \overline{V}^k.$$

Nous allons voir que c'est le second choix qui est le plus utile pour l'étude du tétraèdre. Concentrons-nous donc sur ce cas. Choisisant la base canonique  $E^{\pm i}$  de  $so(4)$ , le crochet de Poisson est :

$$\{E^{+i}, E^{+j}\} = \epsilon^{ijk} E^{+k} \quad \{E^{-i}, E^{-j}\} = \epsilon^{ijk} E^{-k} \quad \{E^{+i}, E^{-j}\} = 0, \quad (\text{B.5})$$

qui se quantifie de manière évidente.

Pour l'application au tétraèdre et au 4-simplex, nous nous intéressons particulièrement à l'espace des bivecteurs simples. Rappelons qu'un bivecteur quelconque se décompose en parties selfdual et antiselfdual  $b = b^+ + b^-$  (avec  $\star b^\pm = \pm b^\pm$ ) et qu'un bivecteur simple est tel que  $|b^+|^2 = |b^-|^2$ . On peut donc introduire les opérateurs Casimirs

$$K^\pm = \sum_{i=1,2,3} \left( \widehat{E}^{\pm i} \right)^2,$$

et l'espace d'Hilbert d'un bivecteur simple est l'espace des vecteurs  $\psi$  tel que  $K^+ \psi = K^- \psi$ , ce qui sélectionne le sous-espace

$$\bigoplus_j V^j \otimes \overline{V}^j \subset \mathcal{H} \otimes \overline{\mathcal{H}}. \quad (\text{B.6})$$

Un tétraèdre en quatre dimensions est maintenant formé de 4 bivecteurs satisfaisant

- (1) une contrainte de fermeture  $E_1 + E_2 + E_3 + E_4 = 0$ .
- (2) une contrainte de simplicité sur chaque bivecteur  $|E_i^+|^2 = |E_i^-|^2$ .
- (3) une contrainte de simplicité sur chaque somme de bivecteurs  $|E_i^+ + E_j^+|^2 = |E_i^- + E_j^-|^2$ .
- (4) une contrainte de chiralité  $U^+ + U^- = 0$ , avec  $U^\pm = \pm \langle E_1^\pm, [E_2^\pm, E_3^\pm] \rangle$ .

La contrainte de chiralité permet de distinguer si le tétraèdre est formé à partir des bivecteurs  $E_i$  (ou  $-E_i$ ) ou des bivecteurs  $\star E_i$  (ou  $-\star E_i$ ). Imposant la contrainte de fermeture sur l'espace des phases, on obtient un espace des phases  $T^+ \times T^-$  simple double copie de l'espace des phases  $T$  du tétraèdre 3d. Puis il est simple de vérifier que les contraintes de simplicité  $C_i = |E_i^+|^2 - |E_i^-|^2$  ont un crochet de Poisson nul avec toutes les fonctions sur  $T^+ \times T^-$ . On peut donc se placer immédiatement sur l'espace  $\{C_i = 0\} \subset T^+ \times T^-$ . Par contre, pour les contraintes  $C_{ij} = |E_i^+ + E_j^+|^2 - |E_i^- + E_j^-|^2$ , on obtient

$$\{C_{ij}, C_{ik}\} = 4(U^+ + U^-). \quad (\text{B.7})$$

Ainsi, imposer les contraintes de simplicité, on obtiendra gratuitement la contrainte de chiralité.

Quantifiant, imposant la contrainte de fermeture et les contraintes de simplicité  $C_i$ , on se réduit à l'espace d'Hilbert :

$$\bigoplus_{j_1, \dots, j_4} \text{Inv}((j_1, j_1) \otimes (j_2, j_2) \otimes (j_3, j_3) \otimes (j_4, j_4)) \subset \mathcal{T} \otimes \overline{\mathcal{T}} \subset (\mathcal{H} \otimes \overline{\mathcal{H}})^{\otimes 4}, \quad (\text{B.8})$$

où on note  $(j, j) = V^j \otimes \overline{V}^j$ . Imposant les contraintes  $\widehat{C}_{ij}$ , on réduit cet espace d'entrelaceurs à un espace uni-dimensionnel, qui est l'espace d'Hilbert du tétraèdre quantique en 4 dimensions. Cet espace prend en compte gratuitement la contrainte de chiralité puisque :

$$4i[\widehat{C}_{ij}, \widehat{C}_{ik}] = \widehat{U}^+ + \widehat{U}^-, \quad (\text{B.9})$$

où  $\widehat{U}^\pm = \sum_{i,j,k} \epsilon_{ijk} \widehat{E}_1^{\pm i} \widehat{E}_2^{\pm j} \widehat{E}_3^{\pm k}$ . Ainsi, tout état satisfaisant les contraintes de simplicité résoud également la contrainte de chiralité.





# Bibliographie

- [1] C Rovelli, *Strings, loops and others : a critical survey of the present approaches to quantum gravity*, gr-qc/9803024
- [2] C Rovelli, *Notes for a brief history of quantum gravity*, gr-qc/0006061
- [3] L Smolin, *Three Roads to Quantum Gravity*, Weidenfeld & Nicolson General, Orion Publishing Co, 2000
- [4] C Rovelli, L Smolin, *Discreteness of area and volume in quantum gravity*, gr-qc/9411005, Nucl.Phys. **B442** (1995) 593-622; Erratum-ibid. **B456** (1995) 753
- [5] C Rovelli, *Black Hole Entropy from Loop Quantum Gravity*, gr-qc/9603063, Phys.Rev.Lett. **77** (1996) 3288-3291
- [6] M Barreira, M Carfora, C Rovelli, *Physics with nonperturbative quantum gravity : radiation from a quantum black hole*, gr-qc/9603064, Gen.Rel.Grav. **28** (1996) 1293-1299
- [7] A Ashtekar, *Quantum Mechanics of Geometry*, gr-qc/9901023
- [8] C Rovelli, *Loop Quantum Gravity*, gr-qc/9710008, Living Rev.Rel. **1** (1998) 1
- [9] M Gaul, C Rovelli, *Loop Quantum Gravity and the Meaning of Diffeomorphism Invariance*, gr-qc/9910079, Lect.Notes Phys. **541** (2000) 277-324
- [10] T Thiemann, *Introduction to Modern Canonical Quantum General Relativity*, gr-qc/0110034
- [11] T Thiemann, *Lectures on Loop Quantum Gravity*, gr-qc/0210094
- [12] L Smolin, *Quantum gravity with a positive cosmological constant*, hep-th/0209079
- [13] HJ Matschull, *Dirac's Canonical Quantization Programme*, quant-ph/9606031
- [14] S Holst, *Barbero's Hamiltonian derived from a generalized Hilbert-Palatini action*, gr-qc/9511026, Phys.Rev. **D53** (1996) 5966-5969
- [15] M Reisenberger, *New constraints for canonical general relativity*, gr-qc/9505044, Nucl.Phys. **B457** (1995) 643-687
- [16] N Barros e Sa, *Hamiltonian analysis of General relativity with the Immirzi parameter*, gr-qc/0006013, Int.J.Mod.Phys. **D10** (2001) 261-272
- [17] S Alexandrov, ER Livine, *SU(2) Loop Quantum Gravity seen from Covariant Theory*, gr-qc/0209105, Phys.Rev. **D67** (2003) 044009
- [18] C Rovelli, *Ashtekar formulation of general relativity and loop-space non-perturbative quantum gravity : a report*, with corrections and modifications by M Reisenberger, 1998
- [19] S Alexandrov, *SO(4,C)-covariant Ashtekar-Barbero gravity and the Immirzi parameter*, gr-qc/0005085, Class.Quant.Grav. **17** (2000) 4255-4268
- [20] JF Barbero, *Reality Conditions and Ashtekar Variables : a Different Perspective*, gr-qc/9410013, Phys.Rev. **D51** (1995) 5498-5506; *Real Ashtekar Variables for Lorentzian Signature Space-times*, gr-qc/9410014, Phys.Rev. **D51** (1995) 5507-5510
- [21] G Immirzi, *Real and complex connections for canonical gravity*, gr-qc/9612030, Class.Quant.Grav. **14** (1997) L177-L181
- [22] C Rovelli, T Thiemann, *The Immirzi parameter in quantum general relativity*, gr-qc/9705059, Phys.Rev. **D57** (1998) 1009-1014

- [23] A Ashtekar, J Baez, K Krasnov, *Quantum Geometry of Isolated Horizons and Black Hole Entropy*, gr-qc/0005126, Adv.Theor.Math.Phys. **4** (2000) 1-94
- [24] O Dreyer, *Quasinormal Modes, the Area Spectrum, and Black Hole Entropy*, gr-qc/0211076
- [25] J Samuel, *Is Barbero's Hamiltonian formulation a Gauge Theory of Lorentzian Gravity ?*, gr-qc/0005095, Class.Quant.Grav. **17** (2000) L141-L148
- [26] S Alexandrov, D Vassilevich, *Area spectrum in Lorentz covariant loop gravity*, gr-qc/0107071, Phys.Rev. **D64** (2001) 044023
- [27] S Alexandrov, *On choice of connection in loop quantum gravity*, gr-qc/0107071, Phys.Rev. **D65** (2002) 024011
- [28] H Sahlmann, *When Do Measures on the Space of Connections Support the Triad Operators of Loop Quantum Gravity ?*, gr-qc/0207112;  
A Okolow, J Lewandowski, *Diffeomorphism covariant representations of the holonomy-flux star-algebra*, gr-qc/0302059
- [29] C Rovelli, P Upadhyaya, *Loop quantum gravity and quanta of space : a primer*, gr-qc/9806079
- [30] A Ashtekar, J Lewandowski, *Projective Techniques and Functional Integration*, gr-qc/9411046, J.Math.Phys. **36** (1995) 2170-2191
- [31] A Ashtekar, J Lewandowski, *Representation Theory of Analytic Holonomy  $C^*$  Algebras*, gr-qc/9311010, publié dans "Knots and Quantum Gravity" (ed. J.Baez, Oxford U.Press)
- [32] M Arnsdorf, S Gupta, *Loop Quantum Gravity on Non-Compact Spaces*, gr-qc/9909053, Nucl. Phys. **B577** (2000) 529-546
- [33] N Grot, C Rovelli, *Moduli-space structure of knots with intersections*, gr-qc/9604010, J.Math.Phys. **37** (1996) 3014-3021
- [34] T Thiemann, *Quantum Spin Dynamics (QSD)*, gr-qc/9606089, Class.Quant.Grav. **15** (1998) 839-873;  
*Quantum Spin Dynamics (QSD) II*, gr-qc/9606090, Class.Quant.Grav. **15** (1998) 875-905
- [35] R Borissov, *Graphical Evolution of Spin Network States*, gr-qc/9606013, Phys.Rev. **D55** (1997) 6099-6111
- [36] L Smolin, *The classical limit and the form of the hamiltonian constraint in nonperturbative quantum gravity*, gr-qc/9609034
- [37] M Gaul, C Rovelli, *A generalized Hamiltonian Constraint Operator in Loop Quantum Gravity and its simplest Euclidean Matrix Elements*, gr-qc/0011106, Class.Quant.Grav. **18** (2001) 1593-1624
- [38] R Borissov, S Gupta, *Propagating spin modes in canonical quantum gravity*, gr-qc/9810024, Phys.Rev. **D60** (1999) 024002
- [39] J Lewandowski, ET Newman, C Rovelli, *Variation of the parallel propagator and holonomy operator and the Gauss law constraint*, J Math Phys **34** (1993) 4646.
- [40] A Alekseev, AP Polychronakos, M Smedbäck, *On area and entropy of a black hole*, hep-th/0004036
- [41] L Freidel, K Krasnov, *Spin Foam Models and the Classical Action Principle*, hep-th/9807092, Adv.Theor.Math.Phys. **2** (1999) 1183-1247
- [42] R De Pietri, C Rovelli, *Geometry Eigenvalues and Scalar Product from Recoupling Theory in Loop Quantum Gravity*, gr-qc/9602023, Phys.Rev. **D54** (1996) 2664-2690
- [43] M Seifert, *Angle and Volume Studies in Quantized Space*, gr-qc/0108047
- [44] H Kodama, *Quantum Gravity by the Complex Canonical Formulation*, gr-qc/9211022, Int.J.Mod.Phys. **D1** (1992) 439-524
- [45] C Soo, *Wave function of the Universe and Chern-Simons Perturbation Theory*, gr-qc/0109046, Class.Quant.Grav. **19** (2002) 1051-1064
- [46] M Reisenberger, C Rovelli, *"Sum over Surfaces" form of Loop Quantum Gravity*, gr-qc/9612035, Phys.Rev. **D56** (1997) 3490-3508
- [47] J Baez, *Spin Foam Models*, gr-qc/9709052, Class.Quant.Grav. **15** (1998) 1827-1858

- [48] ER Livine, *Projected Spin Networks for Lorentz connection : Linking Spin Foams and Loop Gravity*, gr-qc/0207084, Class.Quant.Grav. **19** (2002) 5525-5542
- [49] L Freidel, ER Livine, *Spin Networks for Non-Compact Groups*, hep-th/0205268, J.Math.Phys. **44** (2003) 1322-1356
- [50] M Brion, *Invariants et covariants des groupes algébriques réductifs*, Notes de cours de l'école d'été de Monastir (Juillet-Aout 1996)
- [51] TA Springer *Invariant theory* Lecture Notes in Mathematics, N 585
- [52] JC Baez, gr-qc/9504036, *Spin networks in nonperturbative quantum gravity*, The Interface of Knots and Physics, ed. Louis Kauffman, A.M.S., Providence, 1996, pp. 167-203
- [53] J Frohlich, K Gawedzki, hep-th/9310187, *Conformal Field Theory and Geometry of Strings*, Vancouver 1993, Proceedings, Mathematical quantum theory, vol. 1, p.57-97
- [54] E Buffenoir, K Noui, P Roche, *Hamiltonian Quantization of Chern-Simons theory with  $SL(2, \mathbb{C})$  Group*, hep-th/0202121, Class.Quant.Grav. **19** (2002) 4953
- [55] A Gomberoff, D Marolf, *On Group Averaging for  $SO(n,1)$* , gr-qc/9902069, Int.J.Mod.Phys. **D8** (1999) 519-535
- [56] VS Varadarajan, *An introduction to harmonic analysis on semisimple Lie groups* Cambridge studies in Adv.Math. **16**, Cambridge University Press
- [57] S Carlip, *Quantum Gravity in 2 + 1 Dimensions*, Cambridge University Press (1998)
- [58] E Witten, *(2 + 1)-Dimensional Gravity as an Exactly Soluble System*, Nucl.Phys. **B311** (1988) 46
- [59] ER Livine, C Rovelli, *Length versus time-interval discreteness in 2+1 Lorentzian canonical quantum gravity*, rapport interne CPT-2001/P.4176
- [60] L Freidel, ER Livine, C Rovelli, *Spectra of Length and Area in 2+1 Lorentzian Loop Quantum Gravity*, gr-qc/0212077, Class.Quant.Grav. **20** (2003) 1463
- [61] A Ashtekar, V Husain, C Rovelli, J Samuel, L Smolin, *2 + 1-Quantum Gravity as a Toy Model for the 3 + 1 Theory*, Class.Quant.Grav. **6** (1989) 185
- [62] J Wisniewski, *2+1 General Relativity : Classical and Quantum*, PhD Thesis (PennState University, 2002)
- [63] S Davids, *Semiclassical Limits of Extended Racah Coefficients*, gr-qc/9807061, J.Math.Phys. **41** (2000) 924-943; *A State Sum Model for (2+1) Lorentzian Quantum Gravity*, gr-qc/0110114
- [64] L Freidel, *A Ponzano-Regge model of Lorentzian 3-Dimensional gravity*, gr-qc/0102098, Nucl.Phys.Proc.Suppl. **88** (2000) 237-240
- [65] T Thiemann, *QSD IV : 2 + 1 Euclidean Quantum Gravity as a model to test 3 + 1 Lorentzian Quantum Gravity*, gr-qc/9705018, Class.Quant.Grav. **15** (1998) 1249-1280
- [66] H Ooguri, *Discrete and Continuum Approaches to Three-Dimensional Quantum Gravity*, hep-th/9108006, Mod. Phys. Lett. **A6** (1991) 3591-3600; *Partition Functions and Topology-Changing Amplitudes in the 3D Lattice Gravity of Ponzano and Regge*, hep-th/9112072, Nucl.Phys. **B382** (1992) 276-304
- [67] L Freidel, D Louapre, *Asymptotics of  $6j$  and  $10j$  symbols*, hep-th/0209134
- [68] G 't Hooft, *Canonical Quantization of Gravitating Point Particles in 2 + 1 Dimensions*, gr-qc/9305008, Class.Quant.Grav. **10** (1993) 1653-1664; *The Evolution of Gravitating Point Particles in (2+1)-dimensions*, Class.Quant.Grav. **10** (1993) 1023-1038; *Causality in (2 + 1)-dimensional Gravity*, Class.Quant.Grav. **9** (1992) 1335-1348
- [69] AW Knap *Representation of semi-simple groups*, Princeton University Press
- [70] S Alexandrov, D Vassilevich, *Path integral for the Hilbert-Palatini and Ashtekar gravity*, gr-qc/9806001, Phys.Rev. **D58** (1998) 124029
- [71] D Oriti, *Spacetime geometry from algebra : spin foam models for non-perturbative quantum gravity*, gr-qc/0106091, Rept.Prog.Phys. **64** (2001) 1489-1544
- [72] A Perez, *Spin Foam Models for Quantum Gravity* gr-qc/0301113, Class.Quant.Grav. **20** (2003) R43

- [73] JW Barrett, L Crane, *Relativistic spin networks and quantum gravity*, gr-qc/9709028 , J.Math.Phys. **39** (1998) 3296-3302
- [74] JW Barrett, L Crane, *A Lorentzian Signature Model for Quantum General Relativity*, gr-qc/9904025, Class.Quant.Grav. **17** (2000) 3101-3118
- [75] R De Pietri, L Freidel, *so(4) Plebanski Action and Relativistic Spin Foam Model*, gr-qc/9804071, Class.Quant.Grav. **16** (1999) 2187-2196
- [76] JW Barrett, JC Baez, *The Quantum Tetrahedron in 3 and 4 Dimensions*, gr-qc/9903060, Adv.Theor.Math.Phys. **3** (1999) 815-850
- [77] ER Livine, D Oriti, *Implementing causality in the spin foam quantum geometry*, gr-qc/0210064
- [78] ER Livine, A Perez, C Rovelli, *2d manifold-independent spinfoam theory*, gr-qc/0102051, rapport interne CPT-2001/P.4138
- [79] L Freidel, D Louapre, *Diffeomorphisms and spin foam models*, gr-qc/0212001
- [80] F Markopoulou, *Dual formulation of spin network evolution*, gr-qc/9704013
- [81] JW Barrett, RM Williams, *The asymptotics of an amplitude for the 4-simplex*, gr-qc/9809032, Adv.Theor.Math.Phys. **3** (1999) 209-215
- [82] ER Livine, D Oriti, *Causality in spin foam models for quantum gravity*, gr-qc/0302018, Proceedings of the 15th SIGRAV Conference on General Relativity and Gravitational Physics (2003)
- [83] JC Baez, JD Christensen, G Egan, *Asymptotics of 10j symbols*, gr-qc/0208010, Class.Quant.Grav. **19** (2002) 6489
- [84] JW Barrett, CM Steele, *Asymptotics of Relativistic Spin Networks*, gr-qc/0209023
- [85] H Ooguri, *Schwinger-Dyson equation in three-dimensional simplicial quantum gravity*, hep-th/9210028, Prog.Theor.Phys. **89** (1993) 1-22
- [86] L Freidel, D Louapre, *Non-perturbative summation over 3D discrete topologies*, hep-th/0211026
- [87] R De Pietri, L Freidel, K Krasnov, C Rovelli, *Barrett-Crane model from a Boulatov-Ooguri field theory over a homogeneous space*, hep-th/9907154, Nucl.Phys. **B574** (2000) 785-806
- [88] A Perez, C Rovelli, *A spin foam model without bubble divergences*, gr-qc/0006107, Nucl.Phys. **B599** (2001) 255-282
- [89] A Perez, C Rovelli, *Spin foam model for Lorentzian General Relativity*, gr-qc/0009021, Phys.Rev. **D63** (2001) 041501
- [90] MP Reisenberger, C Rovelli, *Spin foams as Feynman diagrams*, gr-qc/0002083; *Spacetime as a Feynman diagram : the connection formulation*, gr-qc/0002095, Class.Quant.Grav. **18** (2001) 121-140
- [91] A Perez, *Finiteness of a spinfoam model for euclidean quantum general relativity*, gr-qc/0011058, Nucl.Phys. **B599** (2001) 427-434
- [92] JW Barrett, JC Baez, *Integrability for Relativistic Spin Networks*, gr-qc/0101107, Class.Quant.Grav. **18** (2001) 4683-4700
- [93] L Crane, A Perez, C Rovelli, *A finiteness proof for the Lorentzian state sum spinfoam model for quantum general relativity*, gr-qc/0104057
- [94] A Perez, C Rovelli, *Observables in quantum gravity*, gr-qc/0104034
- [95] ER Livine, *Immirzi parameter in the Barrett-Crane model?*, gr-qc/0103081, rapport interne CPT-2001/P.4220
- [96] ER Livine, D Oriti, *Barrett-Crane spin foam model from generalized BF-type action for gravity*, gr-qc/0104043, Phys.Rev. **D65** (2002) 044025
- [97] P Kramer, M Lorente, *Surface Embedding, topology and dualization for spin networks*, J.Phys.A :Math.Gen. **35** (2002) 8563-8574
- [98] L Freidel, K Krasnov, *Discrete Space-Time Volume for 3-Dimensional BF Theory and Quantum Gravity*, hep-th/9804185, Class.Quant.Grav. **16** (1999) 351-362

- [99] DV Boulatov, *A model of three-dimensional Lattice Gravity*, hep-th/9202074, Int.J.Mod.Phys. **A6** (1991) 79-87
- [100] R Gambini, J Pullin, *A finite spin-foam-based theory of three and four dimensional quantum gravity*, gr-qc/0111089, Phys.Rev. **D66** (2002) 024020
- [101] M Reisenberger, *On relativistic spin network vertices*, gr-qc/9809067, J.Math.Phys. **40** (1999) 2046-2054
- [102] L Freidel, K Krasnov, R Puzio, *BF Description of Higher-Dimensional Gravity Theories*, hep-th/9901069, Adv.Theor.Math.Phys. **3** (1999) 1289-1324
- [103] JF Plebanski, *On the separation of einsteinian substructures*, J. Math. Phys. **12**, 2511 (1977)
- [104] VA Prieto, *Formulaciones reales de la gravedad*, M.S. Thesis, CINVESTAV-IPN (México D.F., 1997)  
R Capovilla, M Montesinos, VA Prieto, E Rojas, *BF gravity and the Immirzi parameter*, gr-qc/0102073, Class.Quant.Grav. **18** (2001) L49; Erratum-ibid. **18** (2001) 1157
- [105] MP Reisenberger, *A lattice worldsheet sum for 4-d Euclidean general relativity*, gr-qc/9711052
- [106] A Perez, *Spin foam quantization of  $SO(4)$  Plebanski's action*, gr-qc/0203058, Adv.Theor.Math.Phys. **5** (2002) 947-968
- [107] D Oriti, R Williams, *Gluing 4-simplices : a derivation of the Barrett-Crane spin foam model for Euclidean quantum gravity*, gr-qc/0010031, Phys.Rev. **D63** (2001) 024022
- [108] D Oriti, *Boundary terms in the Barrett-Crane spin foam model and consistent gluing*, gr-qc/0201077, Phys.Lett. **B532** (2002) 363-372
- [109] JW Barrett, *Refractive gravitational waves and quantum fluctuations*, gr-qc/0011051
- [110] L Crane, D Yetter, *A More Sensitive Lorentzian State Sum*, gr-qc/0301017
- [111] JW Barrett, *First order Regge calculus*, hep-th/9404124, Class. Quant. Grav. **11** (1994) 2723
- [112] M Caselle, A D'Adda, L Magnea, *Regge calculus as a local theory of the Poincare group*, Phys. Lett. **B232** (1999) 457
- [113] VM Khatsymovsky, *Continuous time Regge gravity in the tetrad connection variables*, Class. Quant. Grav. **8** (1991) 1205
- [114] VM Khatsymovsky, *Regge calculus in the canonical form*, gr-qc/9310004, Gen. Rel. Grav. **27** (1995) 583
- [115] C Rovelli, *The basis of the Ponzano-Regge-Turaev-Viro-Ooguri quantum gravity model is the loop representation basis*, hep-th/9304164, Phys. Rev. **D48** (1993) 2702
- [116] J Makela, *On the phase space coordinates and the Hamiltonian constraint of Regge calculus*, Phys. Rev. **D49** (1994) 2882
- [117] J Makela, *Variation of area variables in Regge calculus*, gr-qc/9801022, Class. Quant. Grav. **17** (2000) 4991)
- [118] JW Barrett, M Rocek, RM Williams, *A note on area variables in Regge calculus*, gr-qc/9710056, Class. Quant. Grav. **16** (1999) 1373
- [119] J Makela, RM Williams, *Constraints on area variables in Regge calculus*, gr-qc/0011006, Class. Quant. Grav. **18** (2001) L43
- [120] T Regge, RM Williams, *Discrete structures in gravity*, gr-qc/0012035, J. Math. Phys. **41** (2000) 3964
- [121] W Ruhl, *The Lorentz group and harmonic analysis*, W. A. Benjamin Inc., New York (1970)
- [122] F Markopoulou, *An insider's guide to quantum causal histories*, hep-th/9912137, Nucl. Phys. Proc. Suppl. **88** (2000) 308; *Quantum causal histories*, hep-th/9904009, Class. Quant. Grav. **17** (2000) 2059; *The internal description of a causal set : What the universe looks like from the inside*, gr-qc/9811053, Commun. Math. Phys. **211** (2000) 559